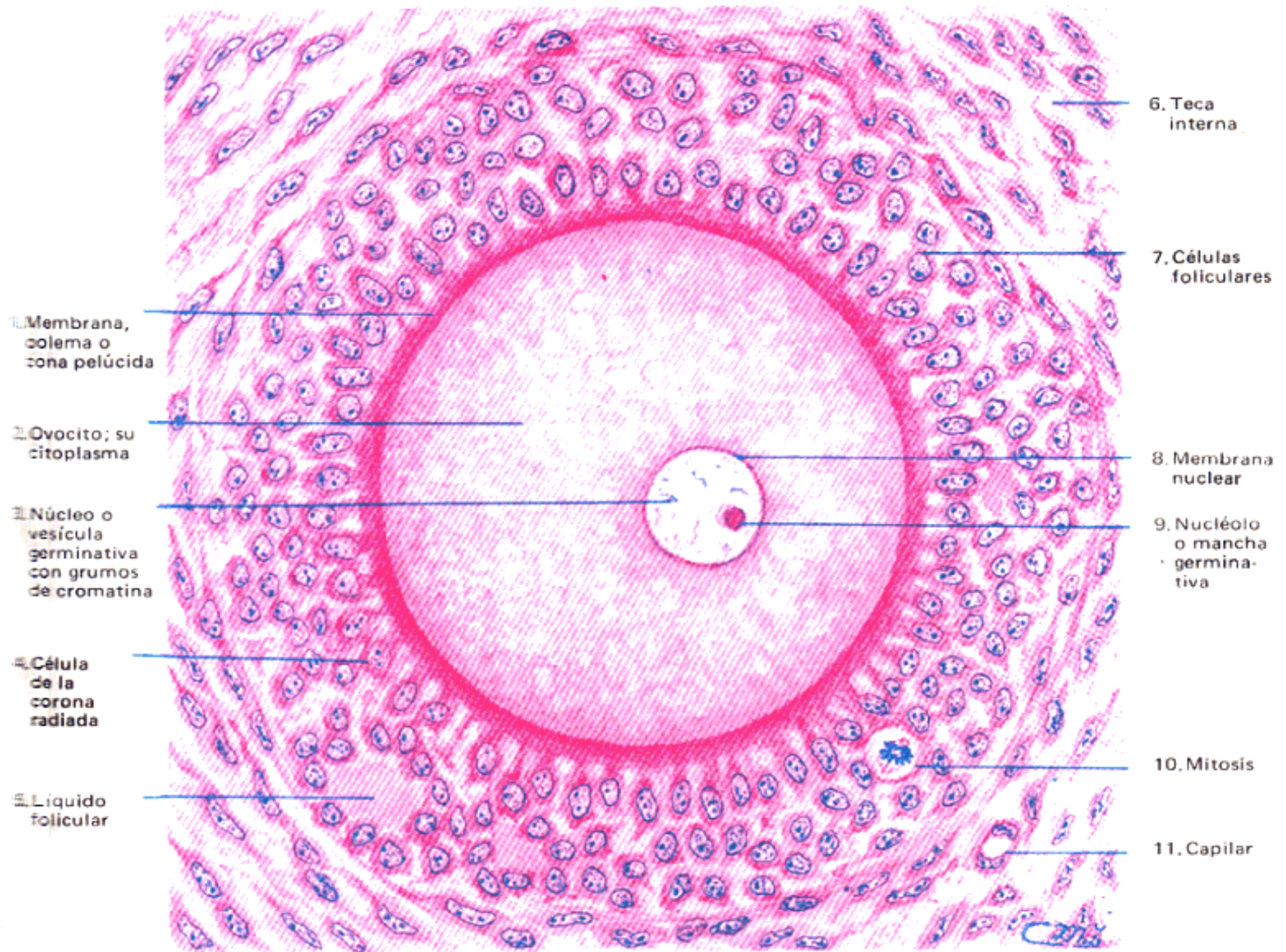


Mariano Di Fiore

ATLAS DE HISTOLOGÍA NORMAL



A Editorial El Ateneo



Coloración hematoxilina-eosina. 650 X.

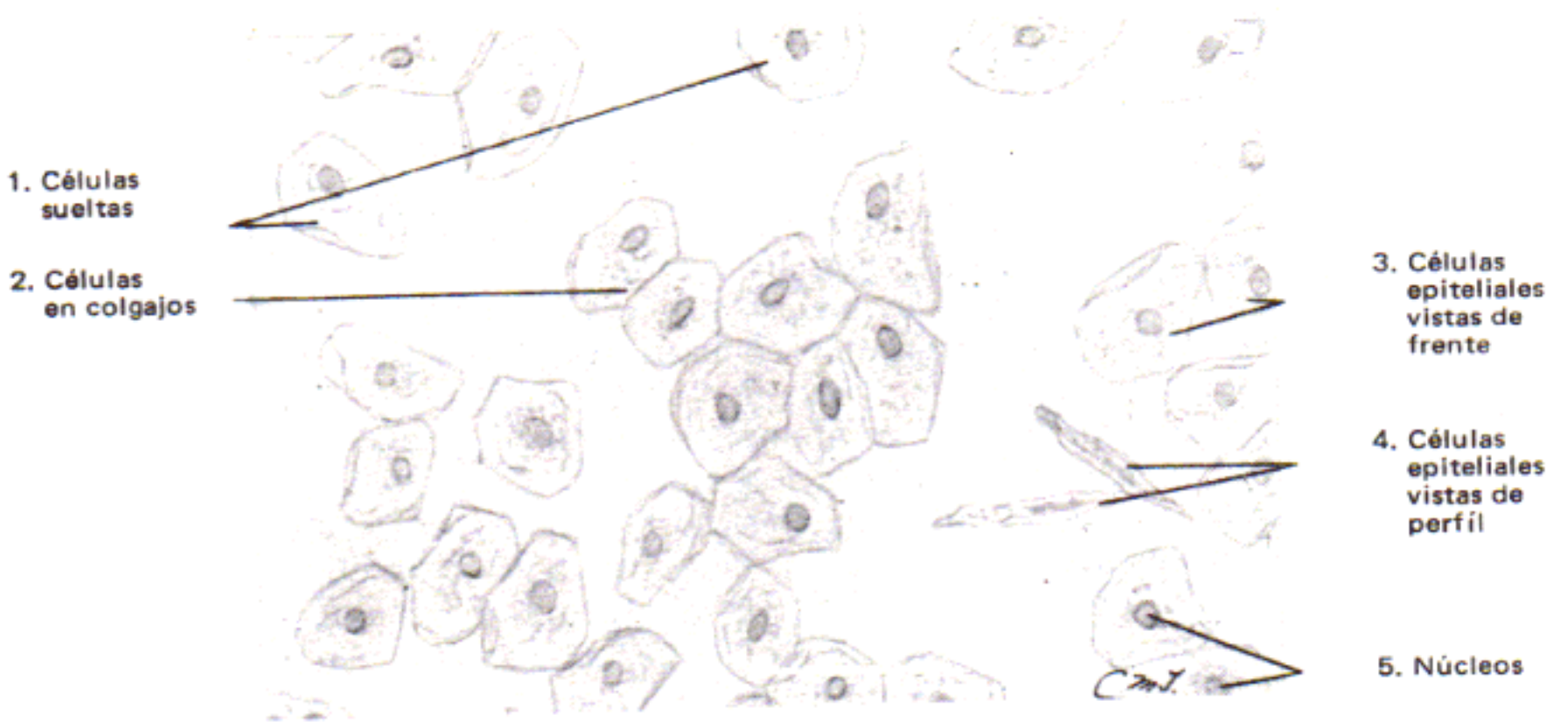


Fig. 1.— *Células epiteliales planas disociadas*
(Observación en estado fresco. 110 X.)

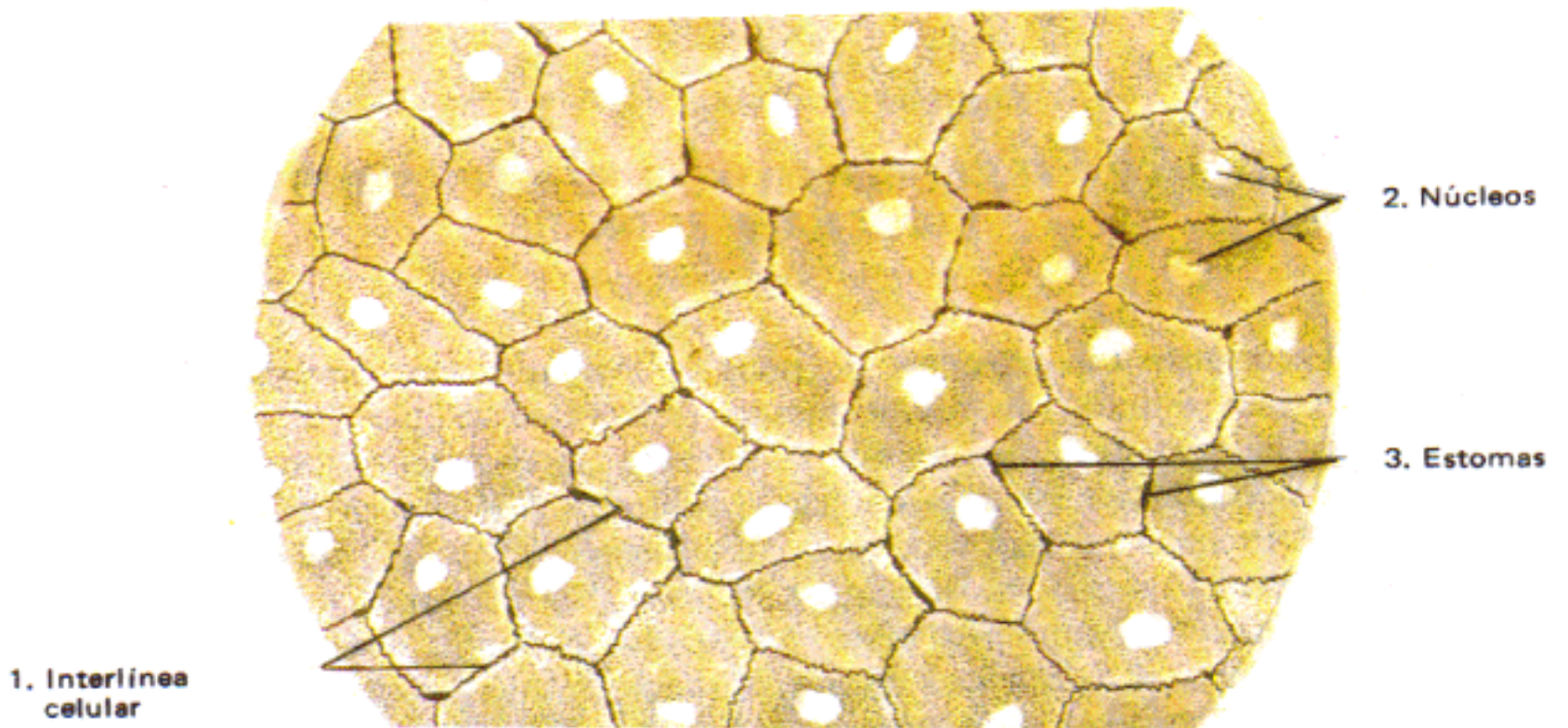


Fig. 2.— *Endotelio (mesotelio) de peritoneo*
(Nitratación. 230 X.)

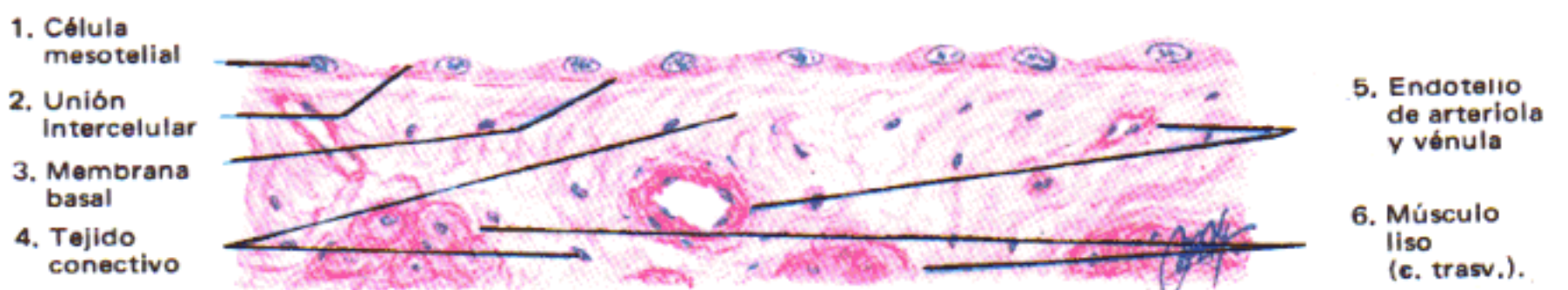


Fig. 3.— *Epitelio simple pavimentoso (mesotelio de peritoneo)*
(Coloración: hematoxilina-eosina. 500 X.)

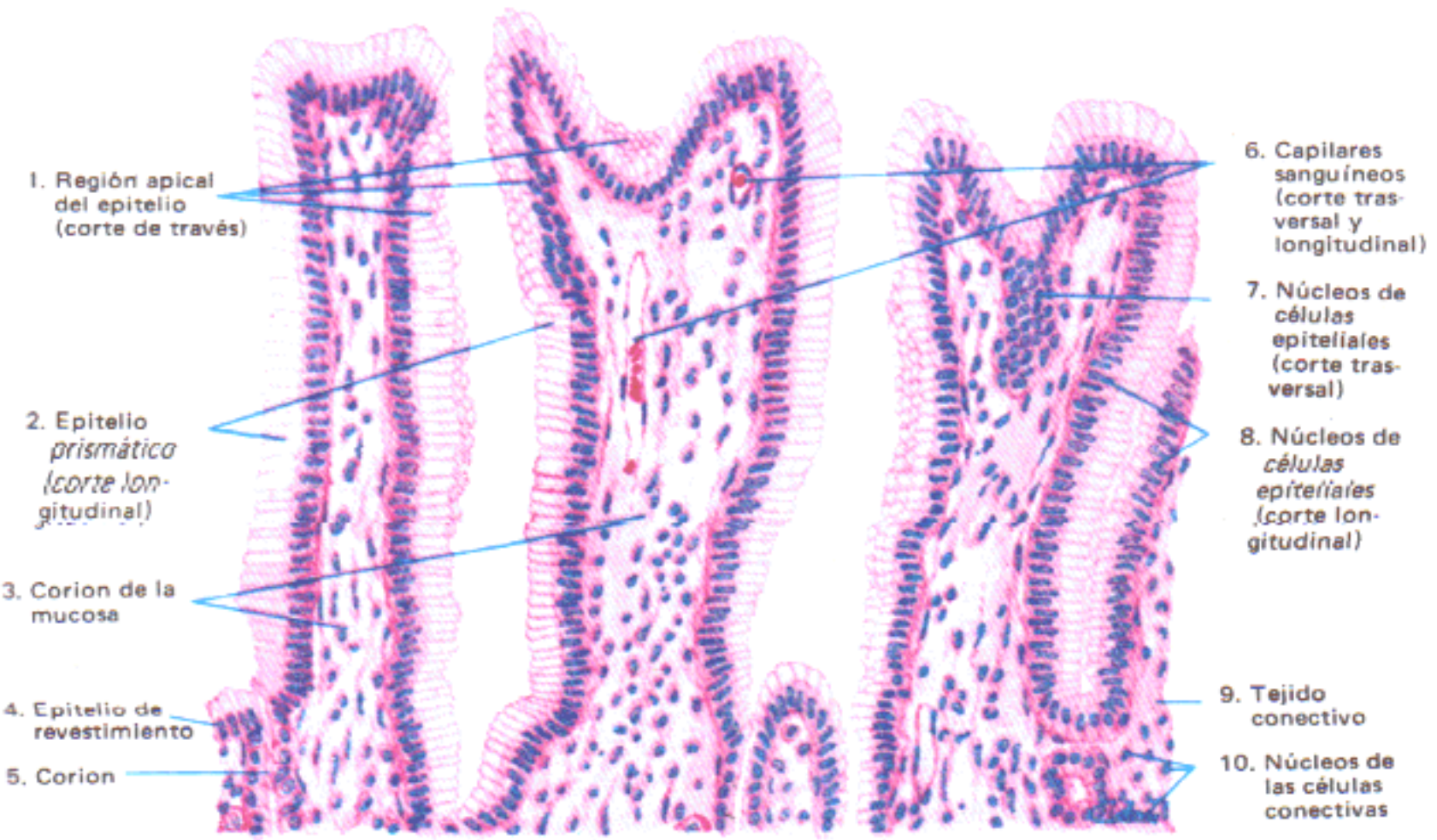


Fig. 1.— Epitelio simple, cilíndrico, mucoso.
(Coloración: hematoxilina-eosina. 250 X.)

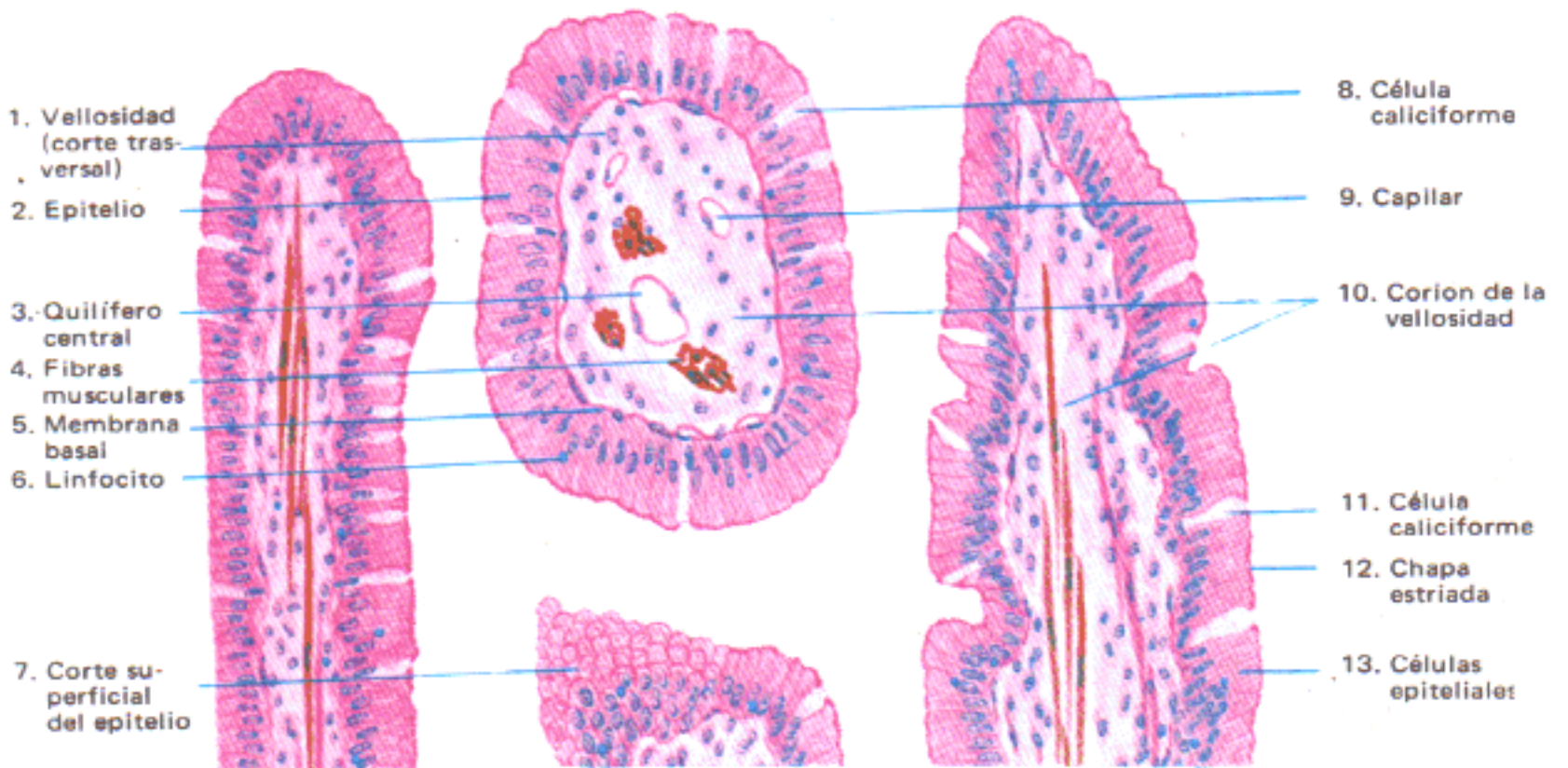


Fig. 2.— Epitelio simple prismático, con chapa estriada.
(Coloración: hematoxilina-eosina. 200 X.)

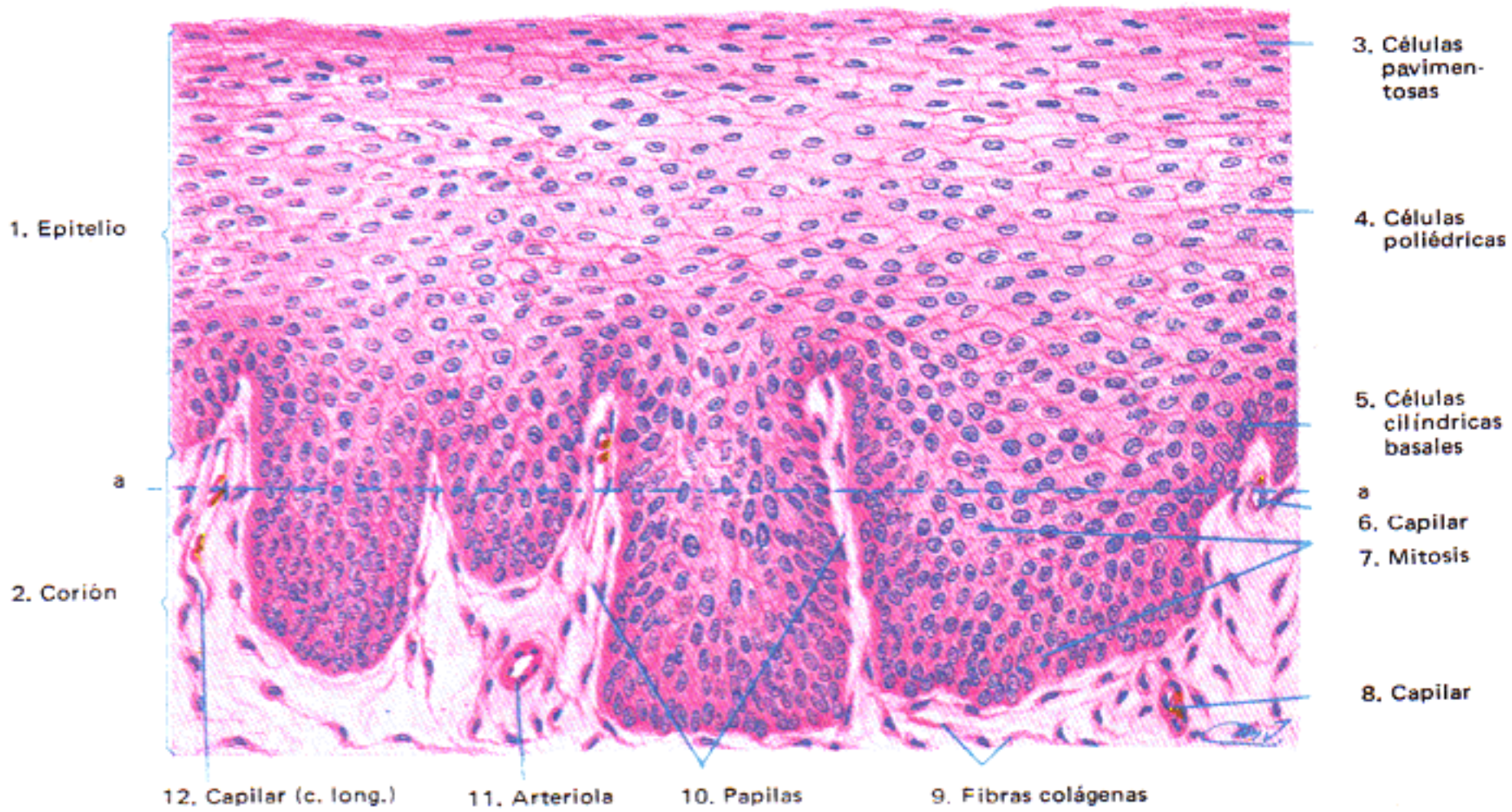


Fig. 1.— *Epitelio estratificado pavimentoso. Corte perpendicular a su superficie.*
(Coloración: hematoxilina-eosina. 215 X.)

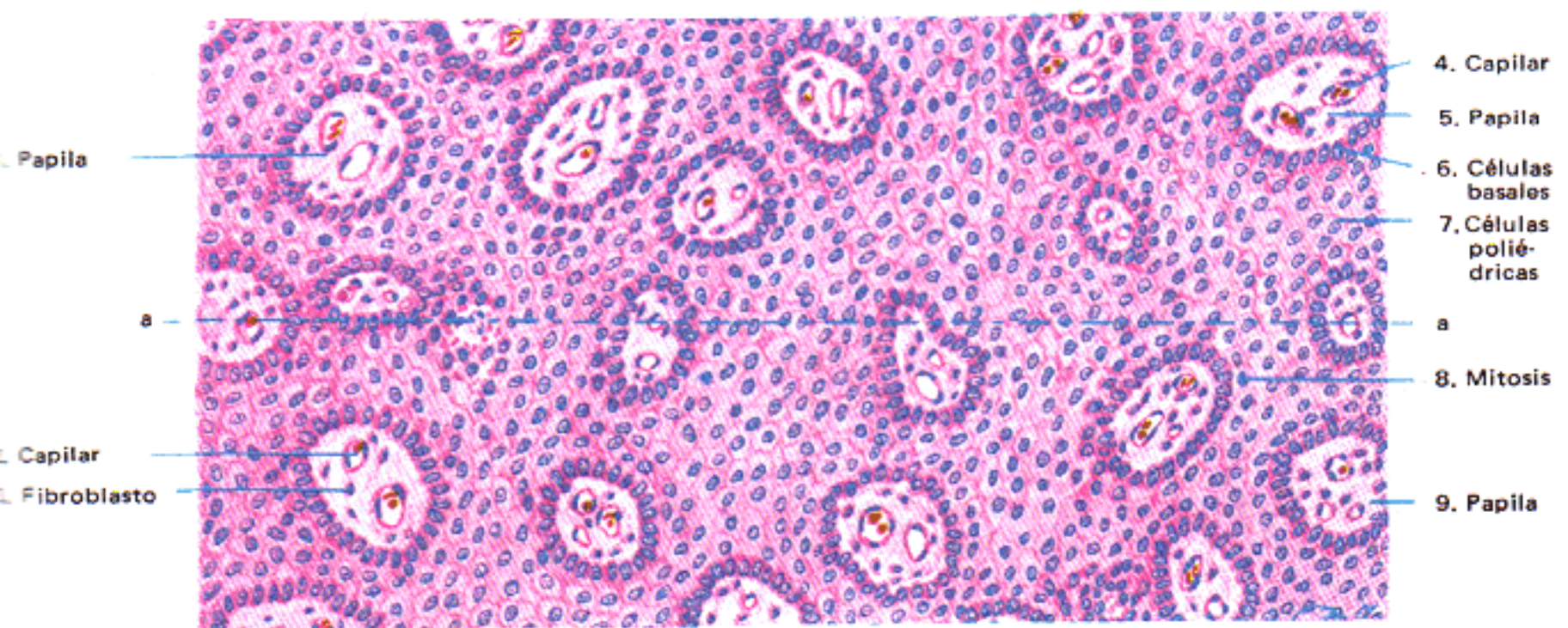


Fig. 2.— *Epitelio estratificado pavimentoso. Corte paralelo a su superficie.*
(Coloración: hematoxilina-eosina. 215 X.)



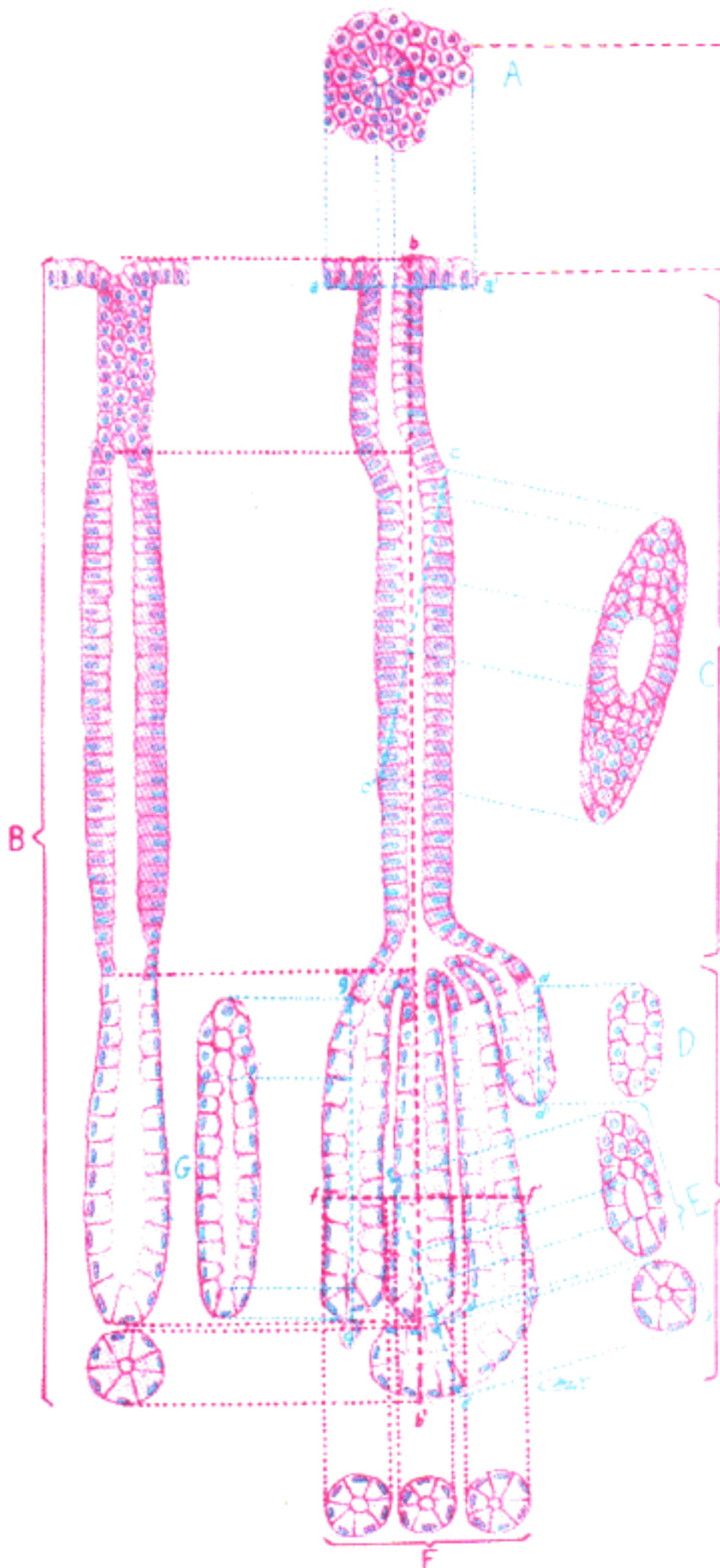
Fig. 1.— *Epitelio pseudoestratificado, cilíndrico ciliado.*

(Coloración: hematoxilina-eosina. 330 X.)



Fig. 2.— *Epitelio mixto o polimorfo.*

(Coloración: hematoxilina-eosina. 330 X.)



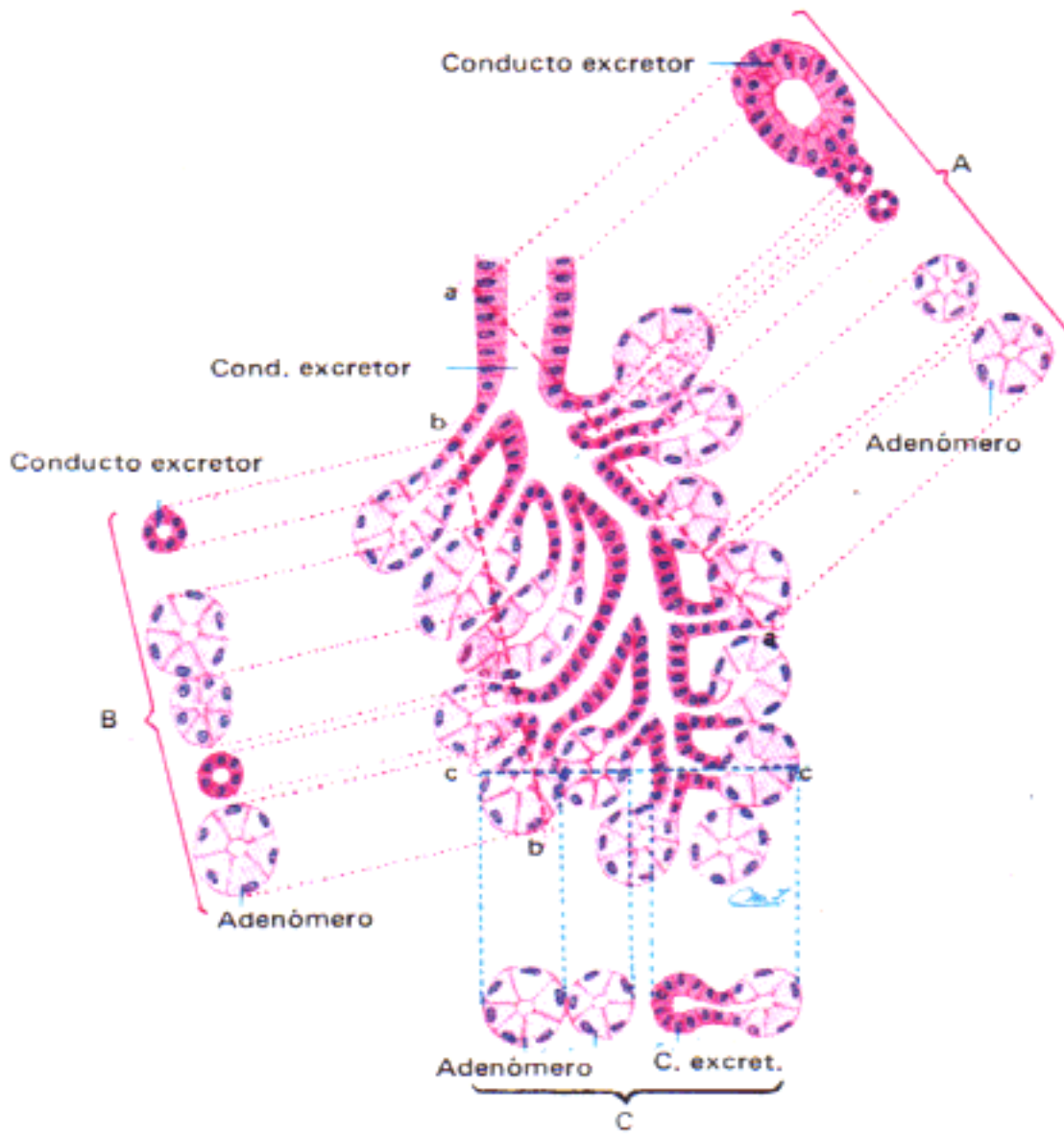
Vista frontal de
la desembocadura
del conducto excretor

Epitelio de
revestimiento

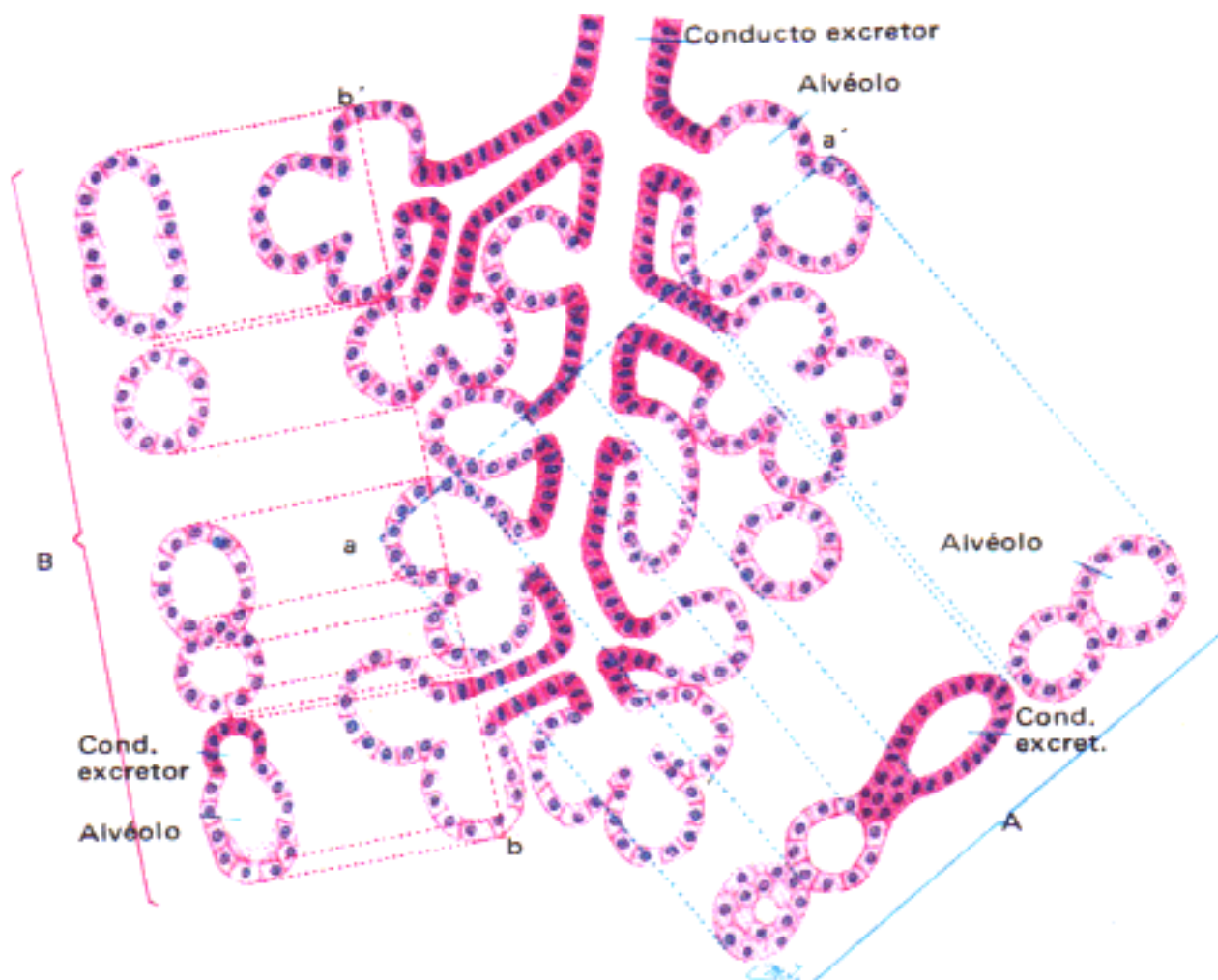
Conducto
excretor

Adenómeros
o tubos
secretorios

GLANDULA ACINOSA (Esquema)



GLANDULA ALVEOLAR (Esquema)



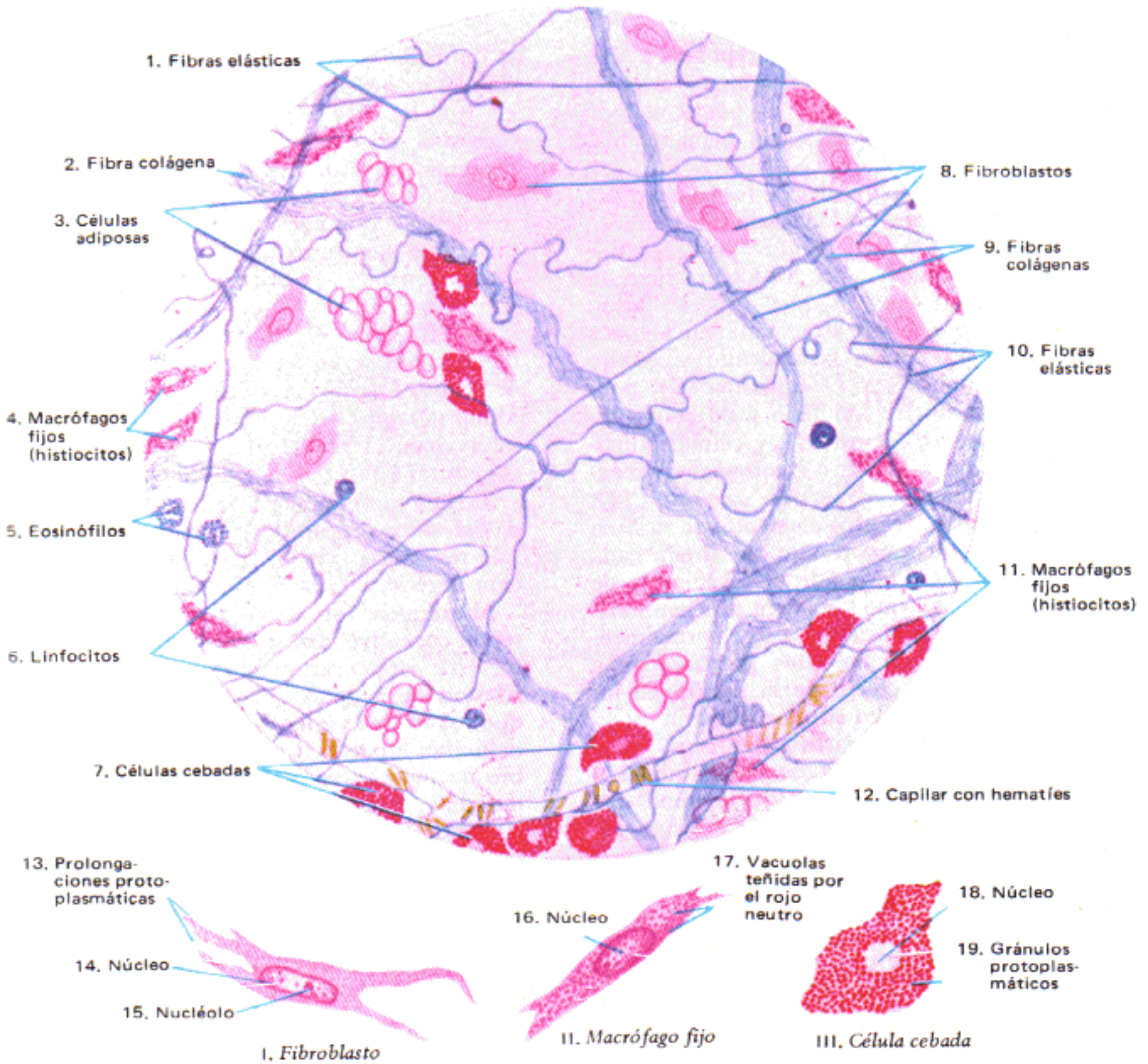
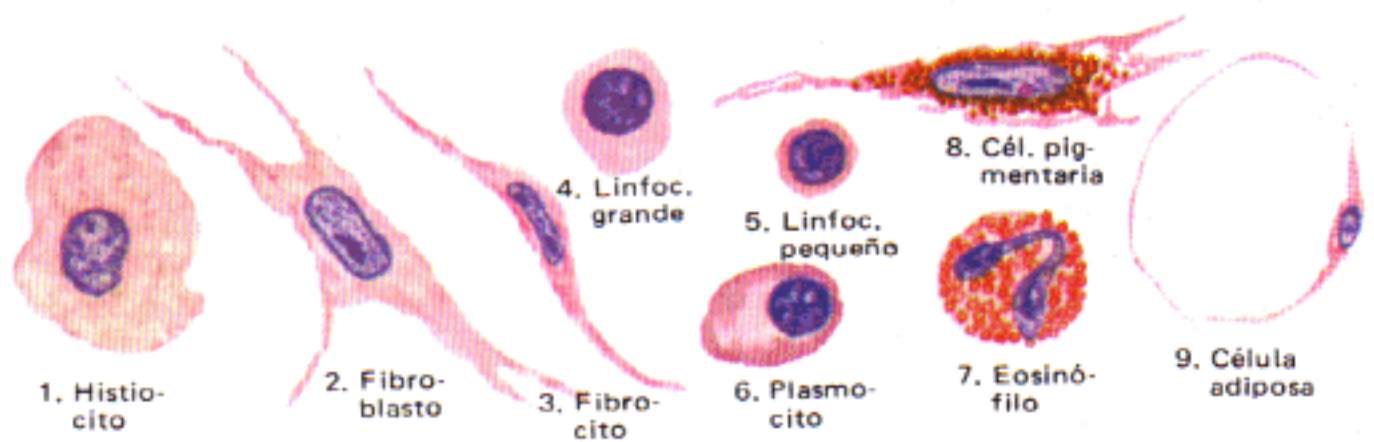


Fig. 1. – Coloración: supravital con rojo neutro. 320 X y 1200 X.



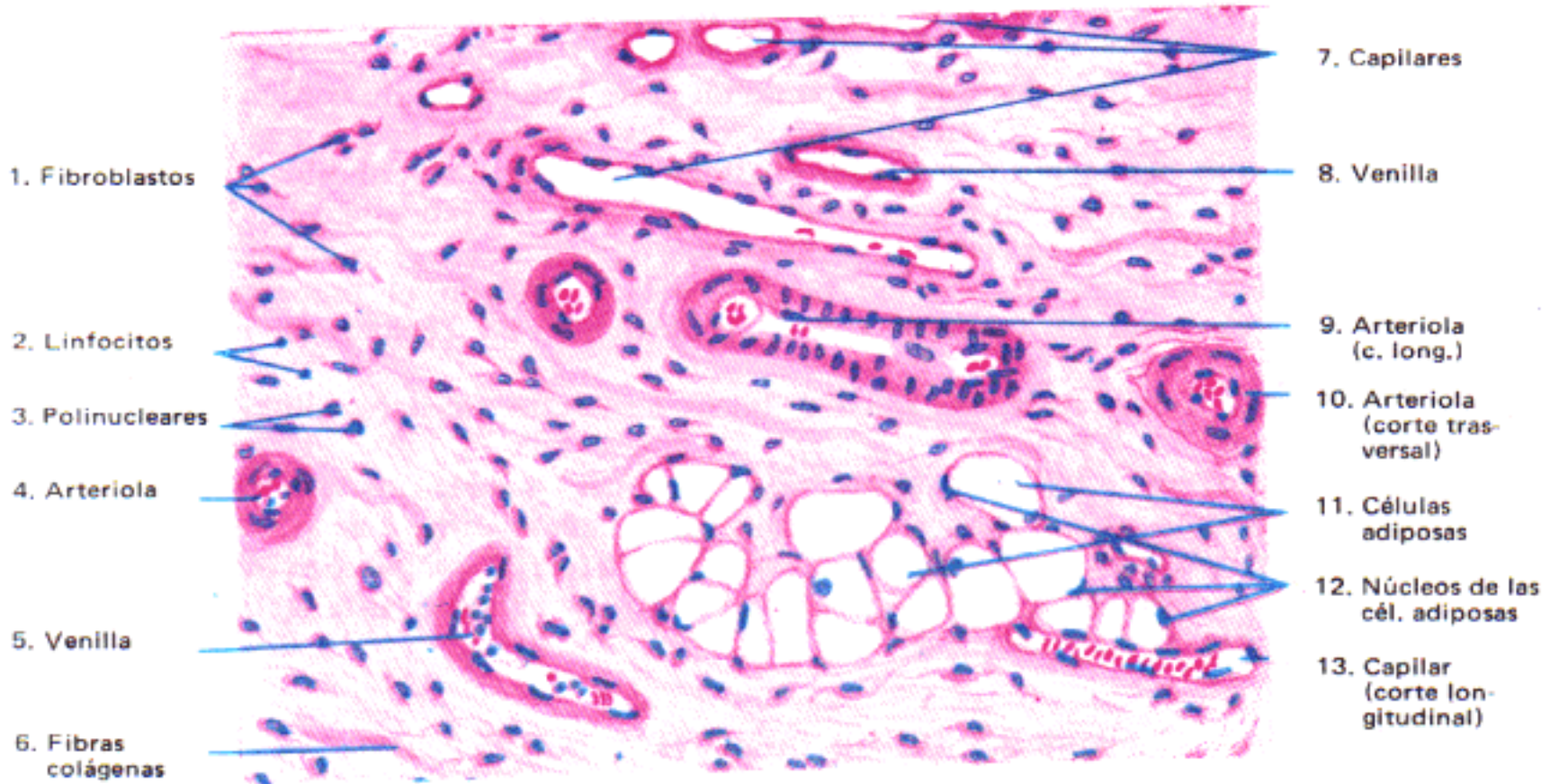


Fig. 1.— *Tejido conectivo laxo.*
(Coloración: hematoxilina-eosina. 300 X.)

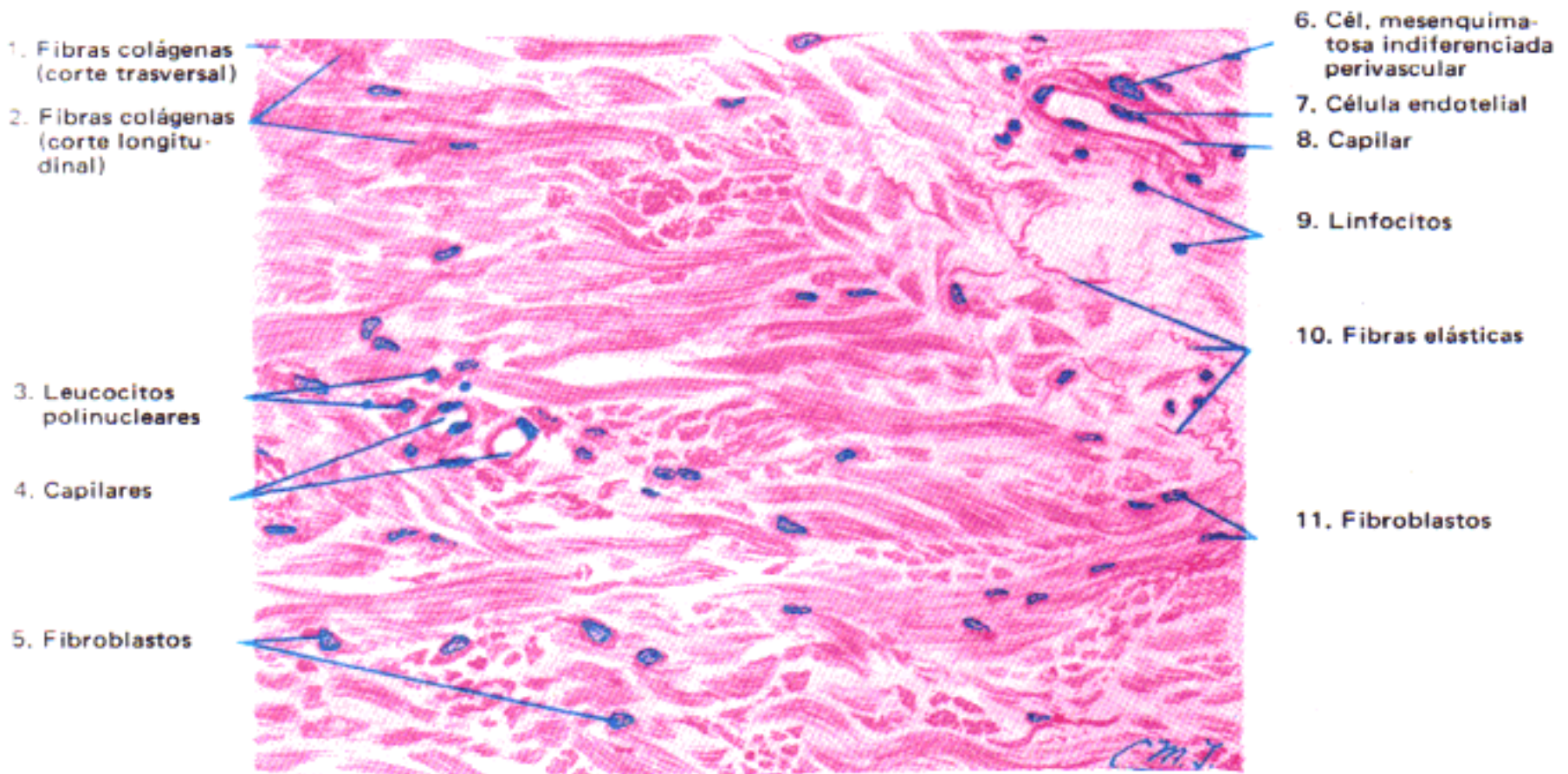


Fig. 2.— *Tejido conectivo denso.*
(Coloración: hematoxilina-eosina. 300 X.)

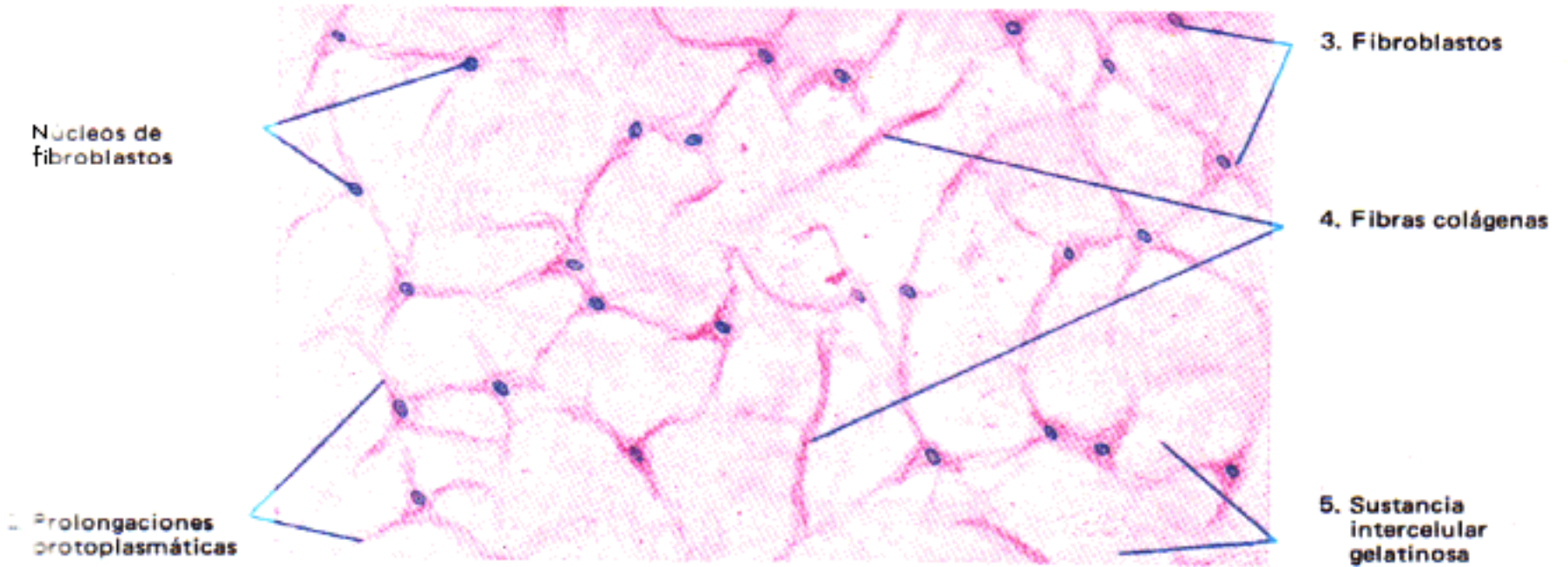


Fig. 1.— *Tejido mucoso (gelatina de Warton).*
(Coloración: hematoxilina-eosina. 250 X.)

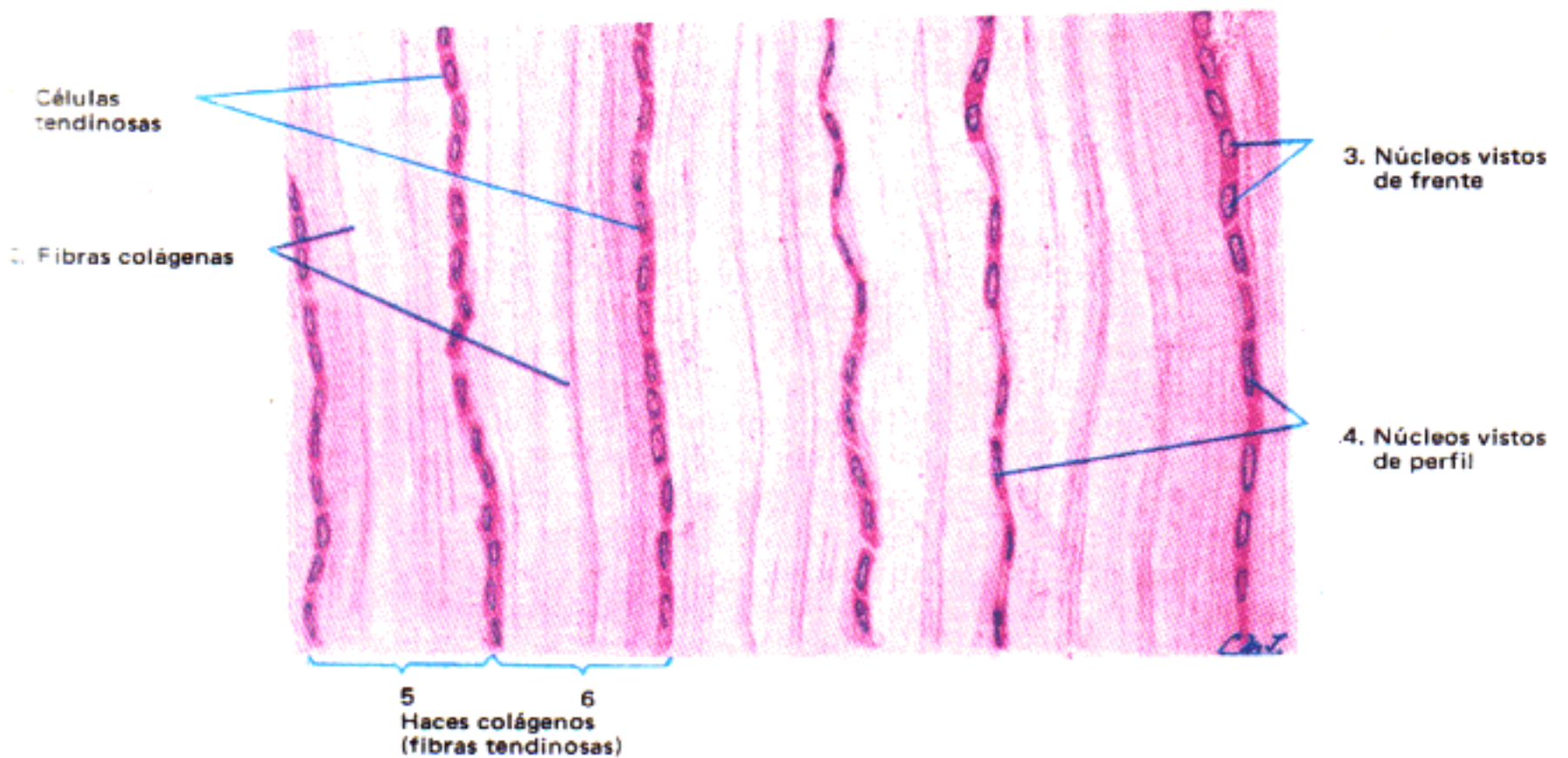


Fig. 2.— *Tejido conectivo modelado. Tendón.*
(Coloración: hematoxilina-eosina. 250 X.)

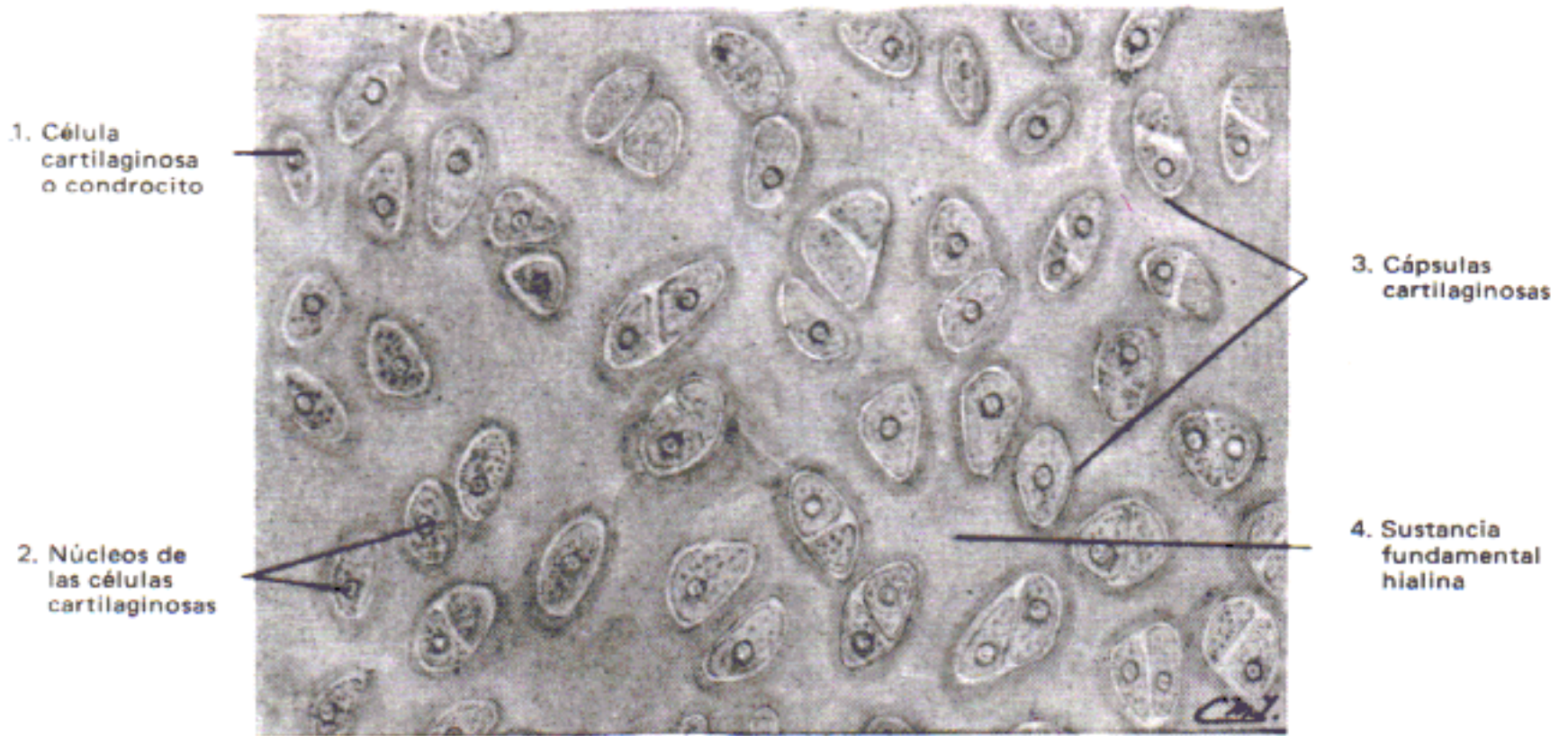


Fig. 1.— *Cartílago hialino.*
(Examen en estado fresco. 320 X.)

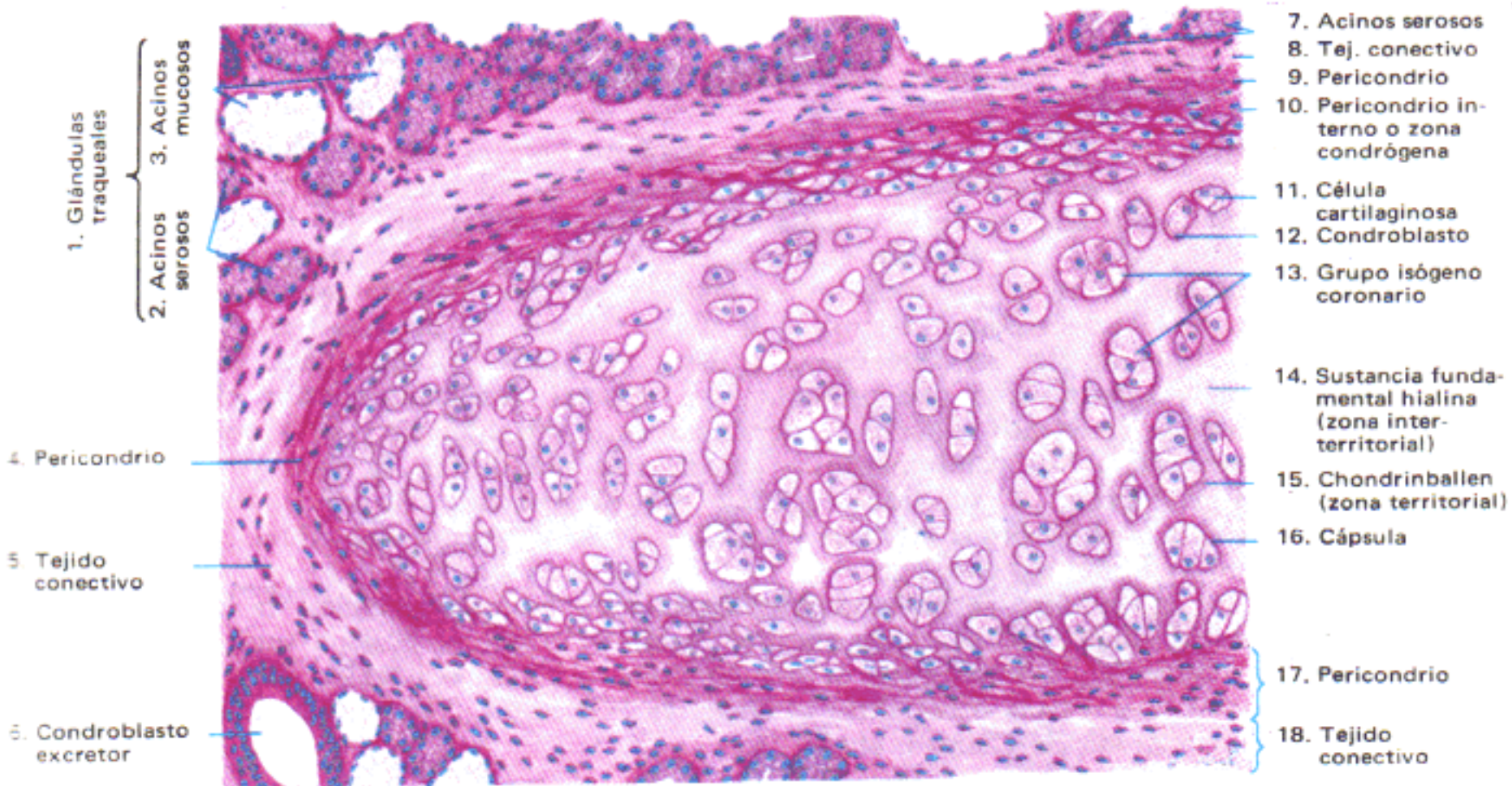


Fig. 2.— *Cartílago hialino.*
(Coloración: hematoxilina-eosina. 120 X.)

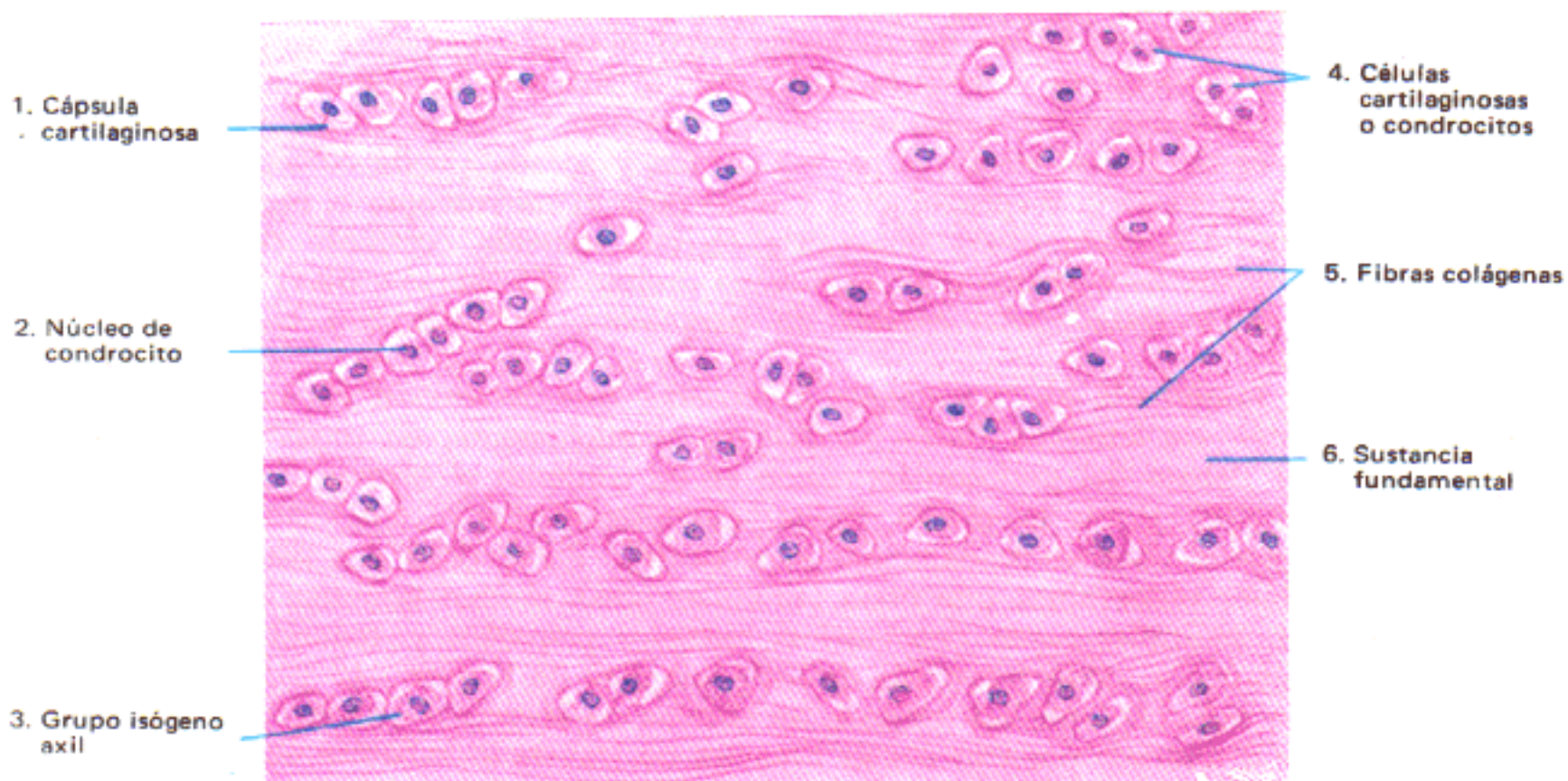


Fig. 1.— *Cartílago fibroso. Disco intervertebral.*
(Coloración: hematoxilina-eosina. 320 X.)

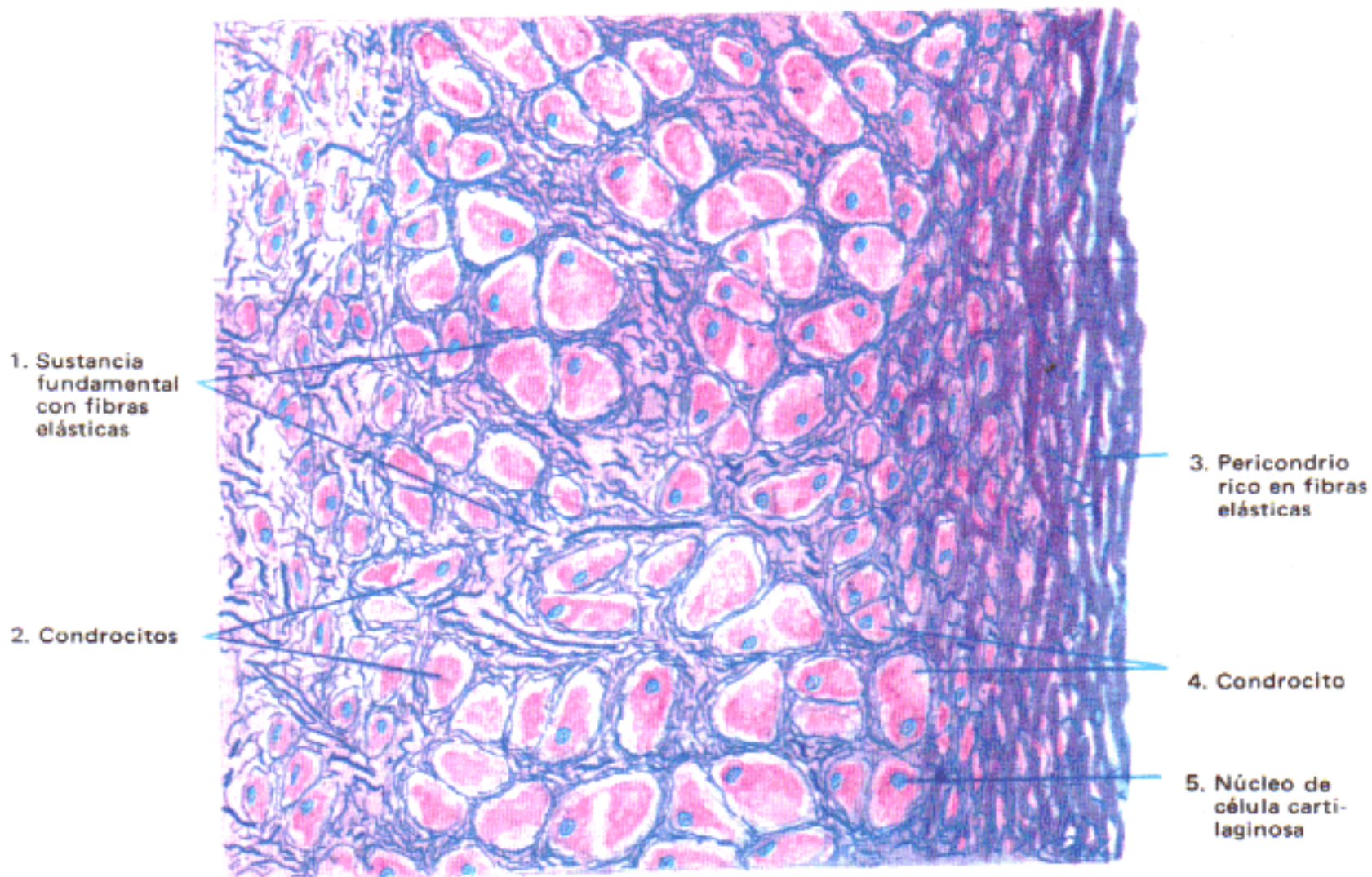


Fig. 2.— *Cartílago elástico. Epiglotis.*

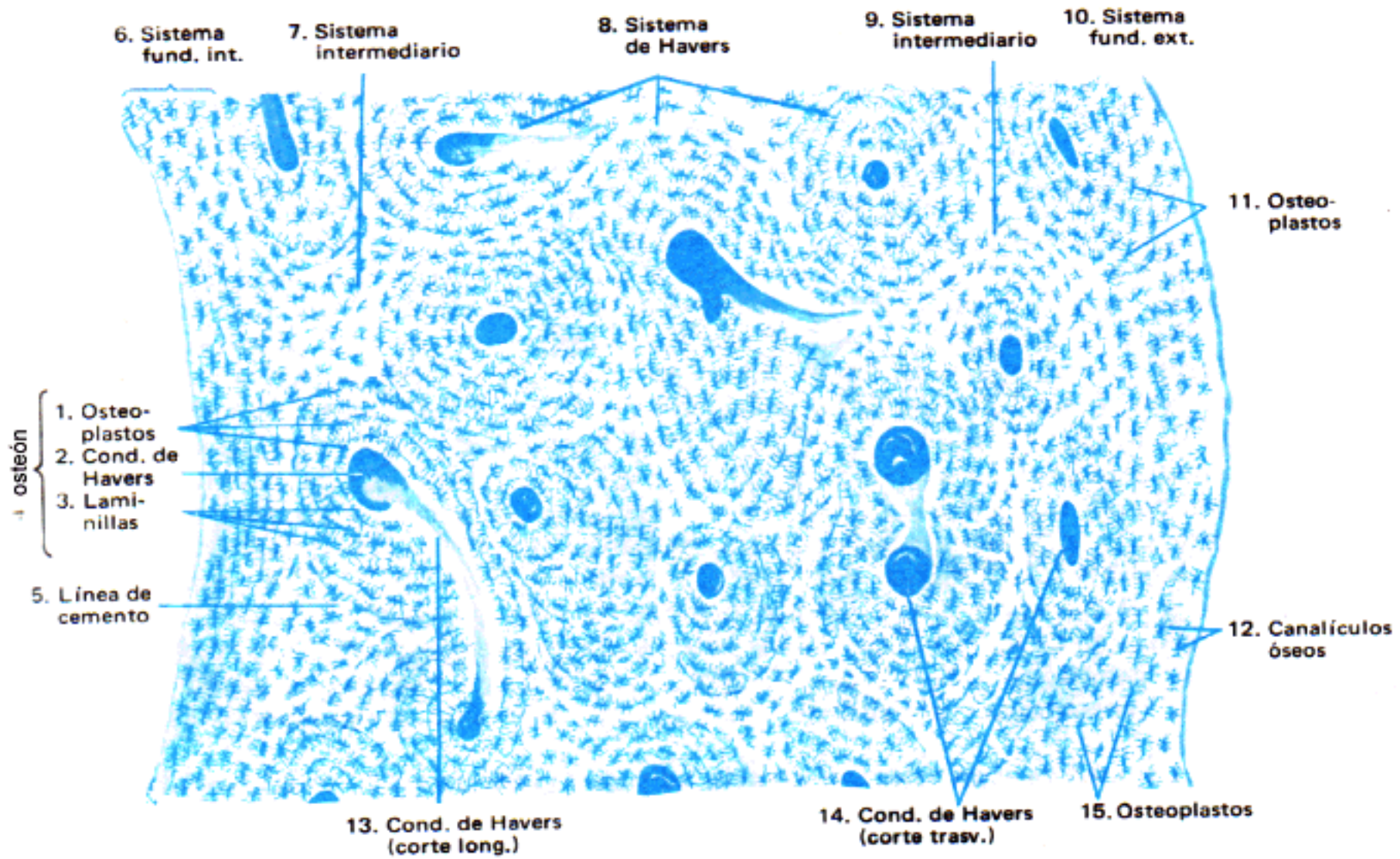


Fig. 1.— Corte transversal de diáfisis de tibia.
(Coloración: azul de anilina. 80 X.)

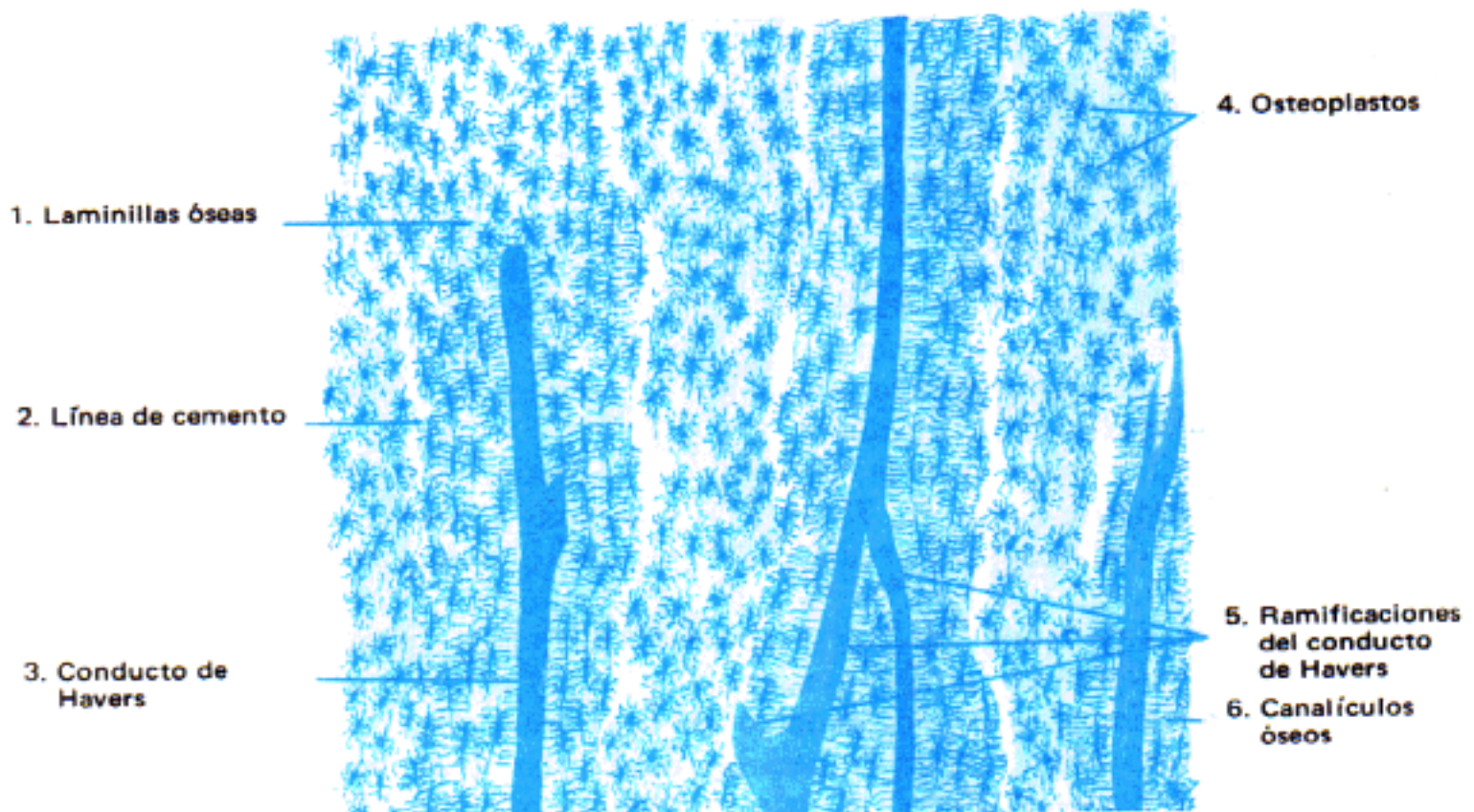


Fig. 2.— Corte longitudinal de diáfisis de tibia.
(Coloración: azul de anilina. 80 X.)

Hueso esponjoso, descalcificado. Esternón de adulto.
(Corte transversal)

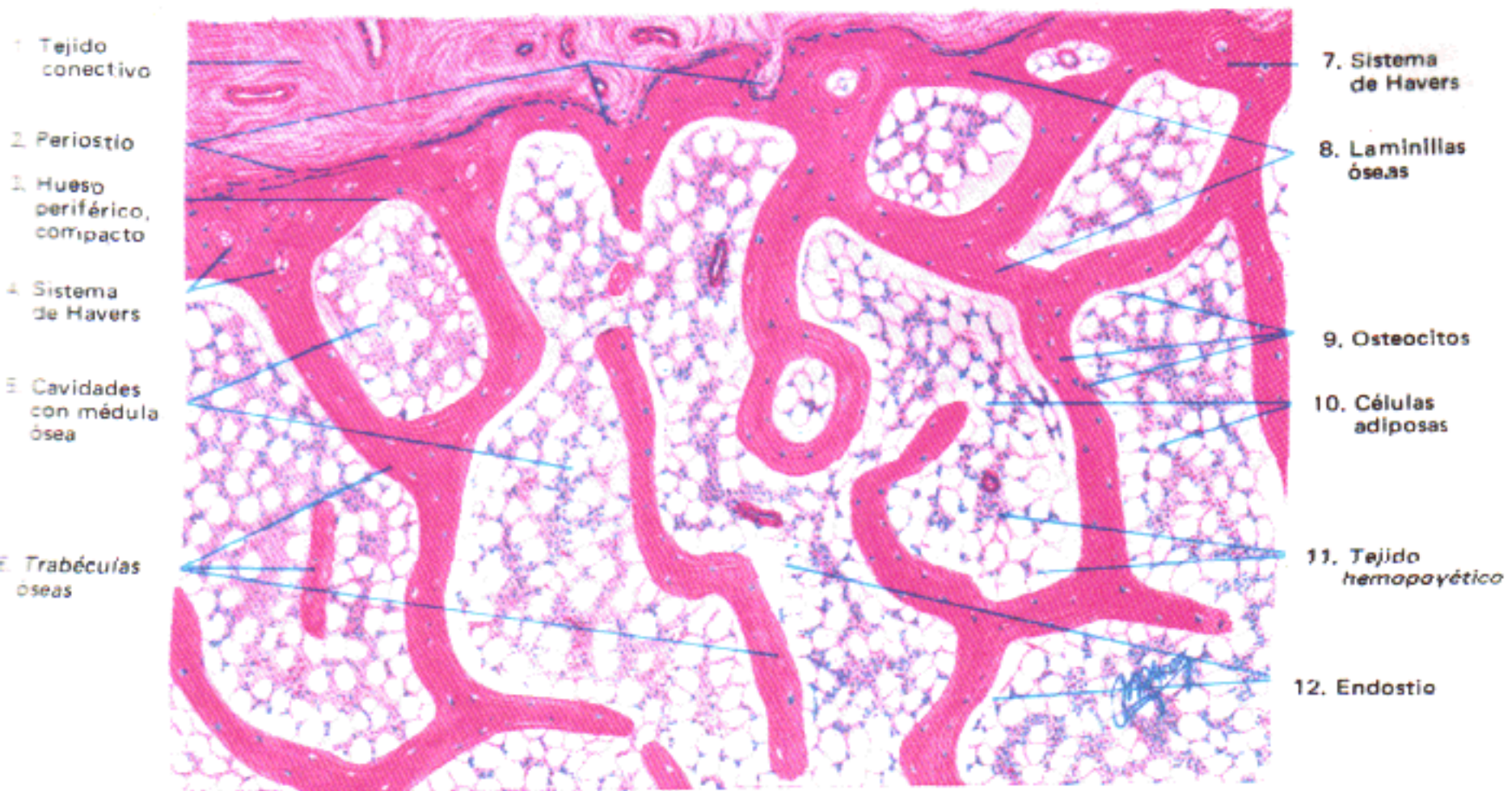


Fig. 1.— Coloración: hematoxilina-eosina. 35 X.

Osificación intramembranosa (mandíbula de feto de cinco meses) (Corte transversal)

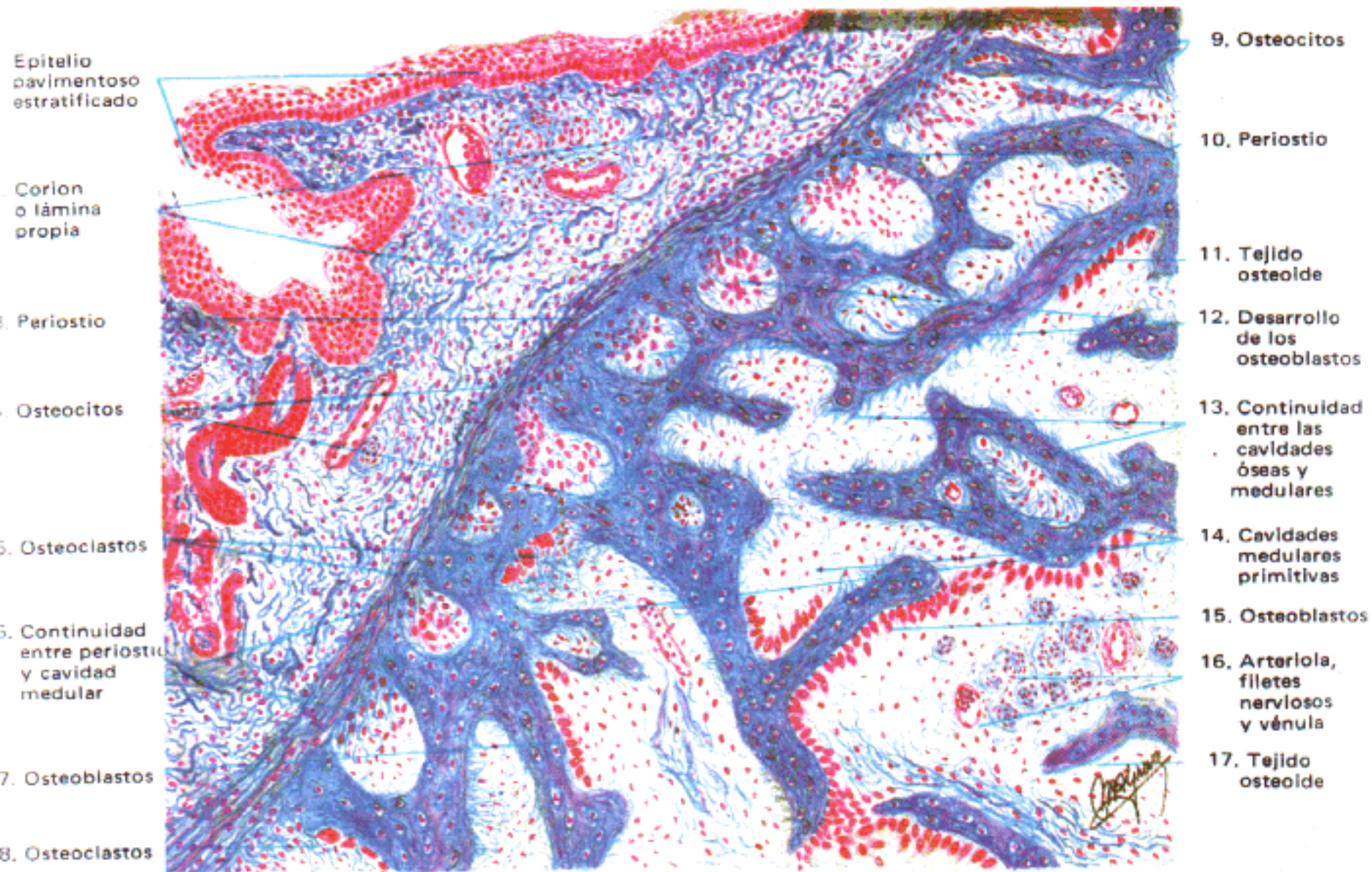
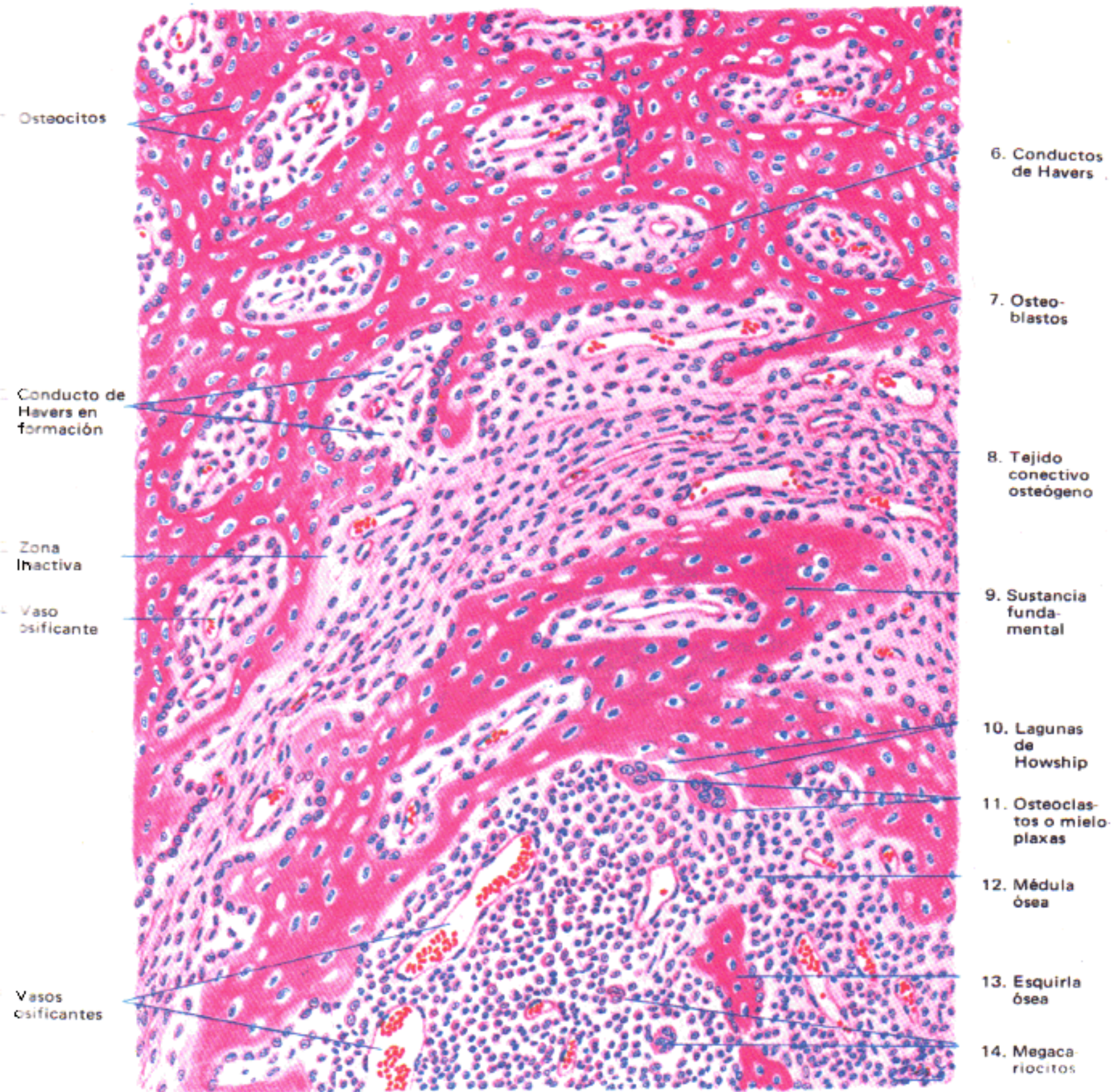
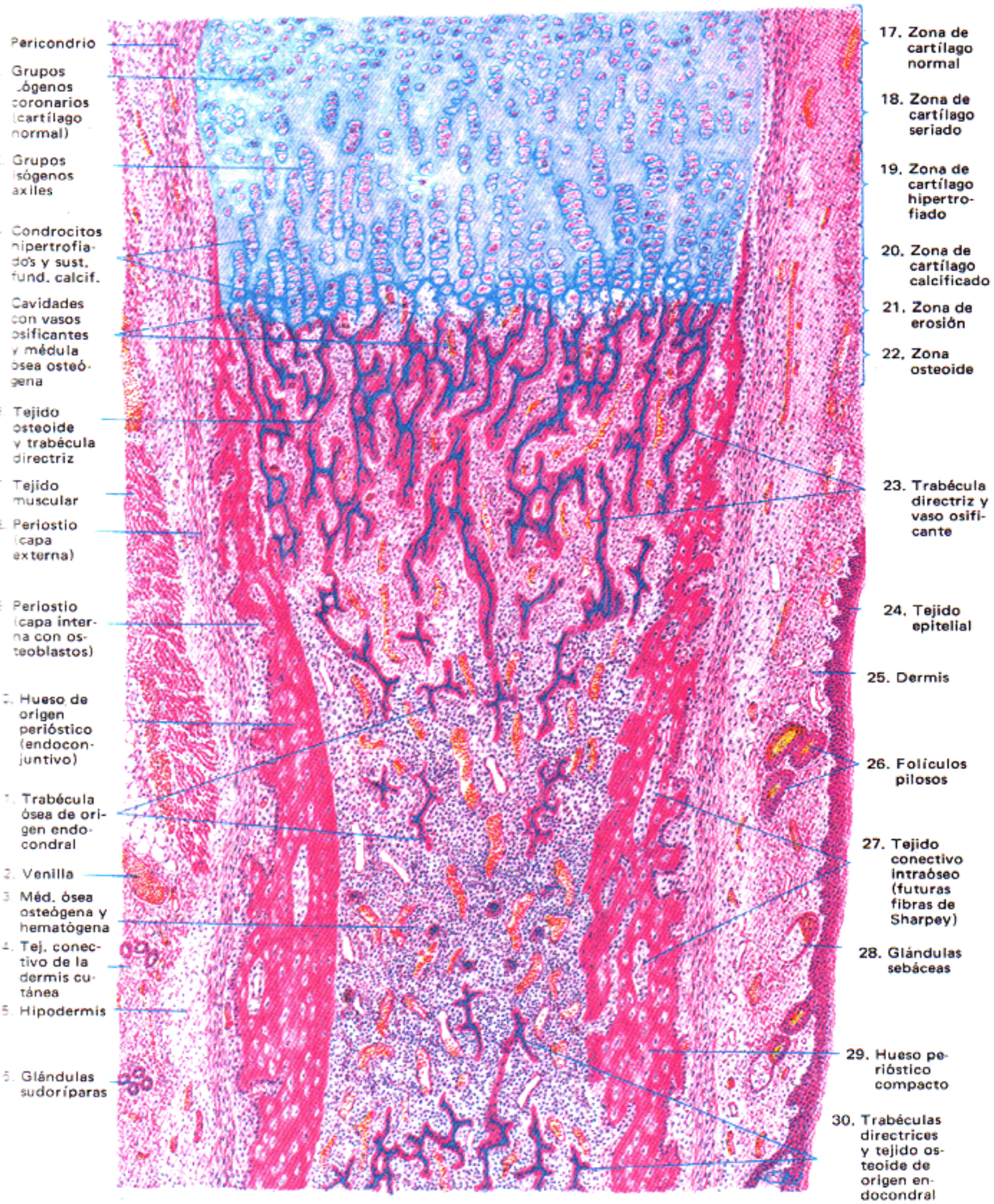


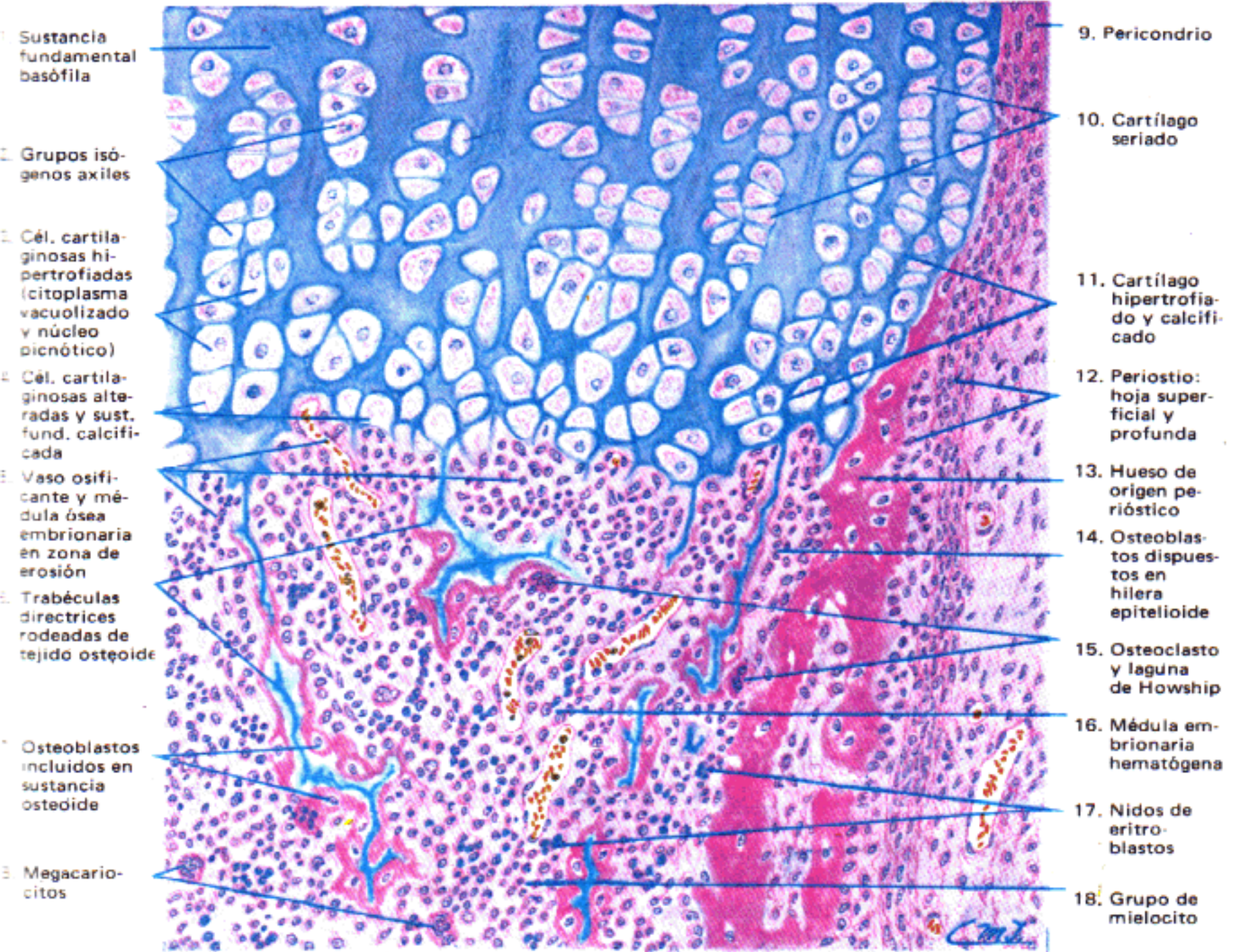
Fig. 2.— Coloración; Mallory-Azán. 50 X.



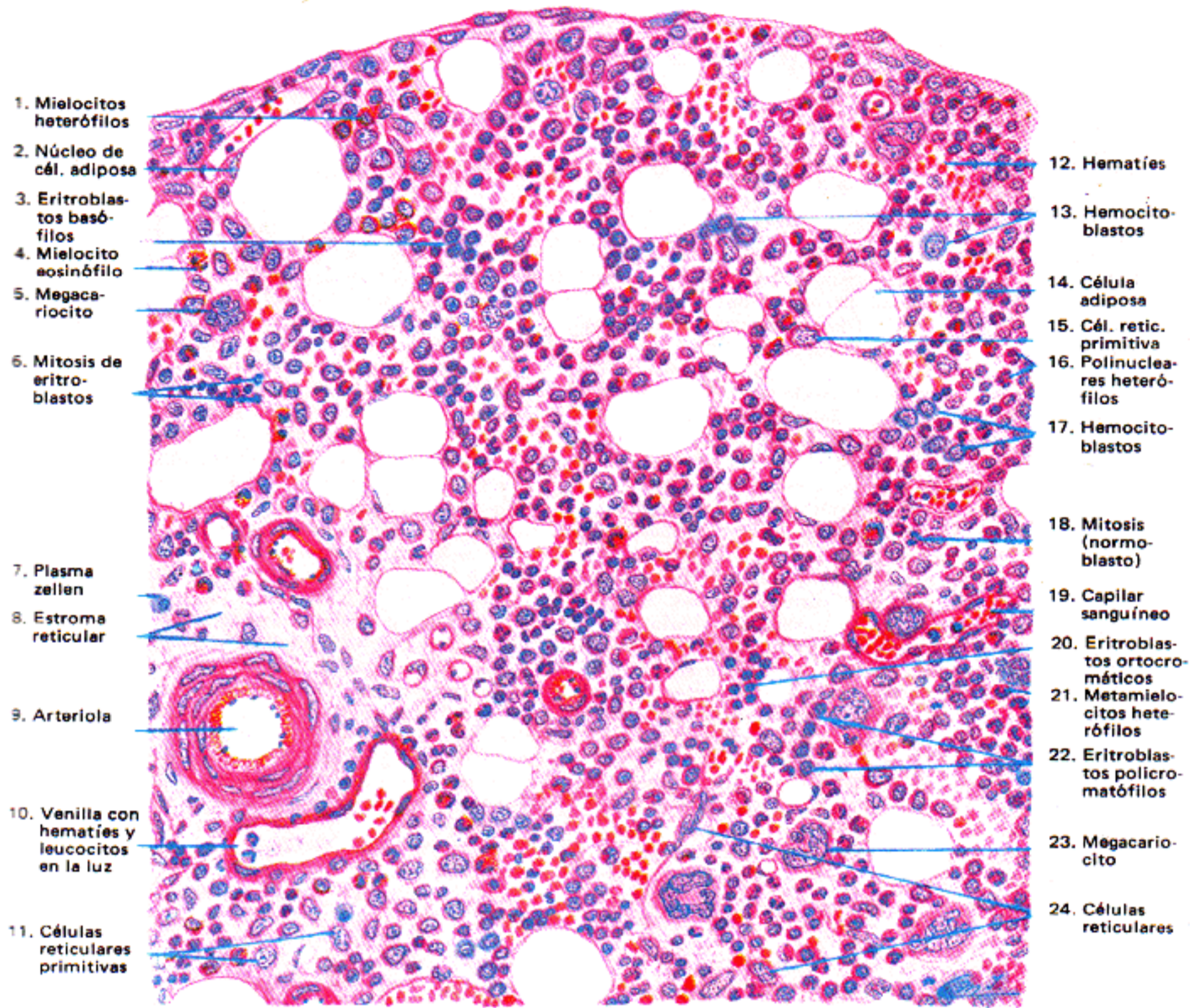
Coloración: hematoxilina-eosina. 140 X.



Coloración: hematoxilina-eosina. 60 X.

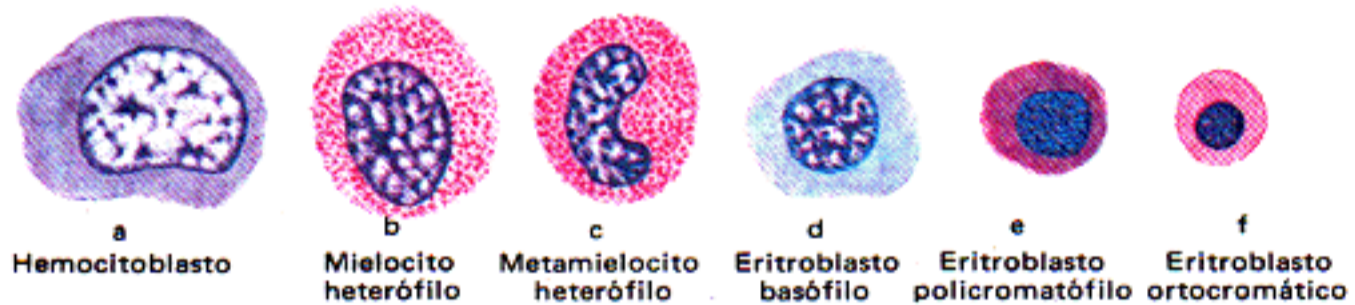


Coloración: hematoxilina-eosina. 200 X.



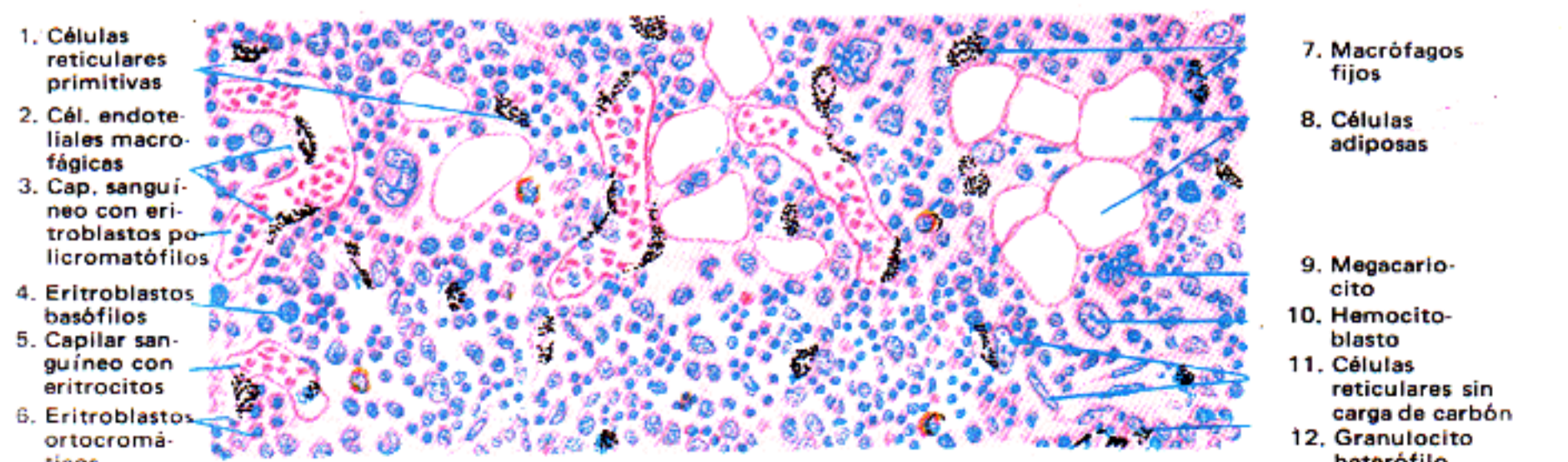
- 1. Mielocitos heterófilos
- 2. Núcleo de cél. adiposa
- 3. Eritroblastos basófilos
- 4. Mielocito eosinófilo
- 5. Megacario-cito
- 6. Mitosis de eritro-blastos
- 7. Plasma zellen
- 8. Estroma reticular
- 9. Arteriola
- 10. Venilla con hematias y leucocitos en la luz
- 11. Células reticulares primitivas

- 12. Hematias
- 13. Hemocito-blastos
- 14. Célula adiposa
- 15. Cél. retic. primitiva
- 16. Polinuclea-res heteró-filos
- 17. Hemocito-blastos
- 18. Mitosis (normo-blasto)
- 19. Capilar sanguíneo
- 20. Eritroblas-tos ortocro-máticos
- 21. Metamielo-citos heteró-filos
- 22. Eritroblas-tos policro-matófilos
- 23. Megacario-cito
- 24. Células reticulares



a Hemocitoblasto b Mielocito heterófilo c Metamielocito heterófilo d Eritroblasto basófilo e Eritroblasto policromatófilo f Eritroblasto ortocromático

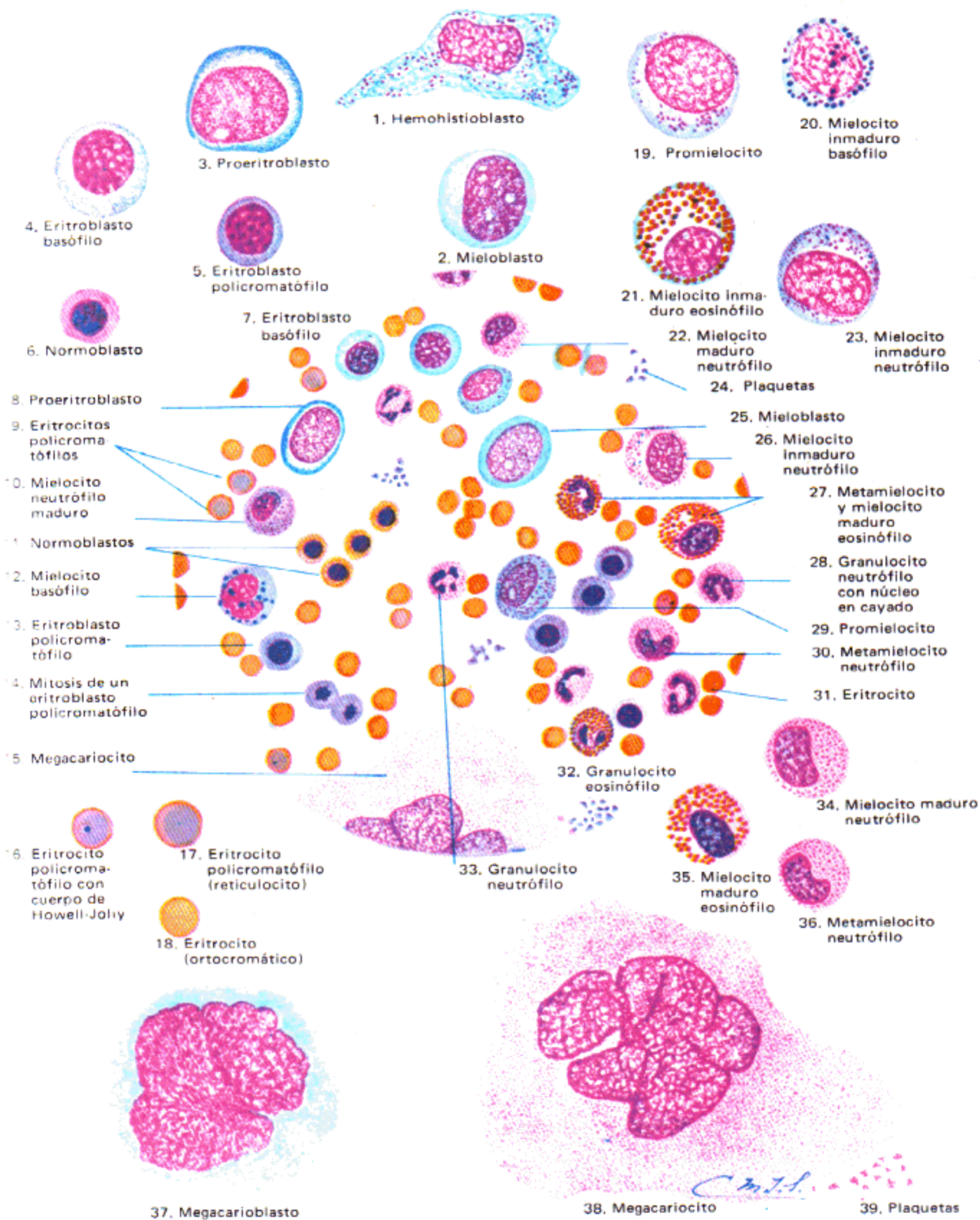
Fig. 1.— Médula ósea de conejo.
(Coloración: hematoxilina-eosina. 300 y 1200 X.)



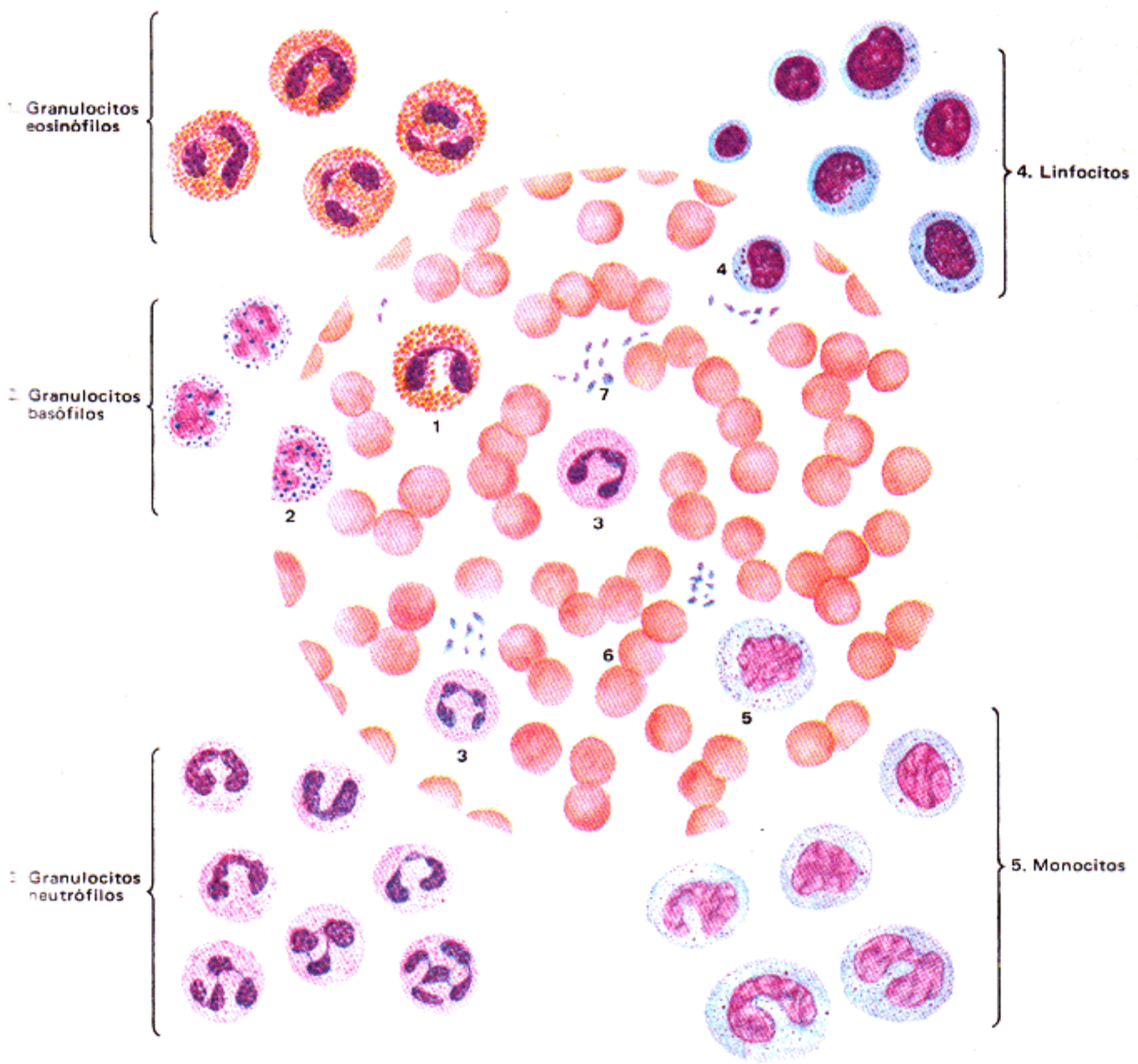
- 1. Células reticulares primitivas
- 2. Cél. endote-liales macro-fágicas
- 3. Cap. sangüi-neo con eri-troblastos po-licromatófilos
- 4. Eritroblas-tos basófilos
- 5. Capilar san-güi-neo con eritrocitos
- 6. Eritroblas-tos ortocro-máticos

- 7. Macrófagos fijos
- 8. Células adiposas
- 9. Megacario-cito
- 10. Hemocito-blasto
- 11. Células reticulares sin carga de carbón
- 12. Granulocito heterófilo

Fig. 2.— Médula ósea de conejo inyectado con tinta china.
(Coloración: hematoxilina-eosina. 250 X.)



Coloración: May-Grünwald-Giemsa. 800 y 1200 X.



Coloración: May-Grünwald-Giemsa. 1100 X.

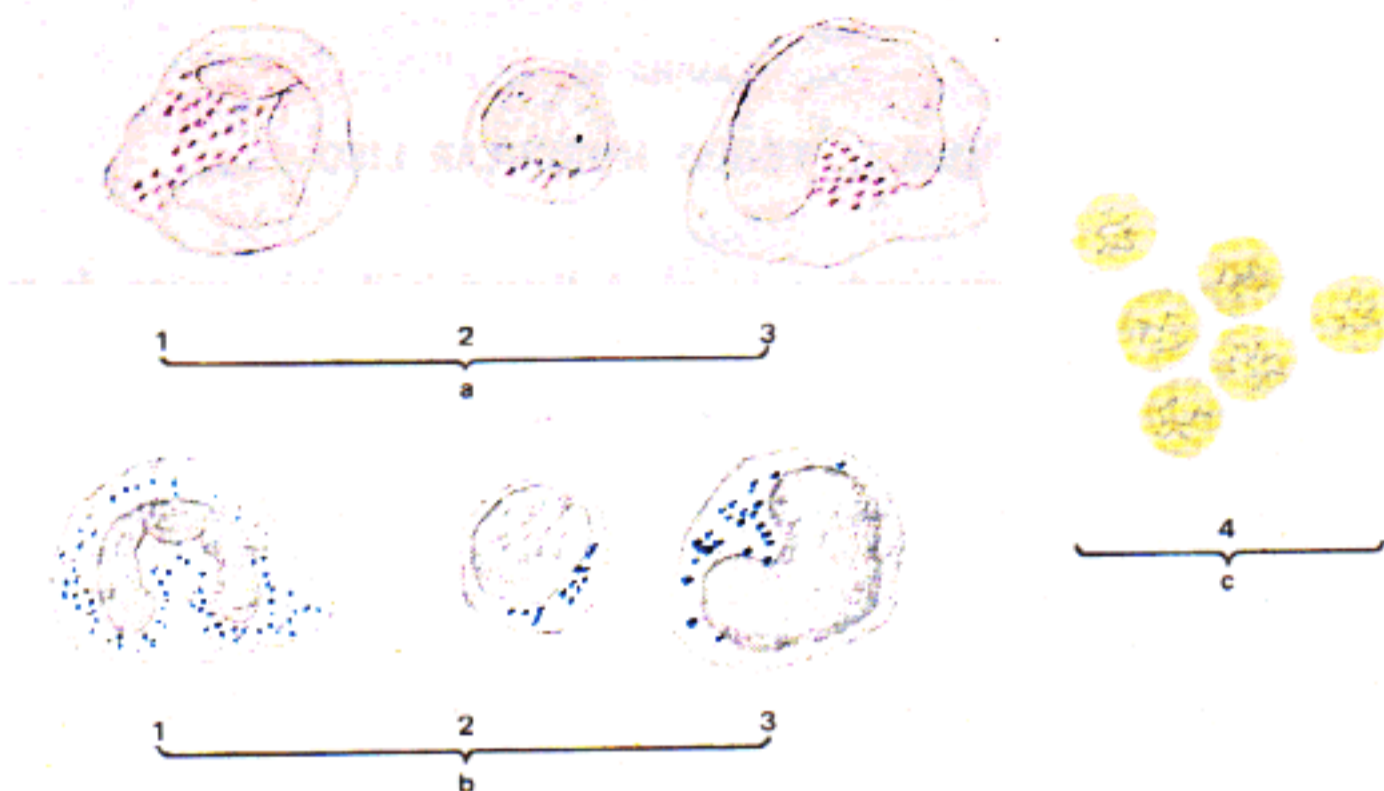


Fig. 1.— Células sanguíneas coloreadas con métodos supravitales.

- a, Vacuoma. Coloración con rojo neutro.
 b, Condrioma. Coloración con verde jano.
 c, Sustancia granulofilamentosa. Coloración con azul brillante de cresilo.
 1, Granulocito neutrófilo; 2, linfocito; 3, monocito; 4, hematie.

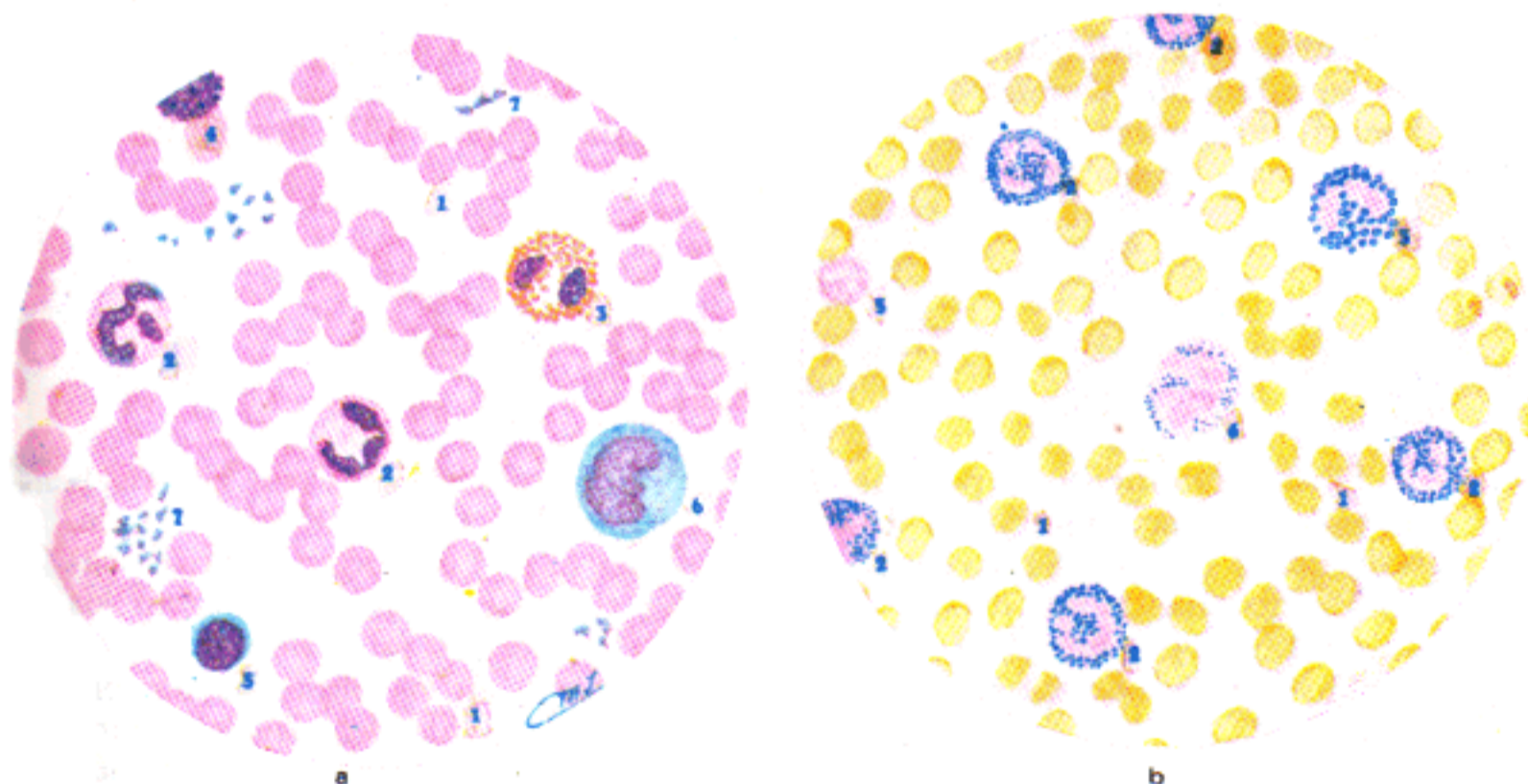


Fig. 2.— Extendido de sangre humana.

- a, Método panóptico de Pappenheim (May-Grünwald-Giemsa). Núcleos, violeta rojizo; citoplasma basófilo, azul de diferente intensidad de acuerdo con su basofilia; citoplasma acidófilo, rojo más o menos intenso; granulaciones neutrófilas, violeta; granulaciones eosinófilas, rojo anaranjado; granulaciones basófilas, violeta oscuro; granulaciones azurófilas, púrpura brillante.
- b, Reacción de las peroxidasas. Técnica de Celani. Núcleos, rosado vivo; citoplasma de los leucocitos, rosado pálido; hematies, amarillento; granulaciones que contienen peroxidasas, azules.
- 1, Hematies; 2, granulocito neutrófilo; 3, granulocito eosinófilo; 4, granulocito basófilo; 5, linfocito; 6, monocito; 7, plaquetas.

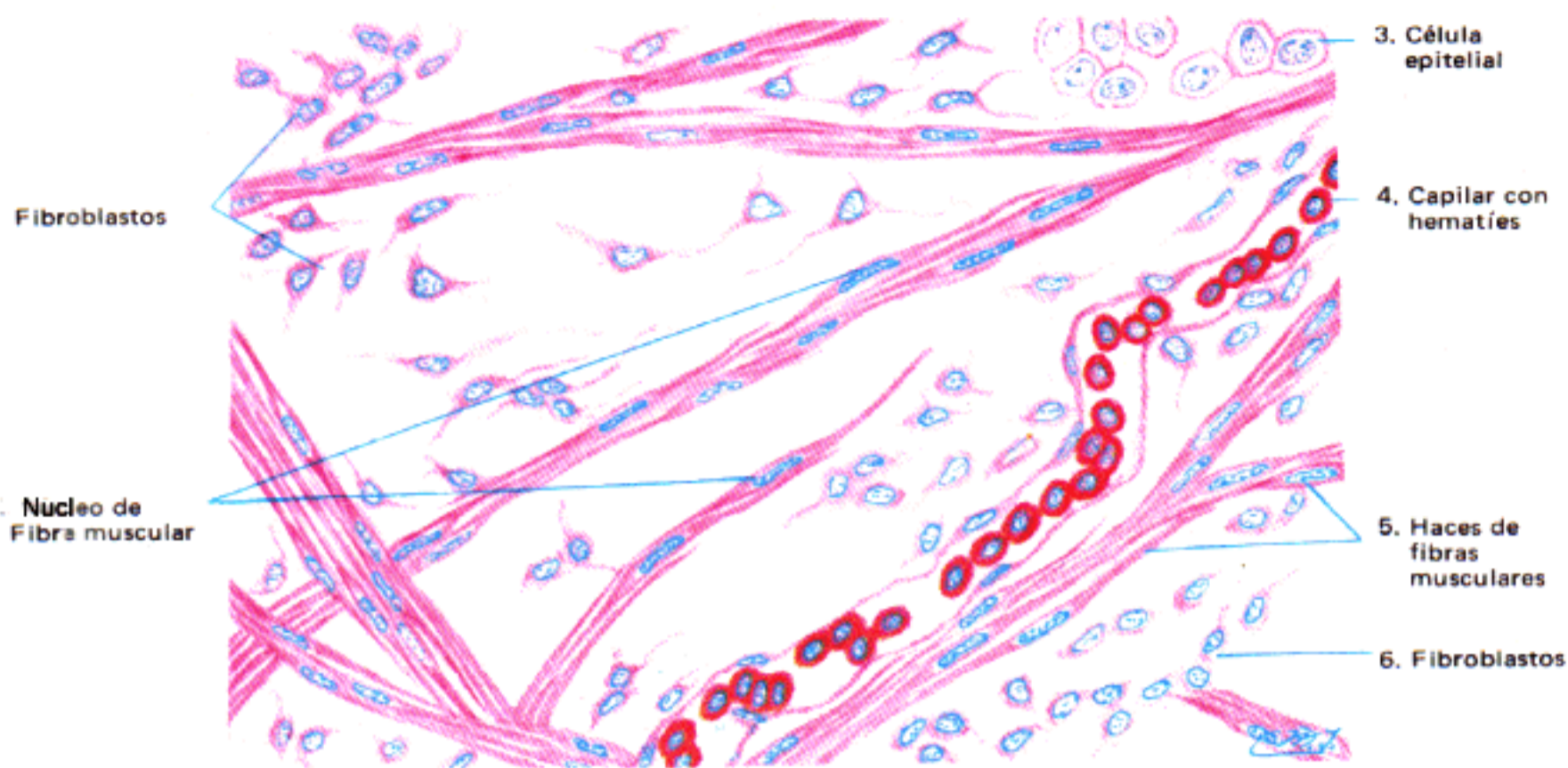


Fig. 1.— Pared distendida de vejiga de sapo.
(Coloración: hematoxilina-eosina. 360 X.)

Tejido muscular estriado

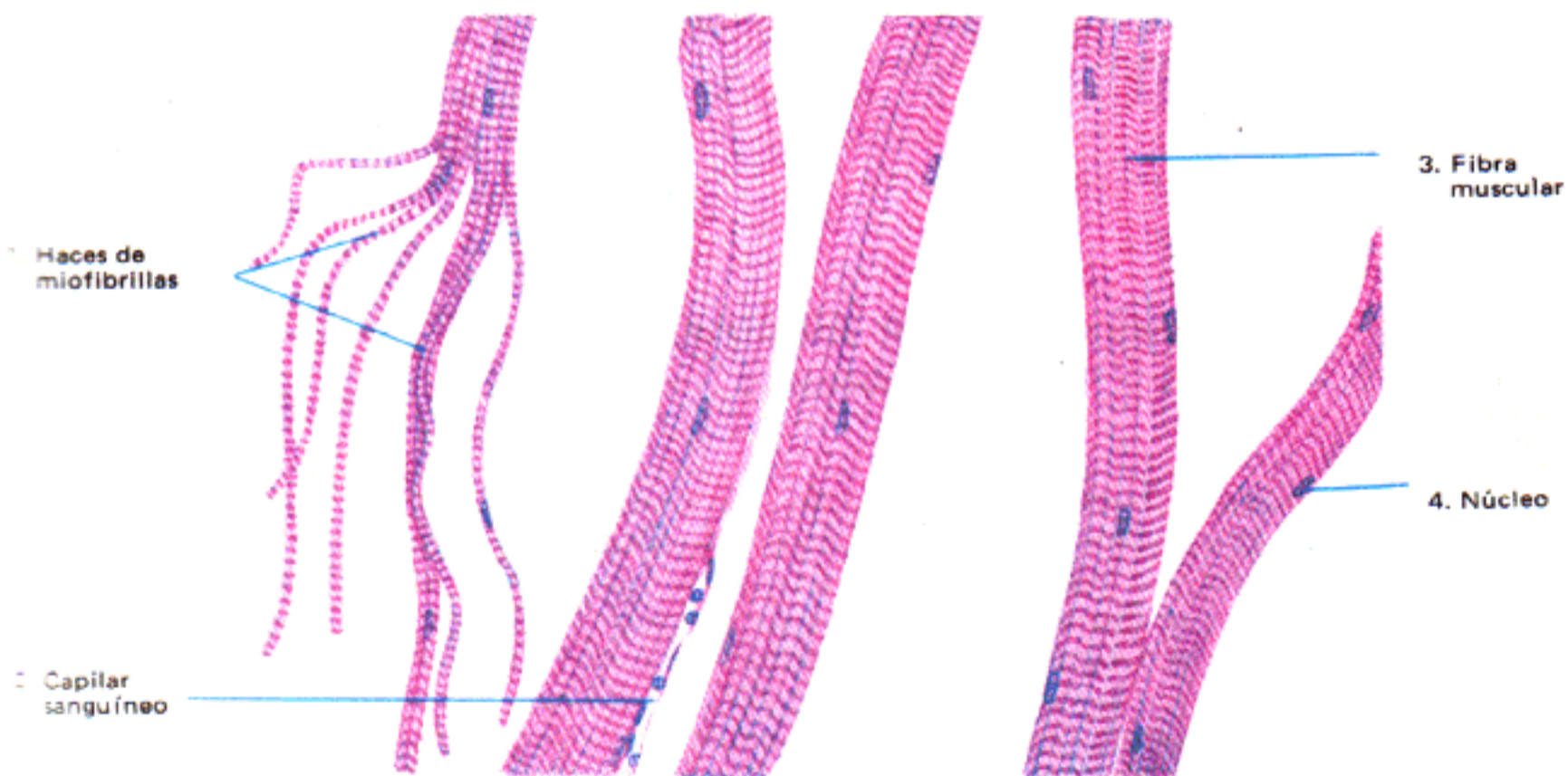


Fig. 2.— Músculo dissociado de pata de sapo.
(Coloración: hematoxilina-eosina. 250 X.)

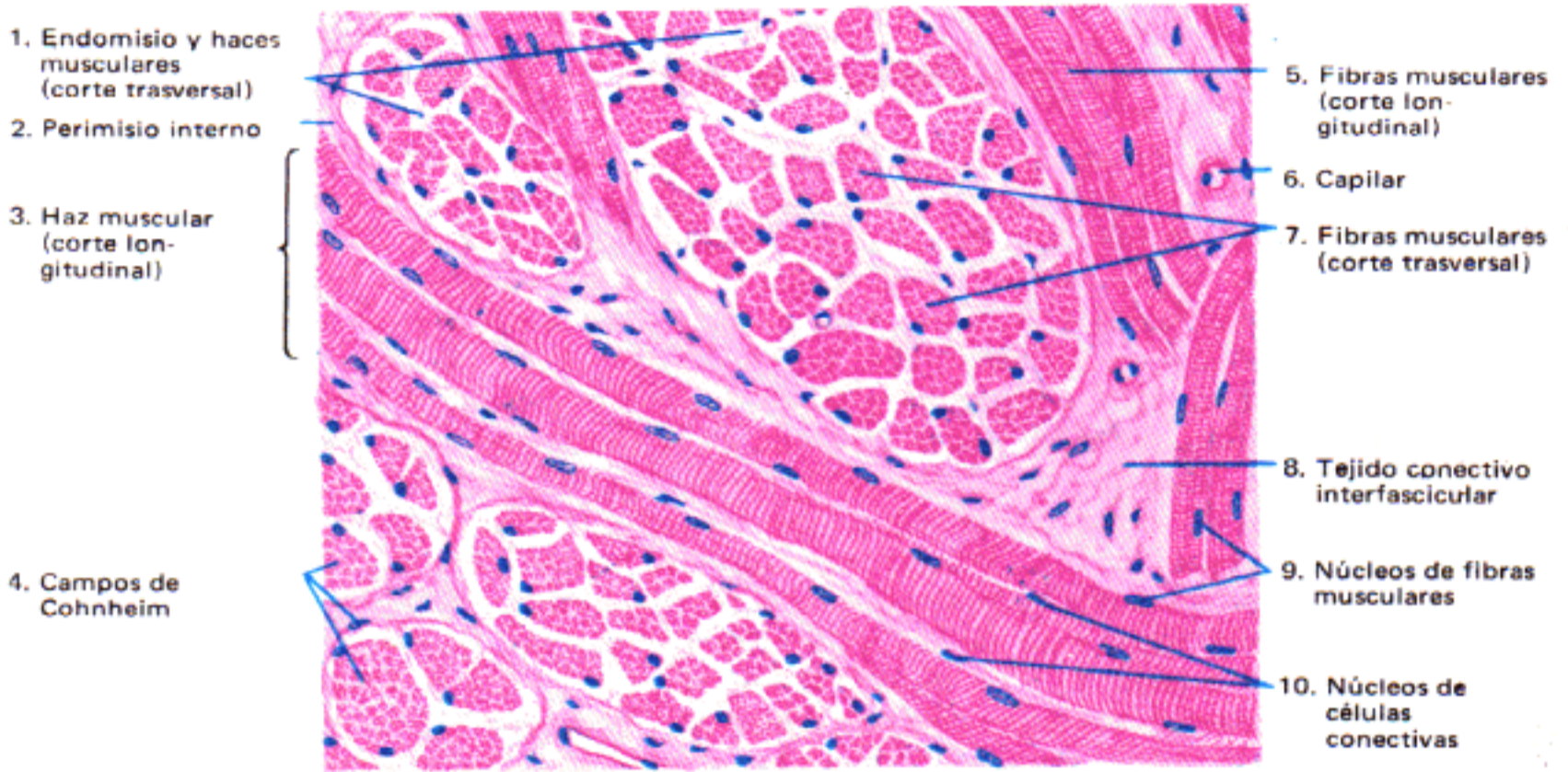


Fig. 1.— *Tejido muscular estriado.*
 Músculos de la lengua.
 (Coloración: hematoxilina-eosina. 320 X.)

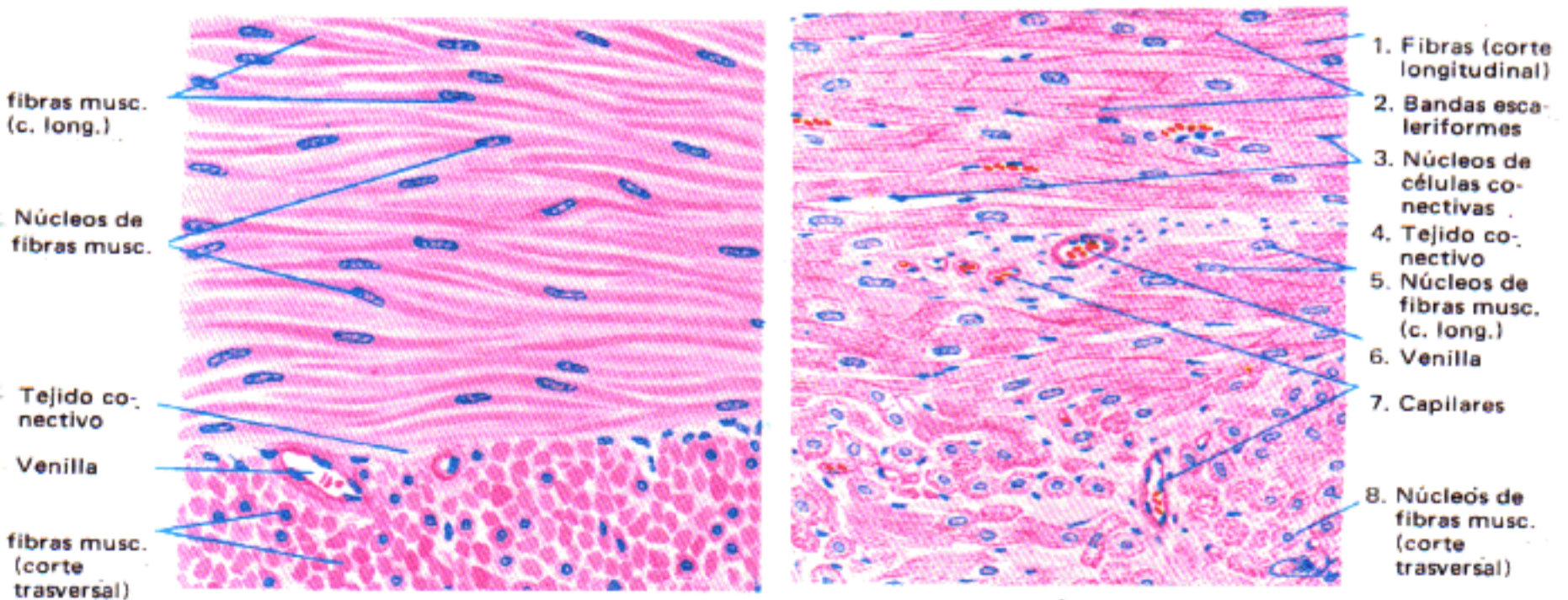


Fig. 2.— *Tejido muscular liso.*
 Túnica muscular de intestino.

Fig. 3.— *Tejido muscular cardíaco.*
 Miocardio.

(Coloración: hematoxilina-eosina. 320 X.)

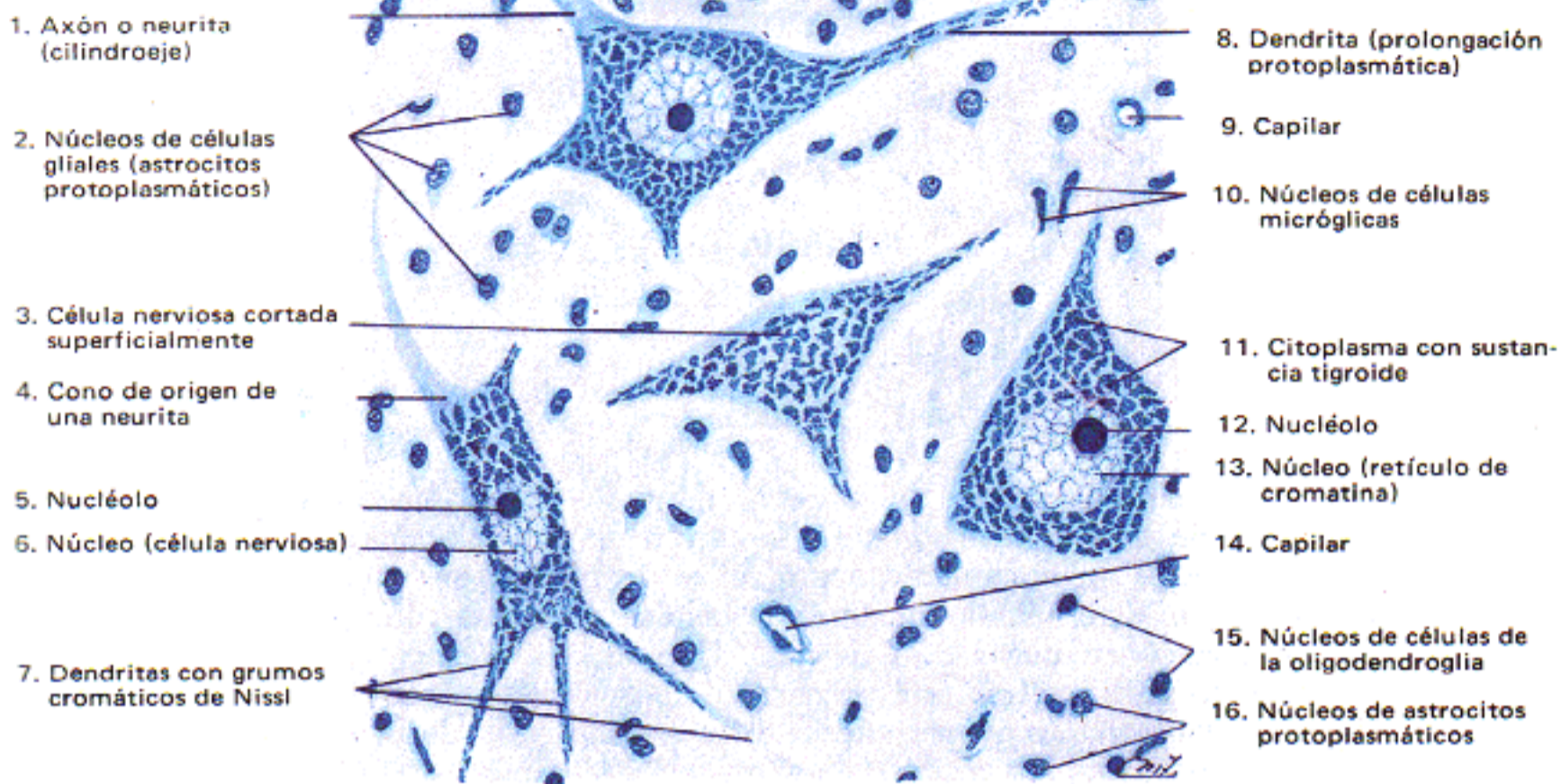


Fig. 1.— *Sustancia gris (asta anterior de la médula).*
 (Método de Nissl. 350 X.)

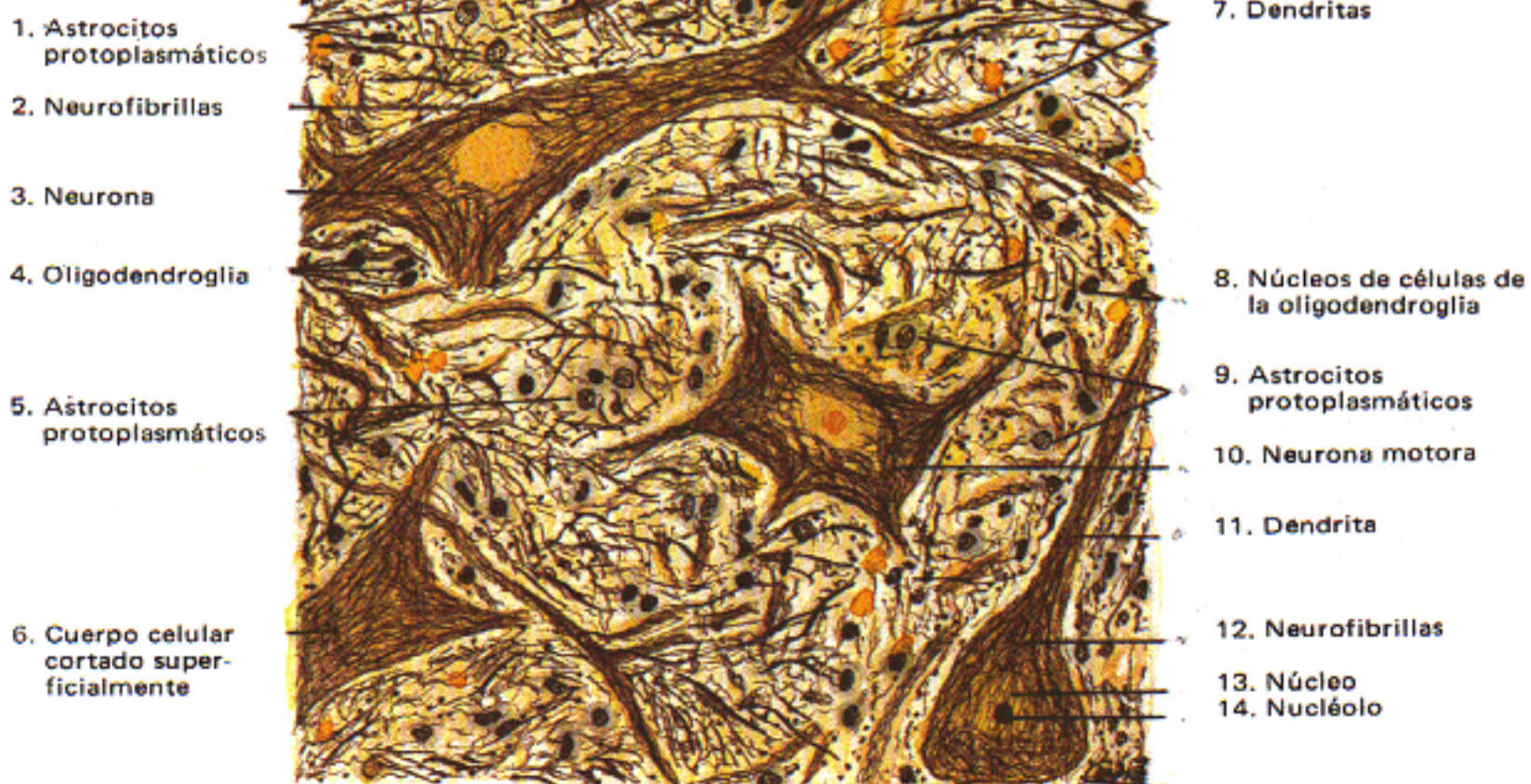


Fig. 2.— *Sustancia gris (asta anterior de la médula).*
 (Método de Cajal. 350 X.)

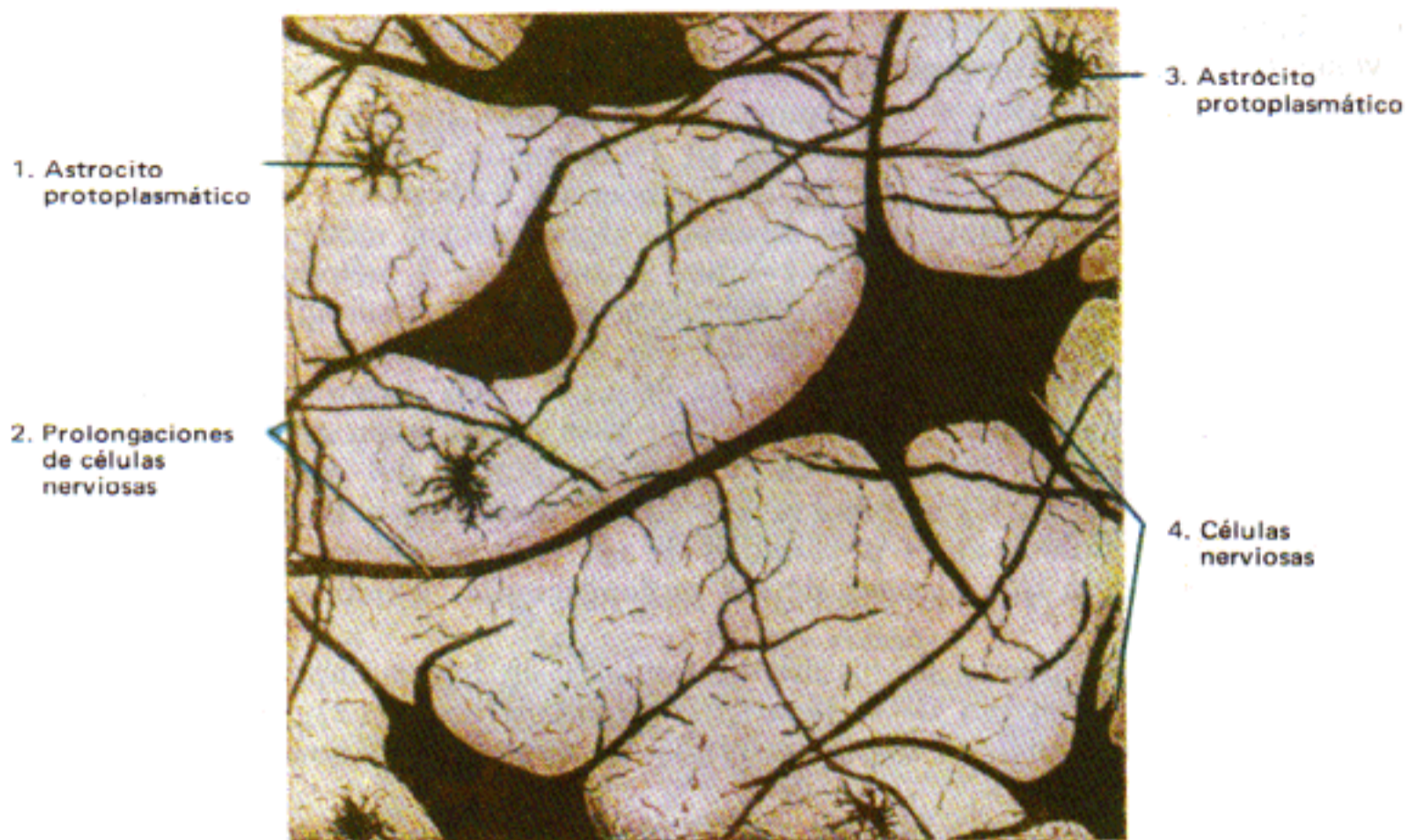


Fig. 1.— *Sustancia gris (asta anterior de la médula).*
(Método de Golgi. 350 X.)



Fig. 2.— *Sustancia gris (asta anterior de la médula).*
(Método de Weigert-Pal. 350 X.)



Fig. 1.— *Cerebro: Macroglia fibrosa.*
(Método de Del Río Hortega)

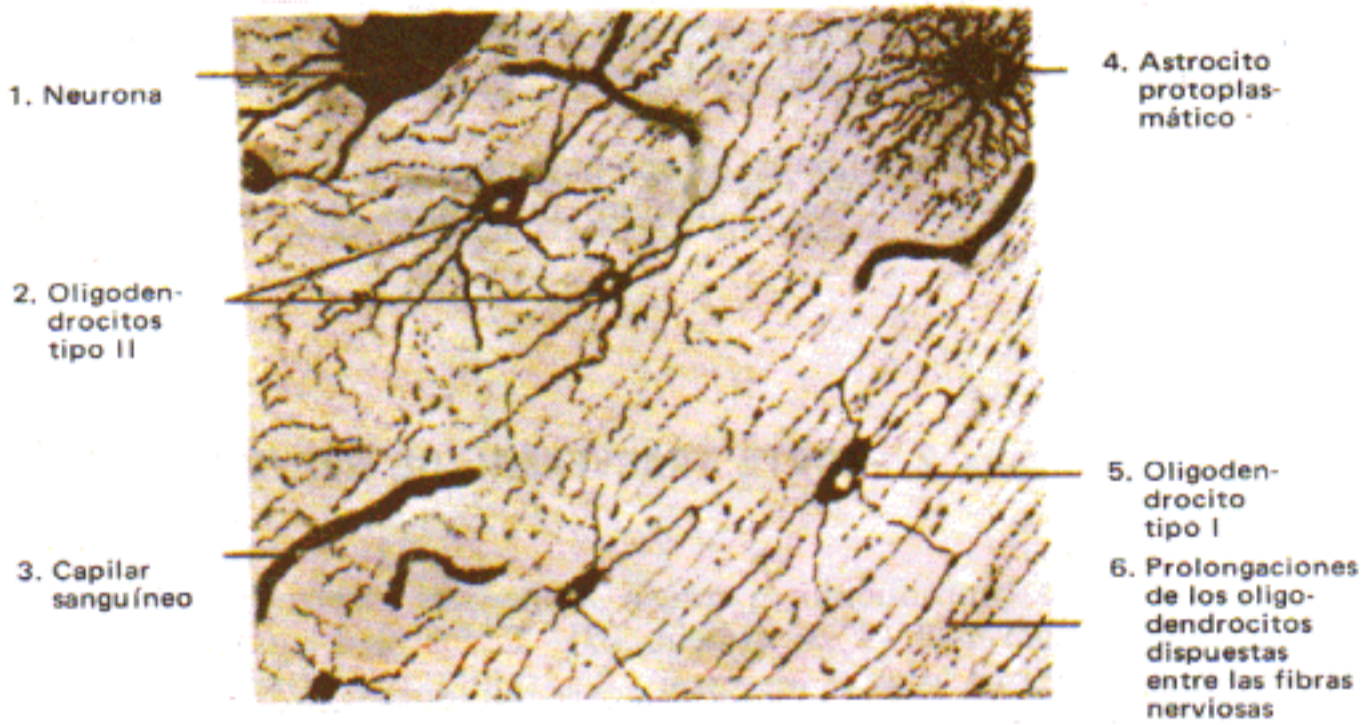


Fig. 2.— *Cerebro: Oligodendroglia.*
(Método de Golgi-Del Río Hortega)

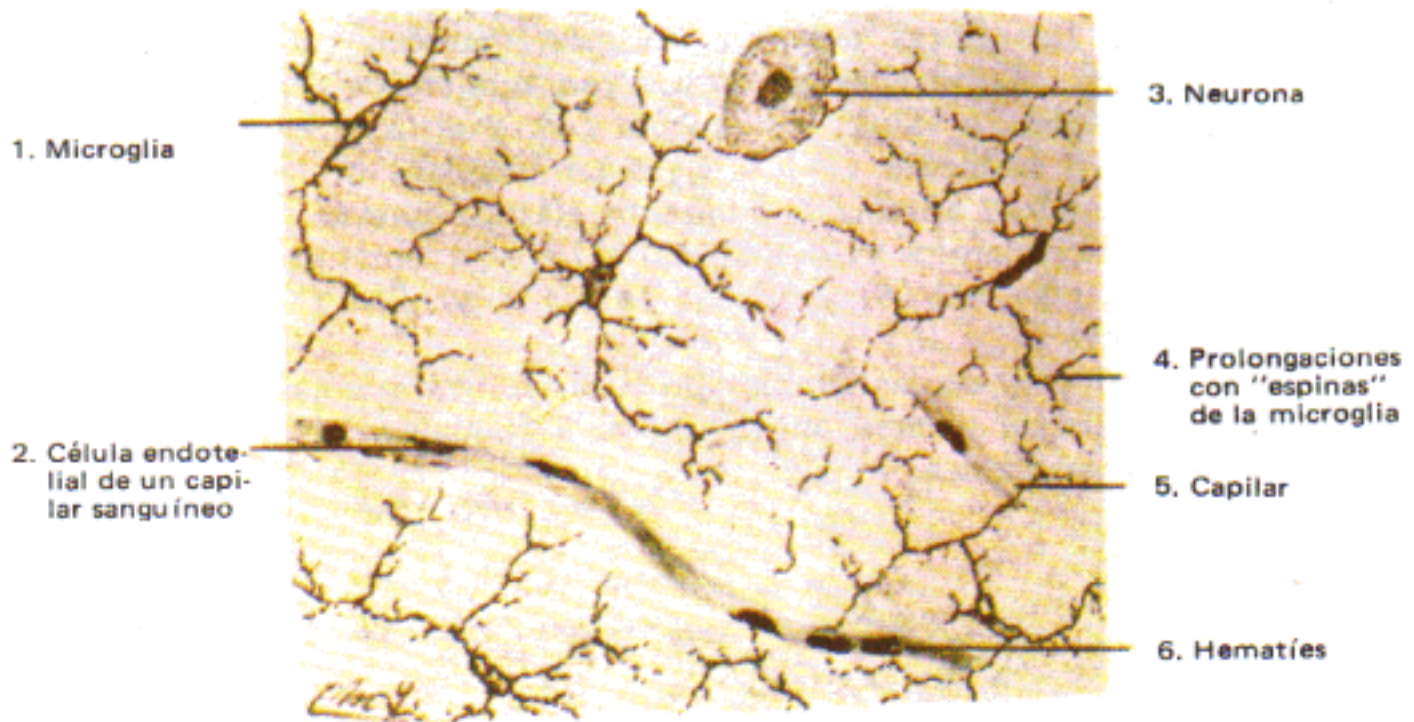


Fig. 3.— *Cerebro: Microglia.*
(Método de Del Río Hortega)

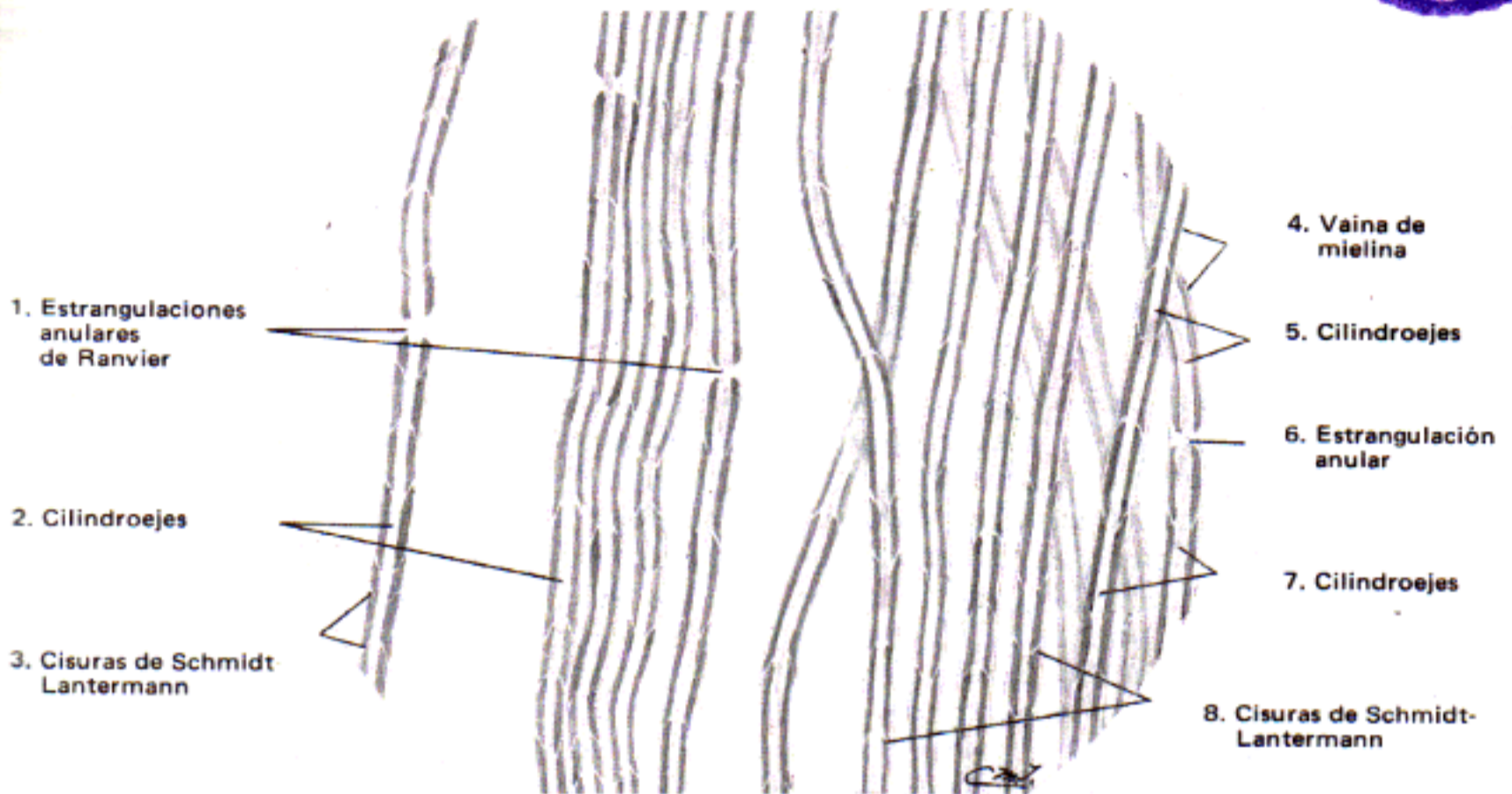


Fig. 1.— *Fibras nerviosas con mielina.*
(Fijación con ácido ósmico y disociación. 220 X.)

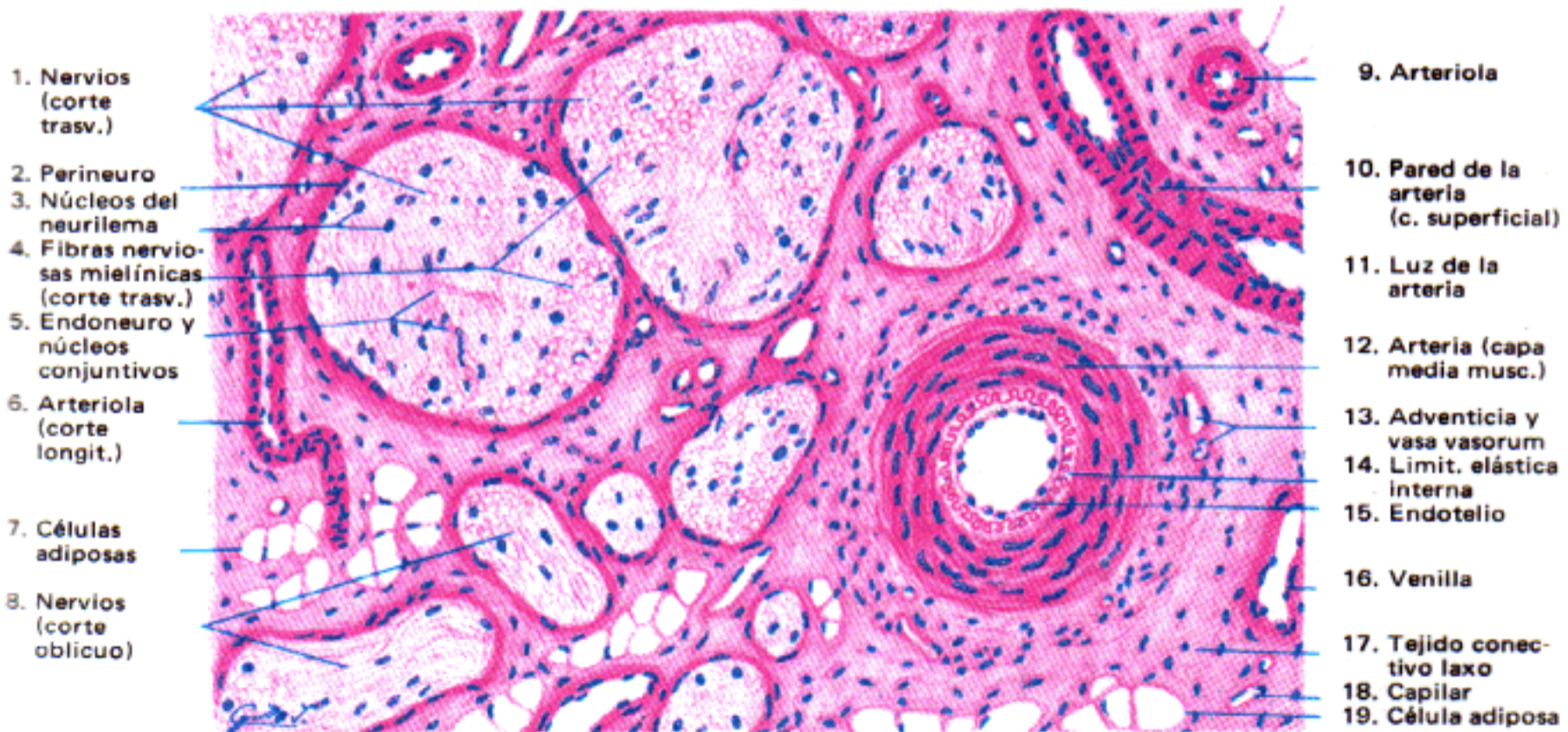


Fig. 2.— *Corte transversal de nervios.*
(Coloración: hematoxilina-eosina. 250 X.)

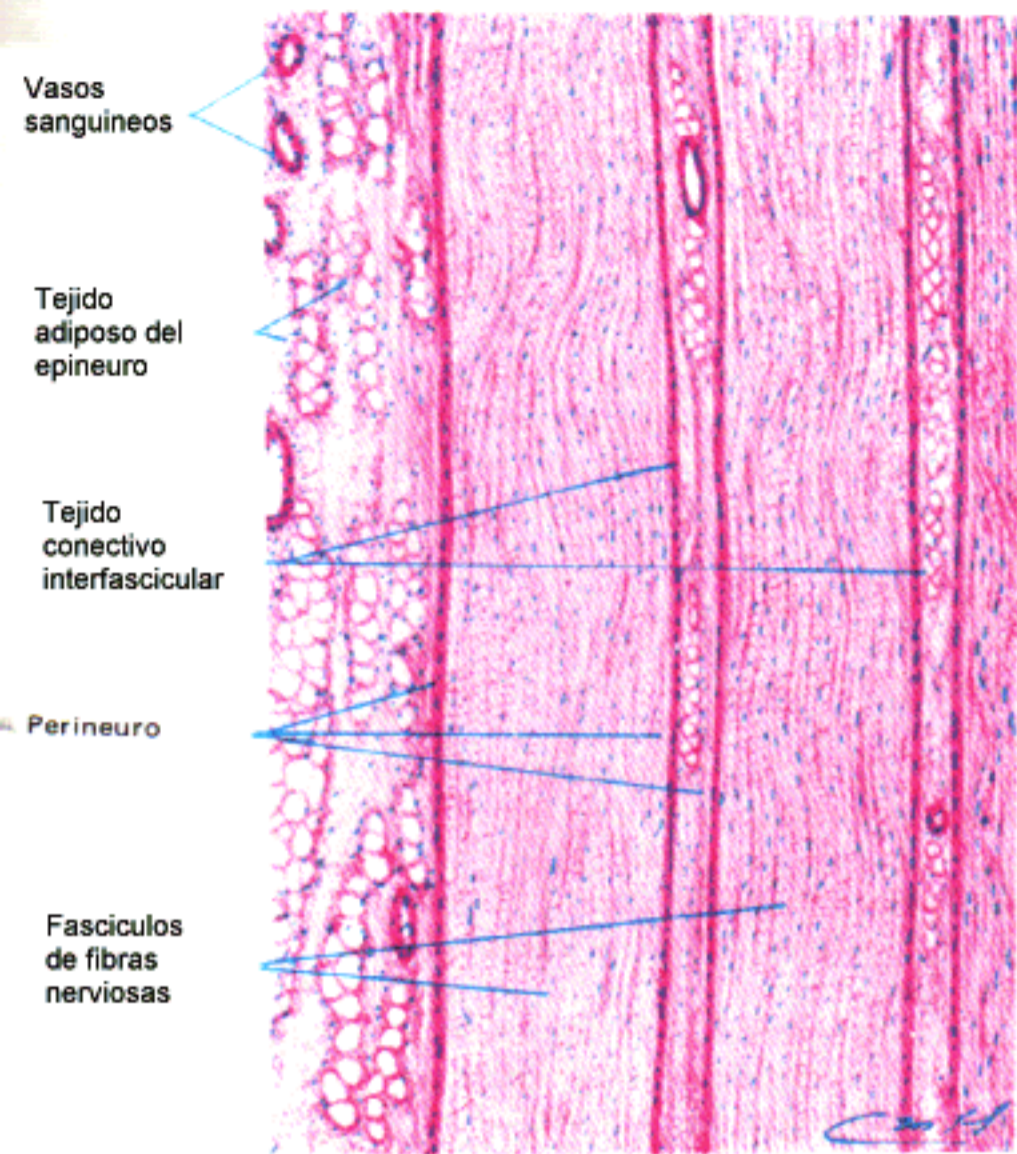


Fig. 1.— Corte longitudinal de nervio ciático (vista panorámica)
(Coloración: hematoxilina-eosina. 50 X.)

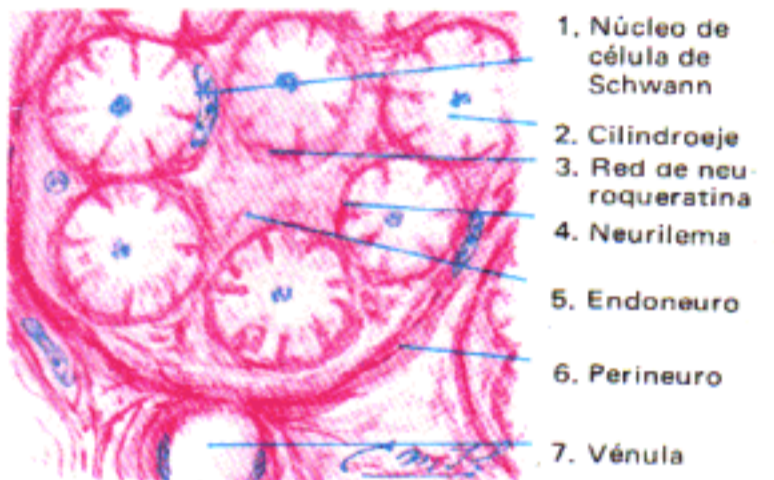
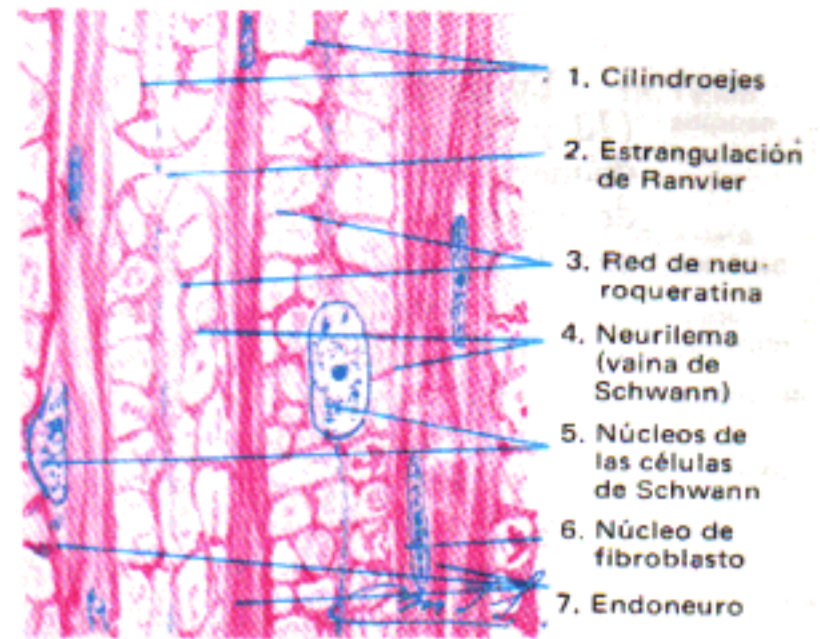


Fig. 2 (arriba).— Nervio ciático (c. longit.)
Fig. 3 (abajo).— El mismo nervio en corte trasv.
(Coloración: hematoxilina-eosina. 800 X.)

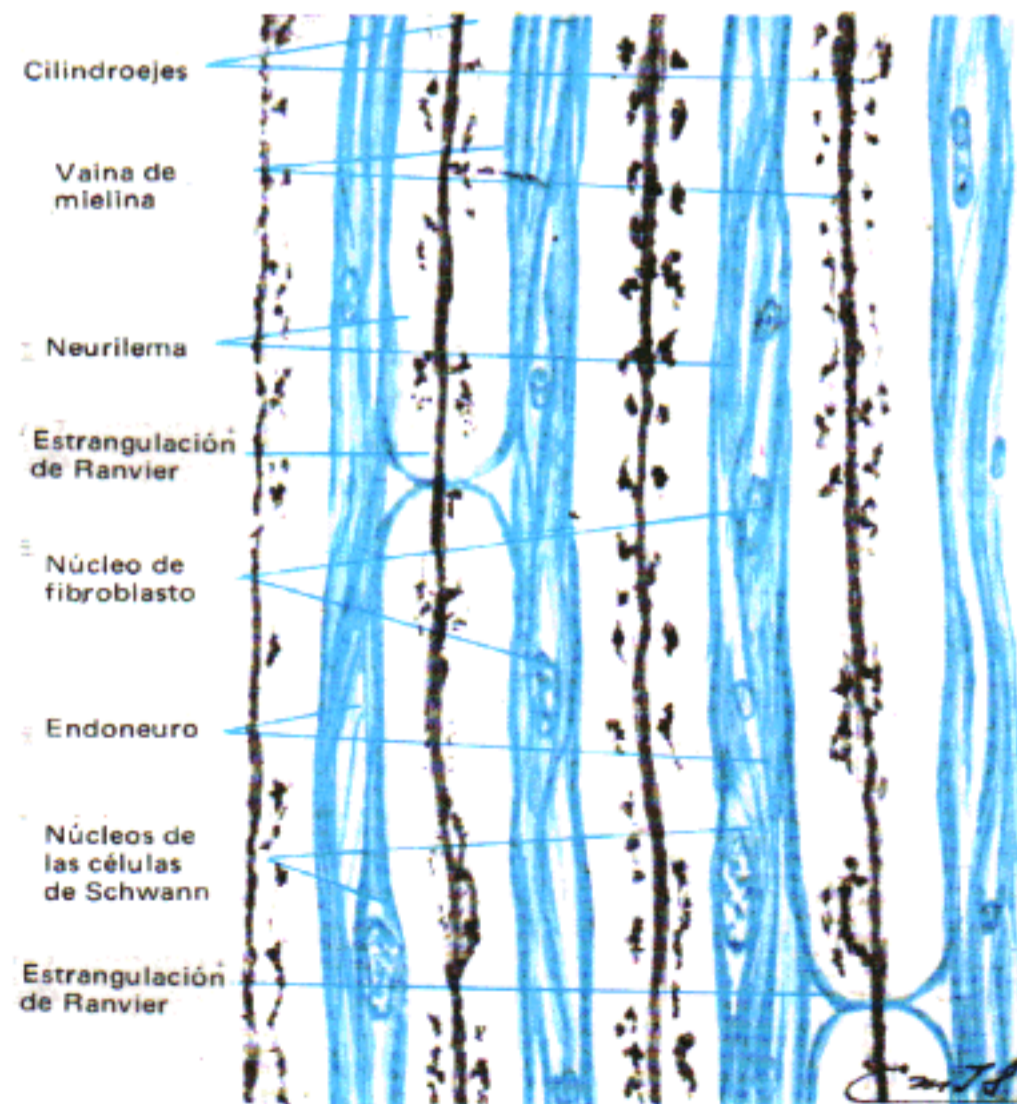


Fig. 4.— Corte longitudinal de nervio (ciático)
(Coloración: protargol y azul de anilina. 800 X.)

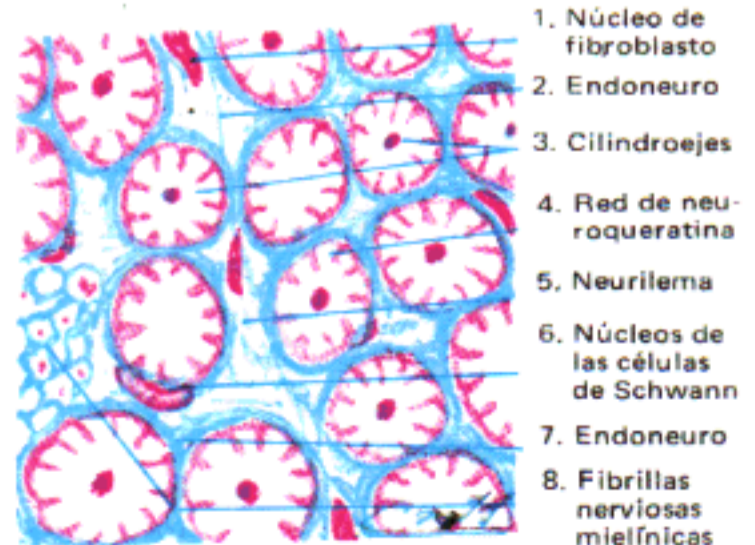
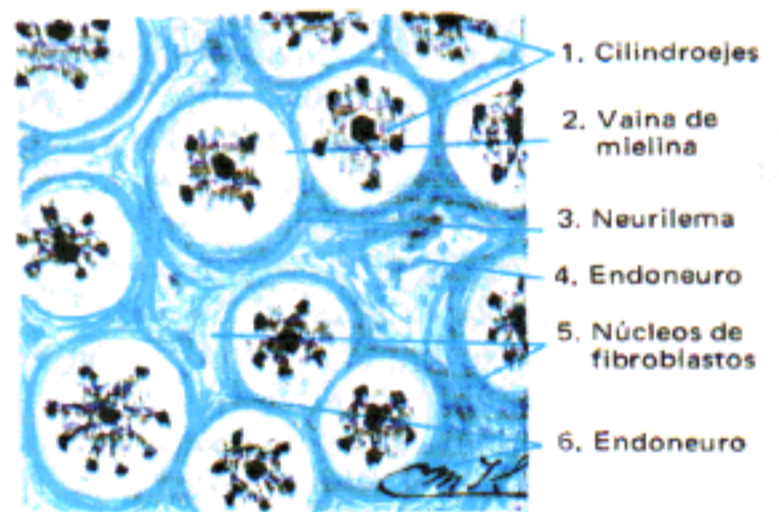


Fig. 5 (arriba).— Corte trasv. de nervio ciático
Fig. 6 (abajo).— C. trasv. de nervio (rama del vago)
(Coloración: Mallory-Azán. 800 X.)

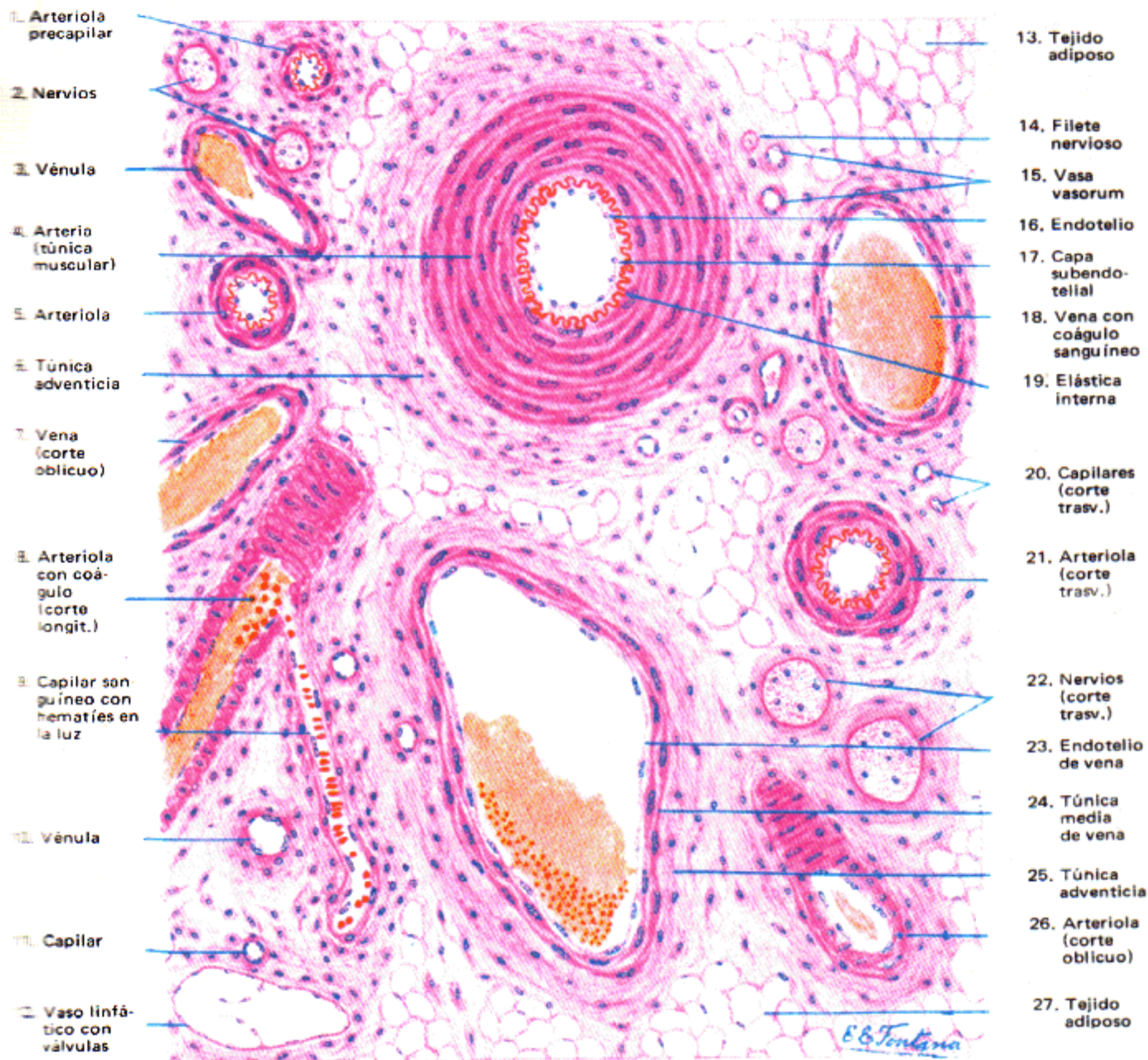


Fig. 1.— Coloración: hematoxilina—eosina. 160 X.

VENA GRANDE: VENA PORTA (Corte transversal)

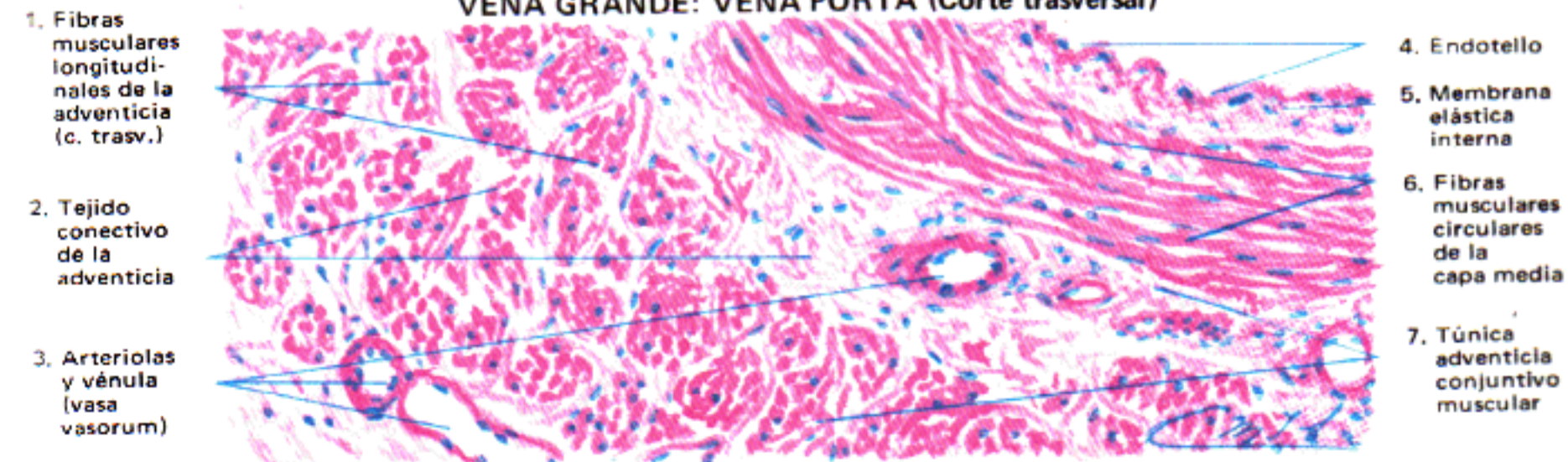


Fig. 2.— Coloración: hematoxilina—eosina. 200 X.

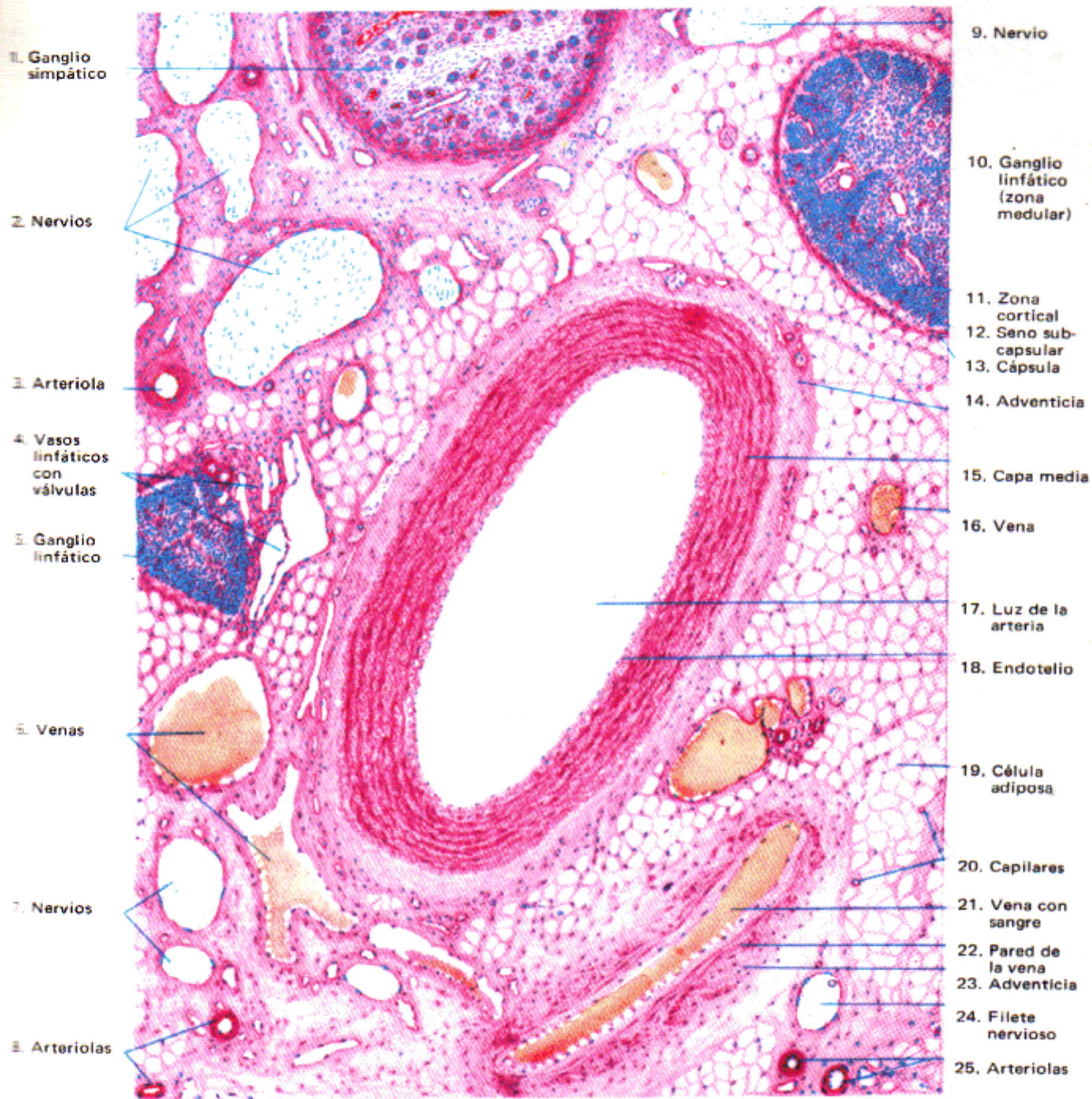


Fig. 1.— Coloración: heimatxilina-eosina. 50 X.

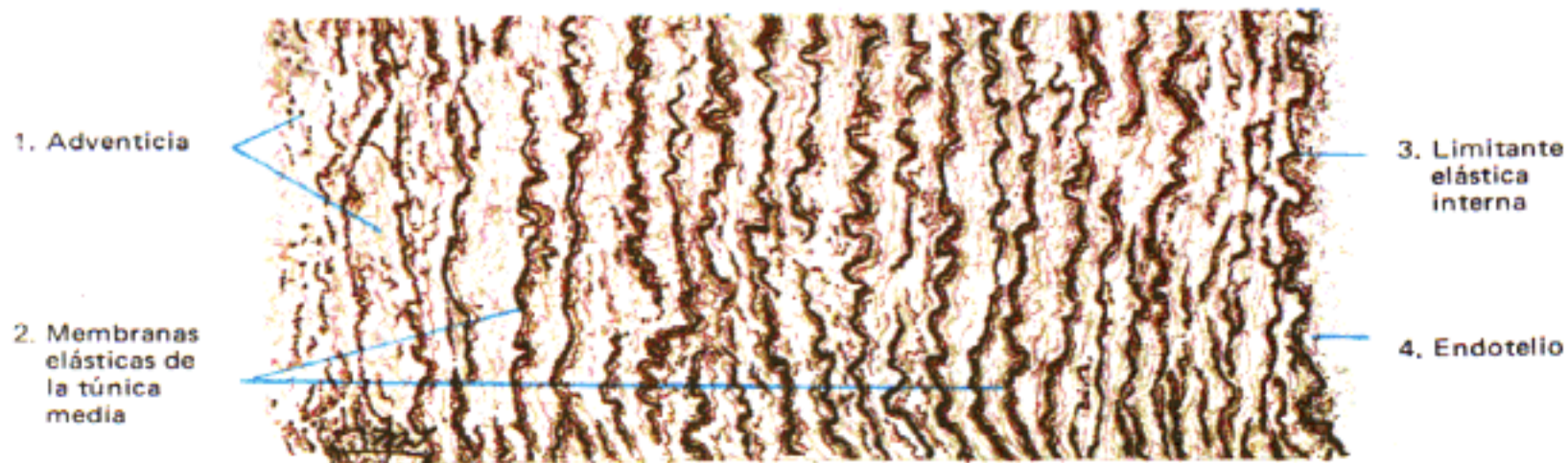
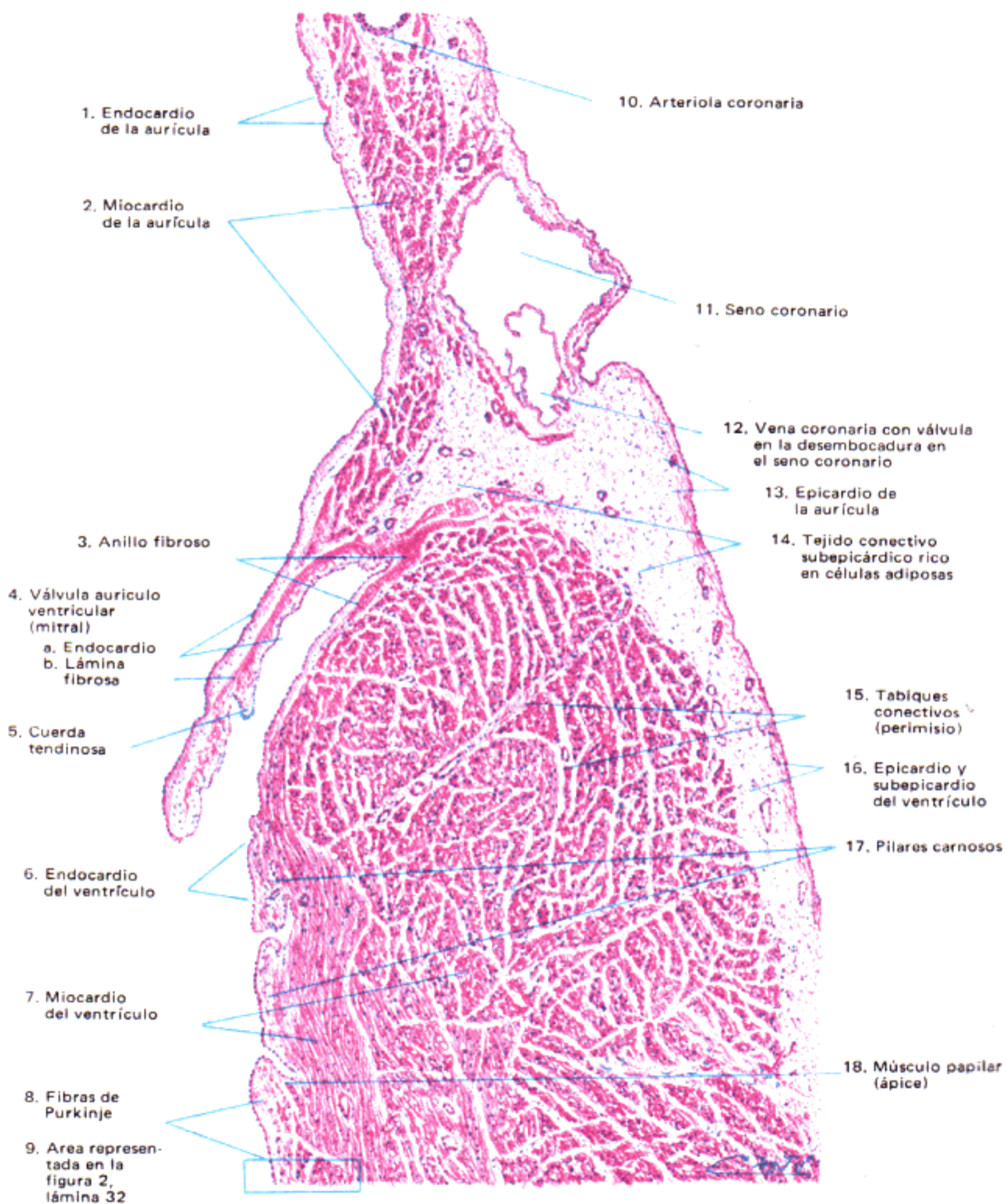


Fig. 2.— Aorta. Coloración con orceina. Fibras elásticas teñidas selectivamente de color pardo oscuro.

Aurícula y ventrículo izquierdos
(Vista panorámica; corte longitudinal)



Coloración: hematoxilina-eosina. 6 X.

**Arteria pulmonar; válvula pulmonar
y ventrículo derecho**
(Vista panorámica; corte longitudinal)

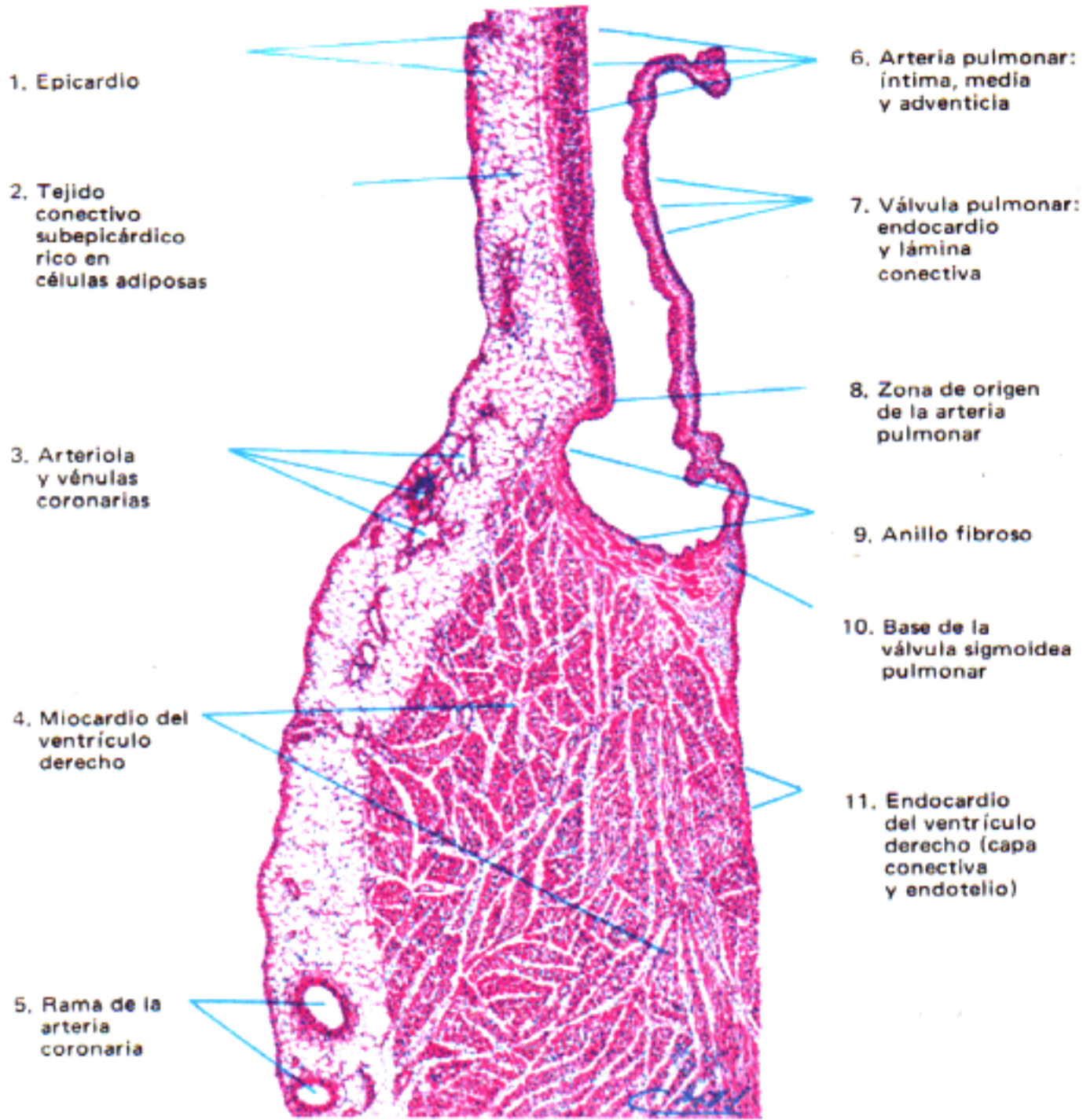


Fig. 1.— Coloración: hematoxilina-eosina. 9 X

Fibras de Purkinje

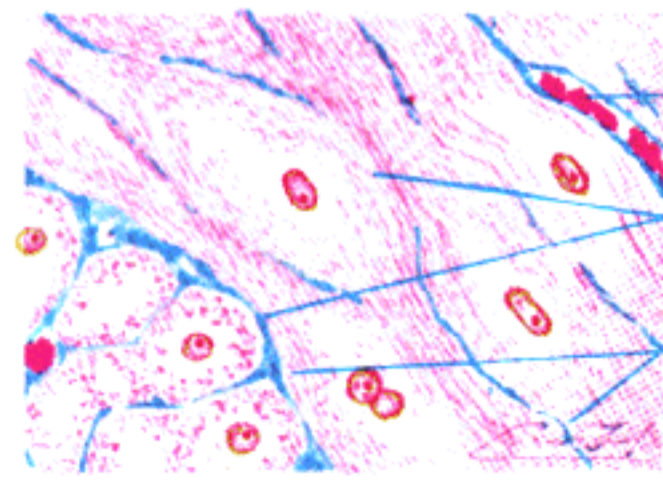
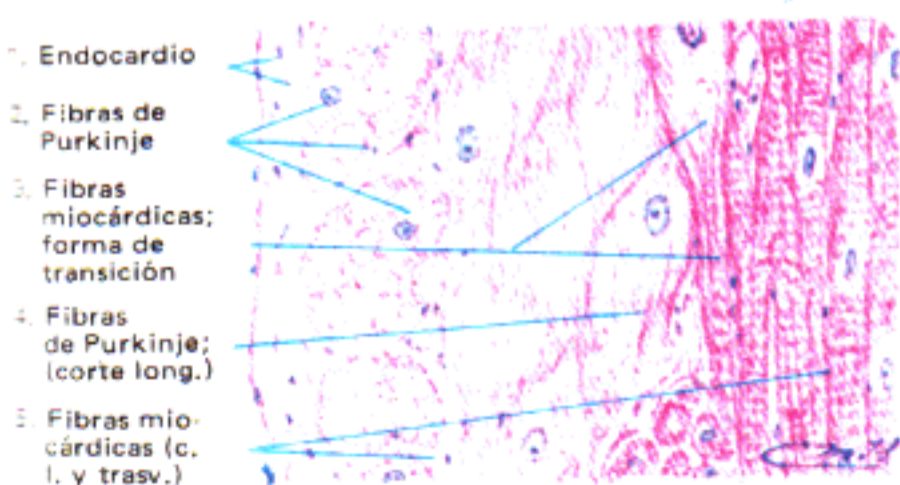
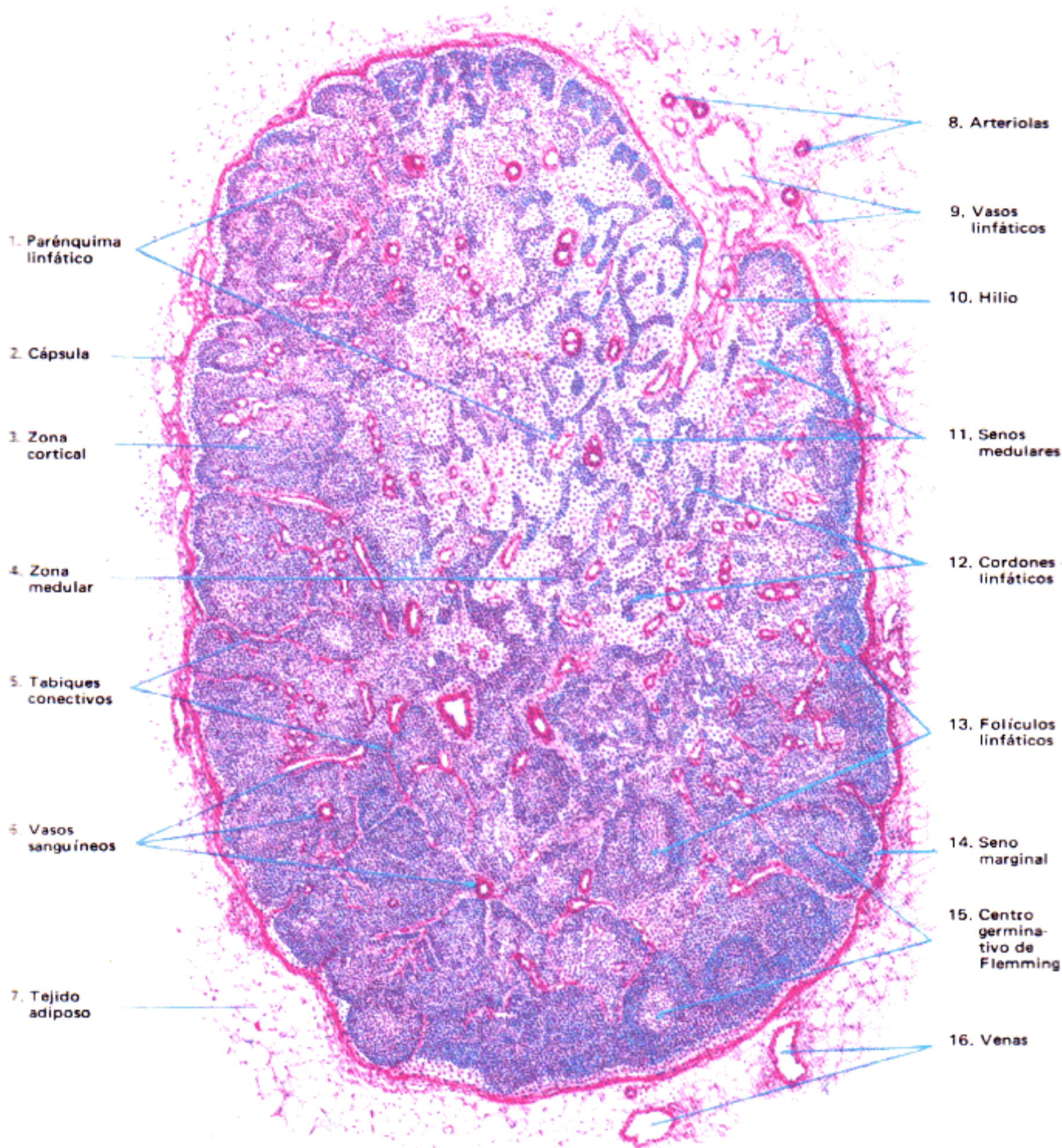
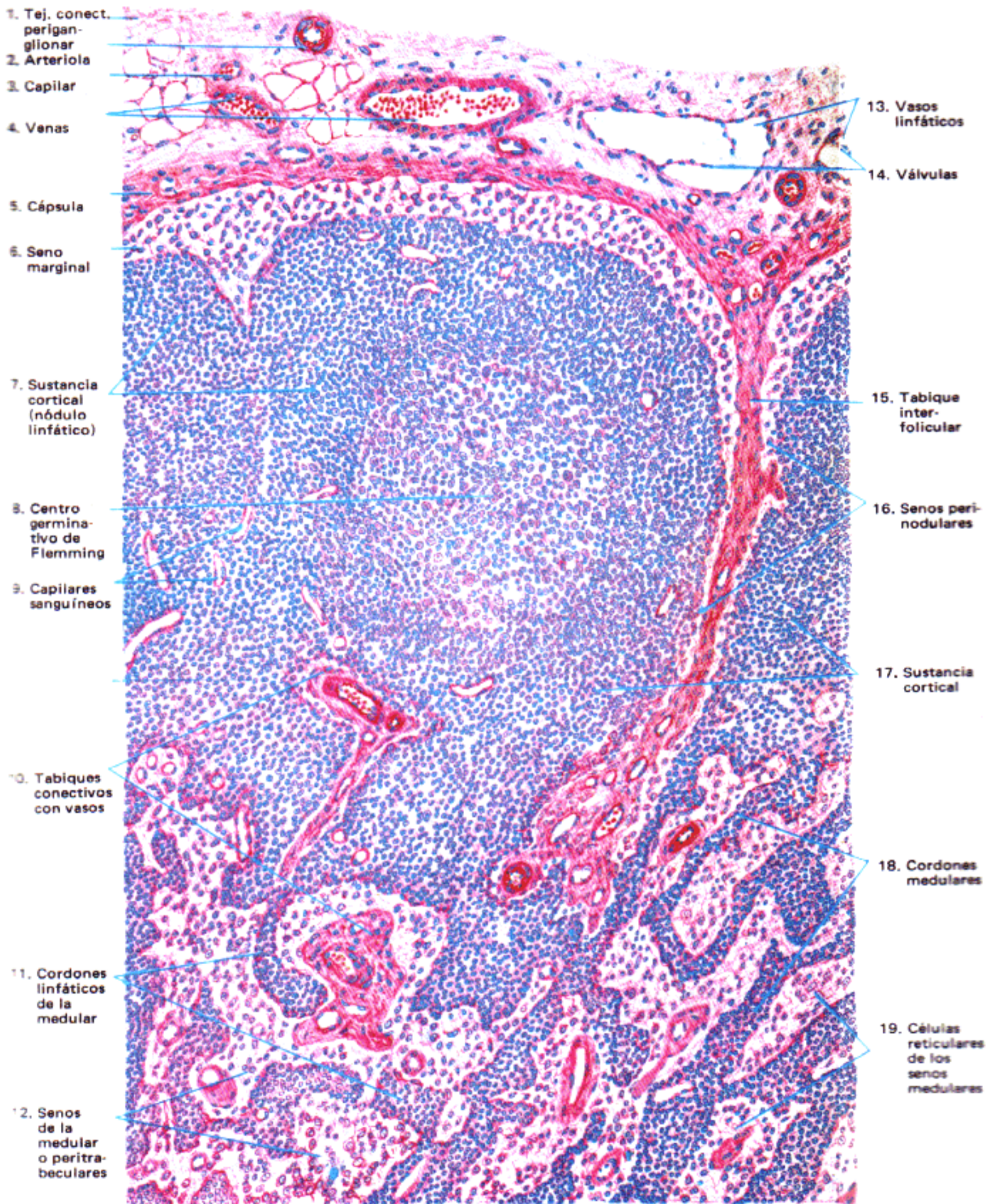


Fig. 2.— Coloración: hematoxilina-eosina. 400 X.

Fig. 3.— Coloración: Mallory-Azán. 400 X.



Coloración: hematoxilina-eosina. 32 X.



Coloración: hematoxilina-eosina. 150 X.

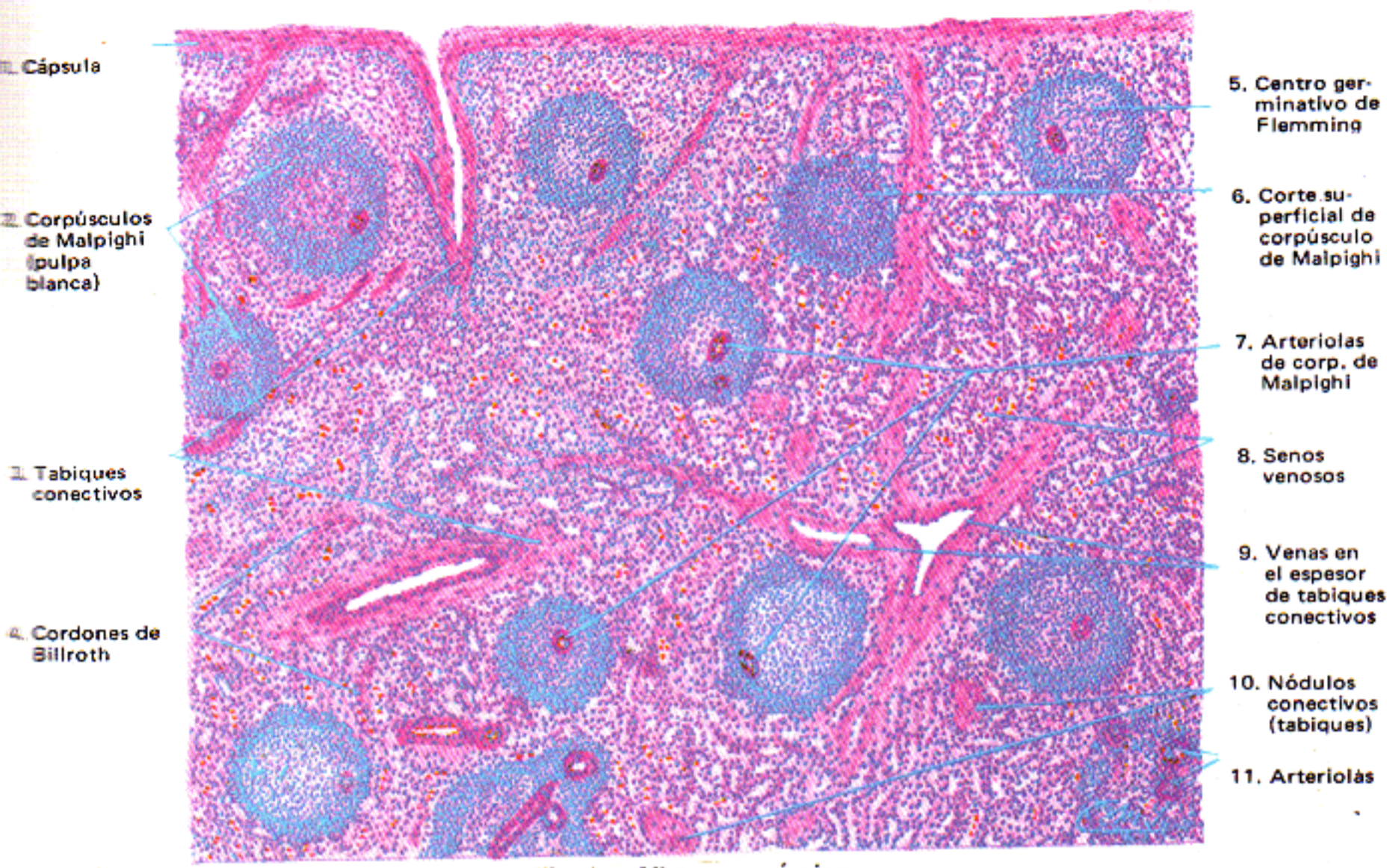


Fig. 1. - Vista panorámica
(Coloración: hematoxilina-eosina. 50 X.)

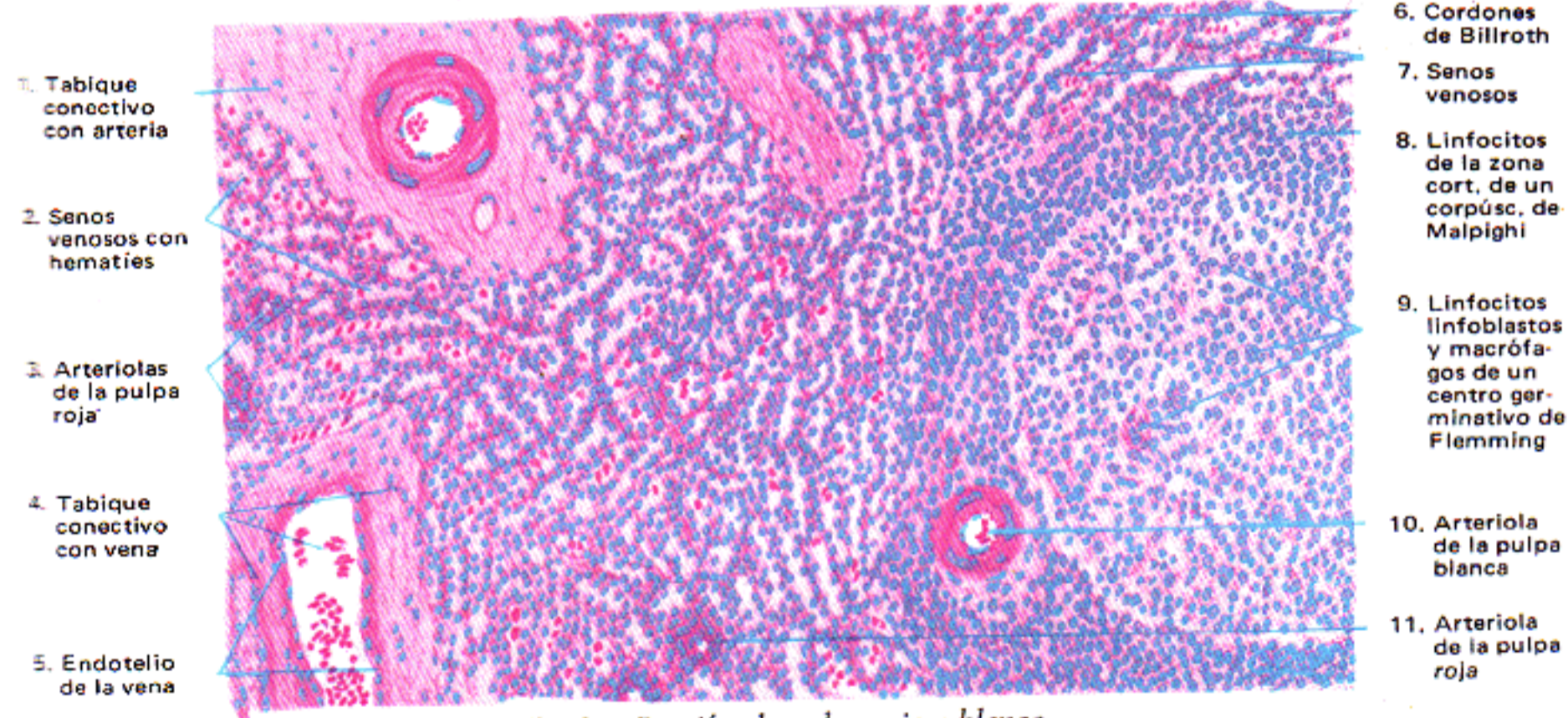
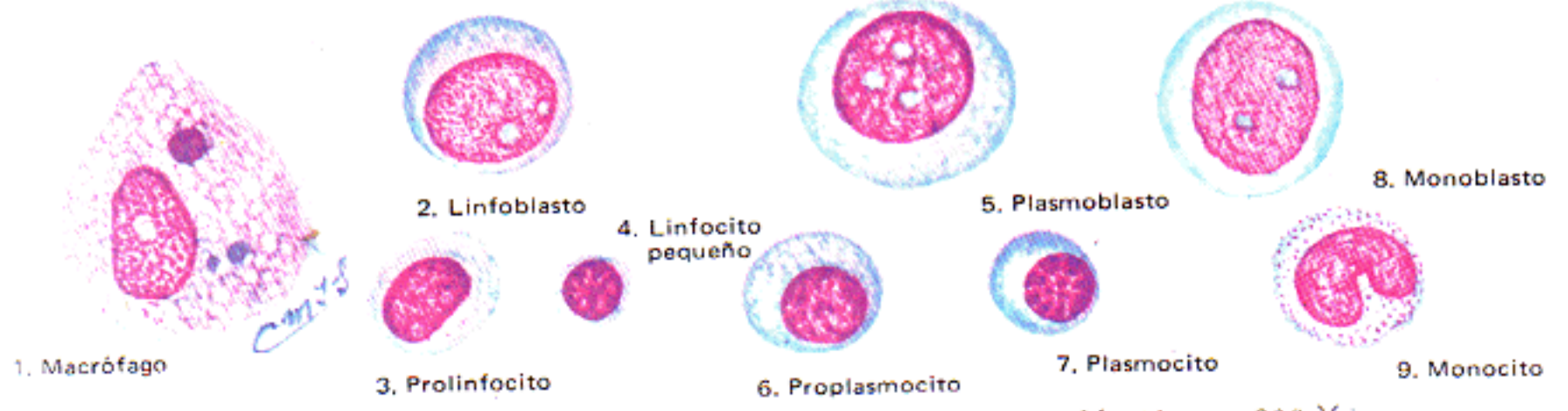
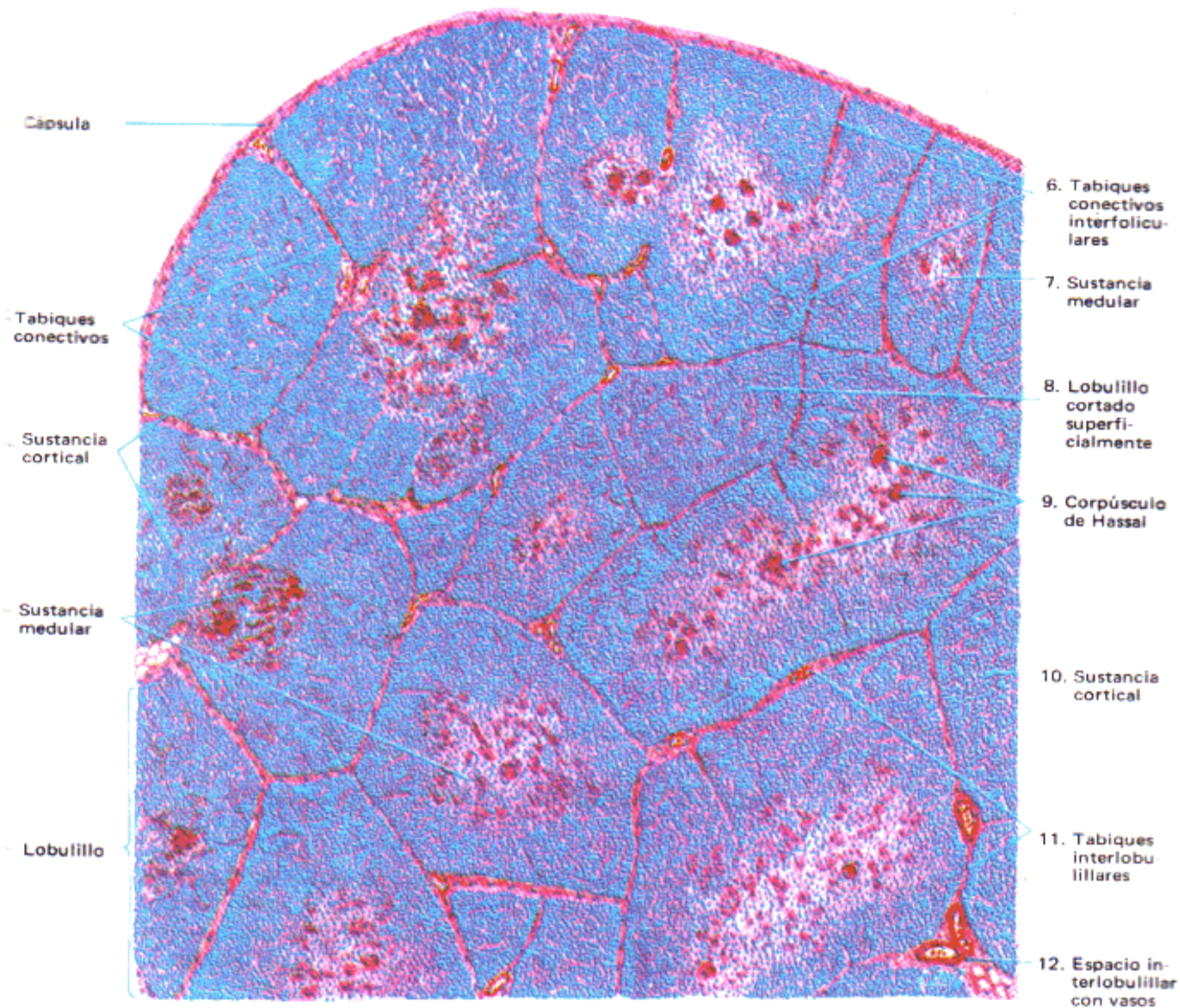


Fig. 2. - Porción de pulpa roja y blanca
(Coloración: hematoxilina-eosina. 250 X.)





Cápsula

Tabiques conectivos

Sustancia cortical

Sustancia medular

Lobulillo

6. Tabiques conectivos interfoli-
culares

7. Sustancia medular

8. Lobulillo cortado superficialmente

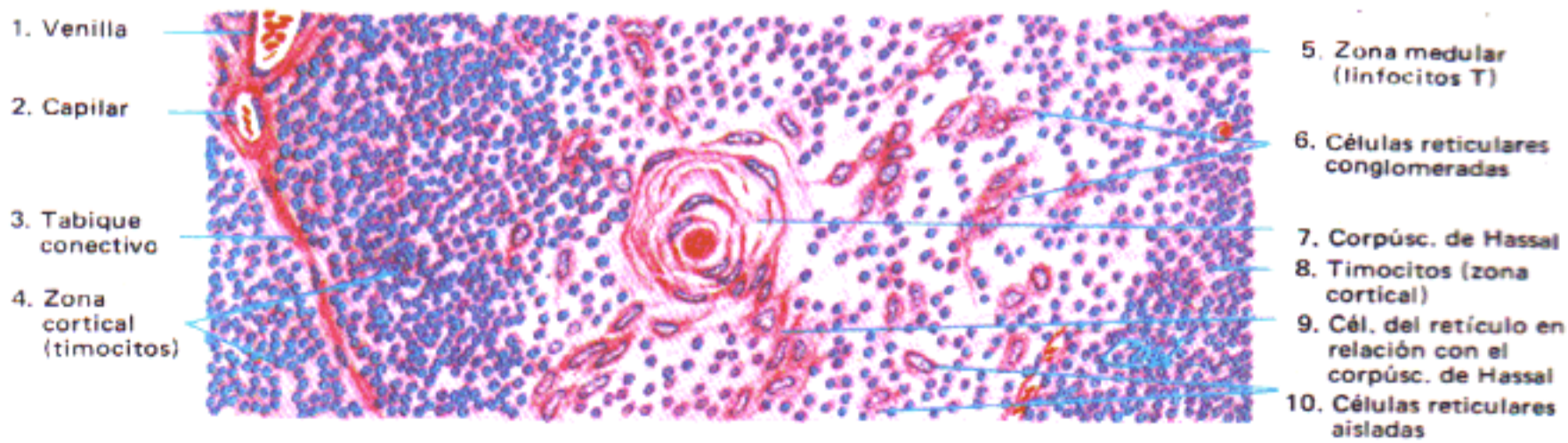
9. Corpúsculo de Hassal

10. Sustancia cortical

11. Tabiques interlobulillares

12. Espacio interlobulillar con vasos

Fig. 1. - *Vista panorámica.*
(Coloración: hematoxilina-eosina. 40 X.)



1. Venilla

2. Capilar

3. Tabique conectivo

4. Zona cortical (timocitos)

5. Zona medular (linfocitos T)

6. Células reticulares conglomeradas

7. Corpúsc. de Hassal

8. Timocitos (zona cortical)

9. Cél. del retículo en relación con el corpúsc. de Hassal

10. Células reticulares aisladas

Fig. 2. - *Porción de lobulillo tímico.*
(Coloración: hematoxilina-eosina. 250 X.)

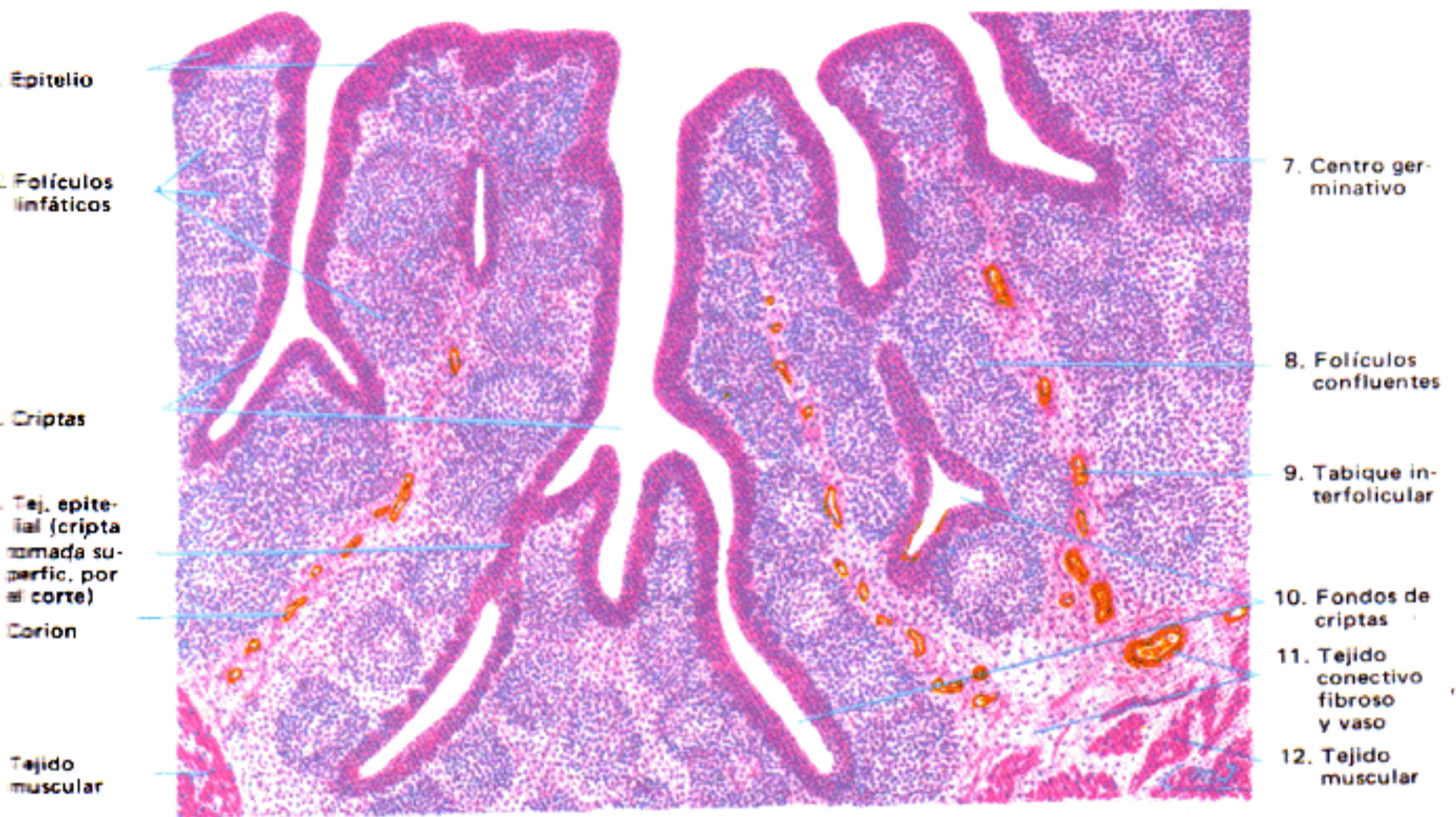


Fig. 1.— *Amígdala palatina.*
(Coloración: hematoxilina-eosina. 32 X.)

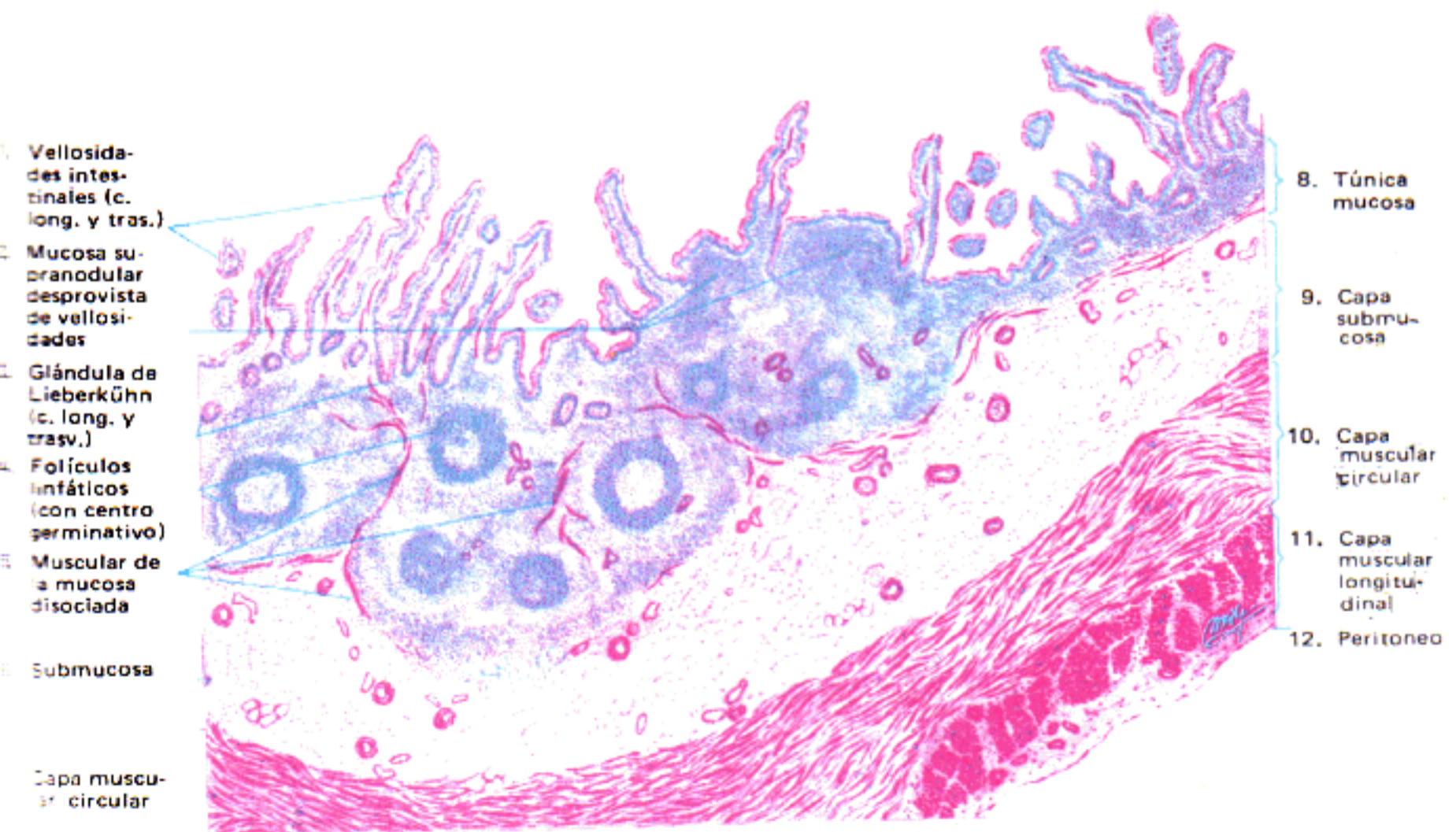
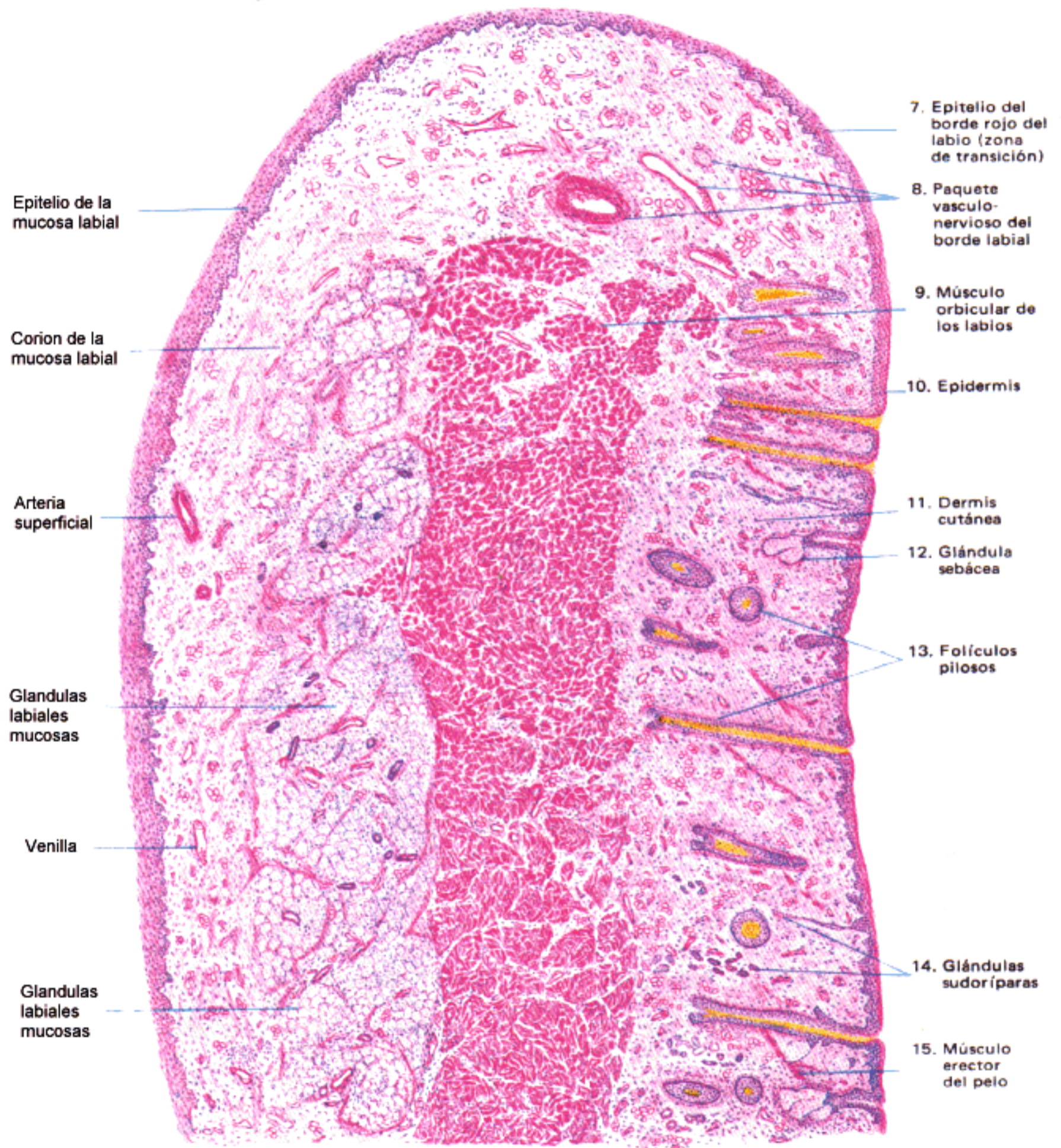


Fig. 2.— *Placa de Peyer.*
(Coloración: hematoxilina-eosina, 25X)



Coloración: hematoxilina-eosina. 20 X.

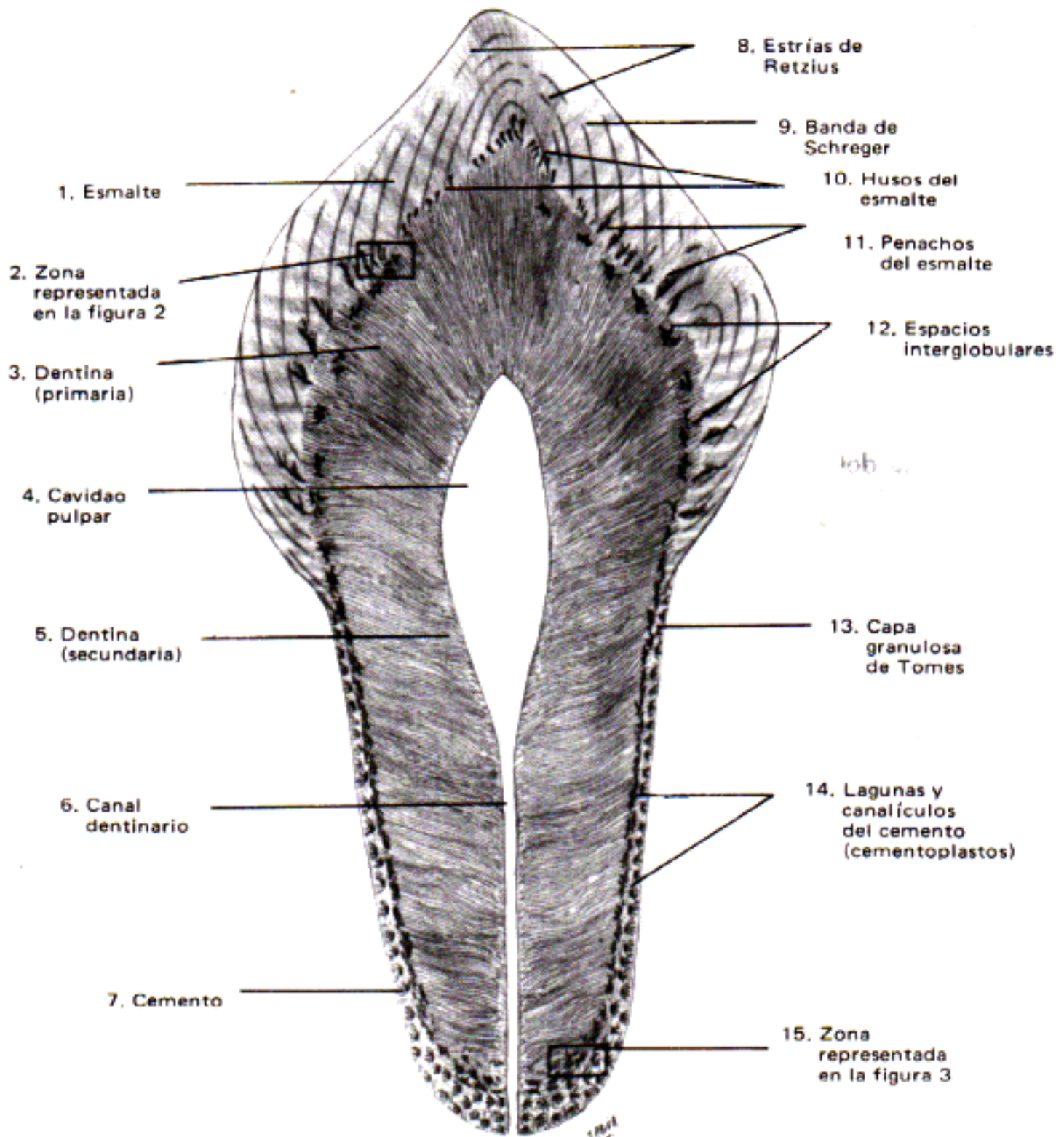


Fig. 1. - Vista panorámica de diente seco. (9 X.)

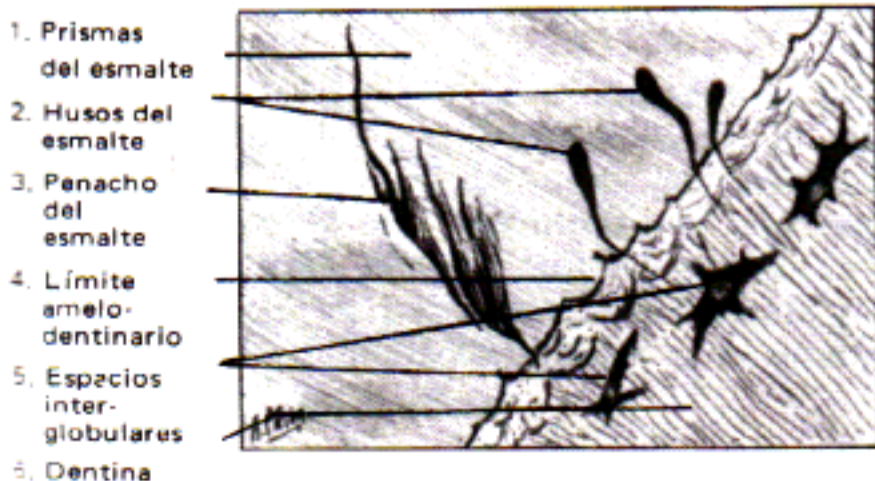


Fig. 2. - Corona del diente
Corresponde a un campo de la zona limitada por 2 en la figura 1. (160 X.)



Fig. 3. - Raíz del diente
Corresponde a un campo de la zona limitada por 15 en la figura 1. (160 X.)



Fig. 1.— *Vista de conjunto.*
(Coloración: hematoxilina-eosina. 50 X.)

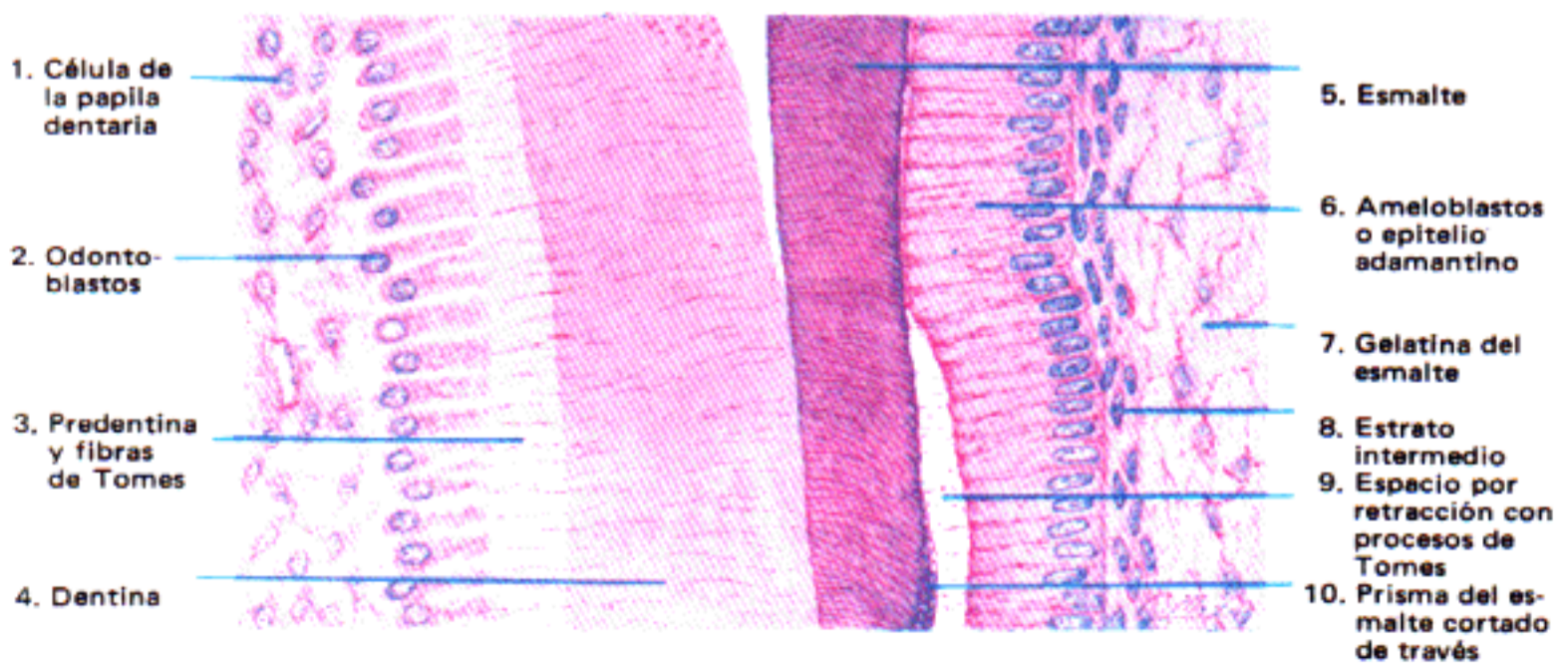
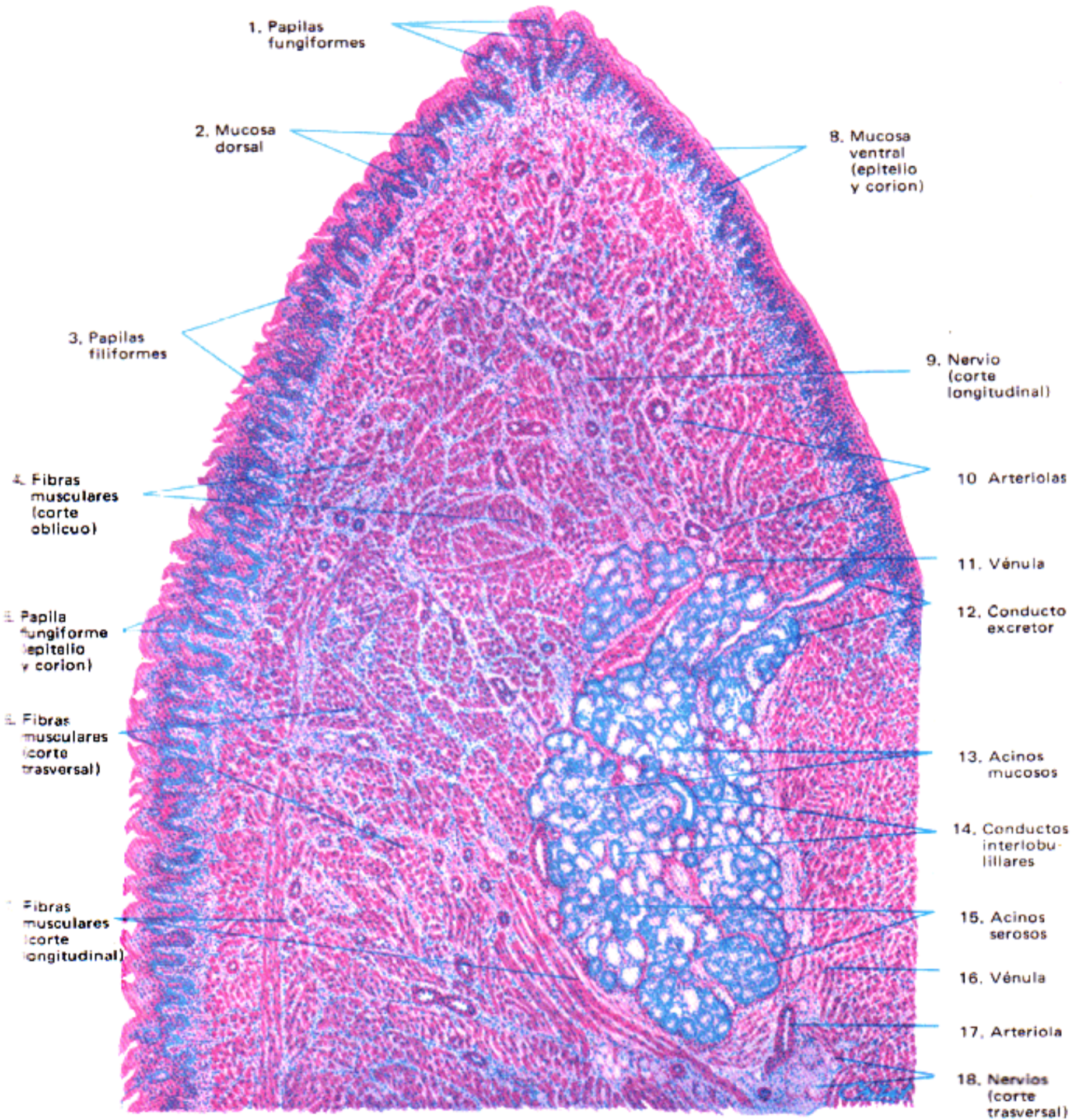


Fig. 2.— *Detalles de un sector.*
(Coloración: hematoxilina-eosina. 300 X.)



Coloración: hematoxilina-eosina. 25 X.

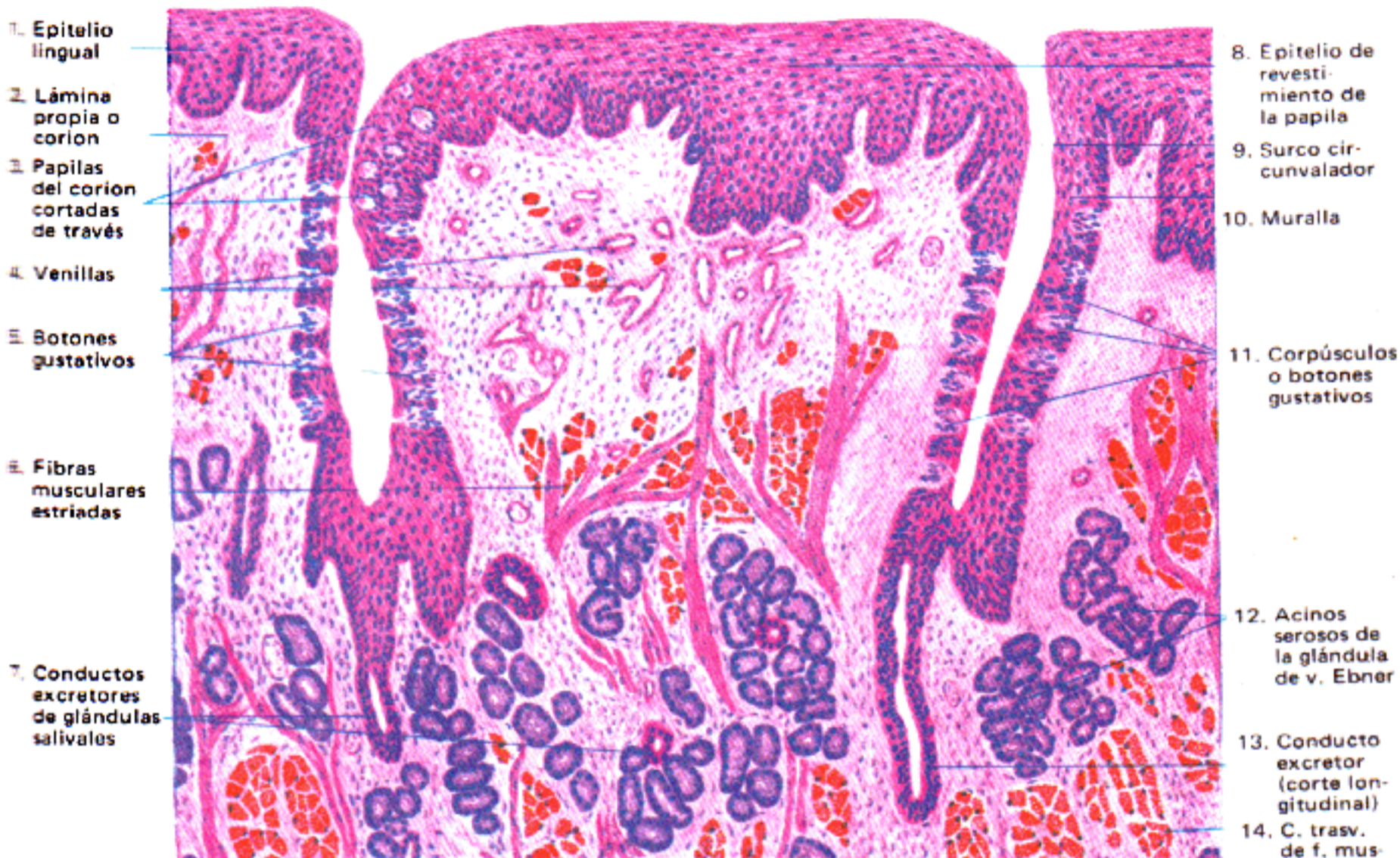


Fig. 1.— Papila caliciforme. Corte perpendicular.
(Coloración: hematoxilina-eosina. 115 X.)

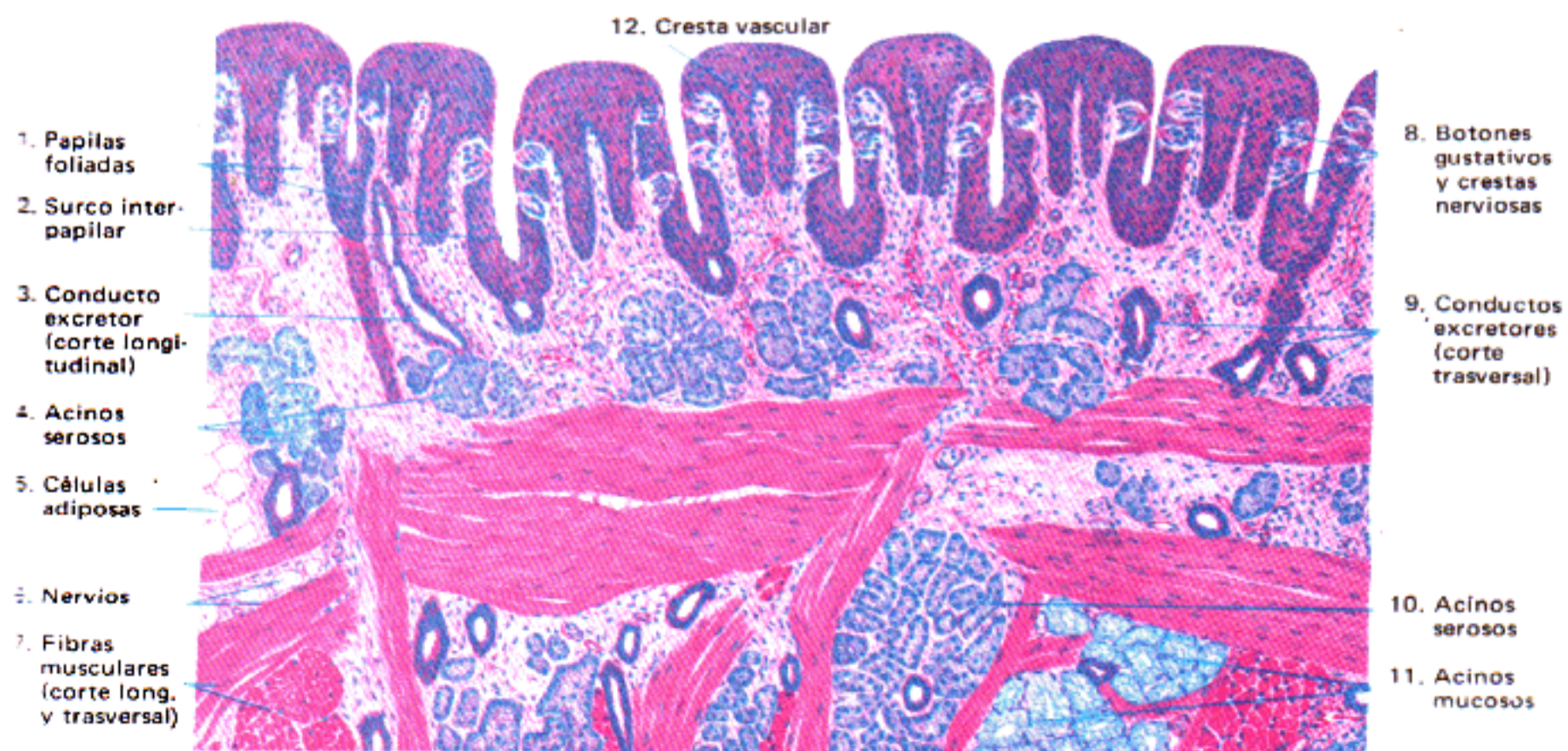
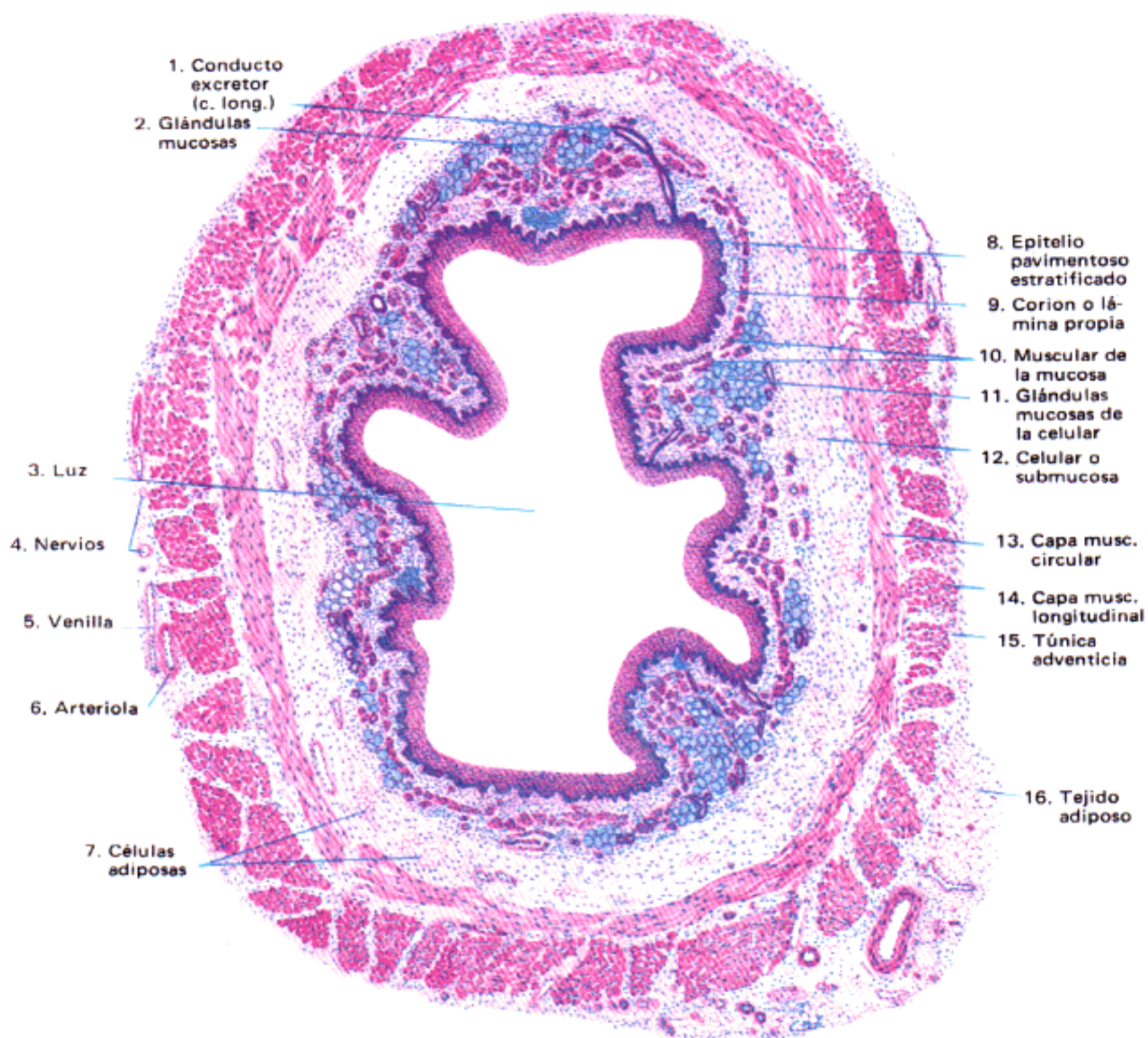
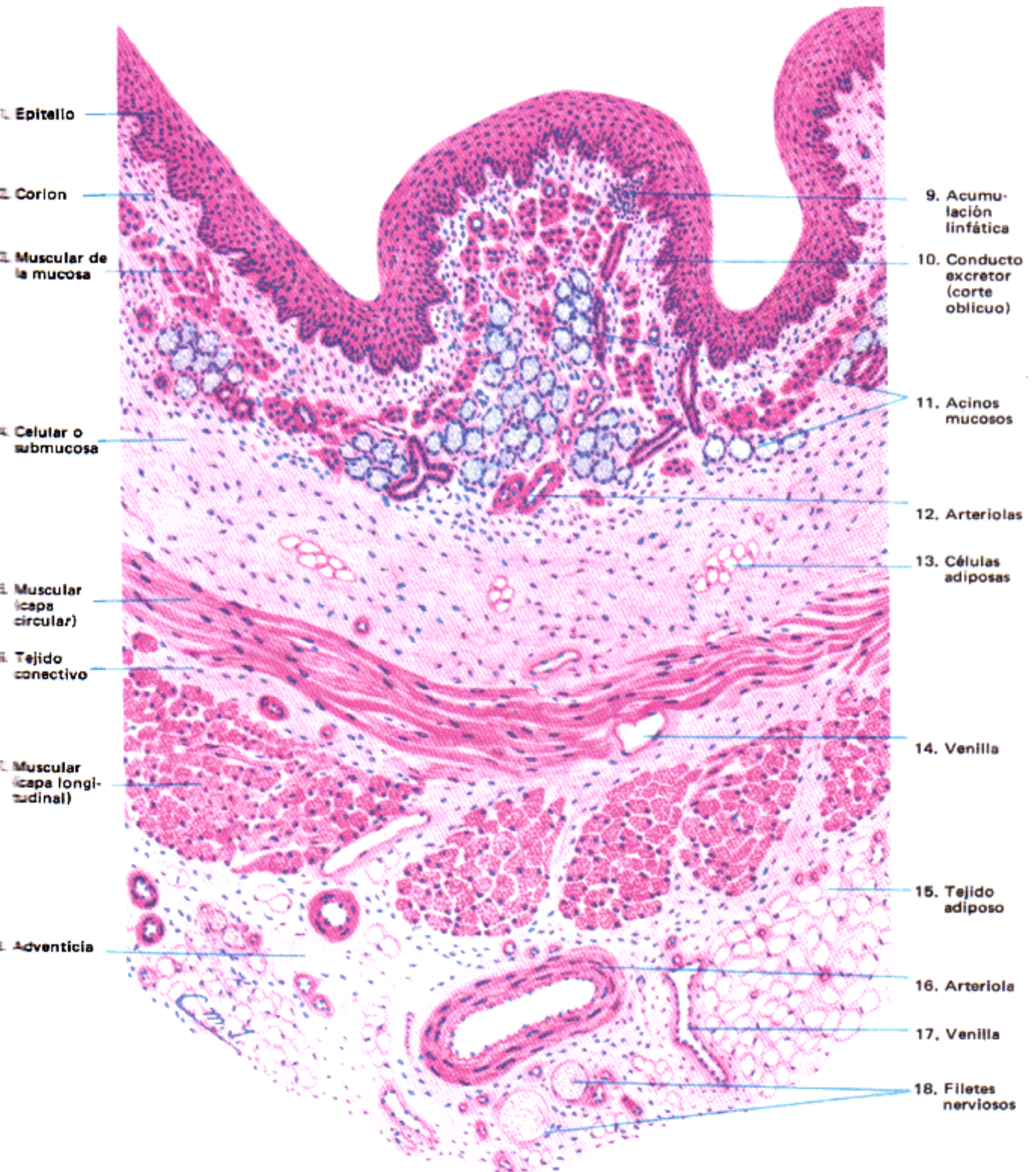


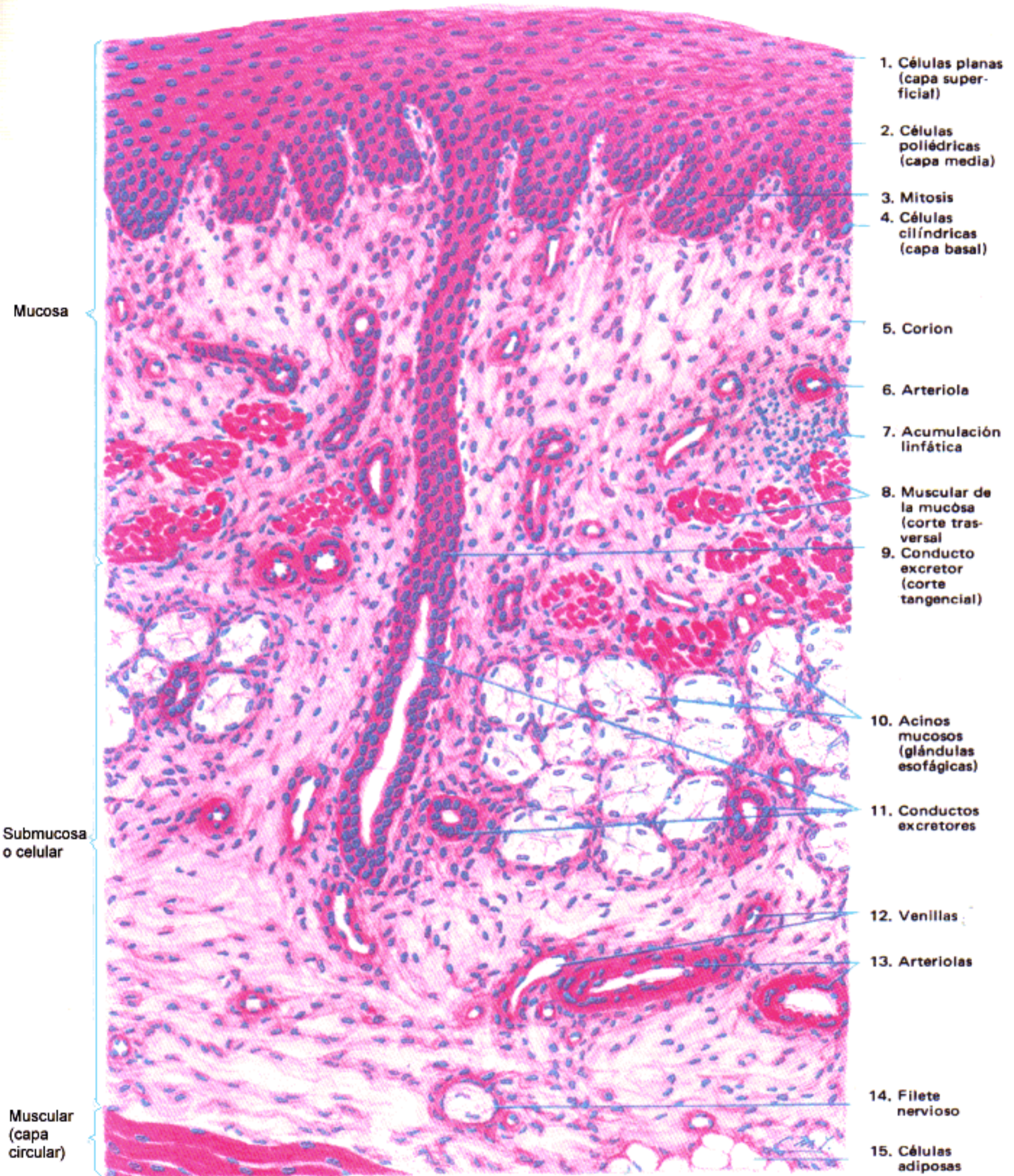
Fig. 2.— Organo foliado (conejo). Corte longitudinal.
(Coloración: hematoxilina-eosina. 85 X.)



Coloración: hematoxilina-eosina. 20 X.



Coloración: hematoxilina-eosina. 50 X.



Coloración: hematoxilina-eosina. 250 X.

Extremo inferior (Corte transversal)

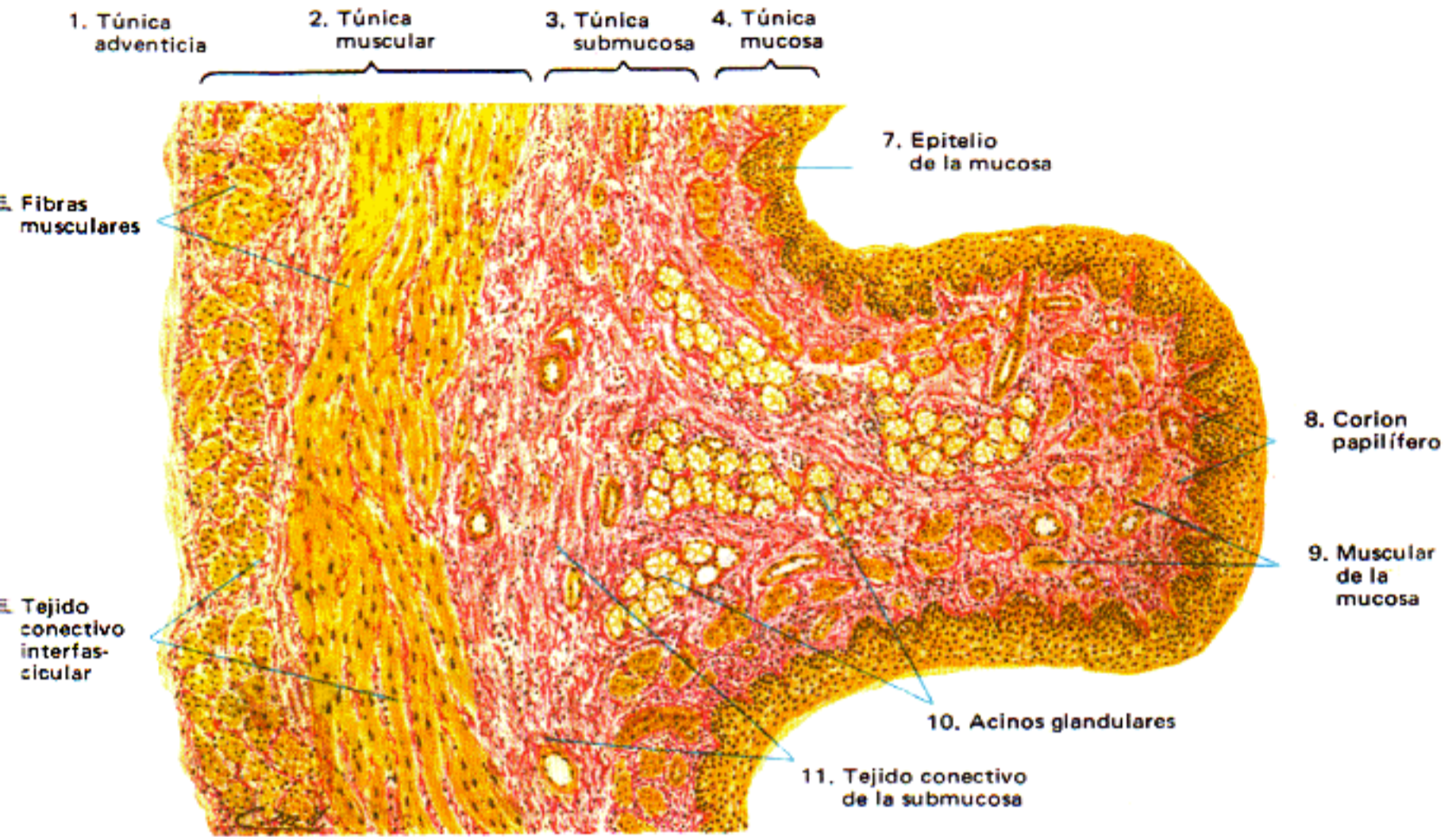


Fig. 1.— Coloración: tricrómico de Van Gieson. 40 X.

Núcleos, pardo oscuro; tejido conectivo, rojo; tejido epitelial y muscular, amarillo.

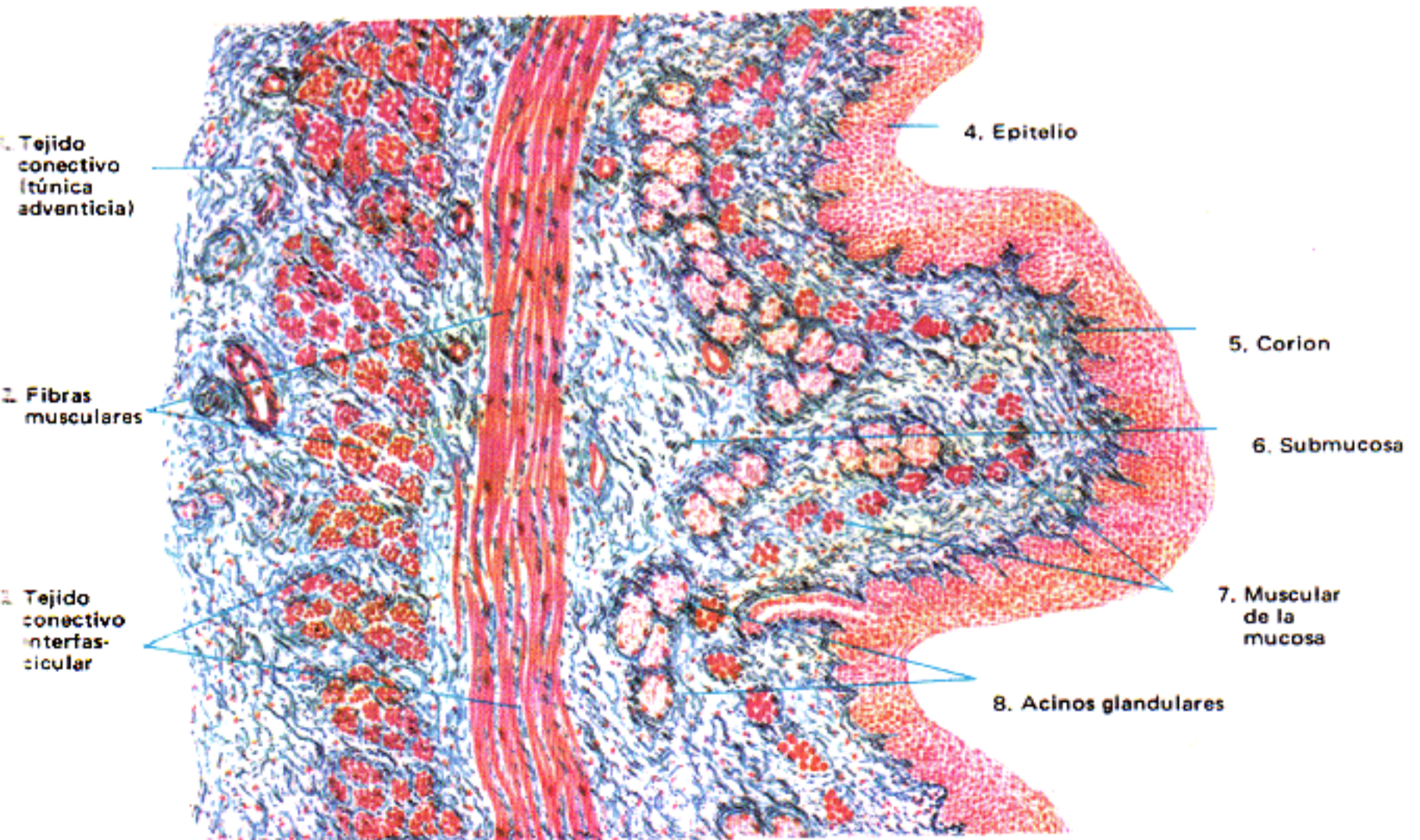
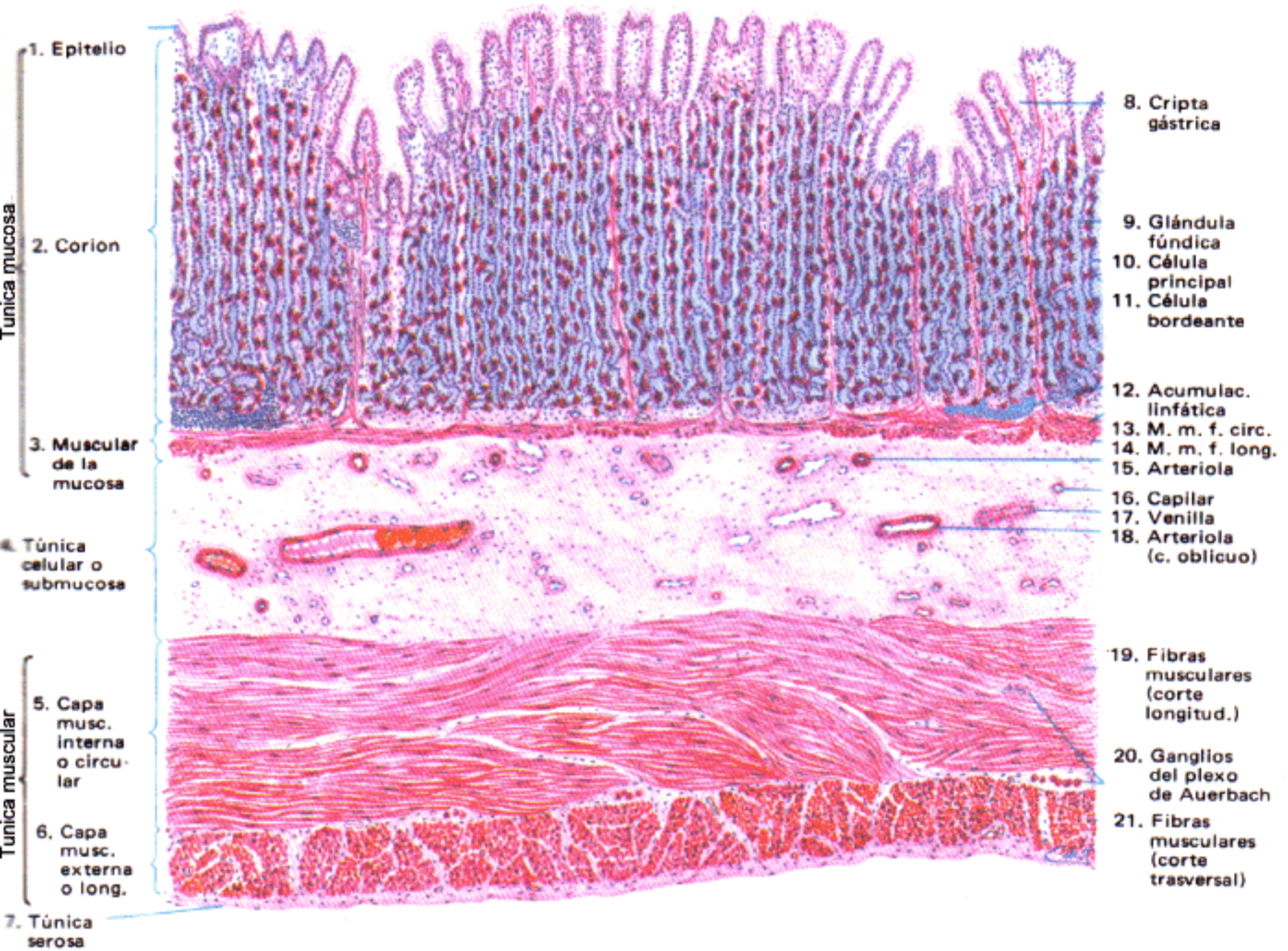


Fig. 2.— Coloración: tricrómico de Mallory-Azán. 40 X.

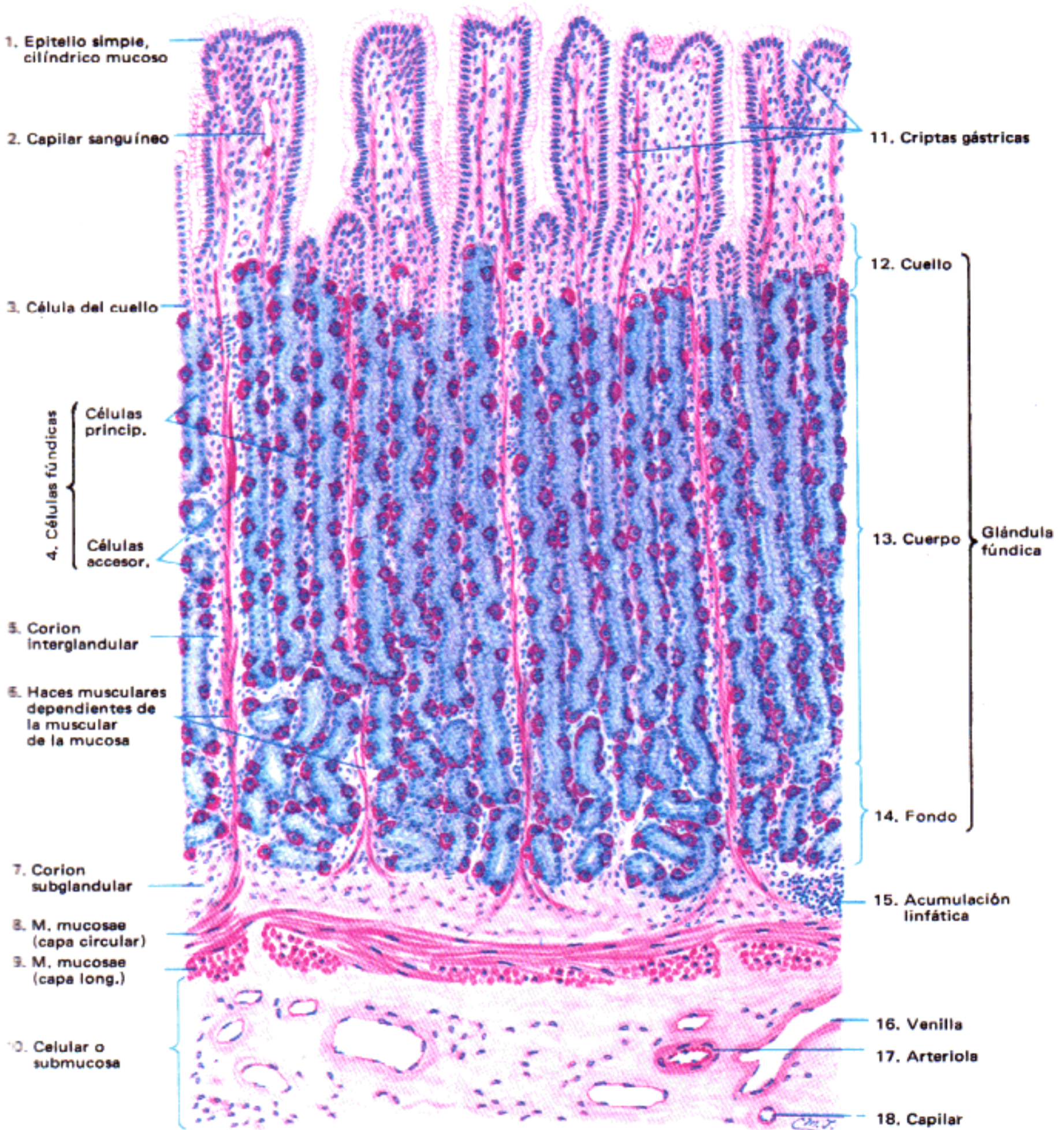
Núcleos, rojo; tejido conectivo, azul; tejido epitelial y muscular, anaranjado a rojo.

Región fúndica
(Corte trasversal)



Coloración: hematoxilina-eosina. 57 X.

Región fúndica
(Corte trasversal)



Coloración: hematoxilina-eosina. 180 X.

Región fúndica

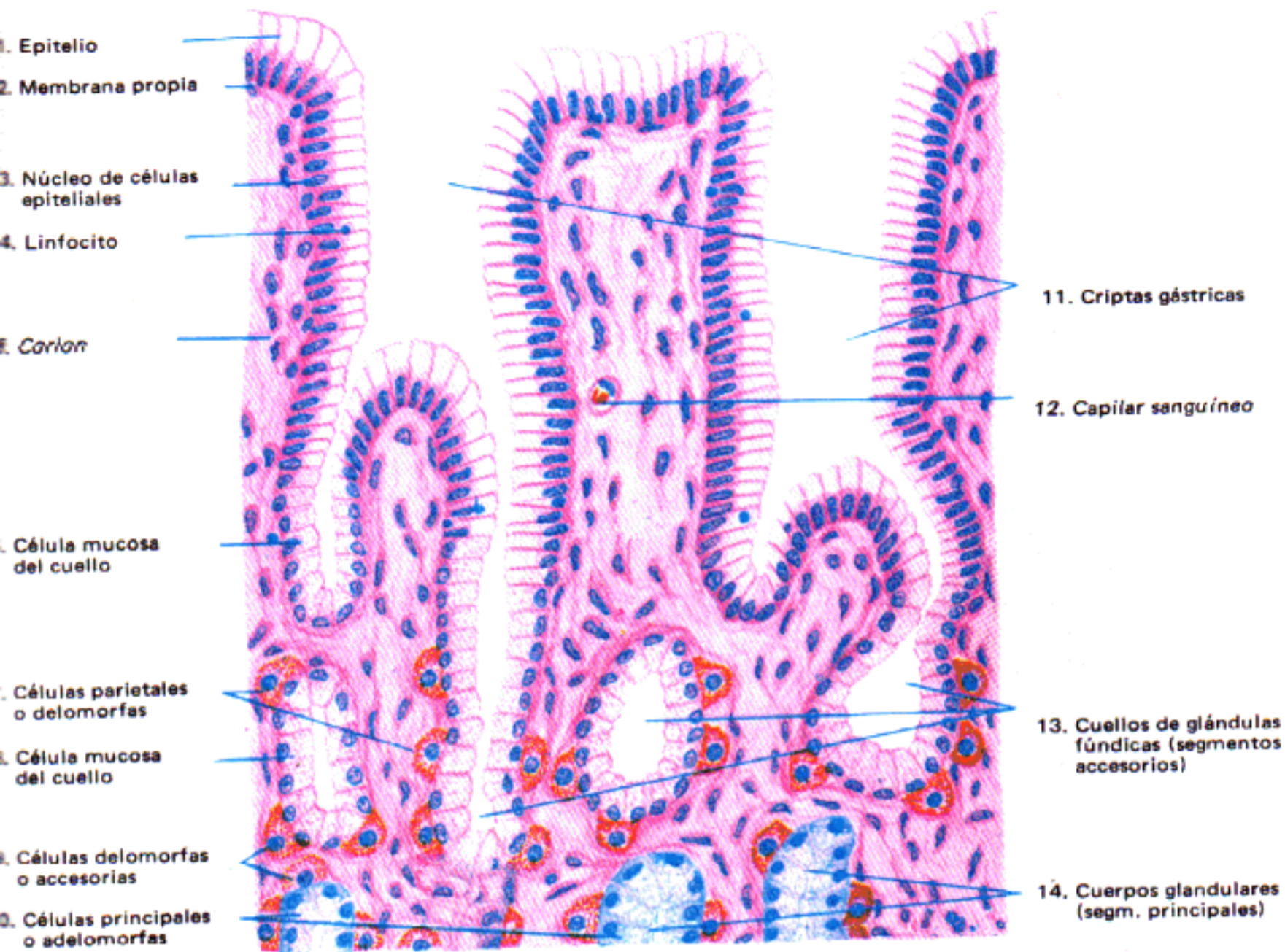


Fig. 1.- Zona superficial de la mucosa.
(Coloración: hematoxilina-eosina. 350 X.)

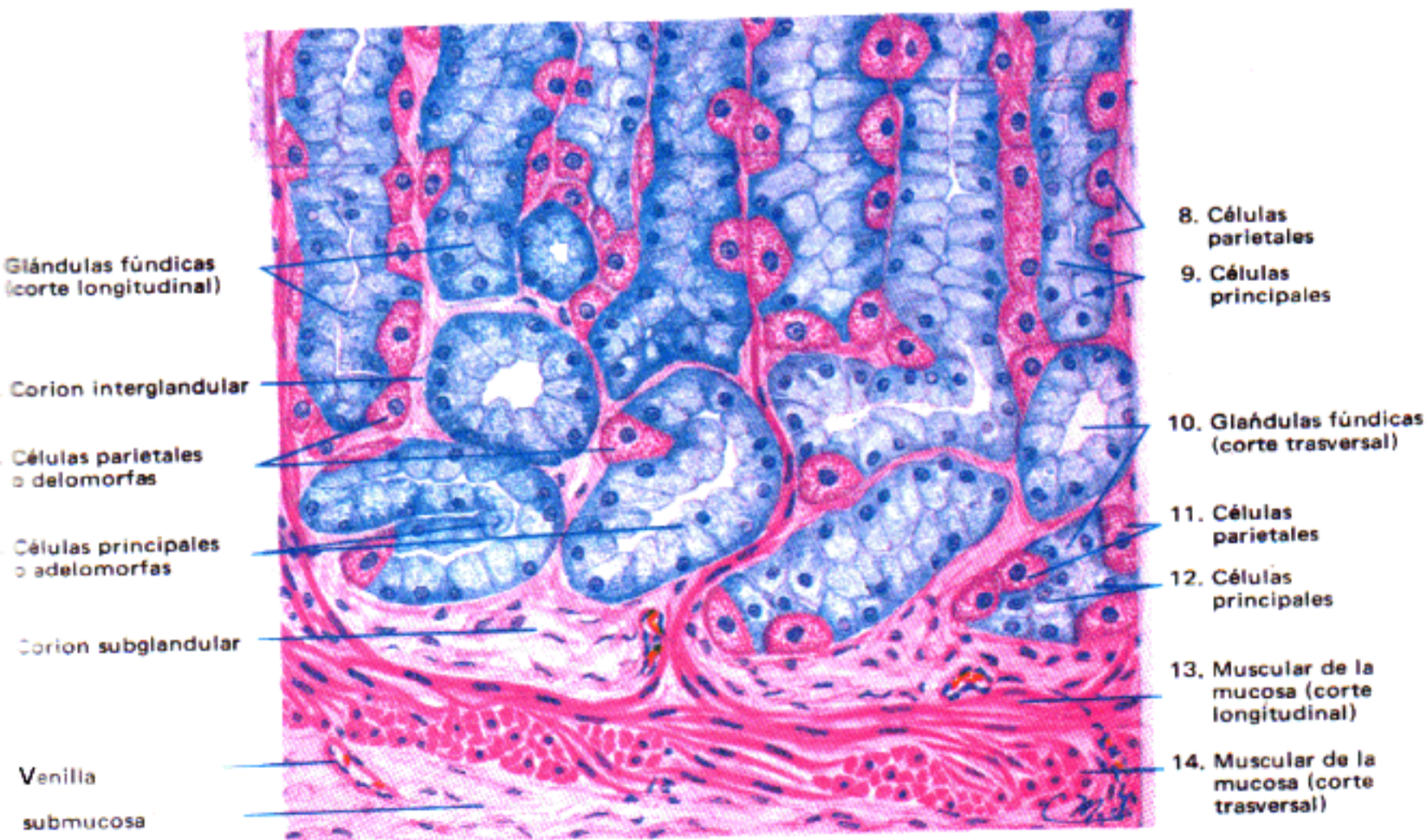
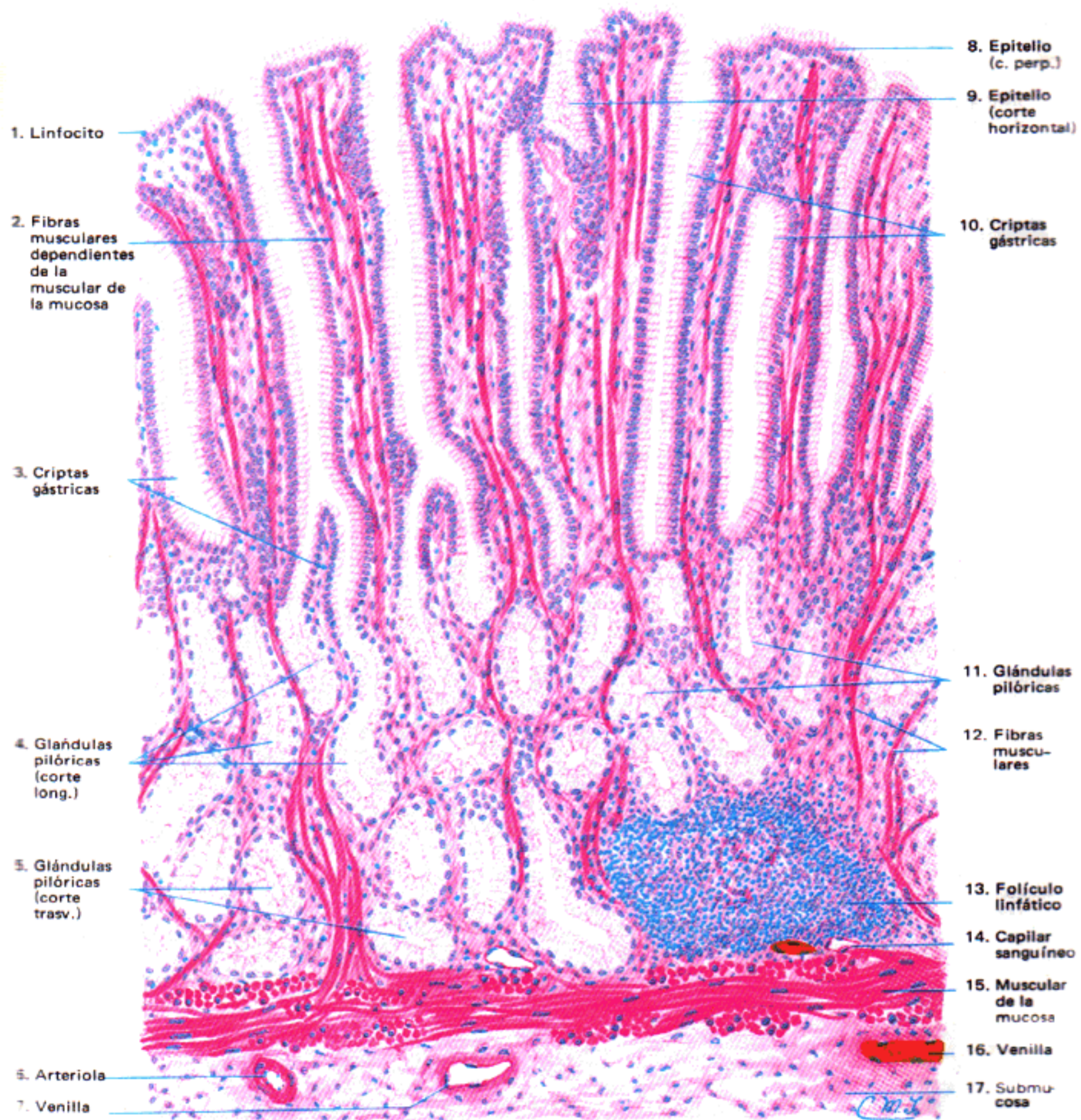


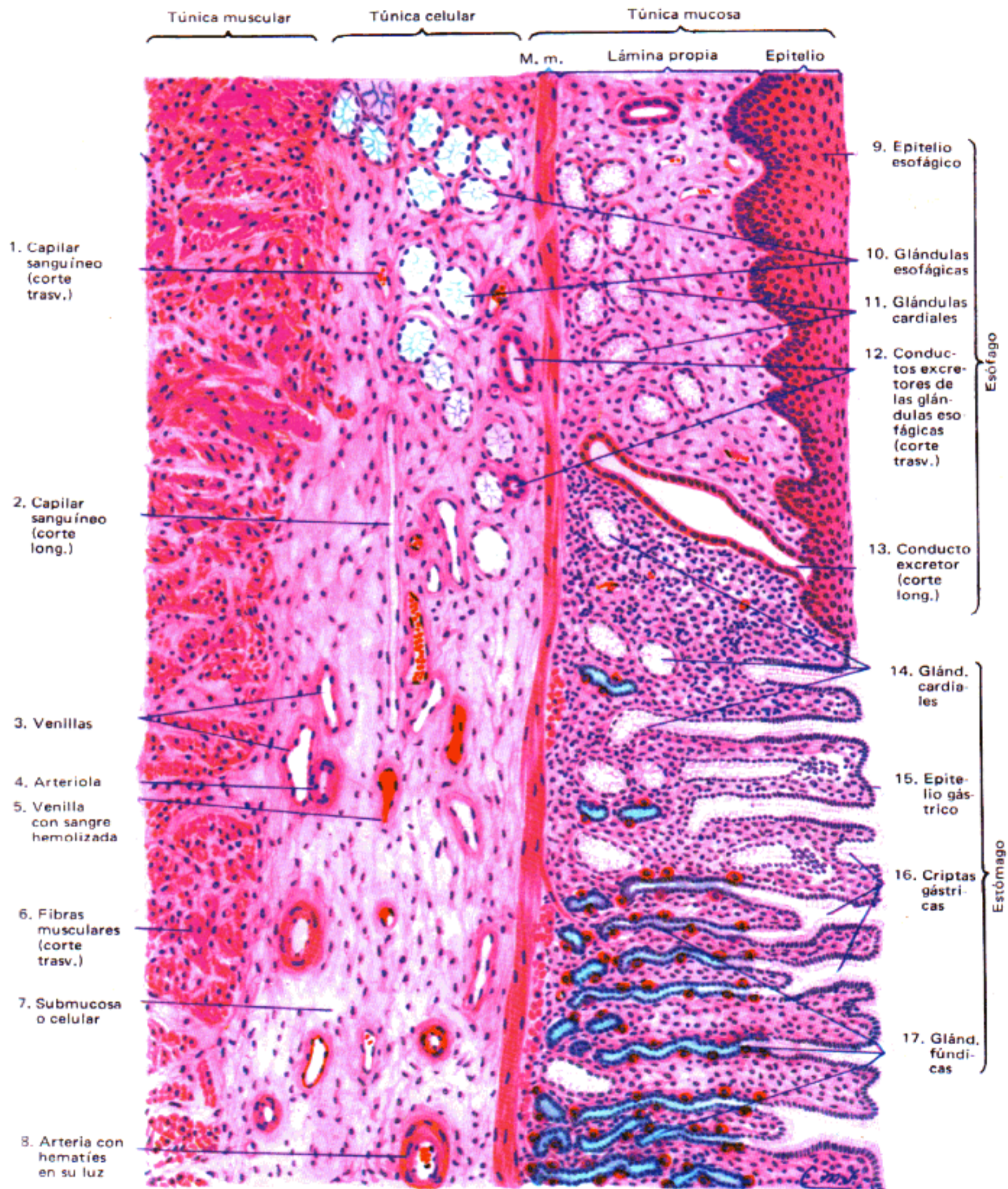
Fig. 2.- Zona profunda de la mucosa.
(Coloración: hematoxilina-eosina. 350 X.)

Región pilórica

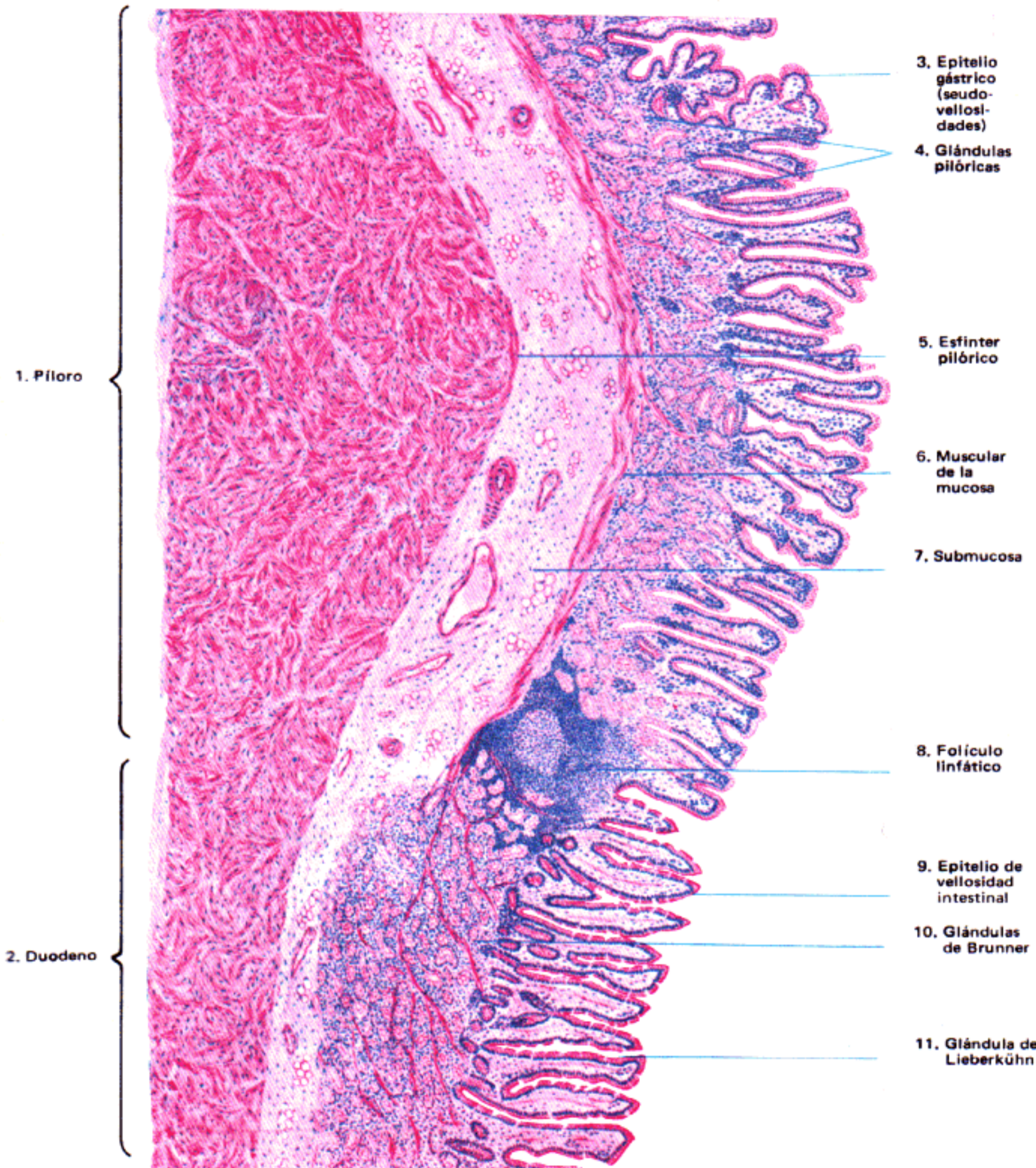


Coloración: hematoxilina-eosina. 100 X.

CARDIAS
(Corte longitudinal)



Coloración: hematoxilina-eosina. 70 X.



Coloración: hematoxilina-eosina. 25 X.

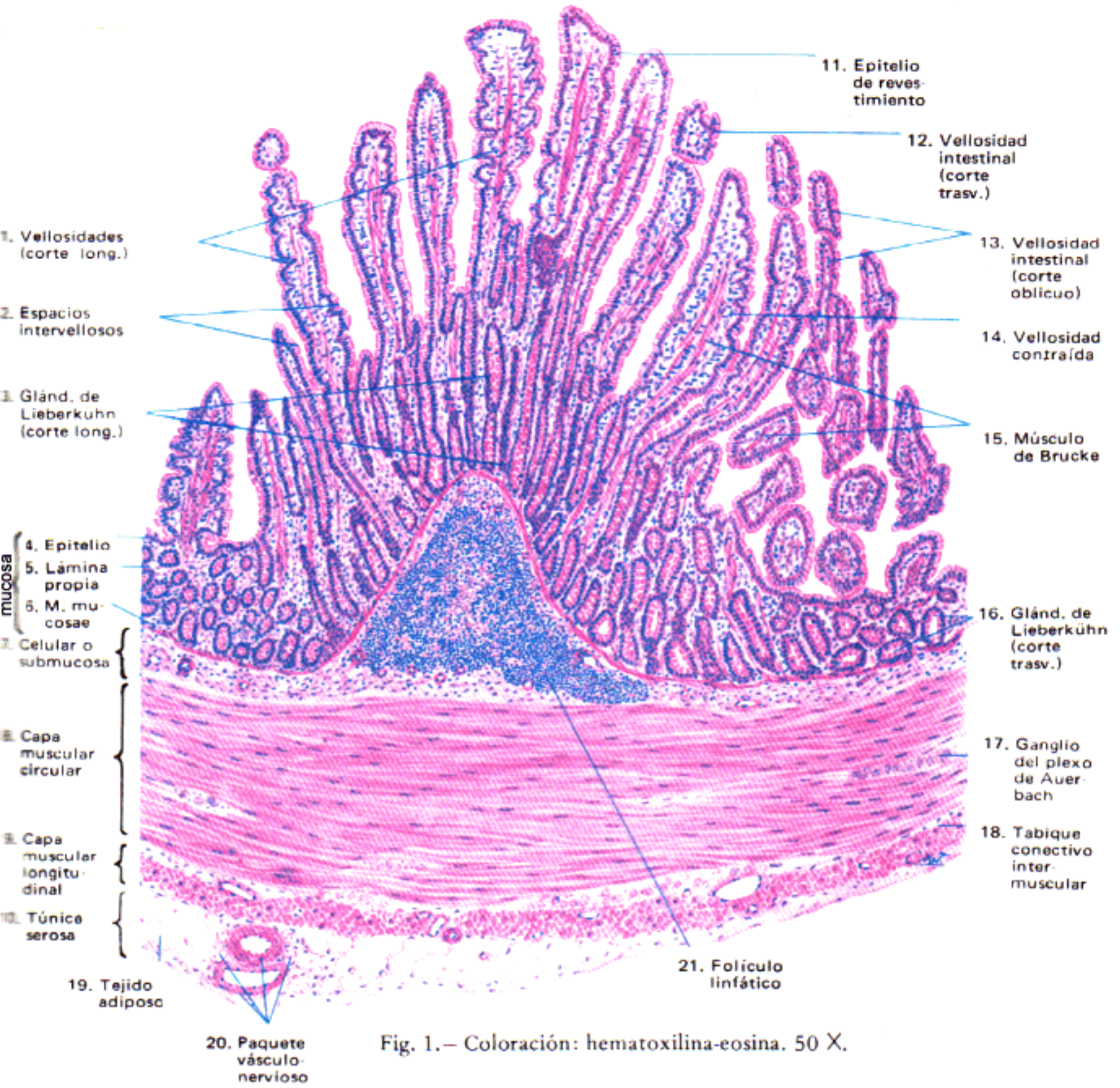


Fig. 1.— Coloración: hematoxilina-eosina. 50 X.

Células de Paneth

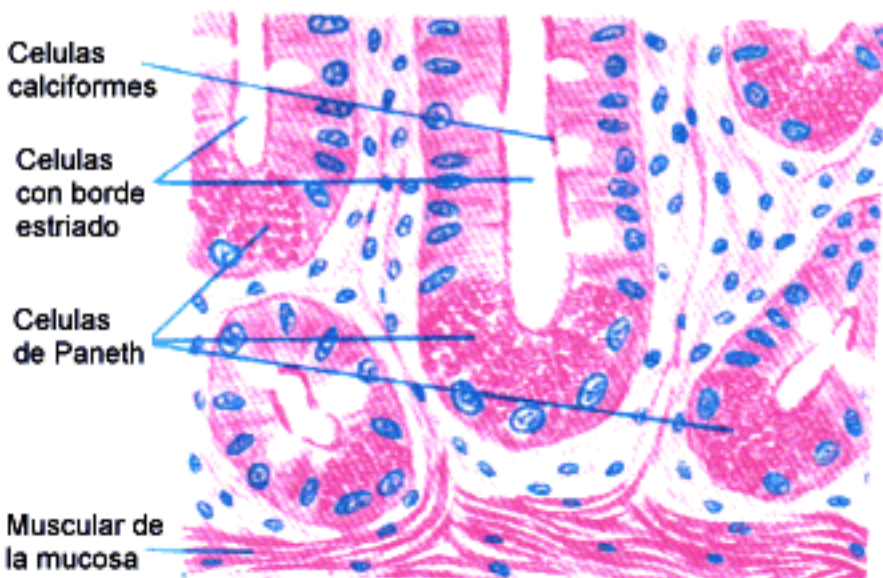


Fig. 2.— Coloración: hematoxilina-eosina. 450 X.

Células argentafines

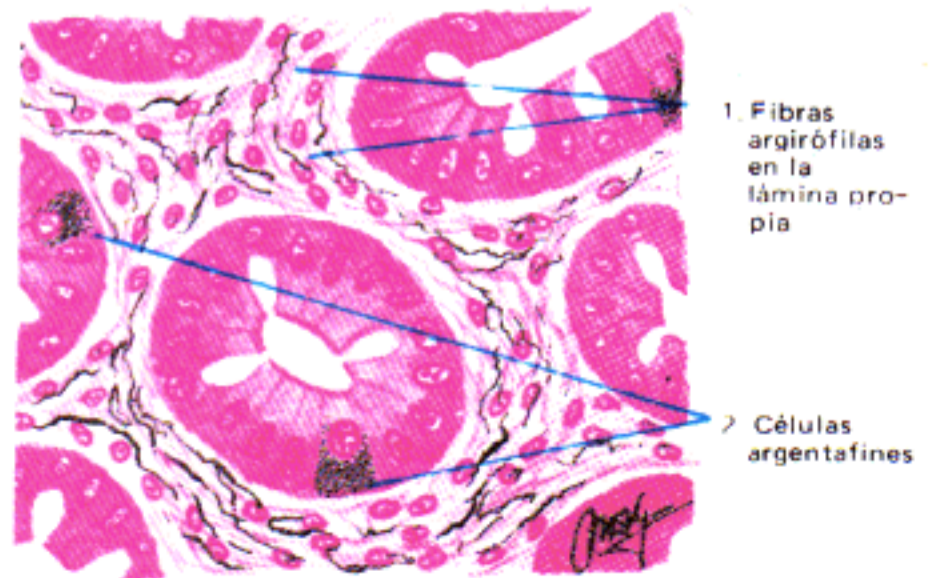
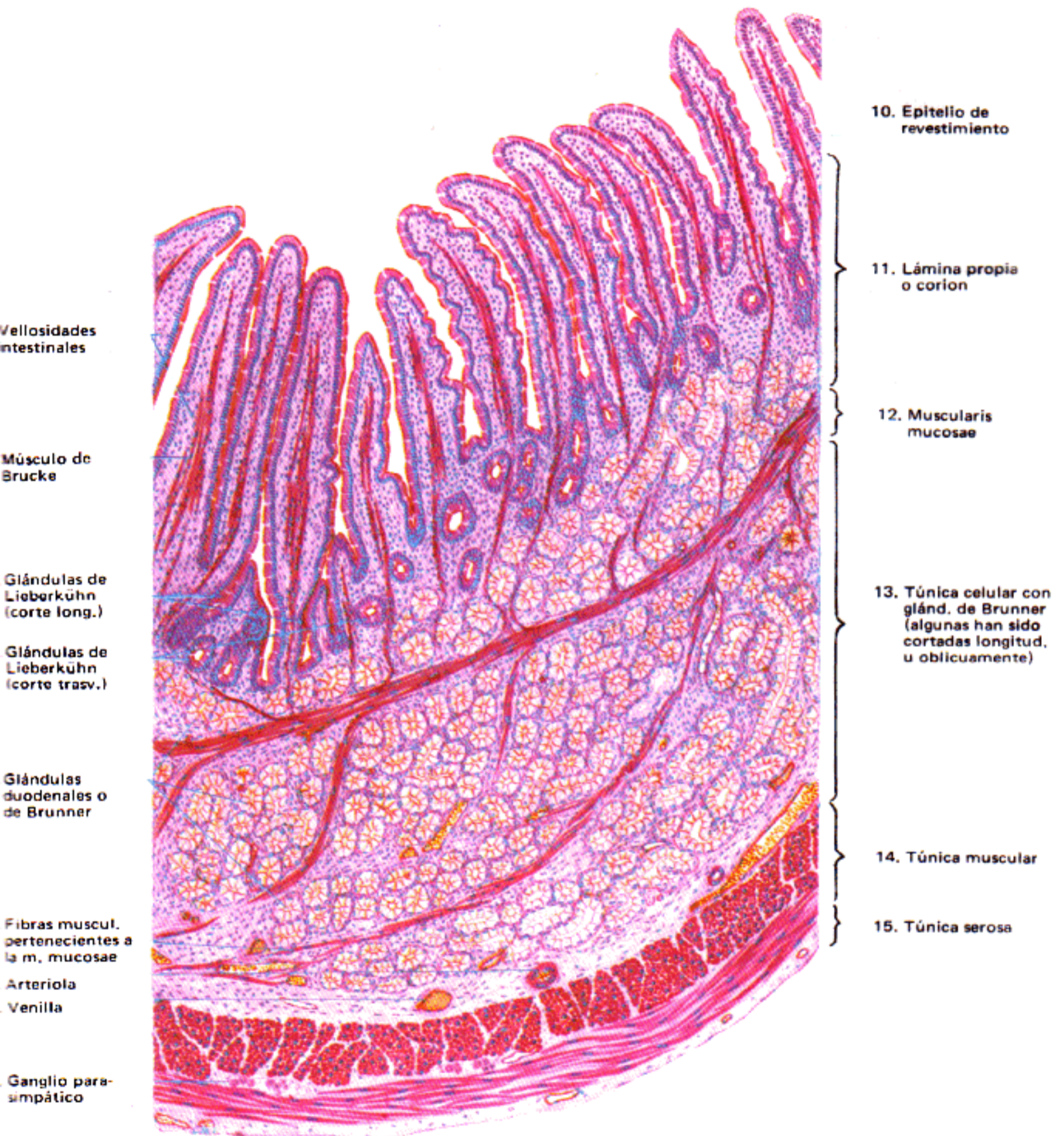


Fig. 3.— Coloración: método de Fontana. (Variante con solución argéntica-methenamina y rojo "darrow" 450 X)



10. Epitelio de revestimiento

11. Lámina propia o corion

12. Muscularis mucosae

13. Túnica celular con glánd. de Brunner (algunas han sido cortadas longitud. u oblicuamente)

14. Túnica muscular

15. Túnica serosa

Vellosidades intestinales

Músculo de Brucke

Glándulas de Lieberkühn (corte long.)

Glándulas de Lieberkühn (corte trasv.)

Glándulas duodenales o de Brunner

Fibras muscul. pertenecientes a la m. mucosae

Arteriola Venilla

Ganglio parasimpático

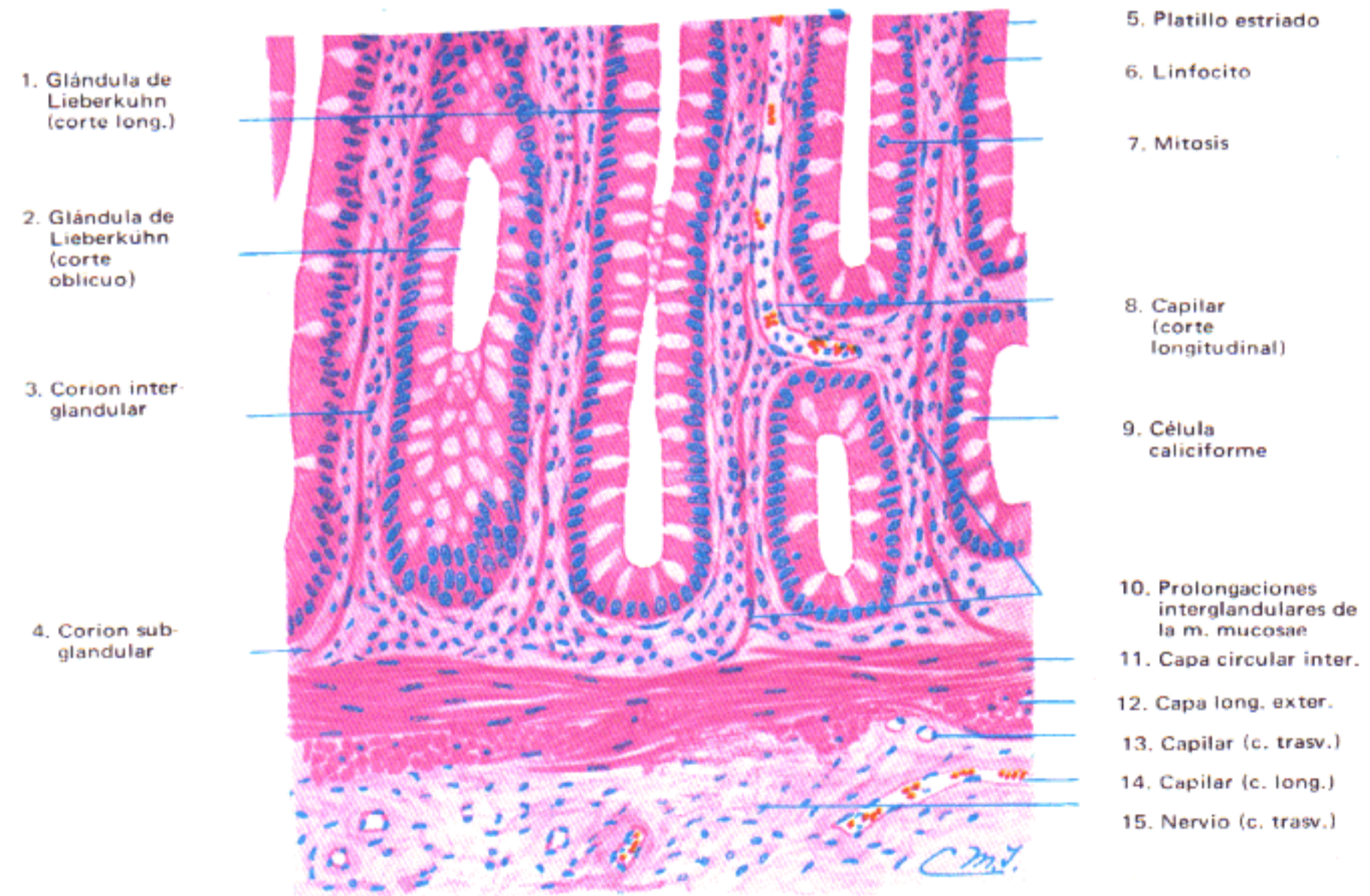
Coloración: hematoxilina-eosina. 50 X.



- 1. Vellosidad (c. trasv.)
- 2. Epitelio de revestimiento
- 3. Quilífero central de la vellosidad
- 4. Fibras musculares
- 5. Membrana basal
- 6. Linfocito
- 7. Corte tangencial del epitelio
- 8. Vellosidades (corte longitudinal)
- 9. Células caliciformes

- 10. Célula caliciforme
- 11. Capilar sanguíneo
- 12. Corion de la vellosidad
- 13. Célula caliciforme
- 14. Chapa estriada
- 15. Epitelio
- 16. Fibras musculares (corte longitud.)
- 17. Linfocito

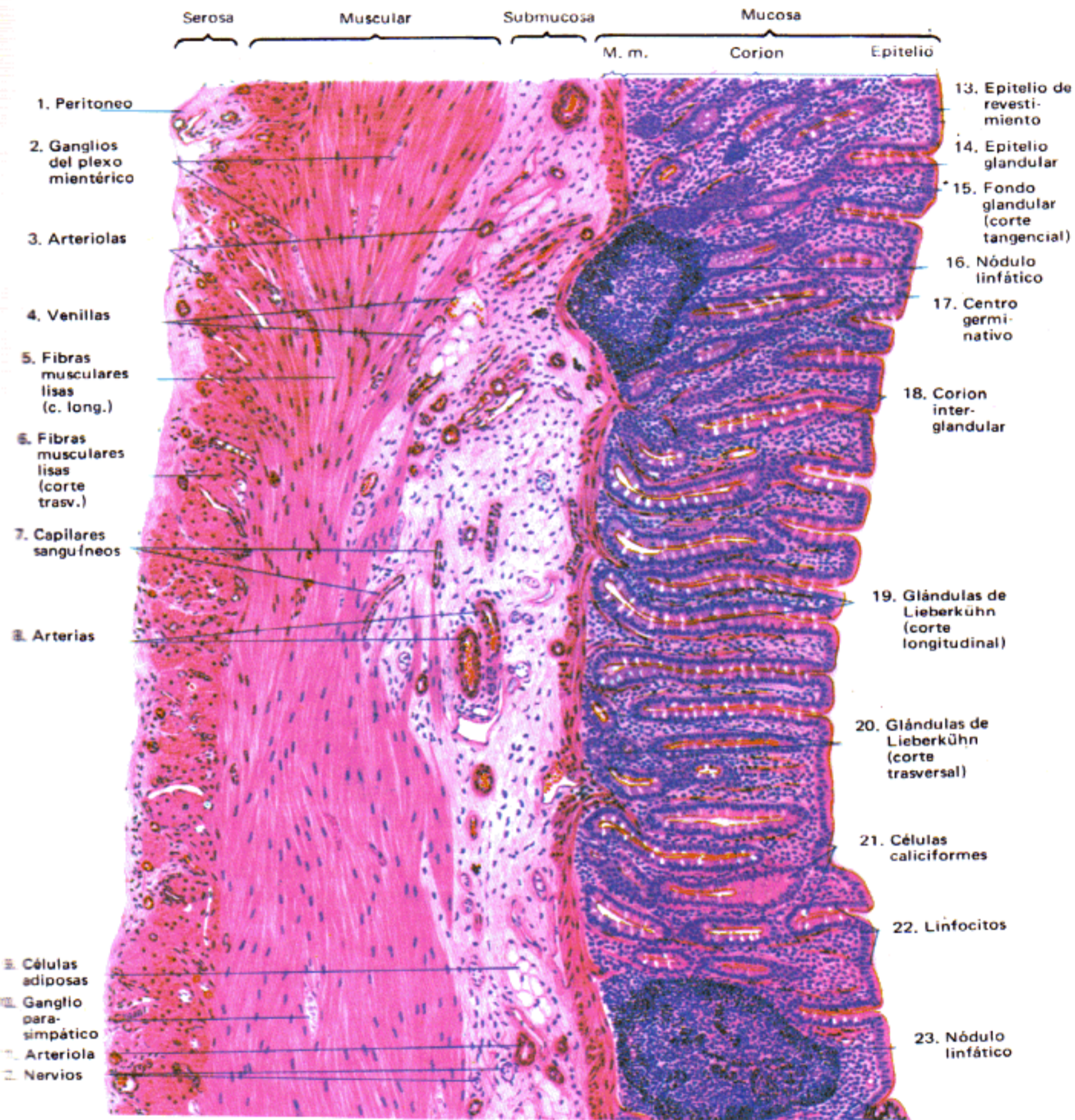
Fig. 1.— *Intestino delgado. Vellosidades.*
(Coloración: hematoxilina-eosina, 200 X.)



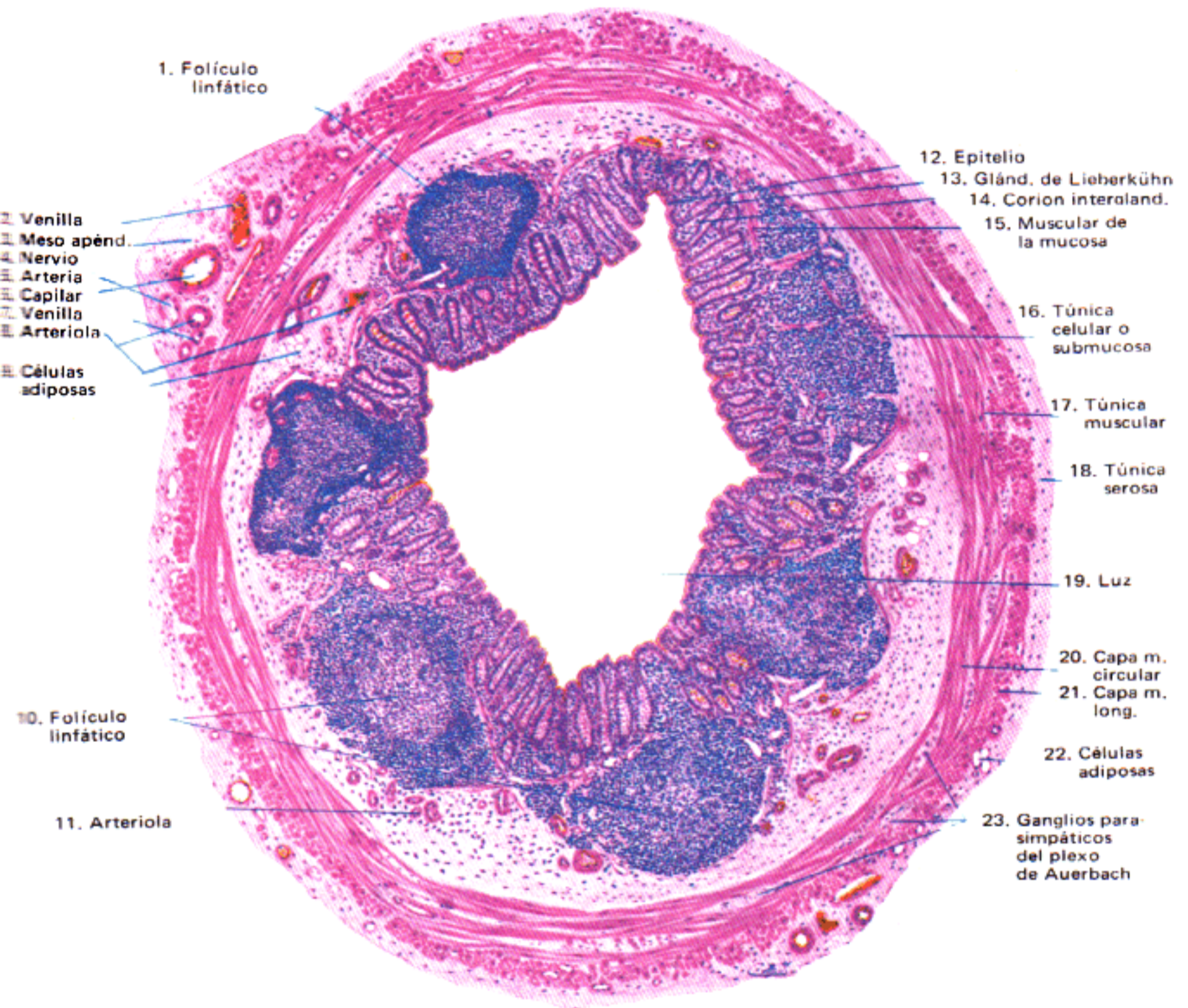
- 1. Glándula de Lieberkuhn (corte long.)
- 2. Glándula de Lieberkuhn (corte oblicuo)
- 3. Corion interglandular
- 4. Corion subglandular

- 5. Platillo estriado
- 6. Linfocito
- 7. Mitosis
- 8. Capilar (corte longitudinal)
- 9. Célula caliciforme
- 10. Prolongaciones interglandulares de la m. mucosae
- 11. Capa circular inter.
- 12. Capa long. exter.
- 13. Capilar (c. trasv.)
- 14. Capilar (c. long.)
- 15. Nervio (c. trasv.)

Fig. 2.— *Intestino grueso. Región profunda de la mucosa.*
(Coloración: hematoxilina-eosina, 265 X.)

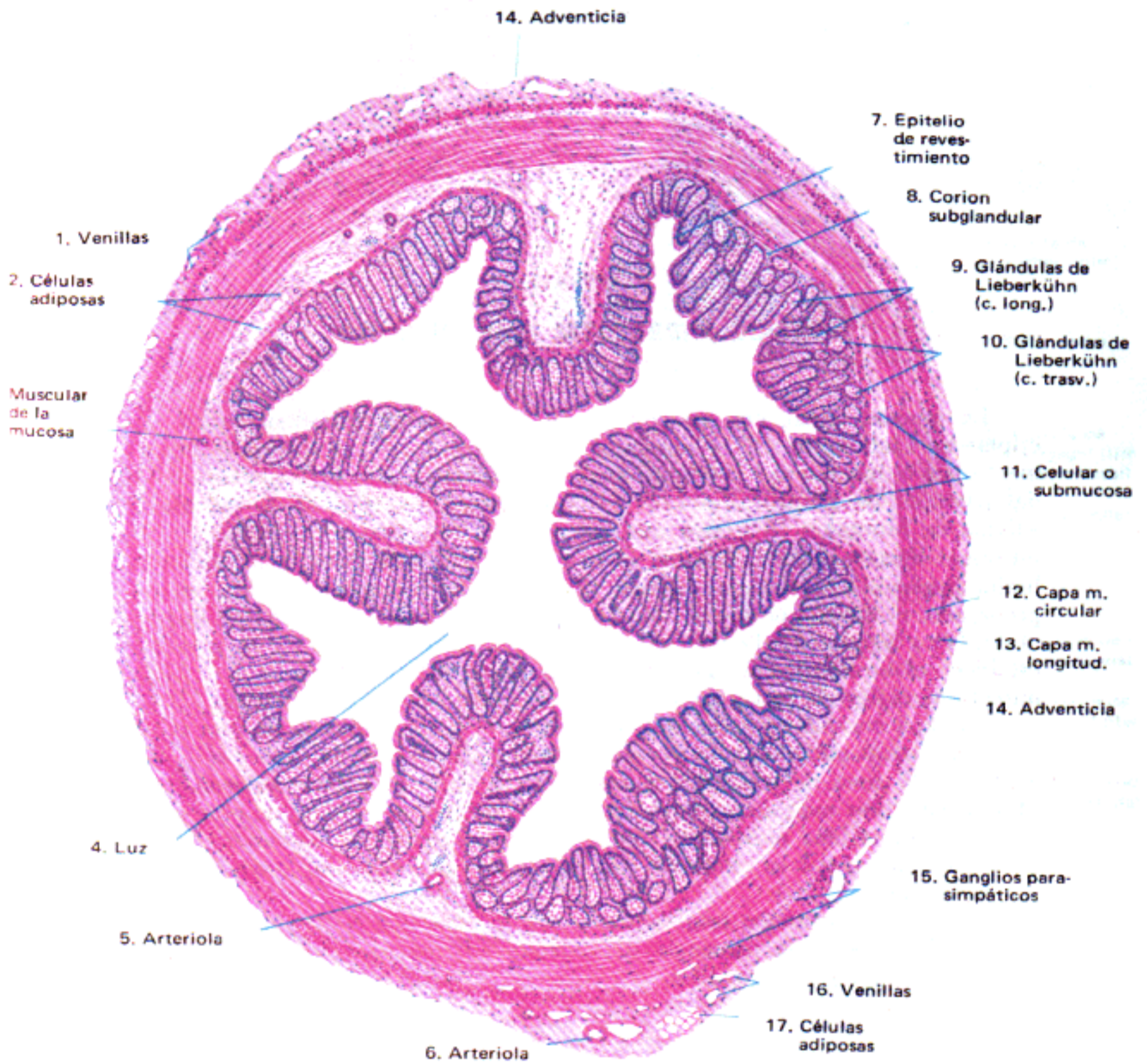


Coloración: hematoxilina-eosina. 53 X.

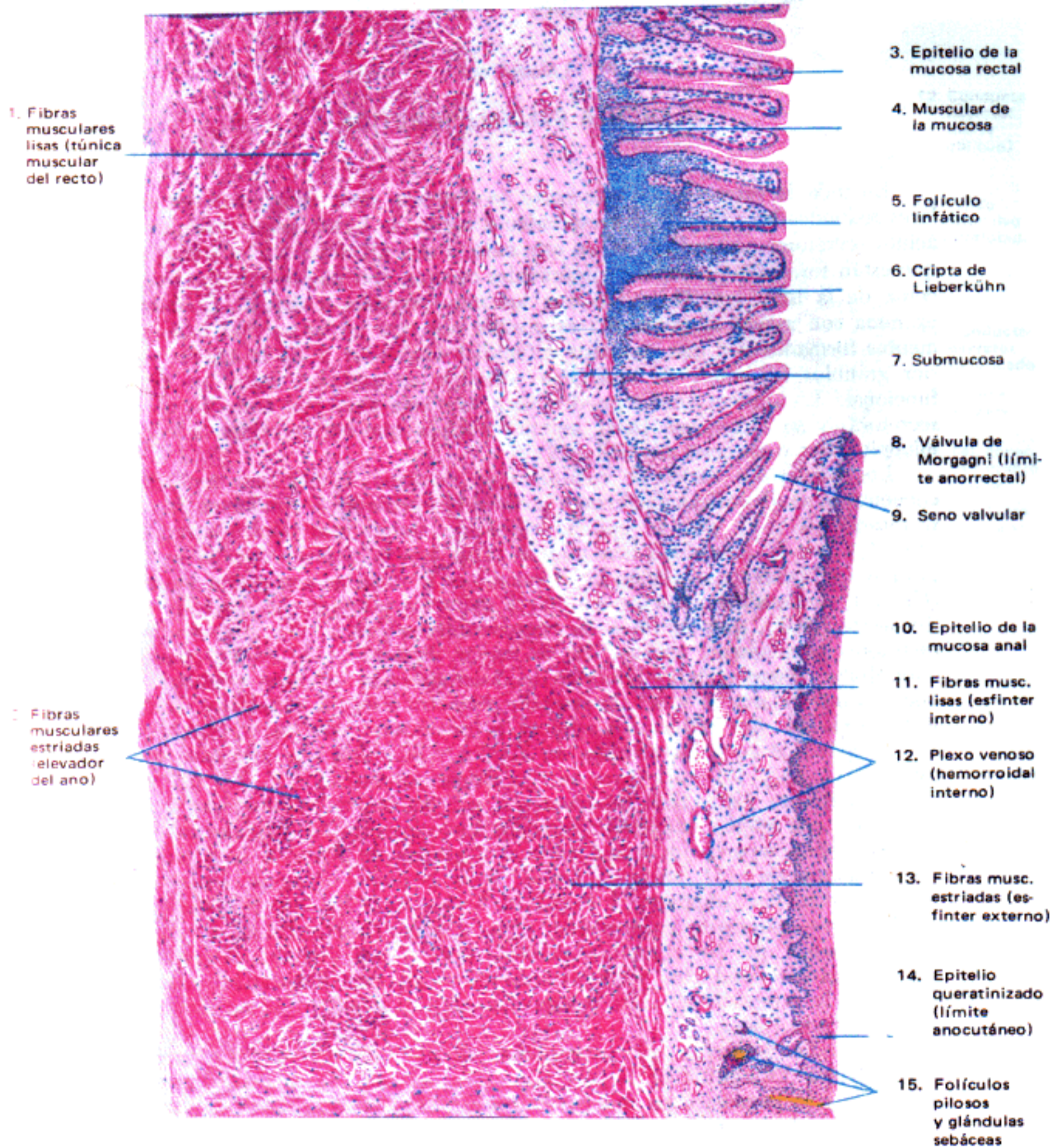


Coloración: hematoxilina-eosina. 25 X.

RECTO
(Corte trasversal)

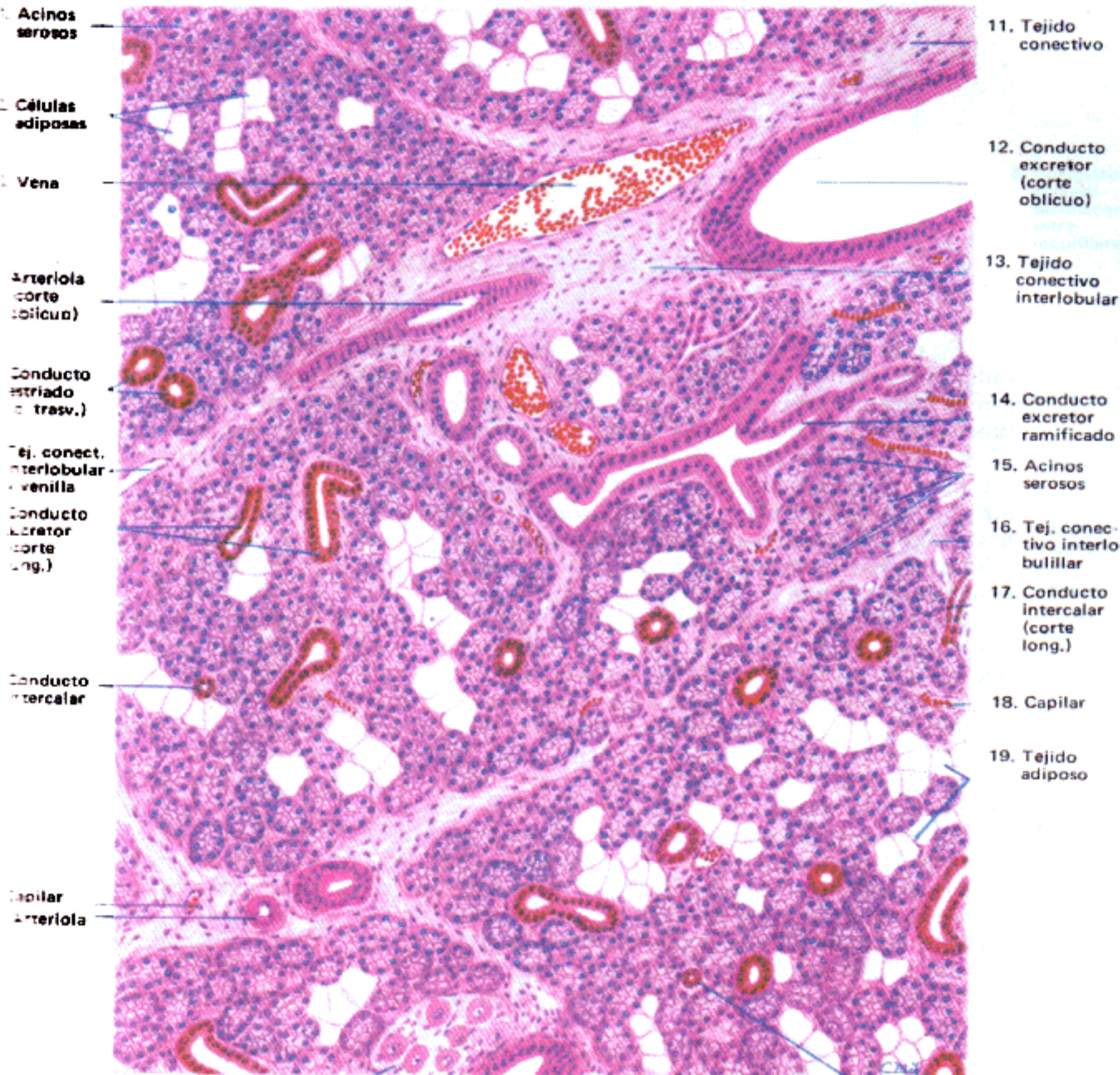


Coloración: hematoxilina-eosina. 40 X.



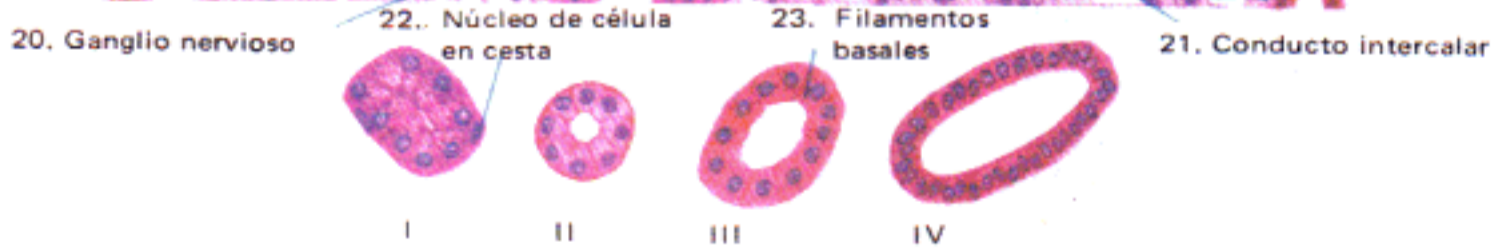
Coloración: hematoxilina-eosina. 25 X.

Parótida



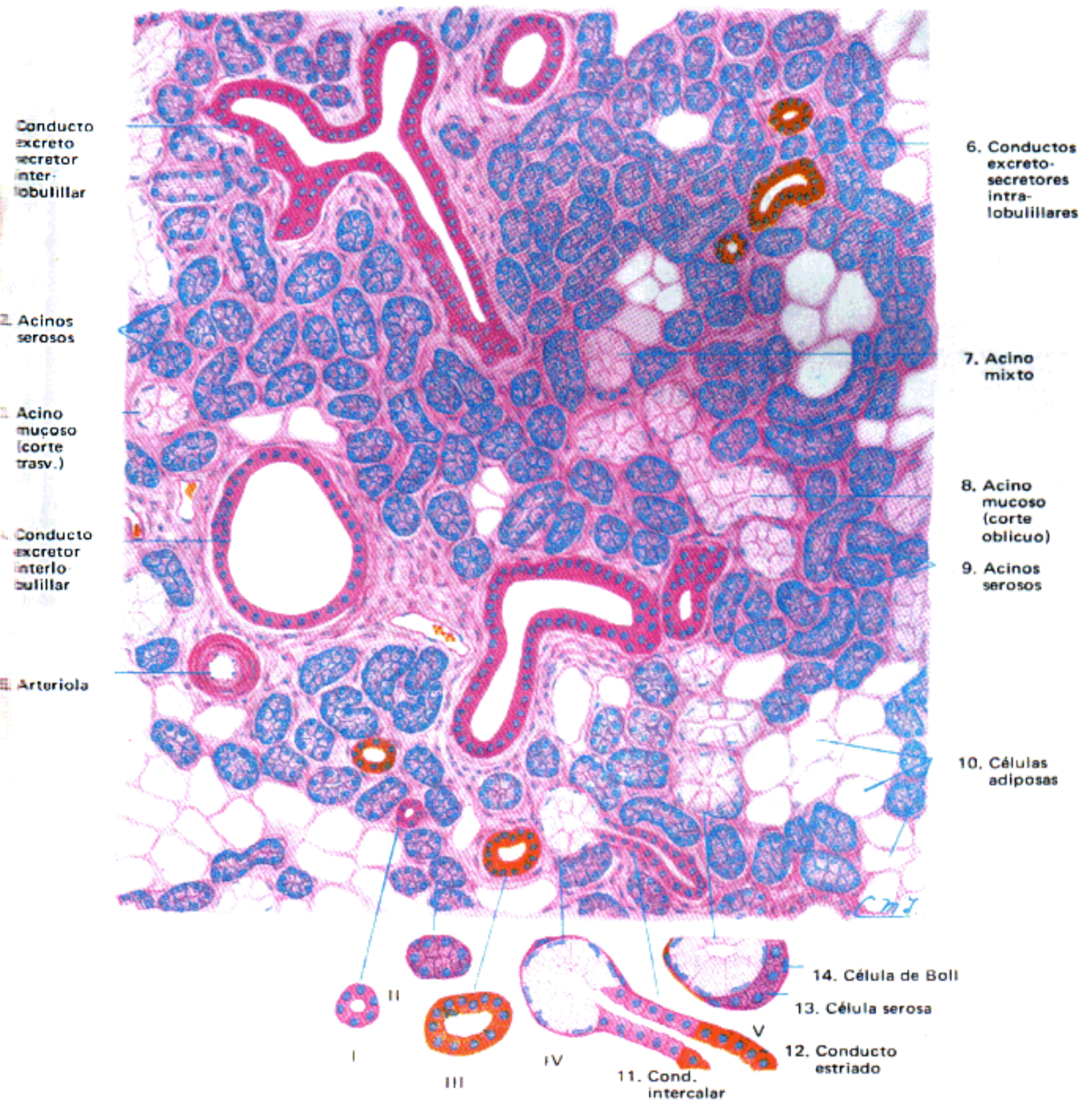
- 1. Acinos serosos
- 2. Células adiposas
- 3. Vena
- 4. Arteriola (corte oblicua)
- 5. Conducto estriado (c. trasv.)
- 6. Tej. conect. interlobular (venilla)
- 7. Conducto excretor (corte long.)
- 8. Conducto intercalar
- 9. Capilar
- 10. Arteriola

- 11. Tejido conectivo
- 12. Conducto excretor (corte oblicuo)
- 13. Tejido conectivo interlobular
- 14. Conducto excretor ramificado
- 15. Acinos serosos
- 16. Tej. conectivo interlobulillar
- 17. Conducto intercalar (corte long.)
- 18. Capilar
- 19. Tejido adiposo



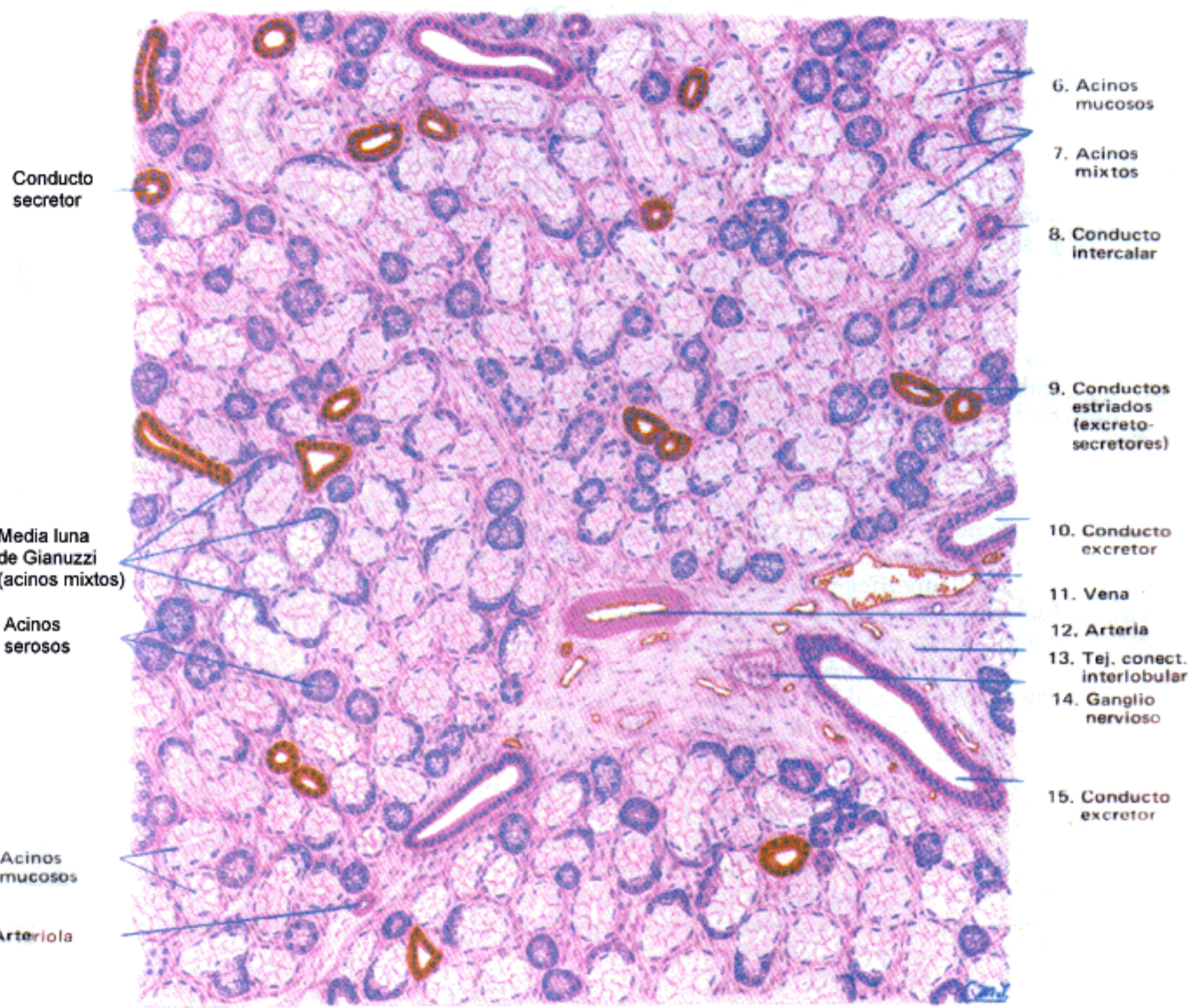
I, Acino seroso; II, conducto intercalar; III, conducto estriado; IV, conducto excretor.

Coloración: hematoxilina-eosina. 120 X y 300 X.



I, Conducto intercalar; II, ácino seroso; III, conducto estriado; IV, ácino mucoso y conducto intercalar (corte longitudinal); V, acino mixto.

Coloración: hematoxilina-eosina. 170 X y 300 X.



Conducto
secretor

Media luna
de Gianuzzi
(acinos mixtos)

Acinos
serosos

Acinos
mucosos

Arteriola

6. Acinos
mucosos

7. Acinos
mixtos

8. Conducto
intercalar

9. Conductos
estriados
(excreto-
secretores)

10. Conducto
excretor

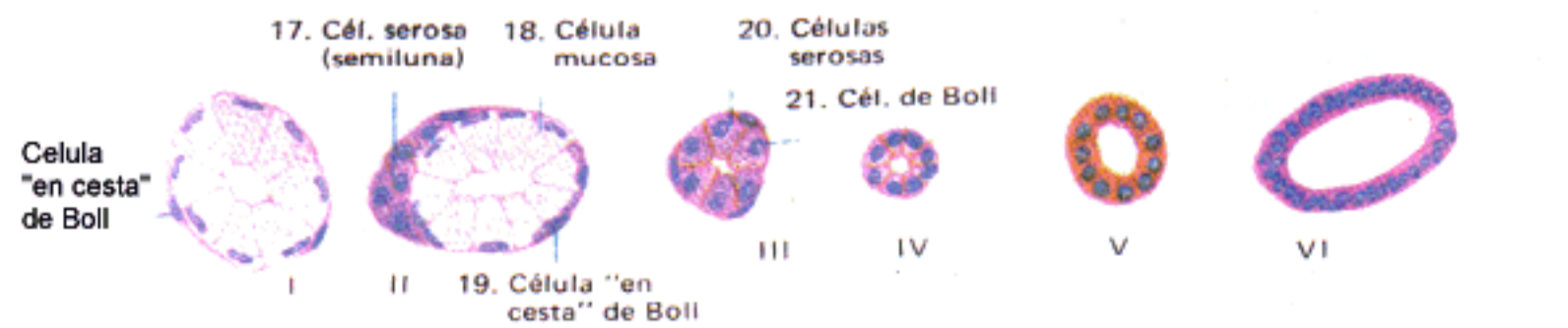
11. Vena

12. Arteria

13. Tej. conect.
interlobular

14. Ganglio
nervioso

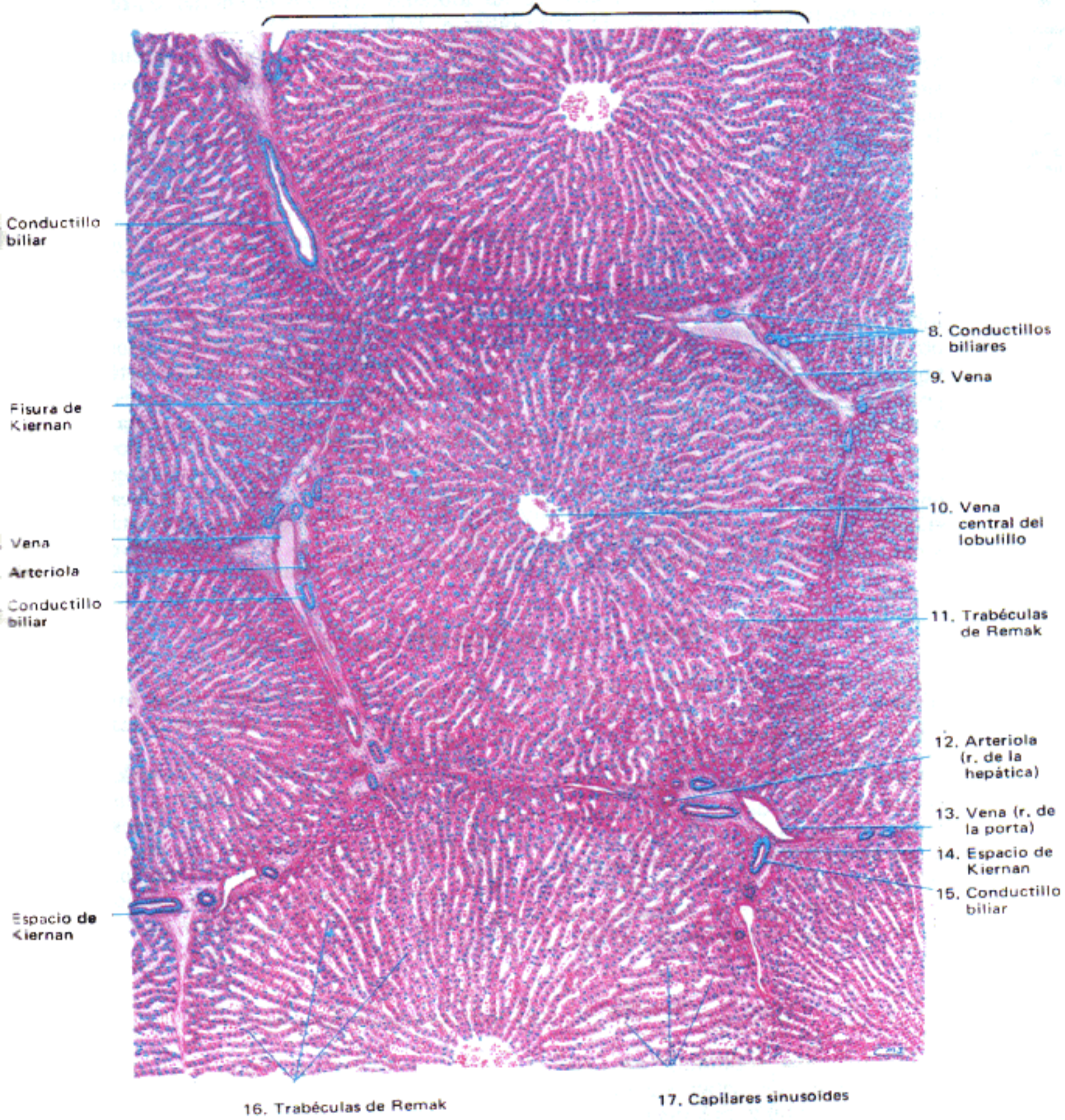
15. Conducto
excretor



I, Acino mucoso; II, ácido mixto; III, ácido seroso; IV, conducto intercalar; V, conducto estriado VI, conducto excretor.

Coloración: hematoxilina-eosina. 85 X.

1. Lobulillo hepático



Conductillo biliar

Fisura de Kiernan

Vena Arteriola

Conductillo biliar

Espacio de Kiernan

8. Conductillos biliares

9. Vena

10. Vena central del lobulillo

11. Trabéculas de Remak

12. Arteriola (r. de la hepática)

13. Vena (r. de la porta)

14. Espacio de Kiernan

15. Conductillo biliar

16. Trabéculas de Remak

17. Capilares sinusoides

Coloración: hematoxilina-eosina. 45 X.

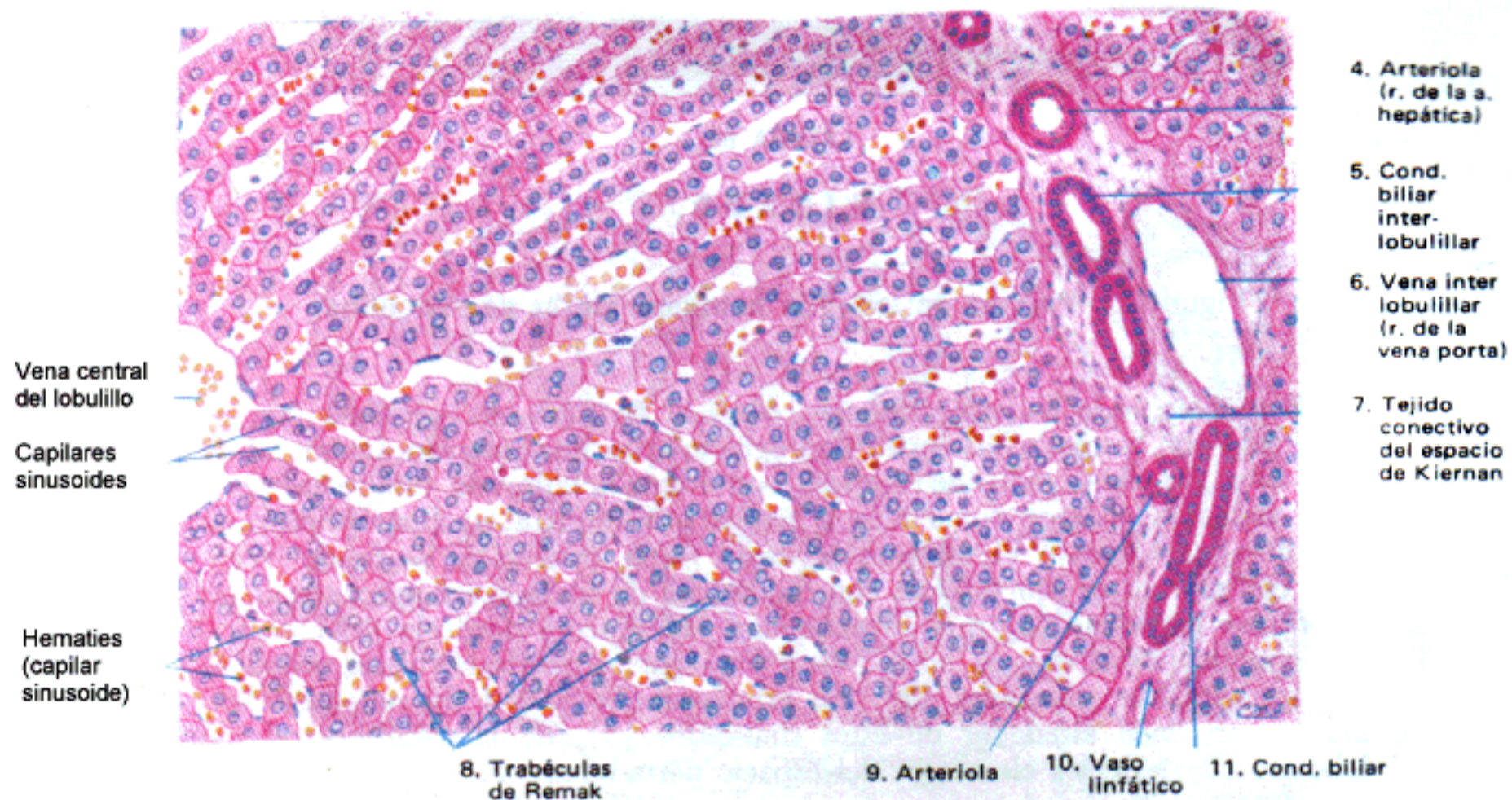


Fig. 1.— Porción de lobulillo y espacio porta-biliar (Coloración: hematoxilina-eosina. 285 X.)

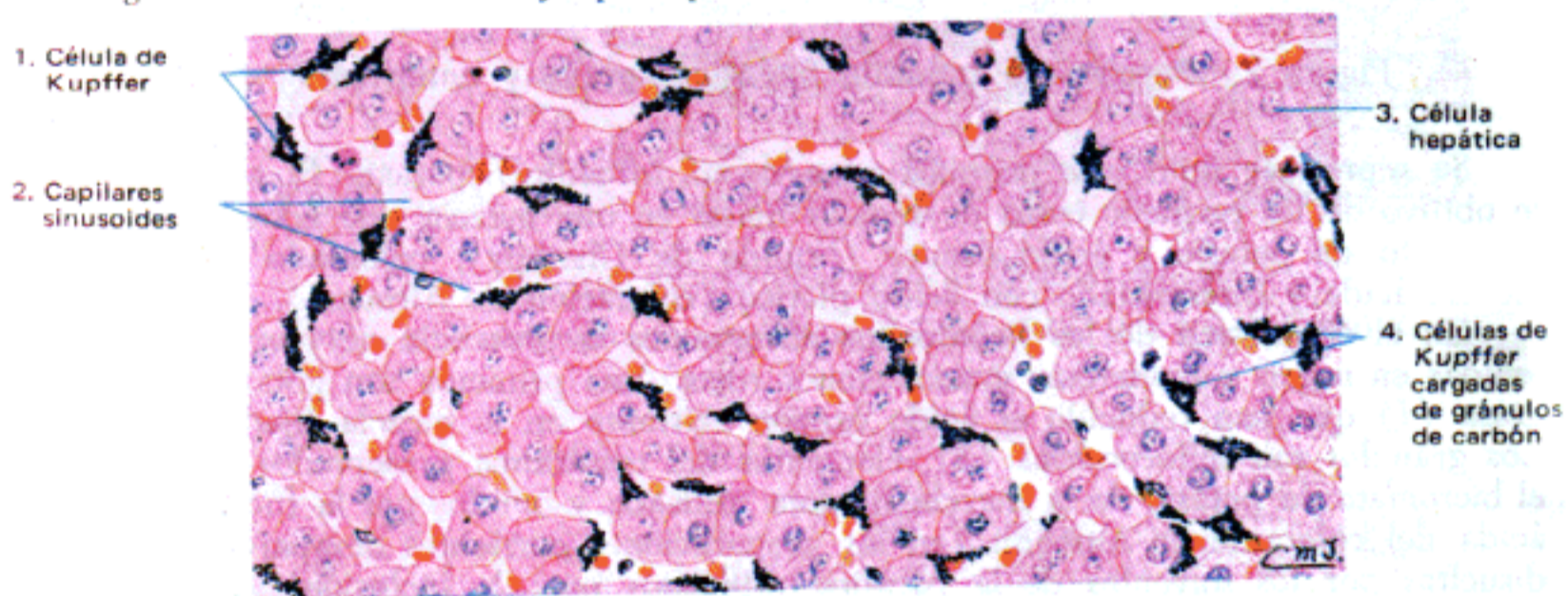


Fig. 2.— Porción de lobulillo (conejo inyectado con tinta china) (Coloración: hematoxilina-eosina. 350 X.)

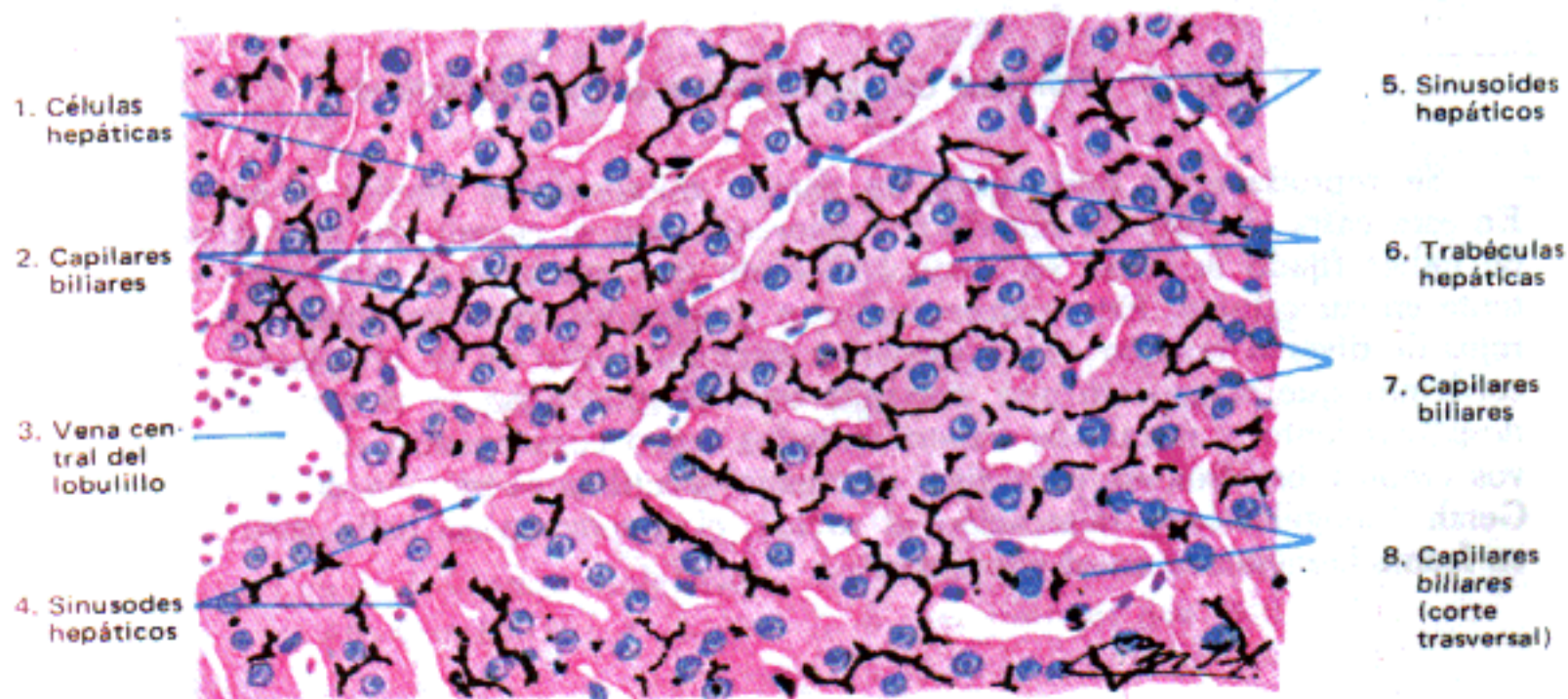


Fig. 3.— Porción de lobulillo (capilares biliares) (Fijación: ácido ósmico. Coloración: hematoxilina-eosina. 300 X.)

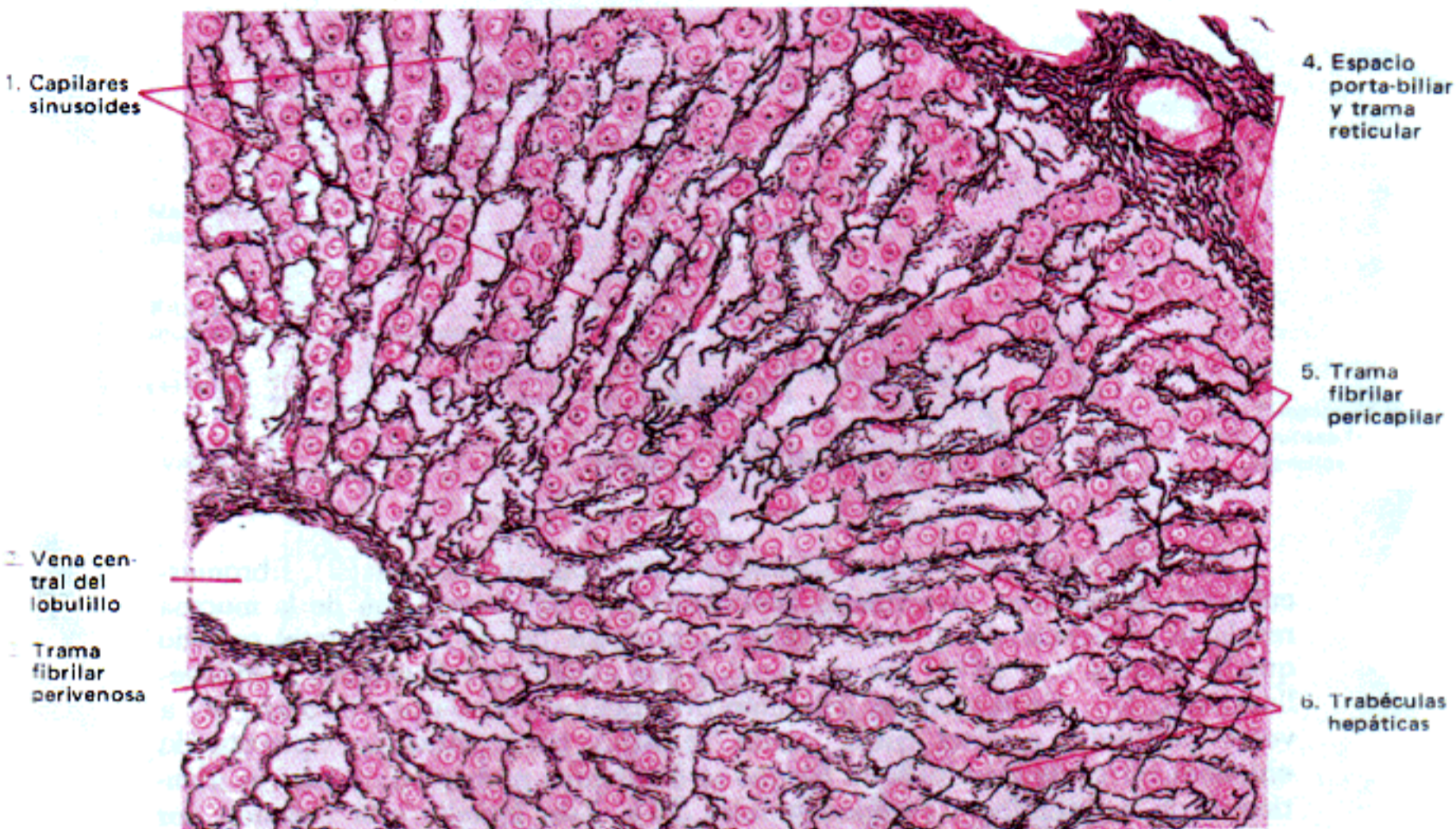


Fig. 1.— Porción de lobulillo hepático: fibras de reticulina

(Fijación: formol. Impregnación argéntica, variante de Del Río Hortega. 300 X.)

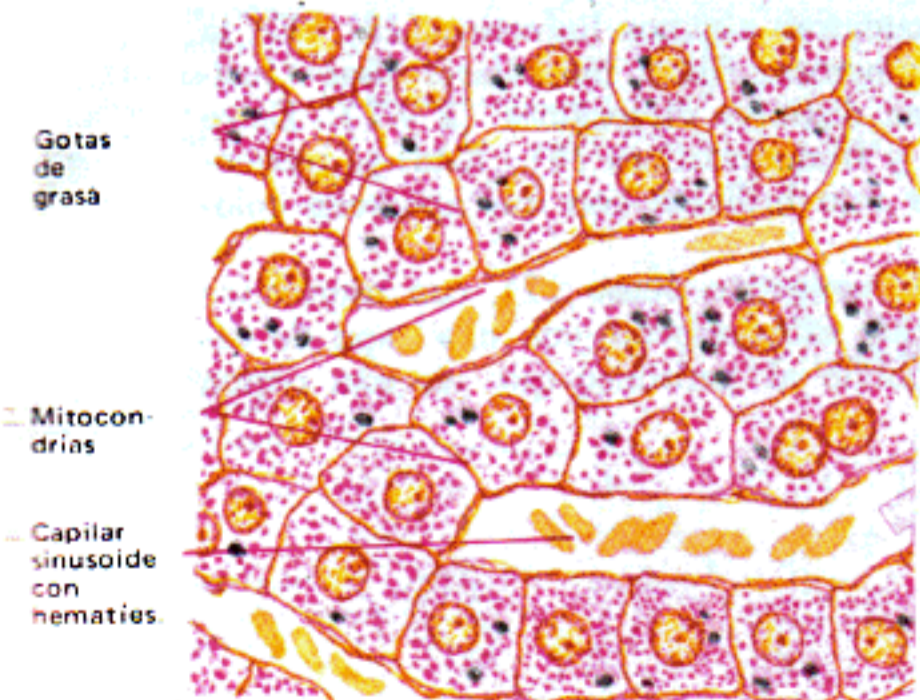


Fig. 2.— Porción de lobulillo hepático: grasa y condrioma

(Fijación: líquido de Champy. Coloración de Altmann. 800 X.)

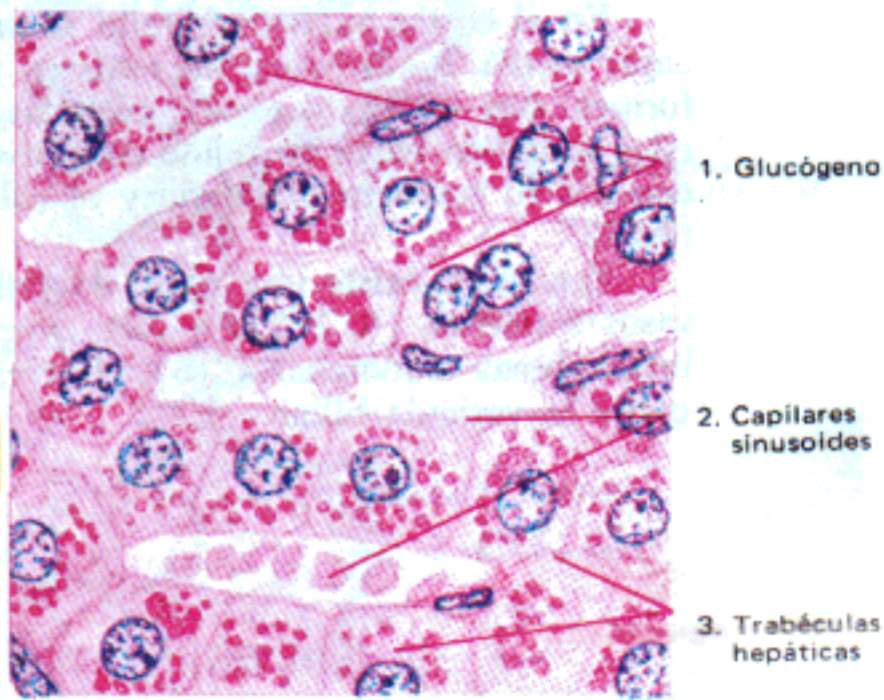
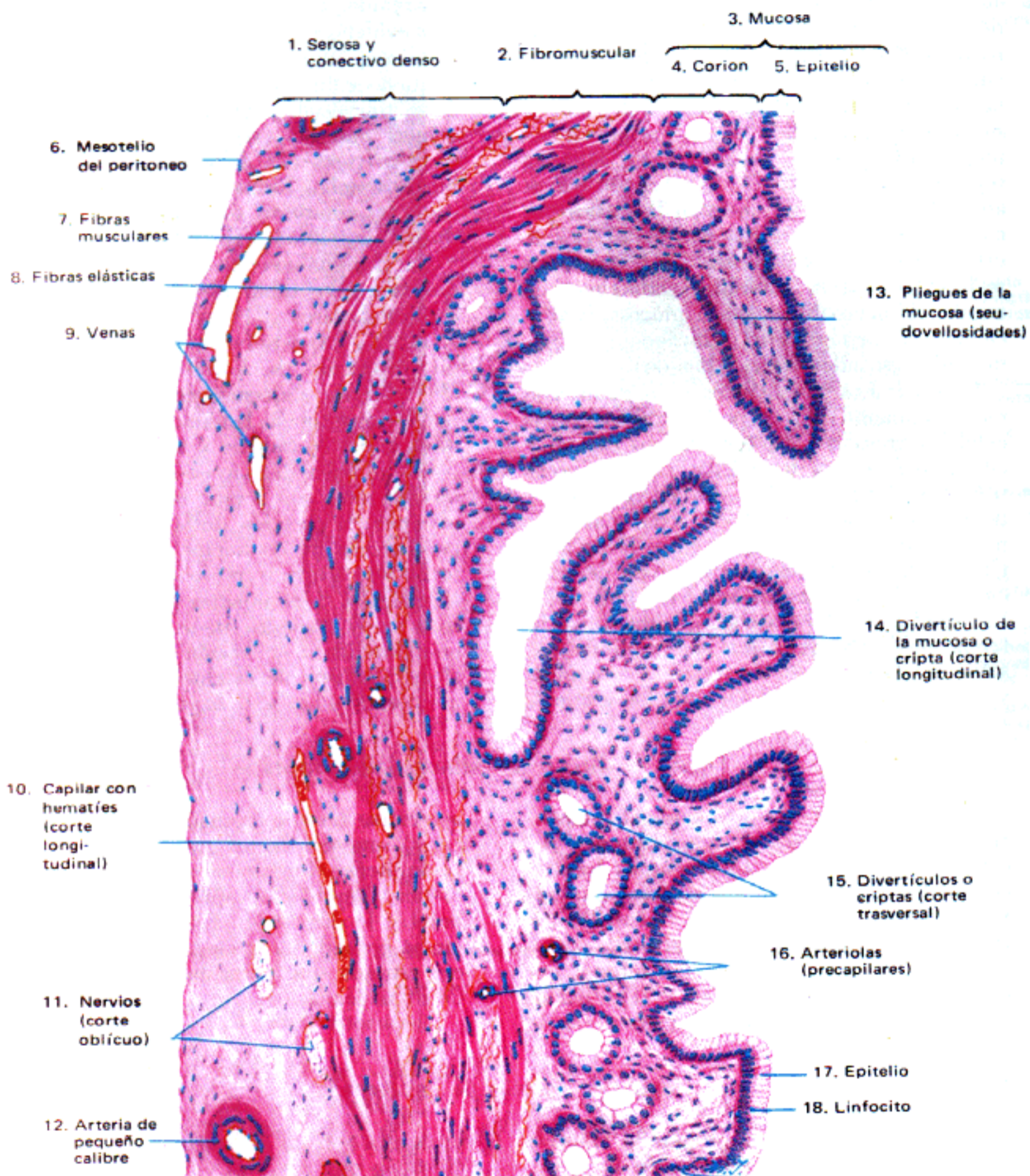
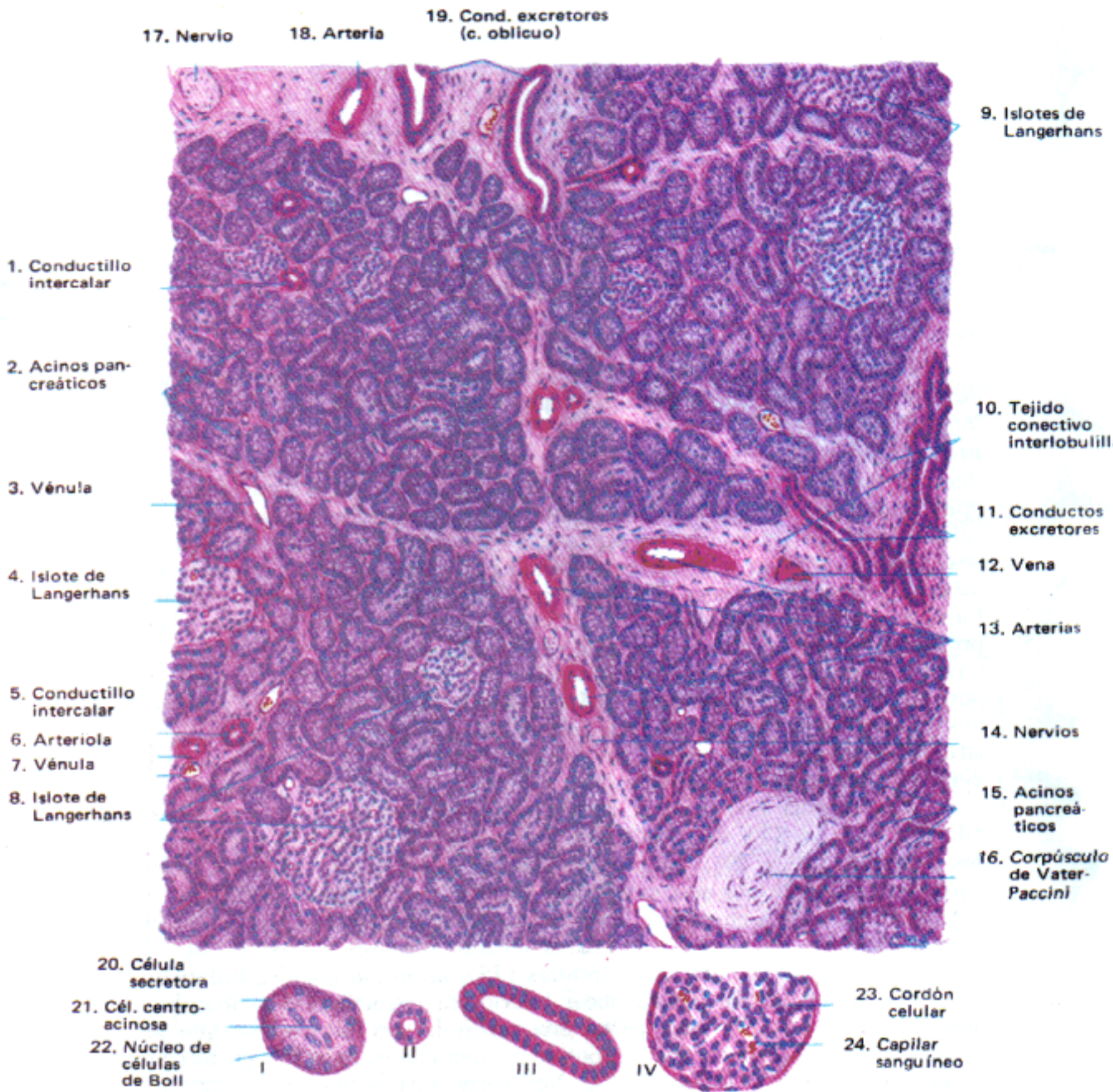


Fig. 3.— Porción de lobulillo hepático: glucógeno

(Fijación: alcohol absoluto. Coloración: carmín de Best. 800 X.)



Coloración: hematoxilina-eosina. 120 X.



I, Acino pancreático; II, conducto intercalar; III, conducto excretor; IV, islote de Langerhans.

Coloración: hematoxilina-eosina. 90 X.

Acinos pancreáticos

Islotes de Langerhans

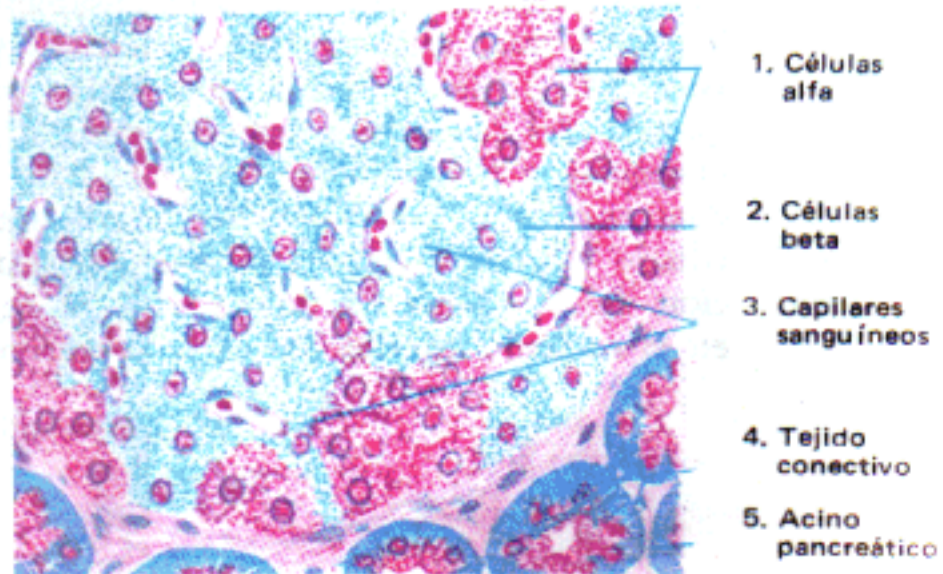
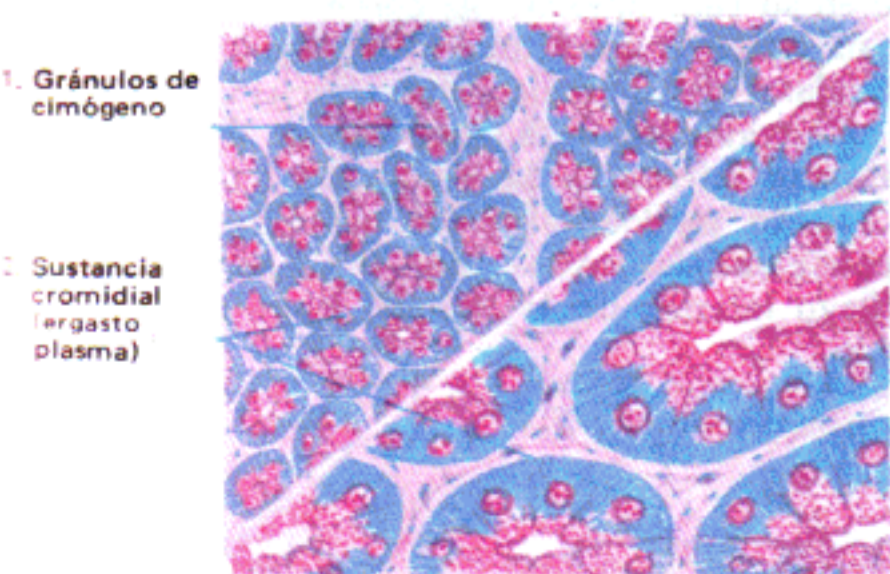
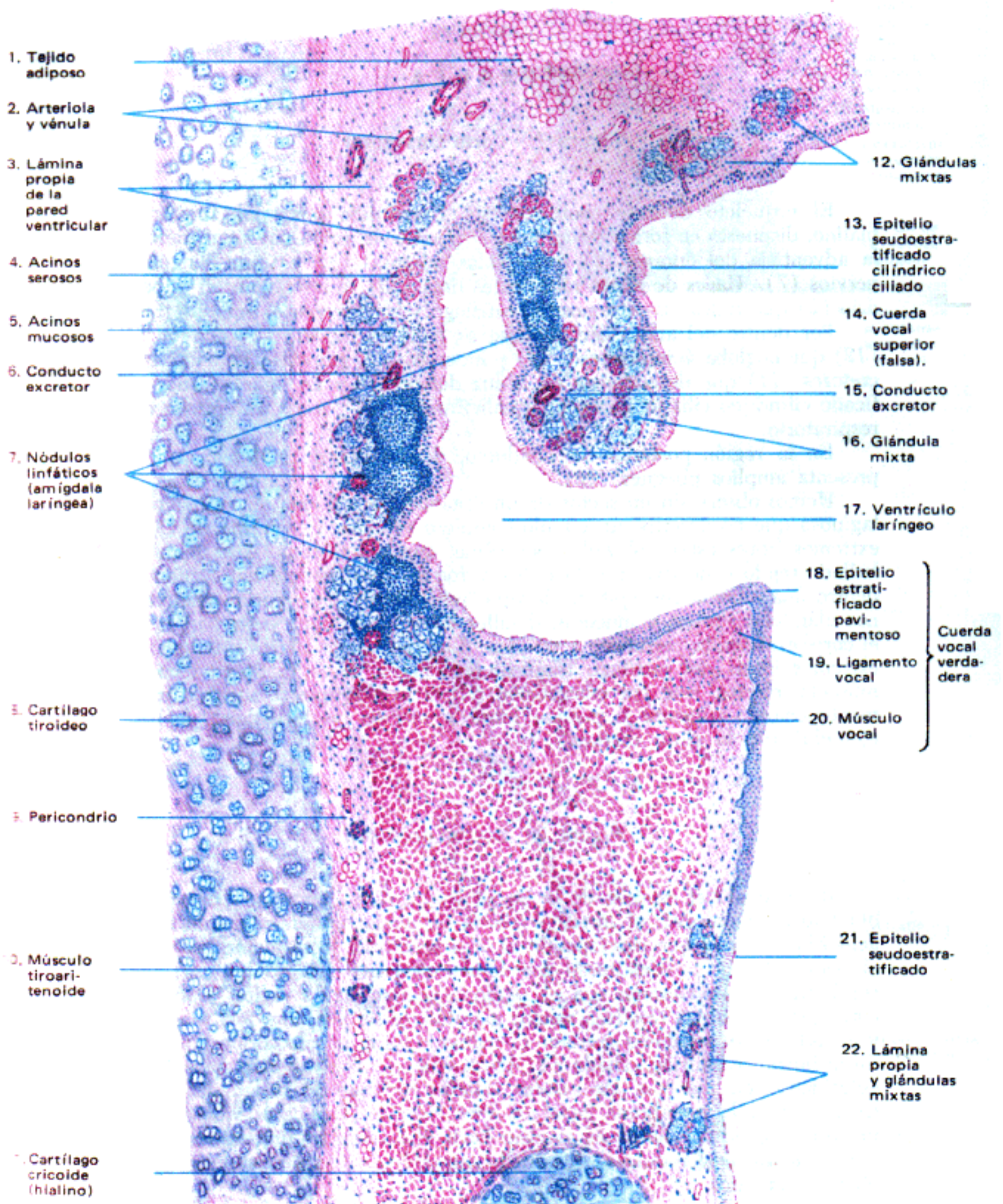


Fig. 2.— 90 y 450 X.

(Color.: hematoxilina crómica Gomori-floxina.)

Fig. 3.— 350 X.



Coloración: hematoxilina-eosina. 35 X.

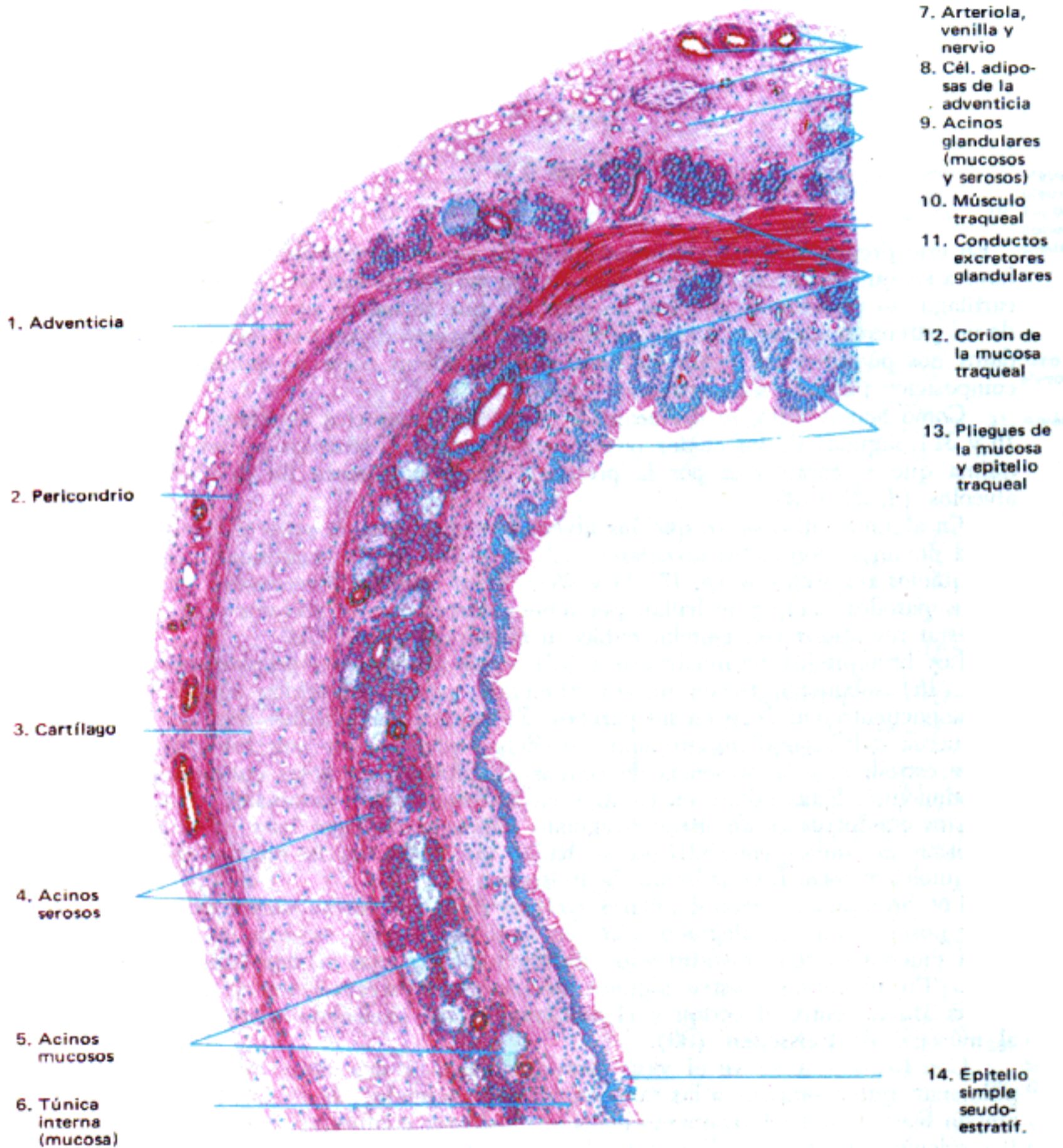


Fig. 1. - *Porción de corte transversal.*
(Coloración: hematoxilina-eosina, 50 X.)

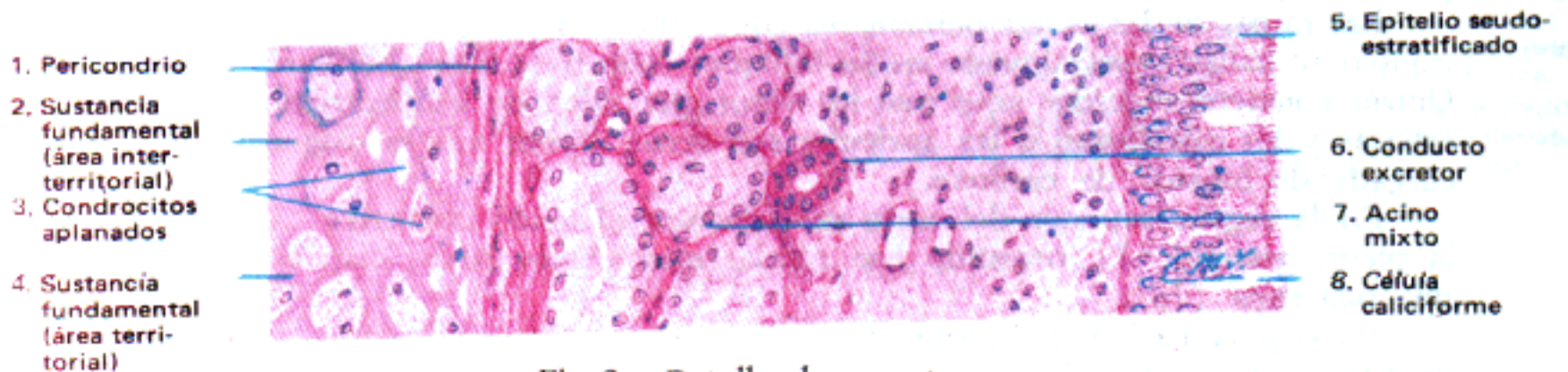
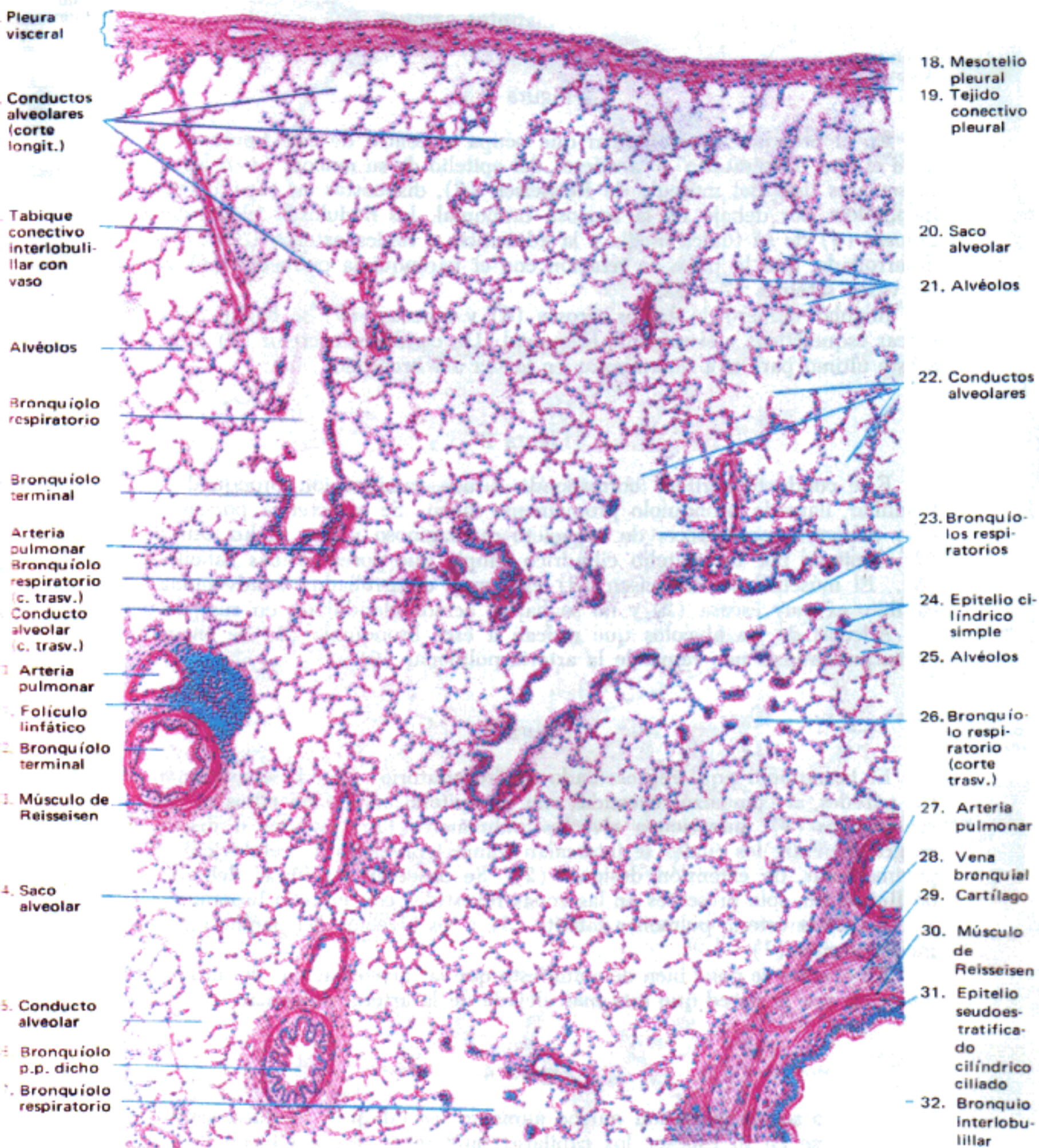


Fig. 2. - *Detalles de un sector.*
(Coloración: hematoxilina-eosina, 220 X.)



Coloración: hematoxilina-eosina. 30 X.

Detalles del preparado anterior



Fig. 1.— Bronquio interlobulillar. (50 X.)

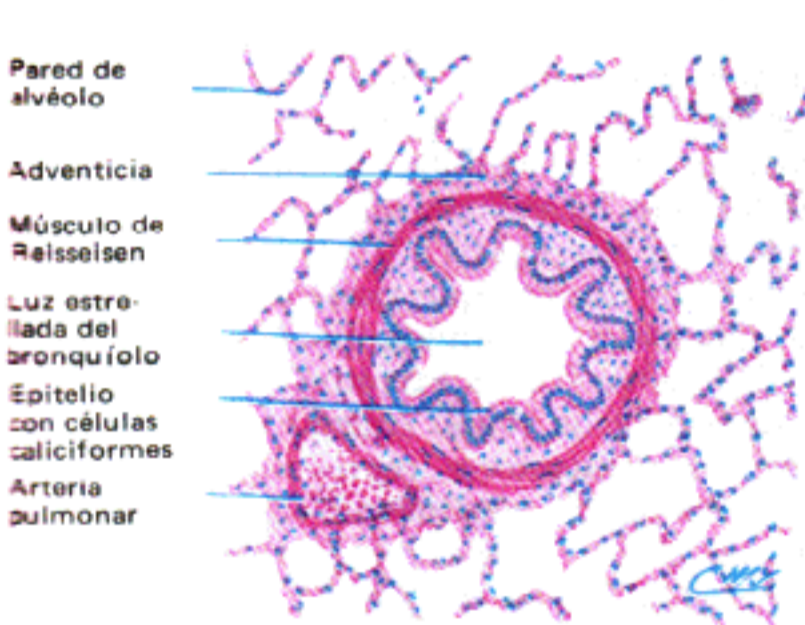


Fig. 2.— Bronquio intralobulillar (bronquiolo propiamente dicho). (50 X.)

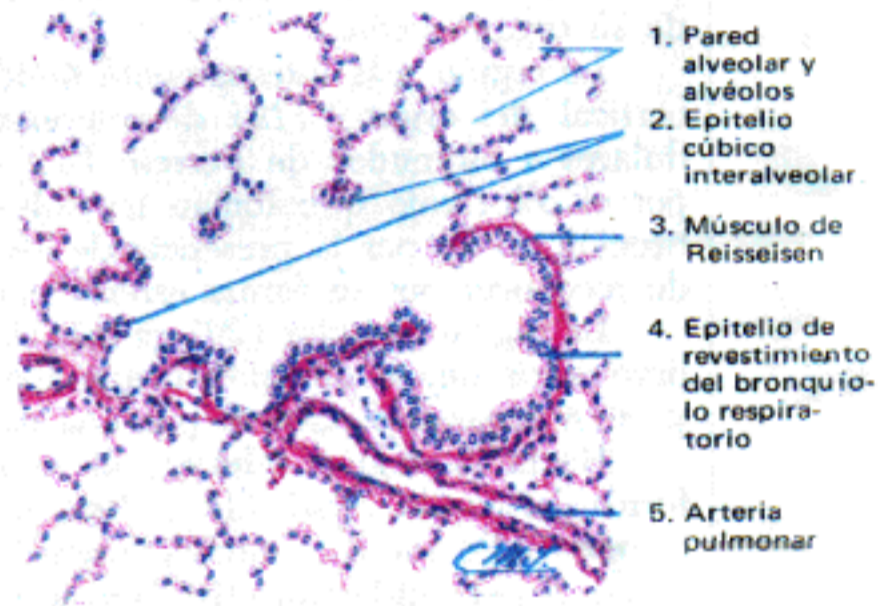


Fig. 3.— Bronquiolo respiratorio. (50 X.)

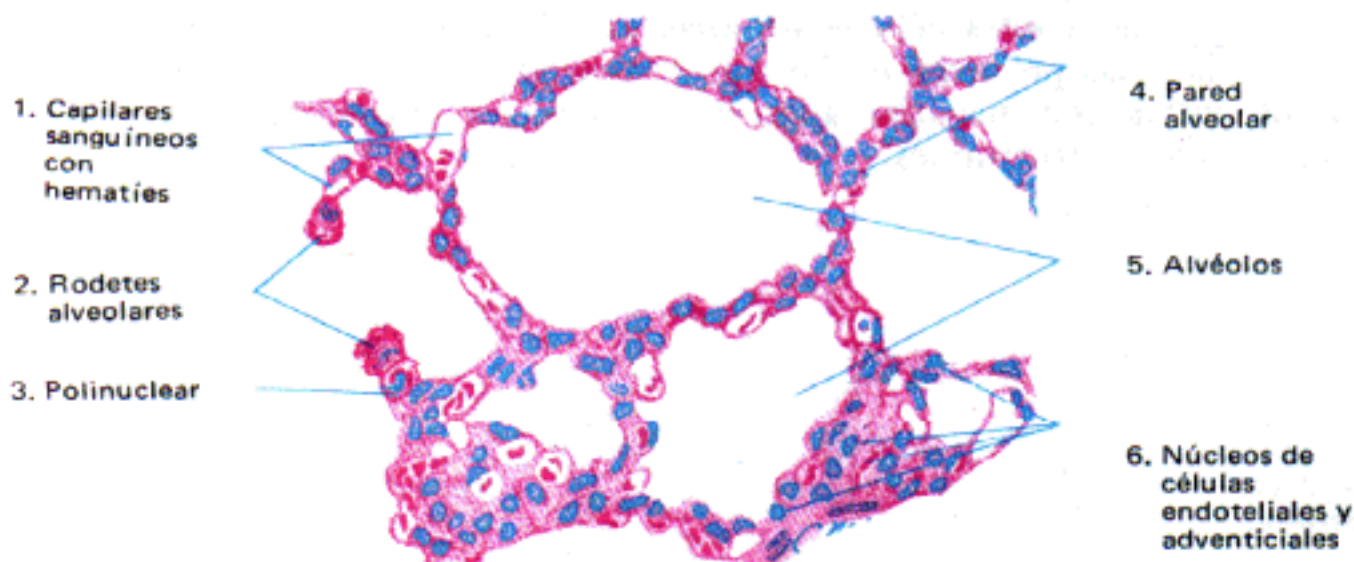
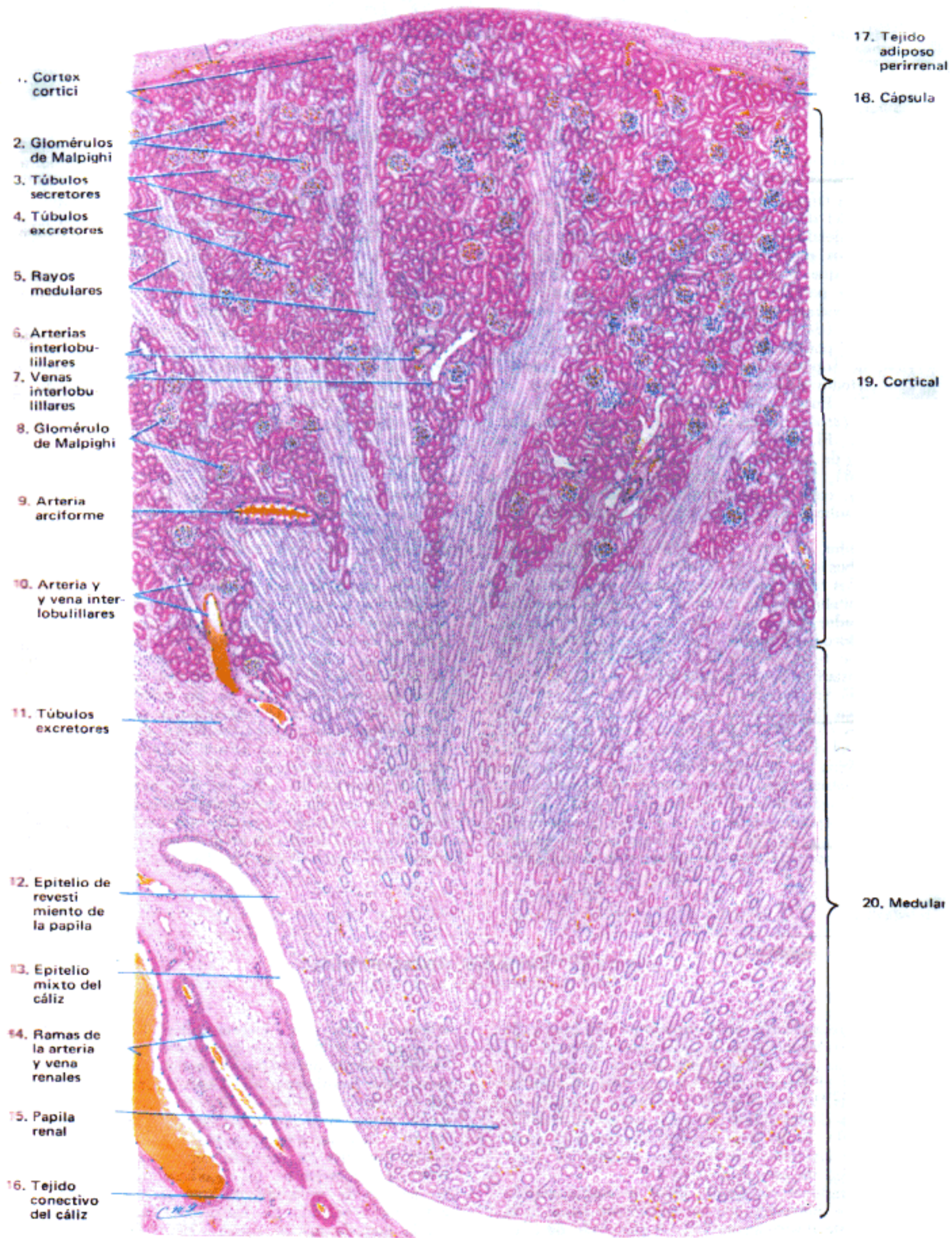


Fig. 4.— Pared de alvéolos. (Coloración: hematoxilina-eosina, 700 X.)

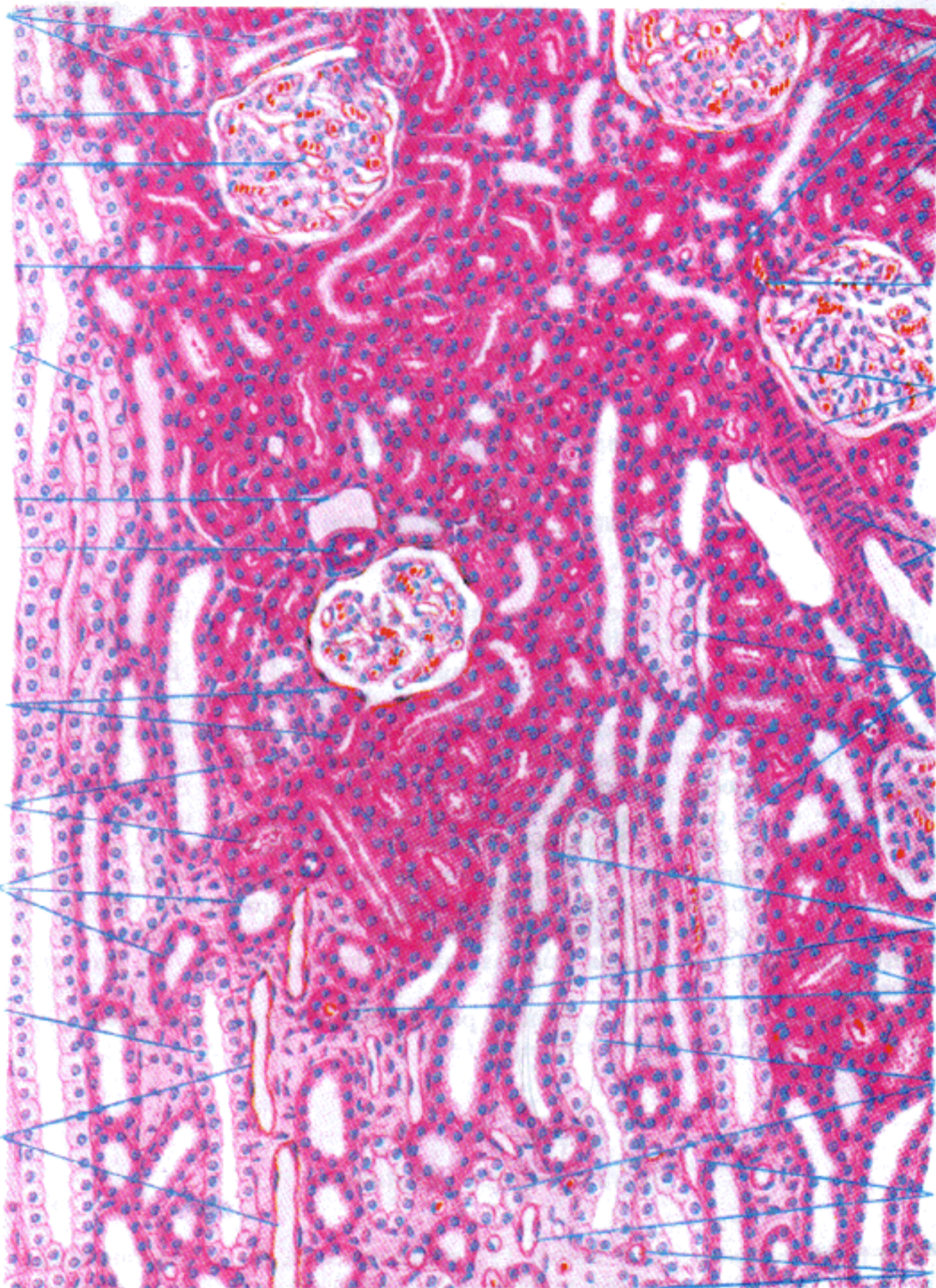


- 1. Cortez cortici
- 2. Glomérulos de Malpighi
- 3. Túbulos secretores
- 4. Túbulos excretores
- 5. Rayos medulares
- 6. Arterias interlobu-
lillares
- 7. Venas interlobu-
lillares
- 8. Glomérulo de Malpighi
- 9. Arteria arciforme
- 10. Arteria y
y vena inter-
lobuillares
- 11. Túbulos excretores
- 12. Epitelio de revesti-
miento de la papila
- 13. Epitelio mixto del cáliz
- 14. Ramas de la arteria y vena renales
- 15. Papila renal
- 16. Tejido conectivo del cáliz

- 17. Tejido adiposo perirrenal
- 18. Cápsula
- 19. Cortical
- 20. Medular

Coloración: hematoxilina-eosina. 25 X.

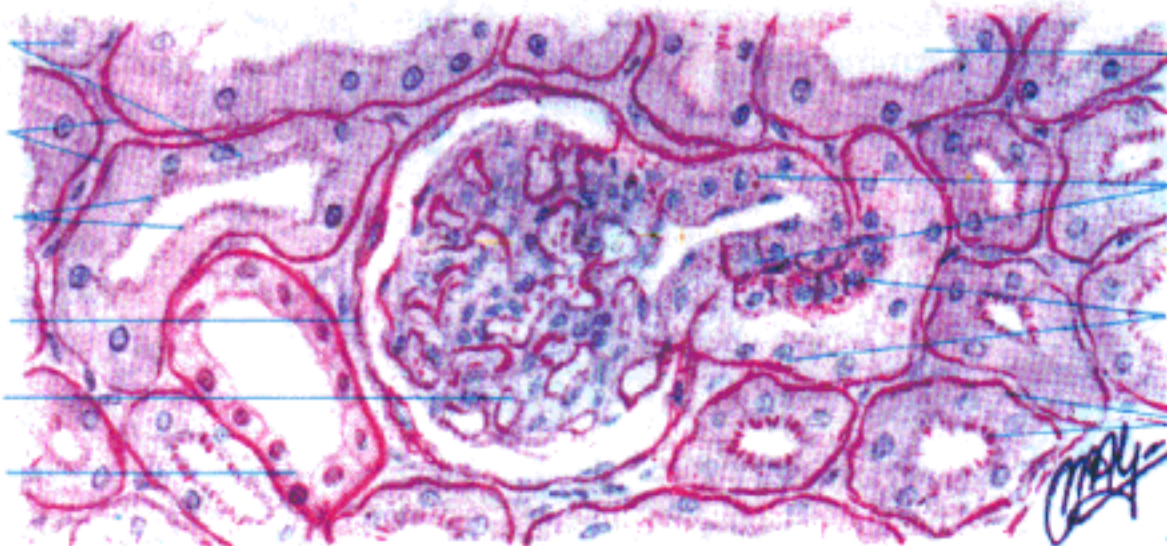
- 1. Túbulos contorneados distales
- 2. Cápsula de Bowman con revestimiento endotelial
- 3. Glomérulo de Malpighi
- 4. Túbulos contorneados proximales
- 5. Conductos colectores
- 6. Rama de vena lobulillar
- 7. Arteriola del glomérulo (corte trasv.)
- 8. Rev. de la c. de Bowman que se continúa con el epitelio de un túbulo contorneado
- 9. Túbulos contorneados proximales
- 10. Rama gruesa del asa de Henle
- 11. Túbulos excretores
- 12. Ramas delgadas del asa de Henle (corte long.)



- 13. Túbulos contorneados distales
- 14. Túbulos contorneados proximales con ribete en cepillo
- 15. Arteriola del corpúsc. (corte long.)
- 16. Hojas visceral y parietal de la cápsula de Bowman
- 17. Pared cortada tang. y luz de arteria interlobulillar
- 18. Conductos colectores
- 19. Ramas gruesas de Henle
- 20. Túbulos contorneados proximales
- 21. Túbulos colectores
- 22. Ramas delgadas del asa de Henle (corte trasv.)
- 23. Capilares sanguíneos

Fig. 1.— Zona cortical profunda.
(Coloración: hematoxilina-eosina, 150X.)

- 1. Tubos contorneados proximales
- 2. Membrana basal
- 3. Borde en cepillo
- 4. Cápsula de Bowmann con revestimiento endotelial
- 5. Glomérulo de Malpighi
- 6. Tubo contorneado distal



- 7. Tubo contorneado proximal
- 8. Arteriola aferente con aparato yuxtaglomerular
- 9. Tubo contorneado distal con mácula densa
- 10. Borde en cepillo y membrana basal de tubo contorneado proximal

Fig. 2.— Complejo yuxtaglomerular.

Zona medular profunda

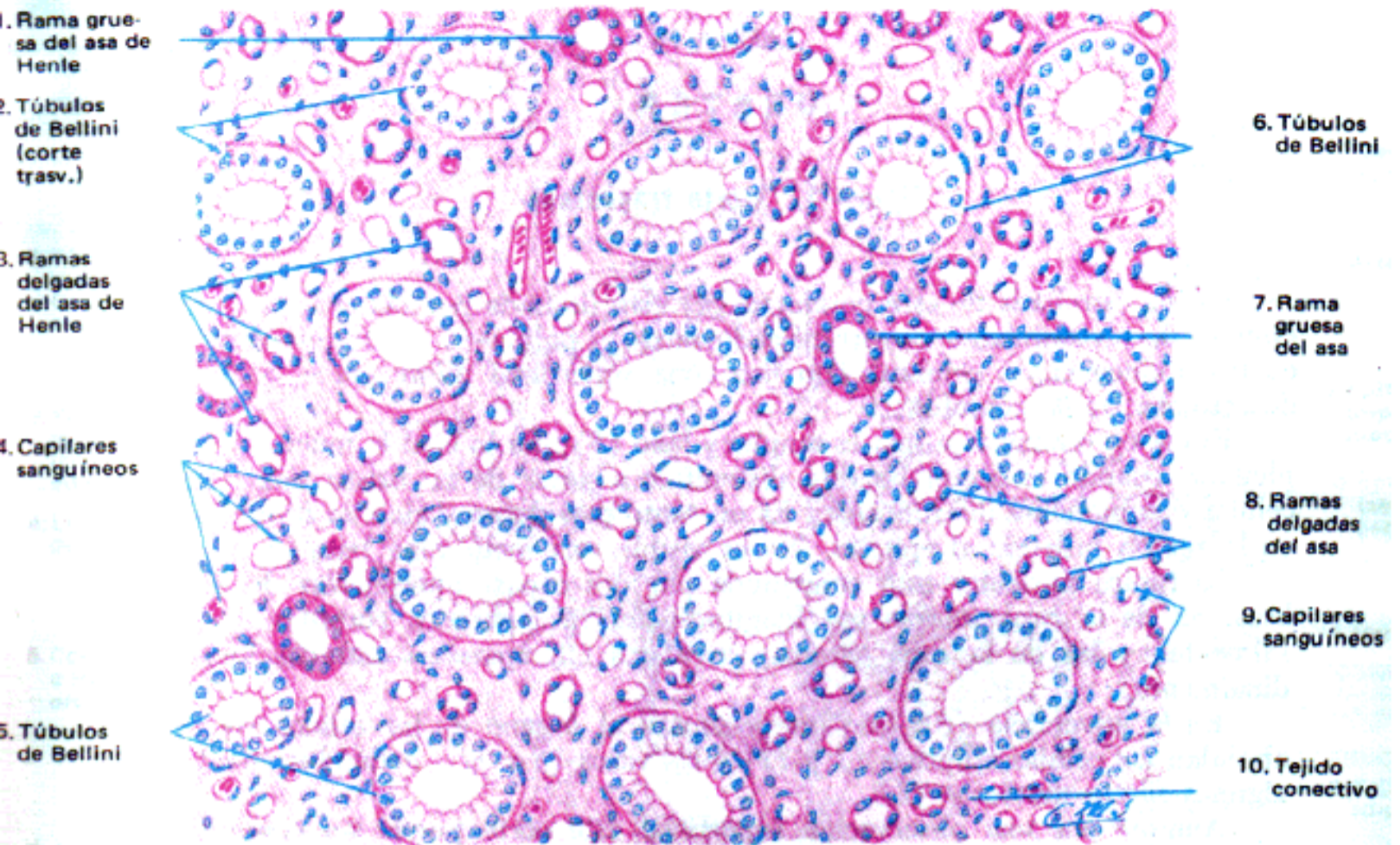


Fig. 1.- *Corte trasversal*
(Coloración: hematoxilina-eosina. 170 X.)

Corte longitudinal de la zona medular

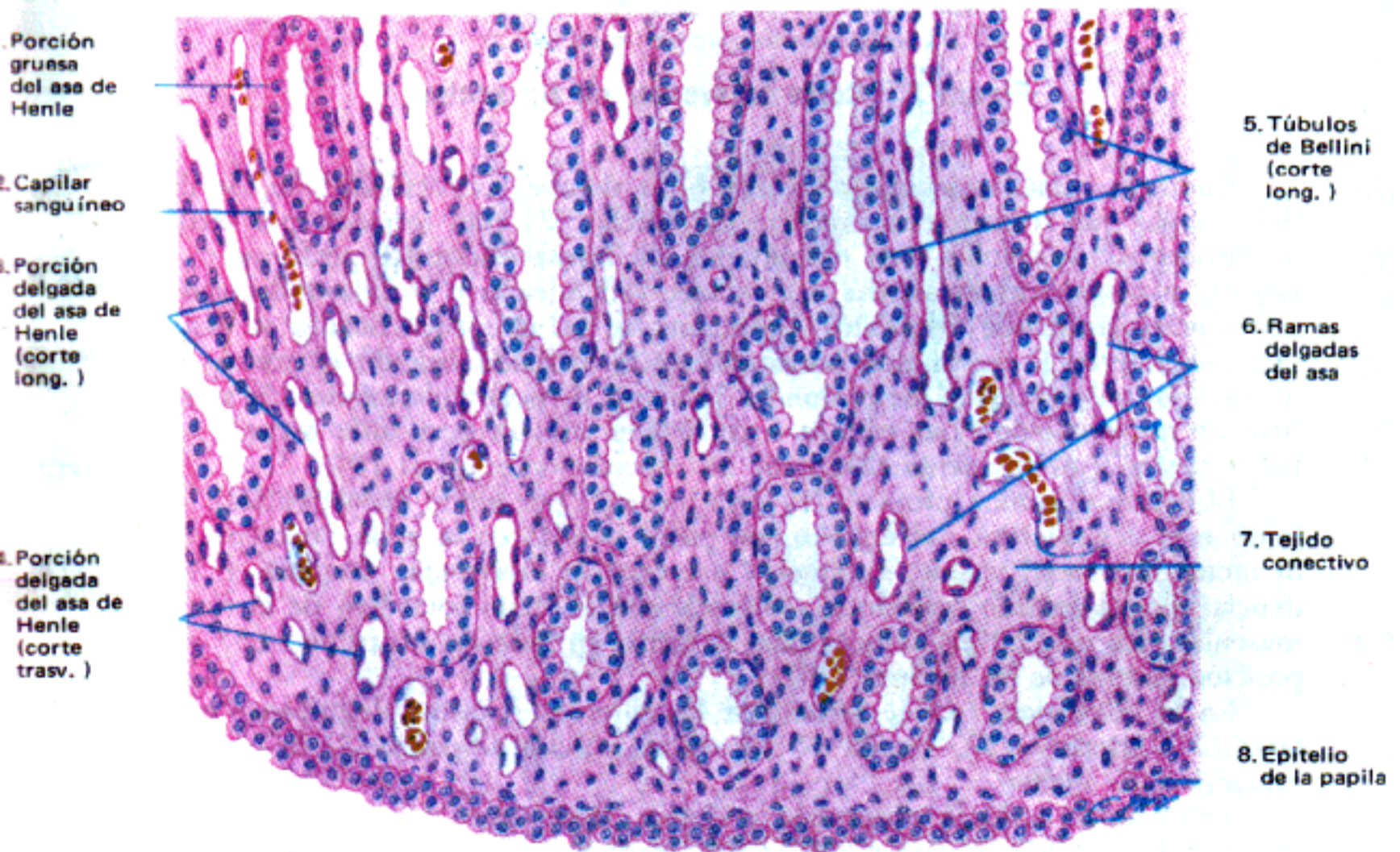
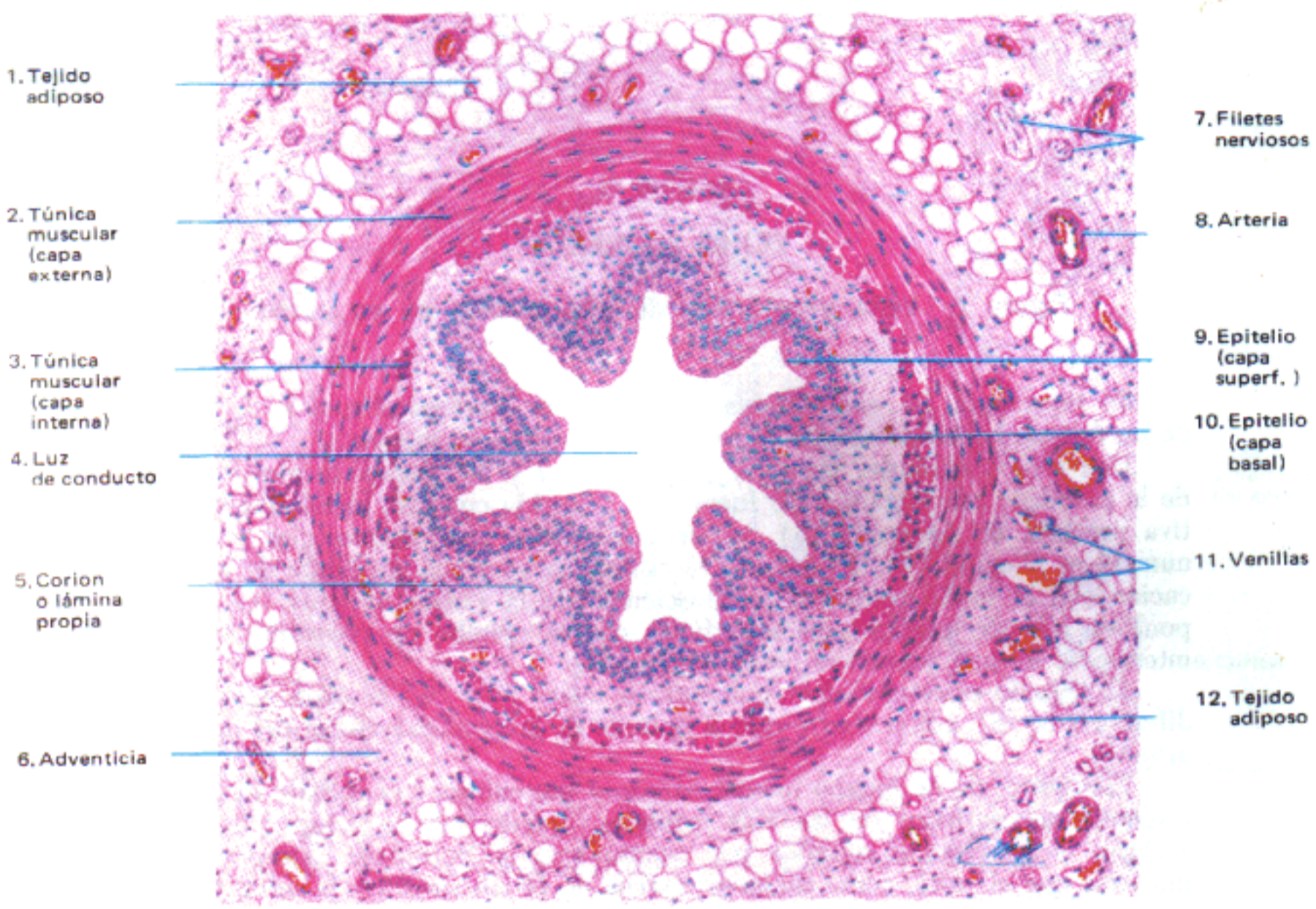


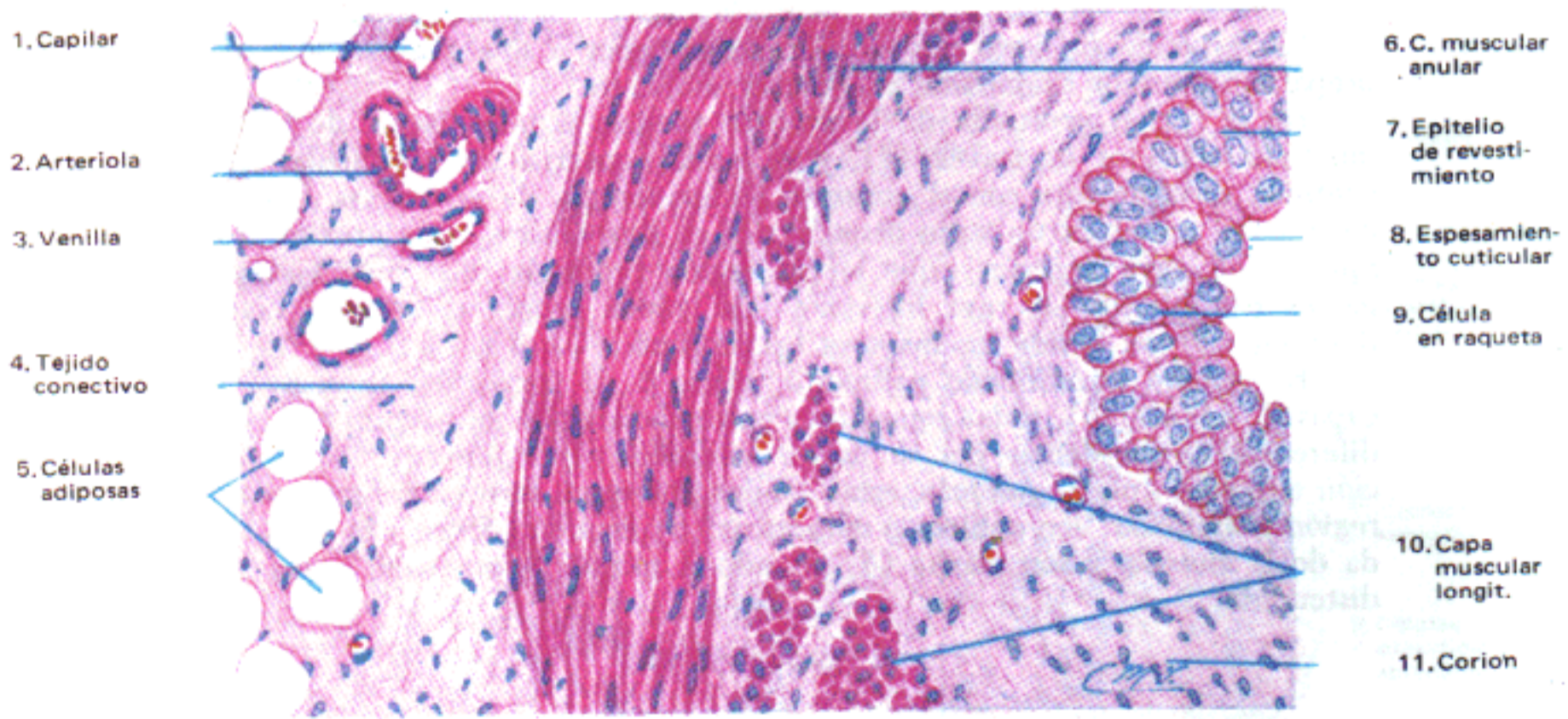
Fig. 2.- *Corte longitudinal*
(Coloración: hematoxilina-eosina. 120 X.)



- 1. Tejido adiposo
- 2. Túnica muscular (capa externa)
- 3. Túnica muscular (capa interna)
- 4. Luz de conducto
- 5. Corion o lámina propia
- 6. Adventicia

- 7. Filetes nerviosos
- 8. Arteria
- 9. Epitelio (capa superf.)
- 10. Epitelio (capa basal)
- 11. Venillas
- 12. Tejido adiposo

Fig. 1.— Corte trasversal
(Coloración: hematoxilina-eosina. 50 X.)



- 1. Capilar
- 2. Arteriola
- 3. Venilla
- 4. Tejido conectivo
- 5. Células adiposas

- 6. C. muscular anular
- 7. Epitelio de revestimiento
- 8. Espesamiento cuticular
- 9. Célula en raqueta
- 10. Capa muscular longit.
- 11. Corion

Fig. 2.— Corte a través de una parte de su pared
(Coloración: hematoxilina-eosina. 150 X.)

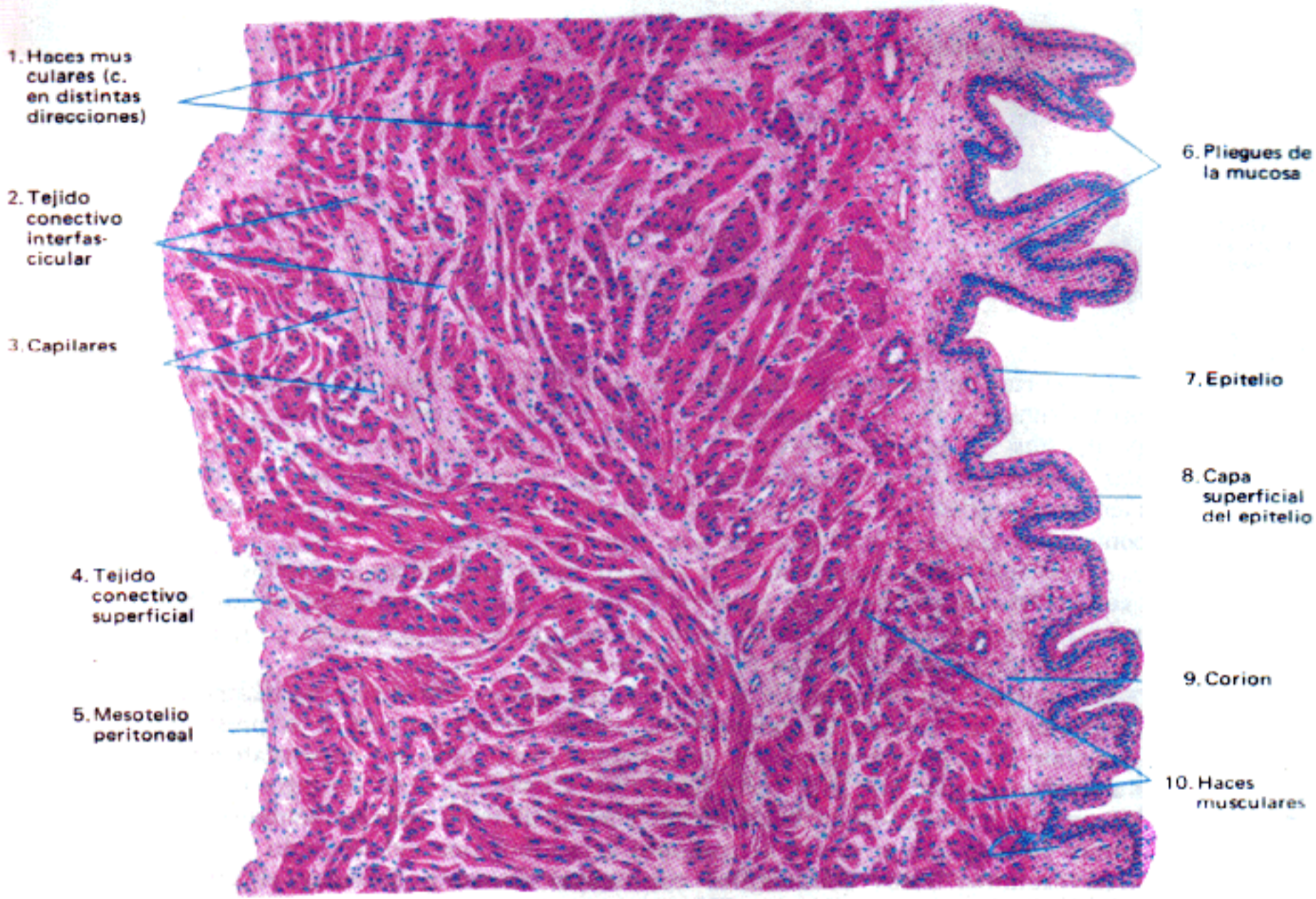


Fig. 1.— Corte a través de una porción de su pared
(Coloración: hematoxilina-eosina. 40 X.)



Fig. 2.— Porción del campo anterior
(Coloración: hematoxilina-eosina. 160 X.)

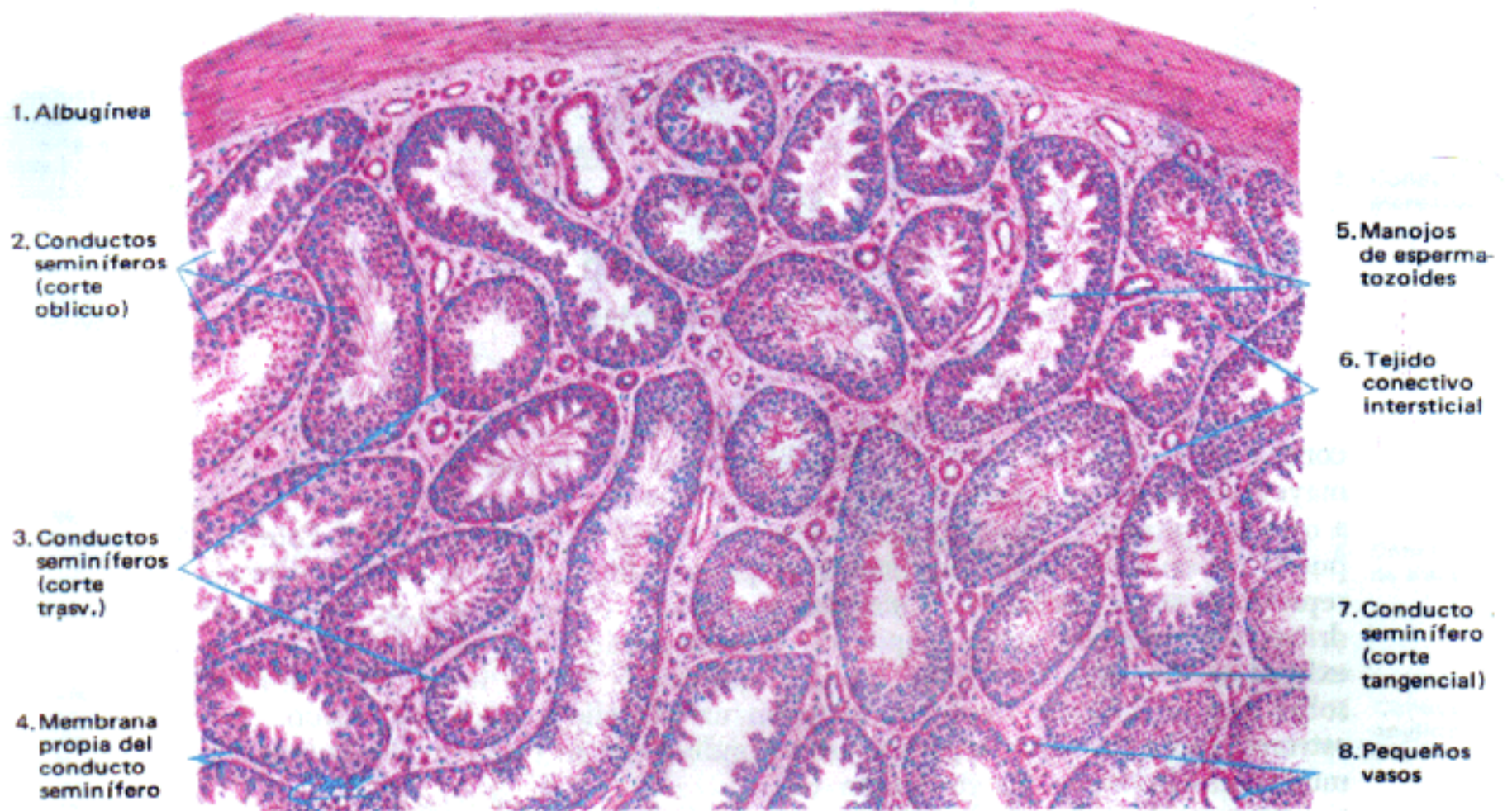


Fig. 1.— Testículo. *Porción periférica de un lobulillo.*
(Coloración: hematoxilina-eosina, 70X.)

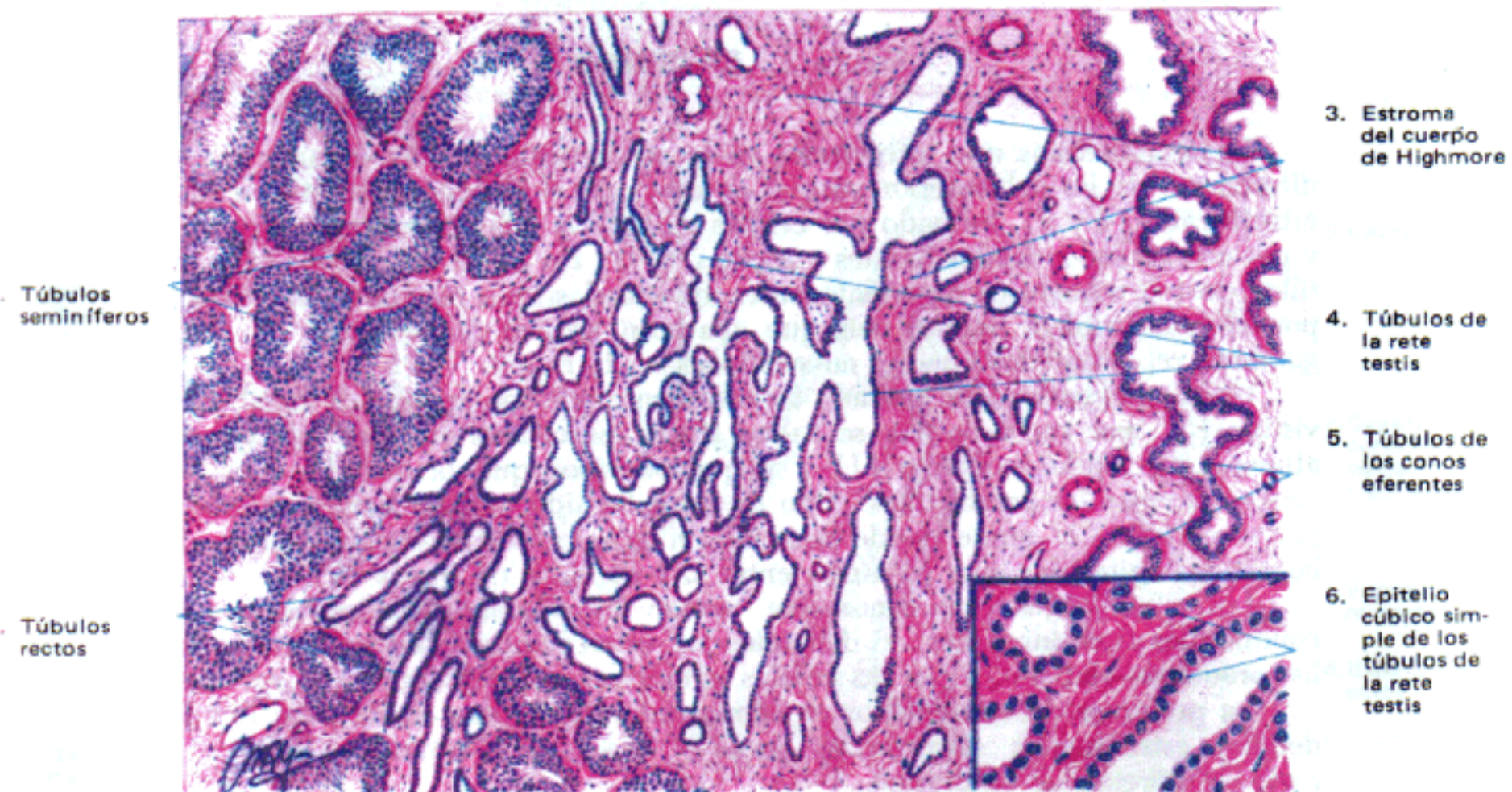


Fig. 2.— *Túbulos rectos y rete testis.*
(Coloración: hematoxilina-eosina. 60X y 400X.)

Conductillos eferentes.
(Corte transversal)



Fig. 1.- Conductillos eferentes.
(Coloración: hematoxilina-eosina, 60X y 240X.)

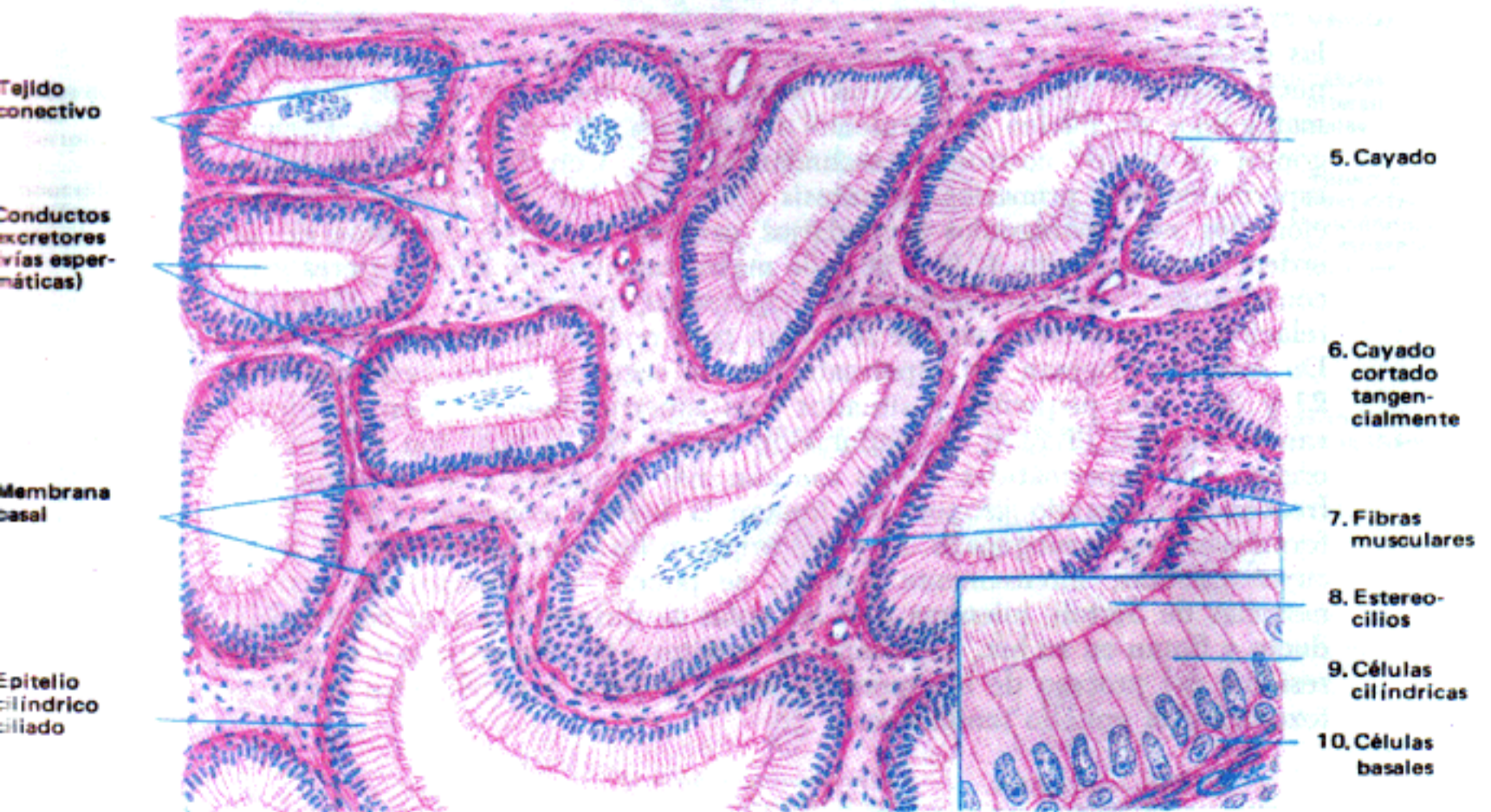


Fig. 2.- Epidídimo (porción de corte transversal).
(Coloración: hematoxilina-eosina, 90X y 400X.)

TESTICULO

Conductillos seminíferos (Corte trasversal)

Mitosis de
espermato-
gonios

Fibro-
plastos

Células
intersti-
ciales

Arteriola
y vénula

Luz de
conductillo
seminífero
(c. trasv.)

Membrana
propia del
conductillo

Espermato-
cito I en
división

Células
de Sertoli

Espermato-
zoides

Detritos
celulares

Espermato-
citos I

Arteriolas

Núcleos de
células
de Sertoli

Conductillos
seminíferos
(c. long.)

15. Conductillo
seminífero
(corte
tangencial)

16. Células
de Sertoli
(corte
tangencial)

17. Espermato-
gonios

18. Células
intersticiales
(células
de Leydig)

19. Células de Sertoli

20. Espermato-
zoides en
contacto
con una
célula
de Sertoli

21. Mitosis de
espermato-
gonio

22. Espermato-
cito I
(espermato-
cito pri-
mario)

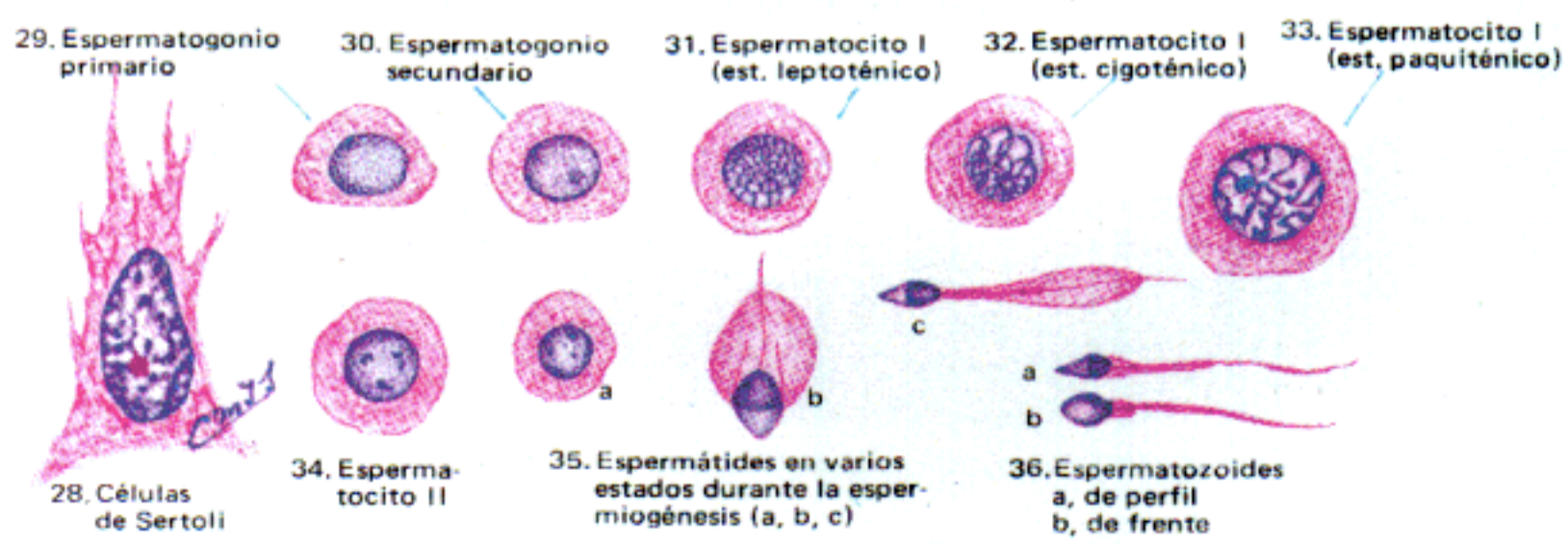
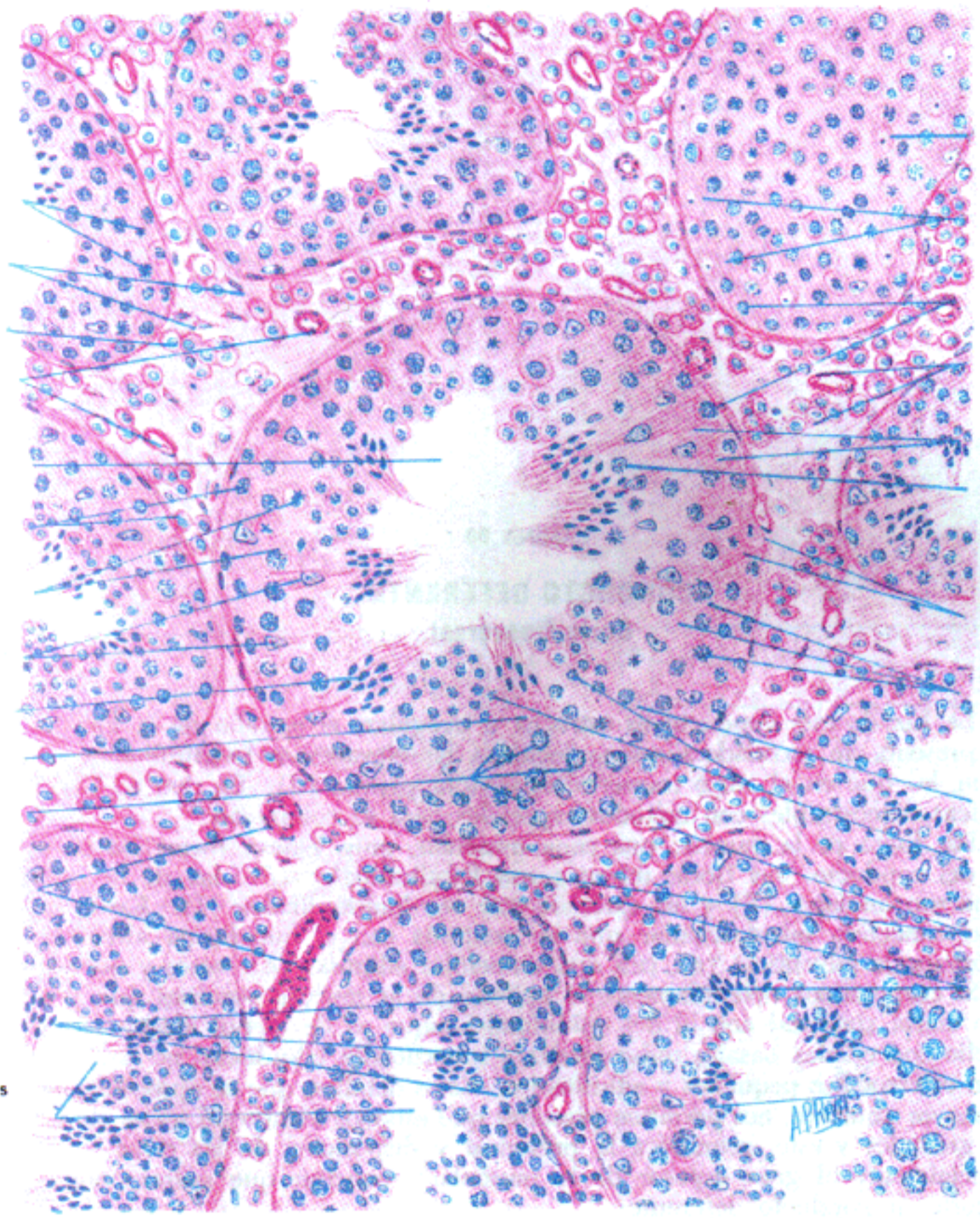
23. Espermato-
cito secun-
dario

24. Espermá-
tides

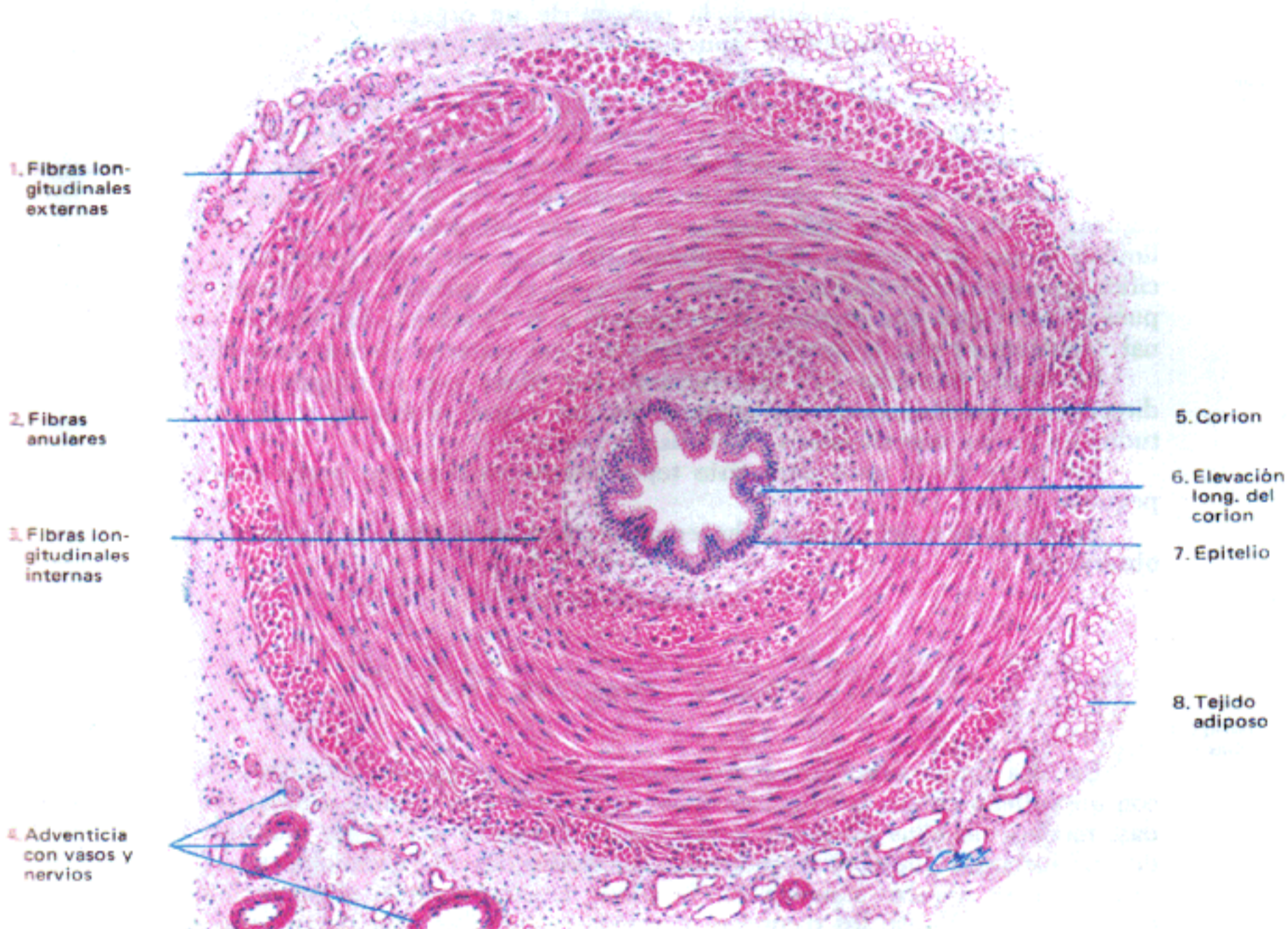
25. Vénulas

26. Células
intersti-
ciales

27. Espermá-
tides dife-
renciándose
en espermato-
zoides



Coloración: hematoxilina-eosina. 300 y 1000 X.



Coloración: hematoxilina-eosina. 40 X.

Porción de pared

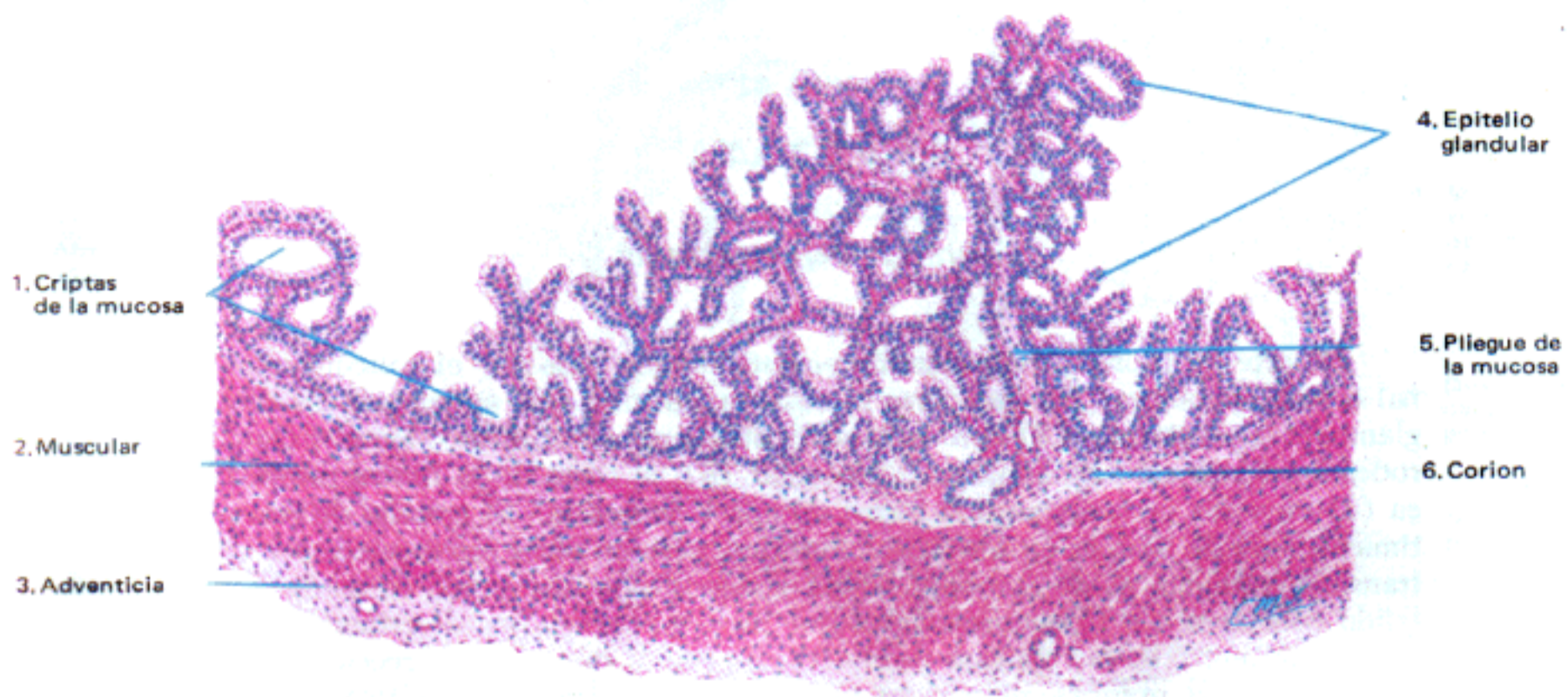


Fig. 1.— Coloración: hematoxilina—eosina. 60 X.

PROSTATA
Parte de una sección

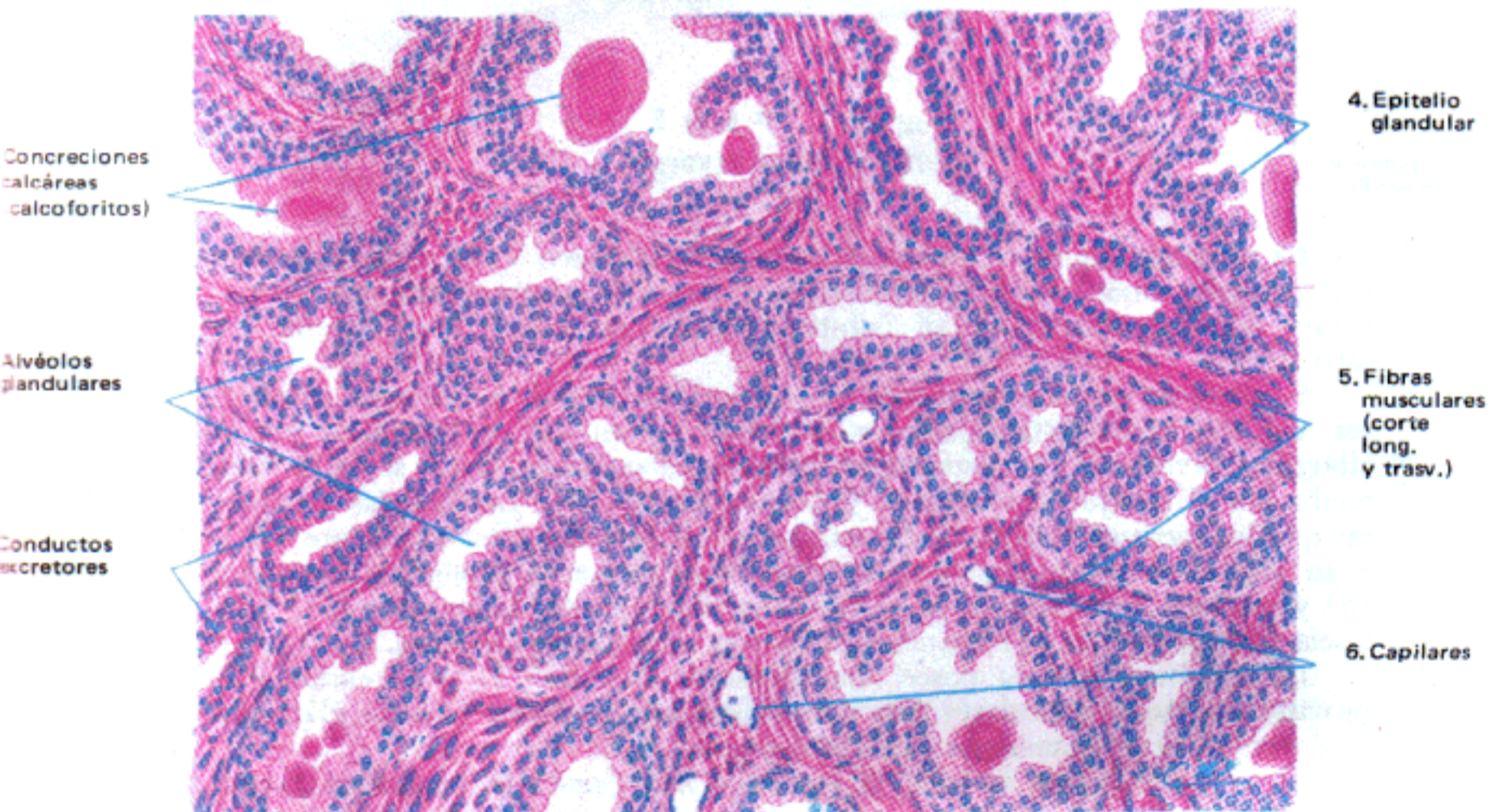
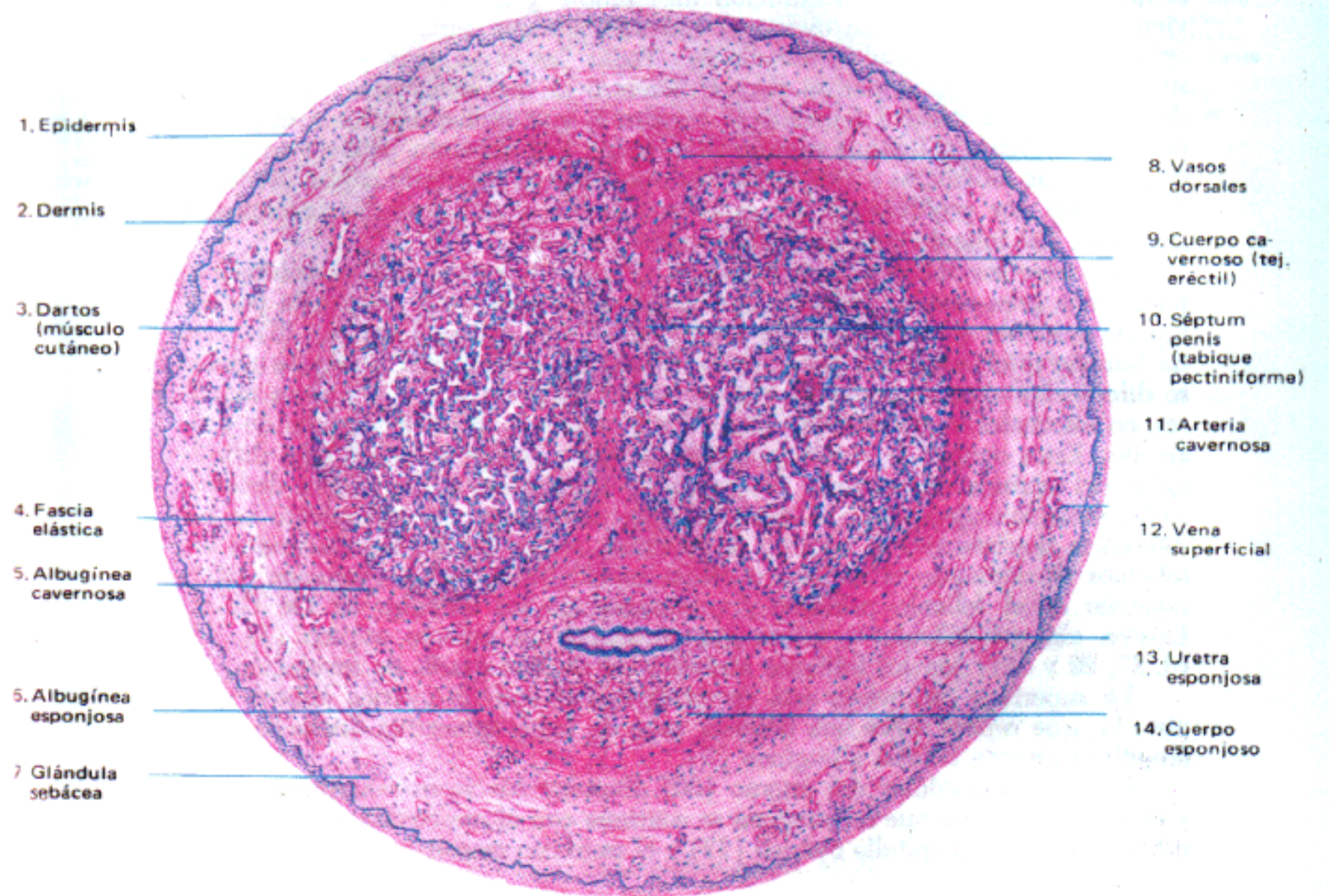


Fig. 2.— Coloración: hematoxilina-cosina. 180 X.



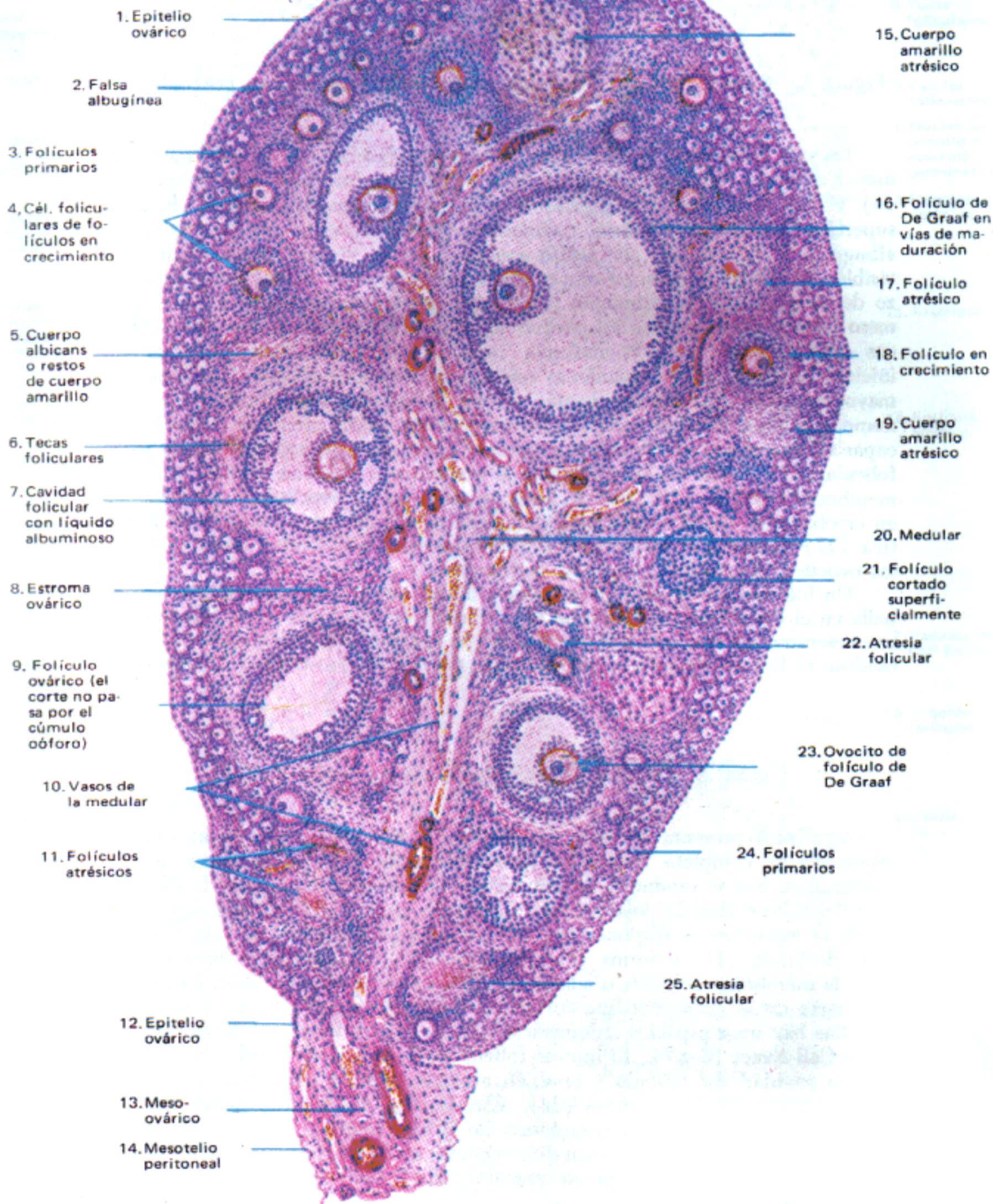
- 1. Uretra prostática
- 2. Alvéolos prostáticos
- 3. Estroma conjuntivo muscular
- 4. Dilatación terminal del utrículo prostático
- 5. Divertículos de la uretra prostática
- 6. Utrículo prostático
- 7. Conductos eyaculadores

Fig. 1.— *Próstata: verumontanum.*
(Coloración: hematoxilina-eosina, 80X.)



- 1. Epidermis
- 2. Dermis
- 3. Dartos (músculo cutáneo)
- 4. Fascia elástica
- 5. Albugínea cavernosa
- 6. Albugínea esponjosa
- 7. Glándula sebácea
- 8. Vasos dorsales
- 9. Cuerpo cavernoso (tej. eréctil)
- 10. Séptum penis (tabique pectiniforme)
- 11. Arteria cavernosa
- 12. Vena superficial
- 13. Uretra esponjosa
- 14. Cuerpo esponjoso

Fig. 2.— *Pene: corte verticotrassversal.*



Coloración: hematoxilina-eosina. 60 X.

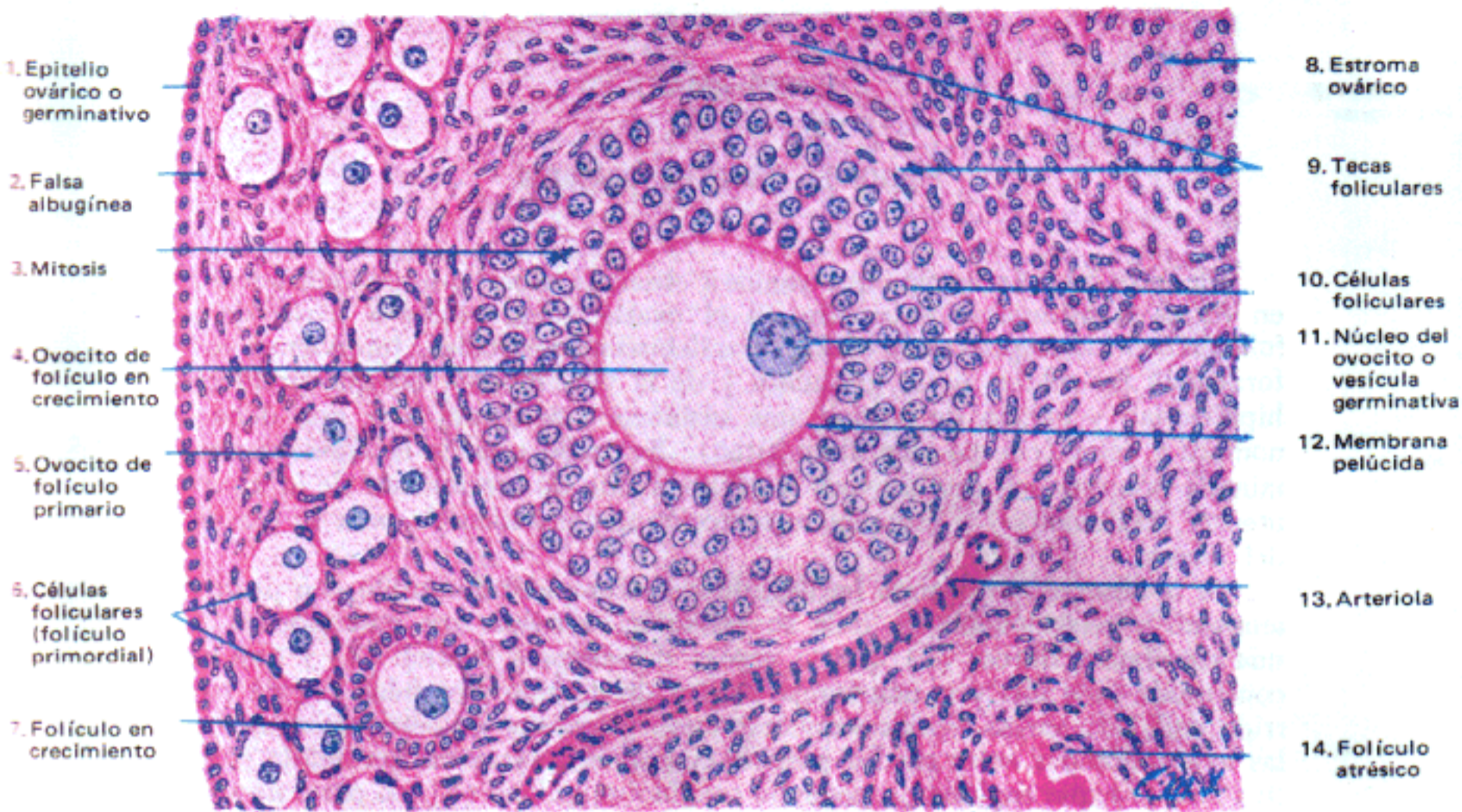


Fig. 1.— Zona cortical
(Coloración: hematoxilina-eosina. 320 X.)

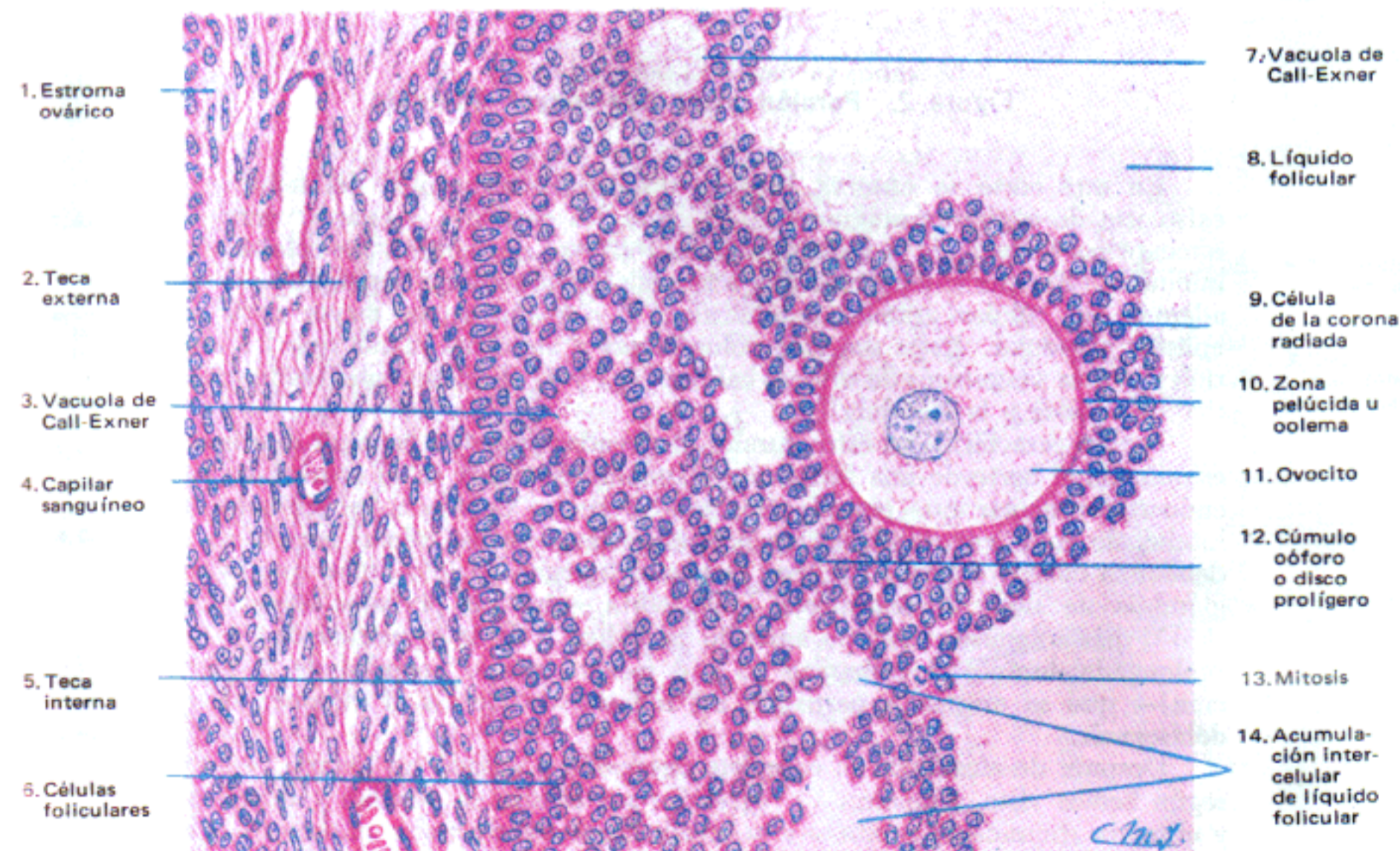


Fig. 2.— Porción de un folículo maduro
(Coloración: hematoxilina-eosina. 320 X.)

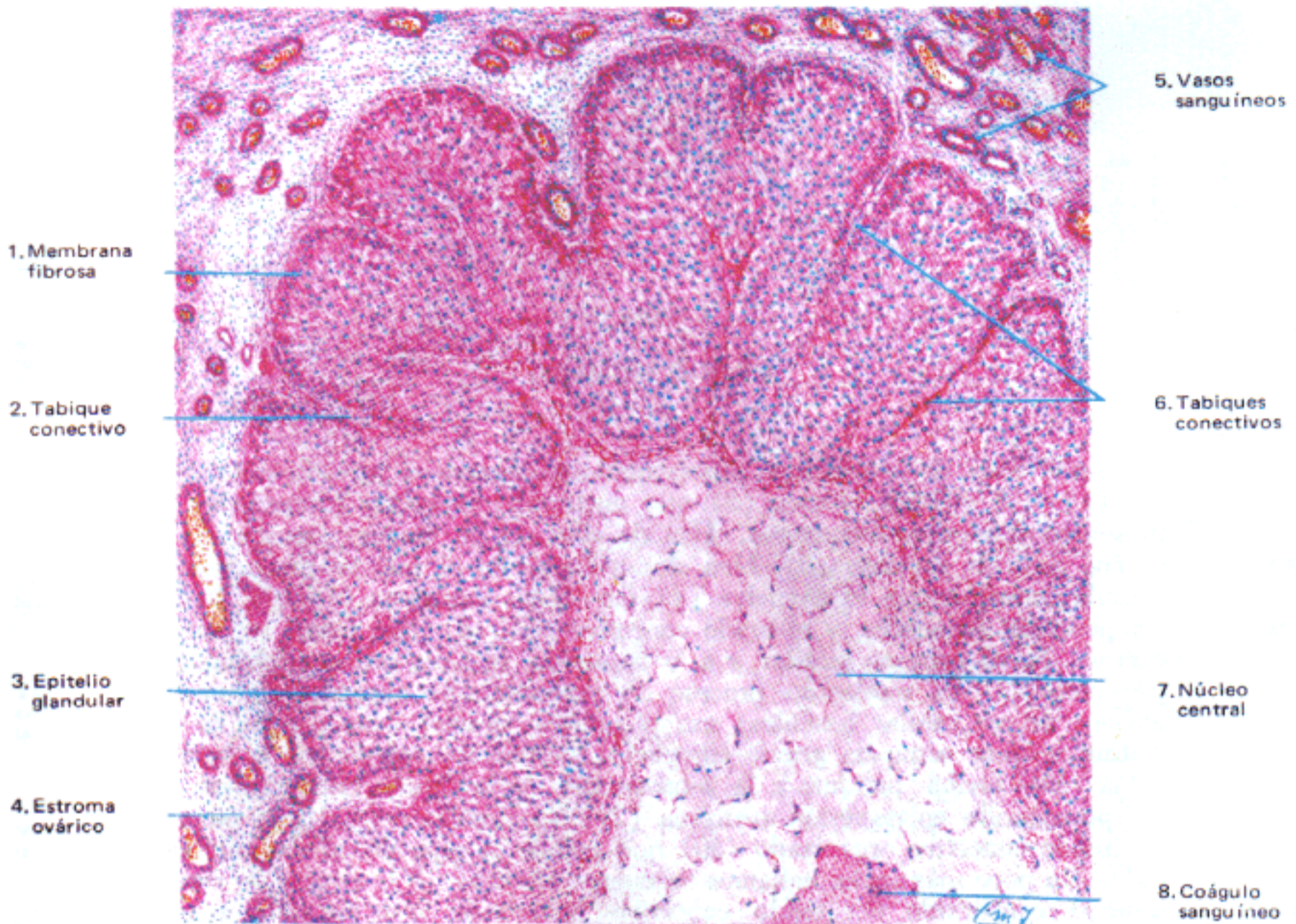


Fig. 1.— Coloración: hematoxilina-eosina. 80 X.

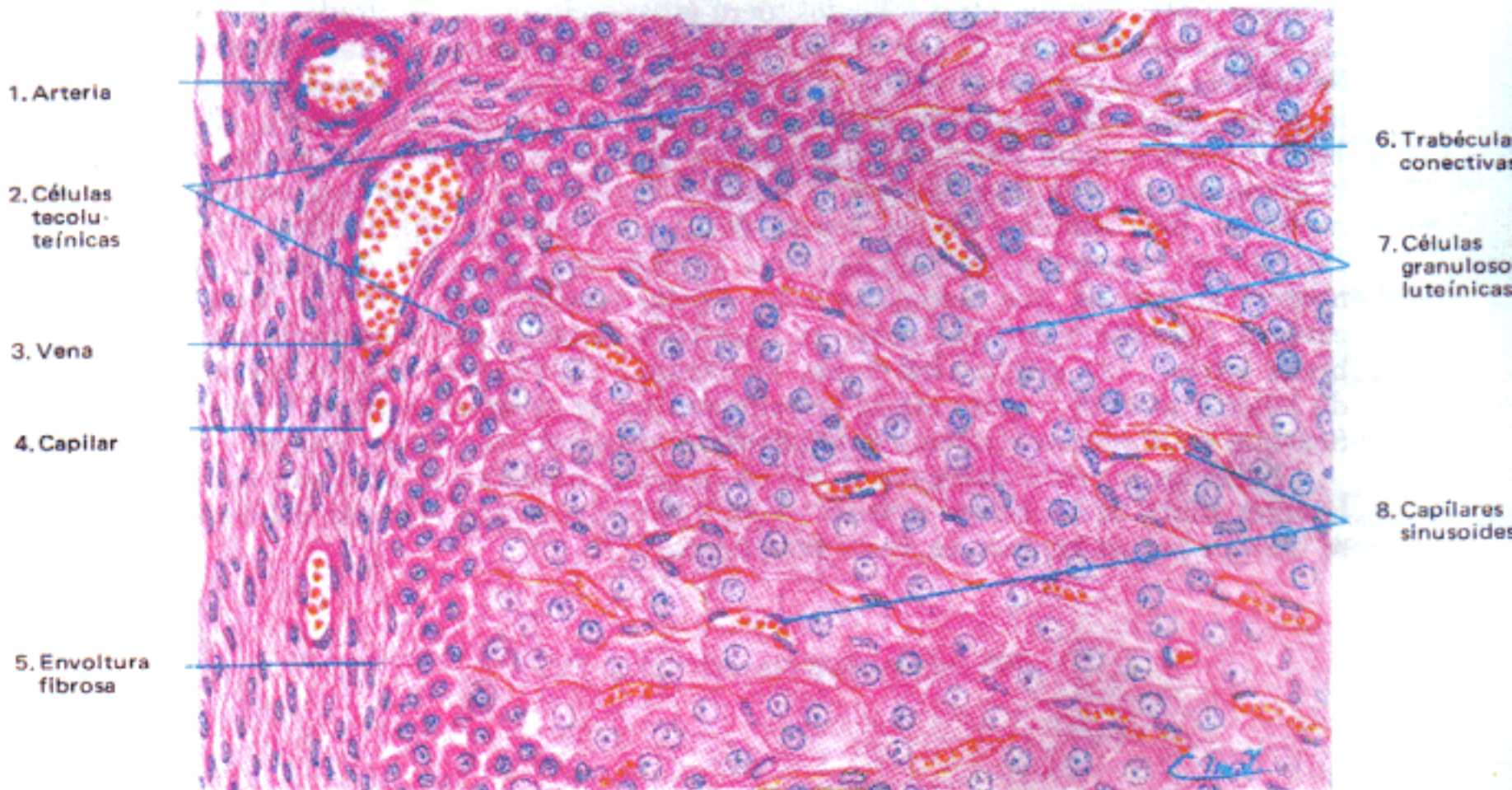
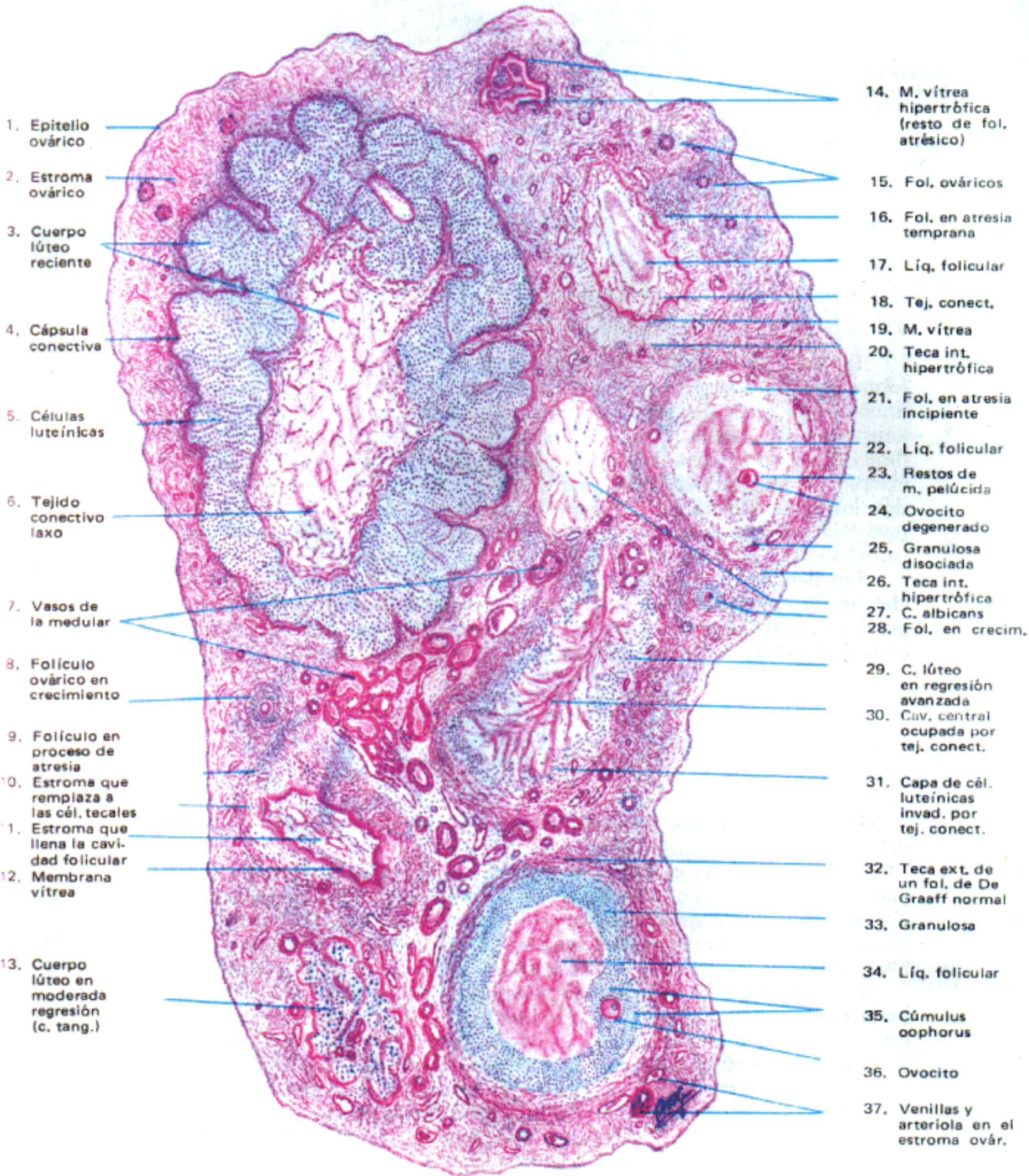


Fig. 2.— Detalles de un sector
 (Coloración: hematoxilina-eosina. 250 X.)

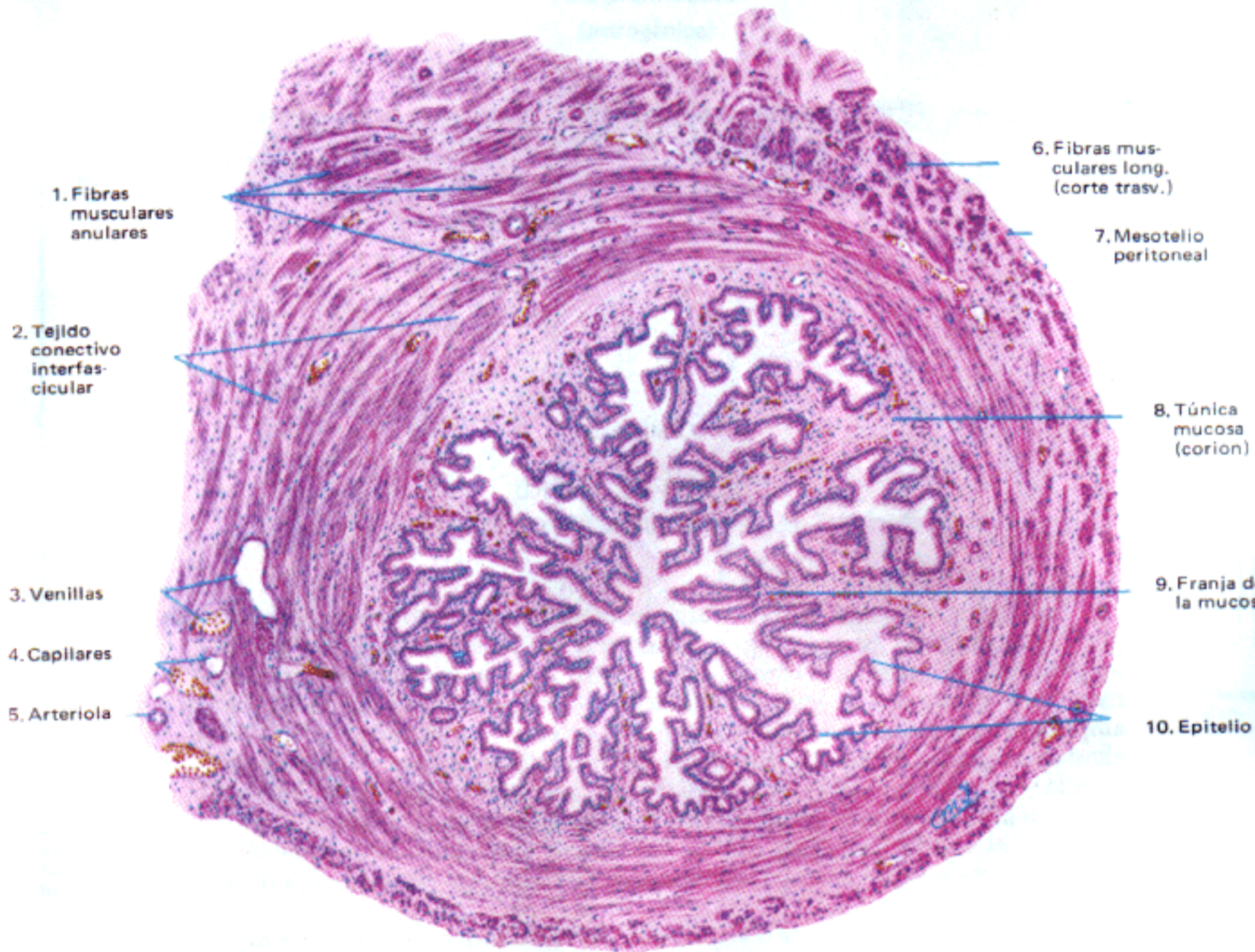
Vista de conjunto



- 1. Epitelio ovárico
- 2. Estroma ovárico
- 3. Cuerpo lúteo reciente
- 4. Cápsula conectiva
- 5. Células luteínicas
- 6. Tejido conectivo laxo
- 7. Vasos de la medular
- 8. Folículo ovárico en crecimiento
- 9. Folículo en proceso de atresia
- 10. Estroma que reemplaza a las cél. tecaes
- 11. Estroma que llena la cavidad folicular
- 12. Membrana vítrea
- 13. Cuerpo lúteo en moderada regresión (c. tang.)

- 14. M. vítrea hipertrófica (resto de fol. atrésico)
- 15. Fol. ováricos
- 16. Fol. en atresia temprana
- 17. Líq. folicular
- 18. Tej. conect.
- 19. M. vítrea
- 20. Teca int. hipertrófica
- 21. Fol. en atresia incipiente
- 22. Líq. folicular
- 23. Restos de m. pelúcida
- 24. Ovocito degenerado
- 25. Granulosa disociada
- 26. Teca int. hipertrófica
- 27. C. albicans
- 28. Fol. en crecim.
- 29. C. lúteo en regresión avanzada
- 30. Cav. central ocupada por tej. conect.
- 31. Capa de cél. luteínicas invad. por tej. conect.
- 32. Teca ext. de un fol. de De Graeff normal
- 33. Granulosa
- 34. Líq. folicular
- 35. Cúmulus oophorus
- 36. Ovocito
- 37. Venillas y arteriola en el estroma ovár.

Coloración: hematoxilina-eosina. 80X.



1. Fibras musculares anulares

2. Tejido conectivo interfascicular

3. Venillas

4. Capilares

5. Arteriola

6. Fibras musculares long. (corte trasv.)

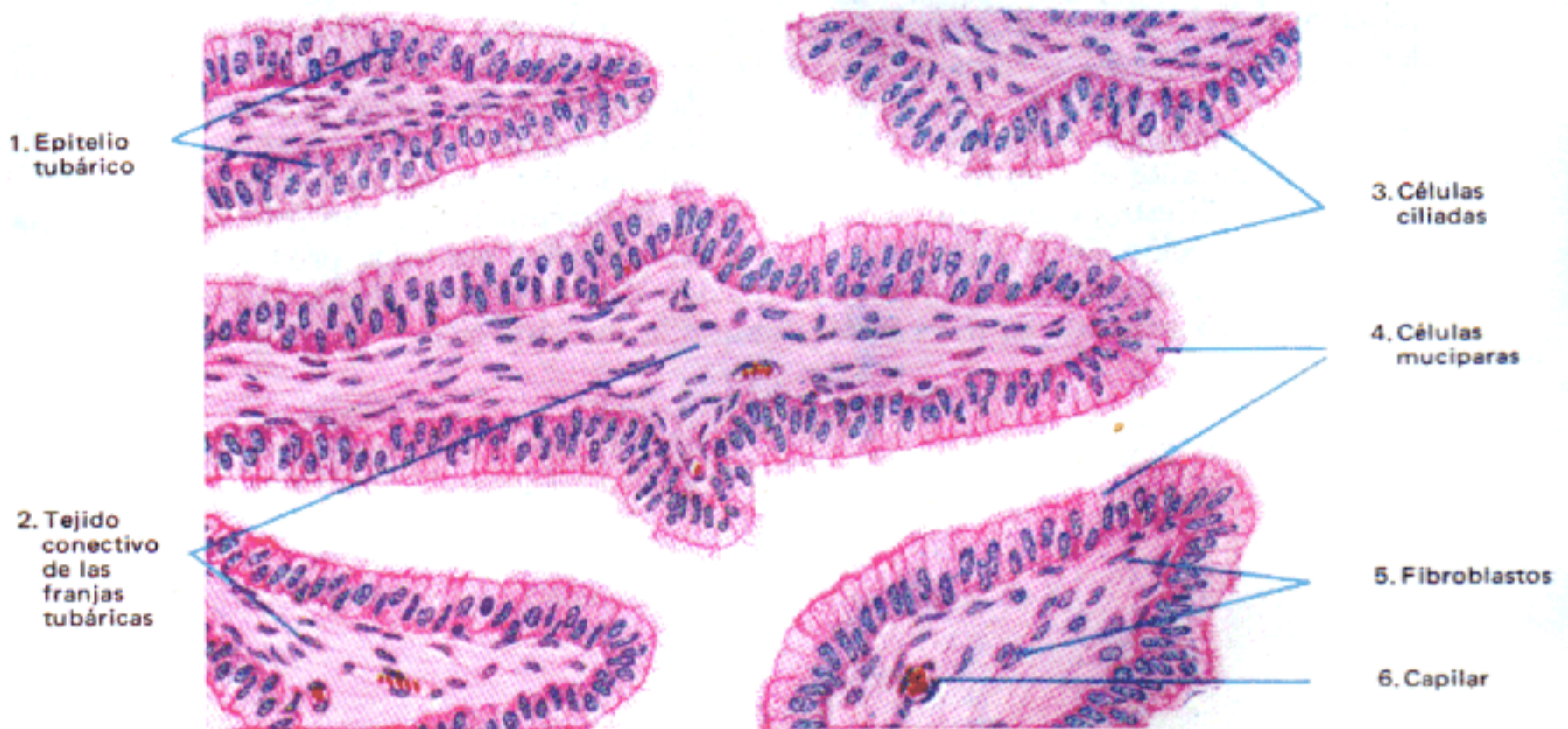
7. Mesotelio peritoneal

8. Túnica mucosa (corion)

9. Franja de la mucosa

10. Epitelio

Fig. 1. - Vista de conjunto
(Coloración: hematoxilina-eosina. 40 X.)



1. Epitelio tubárico

2. Tejido conectivo de las franjas tubáricas

3. Células ciliadas

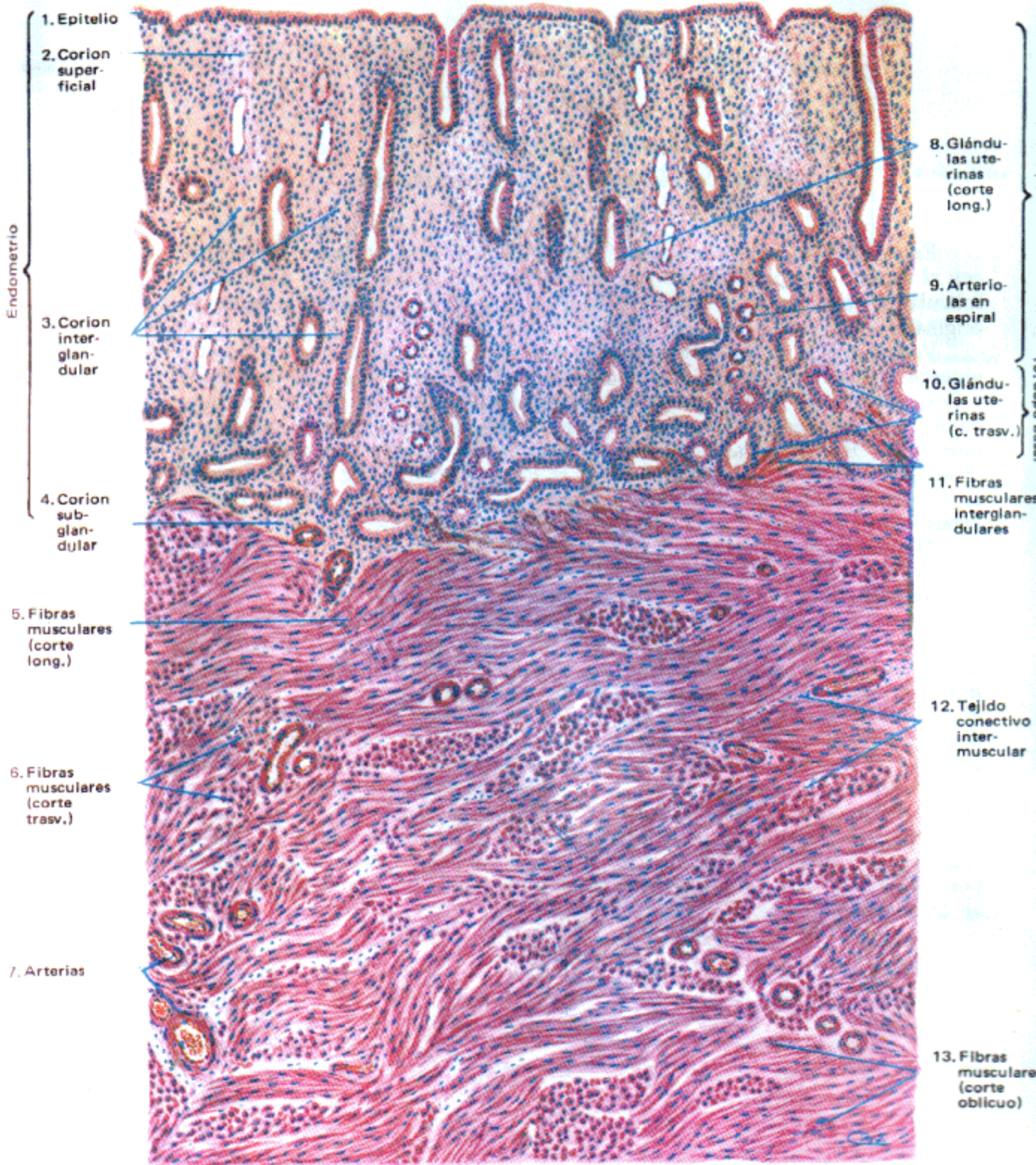
4. Células muciparas

5. Fibroblastos

6. Capilar

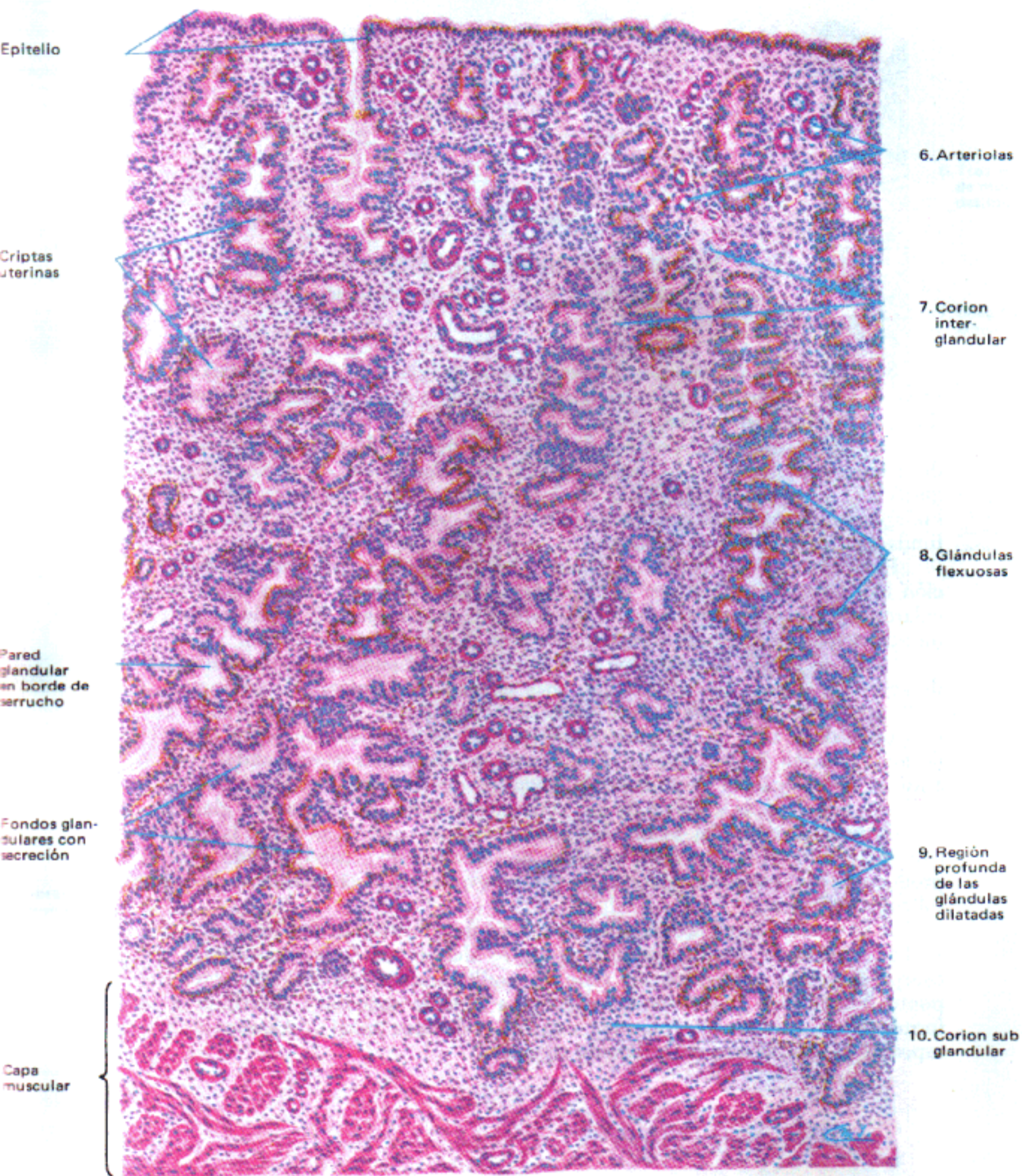
Fig. 2. - Franjas de la mucosa
(Coloración: hematoxilina-eosina. 320 X.)

Fase proliferativa
(estrogénica)



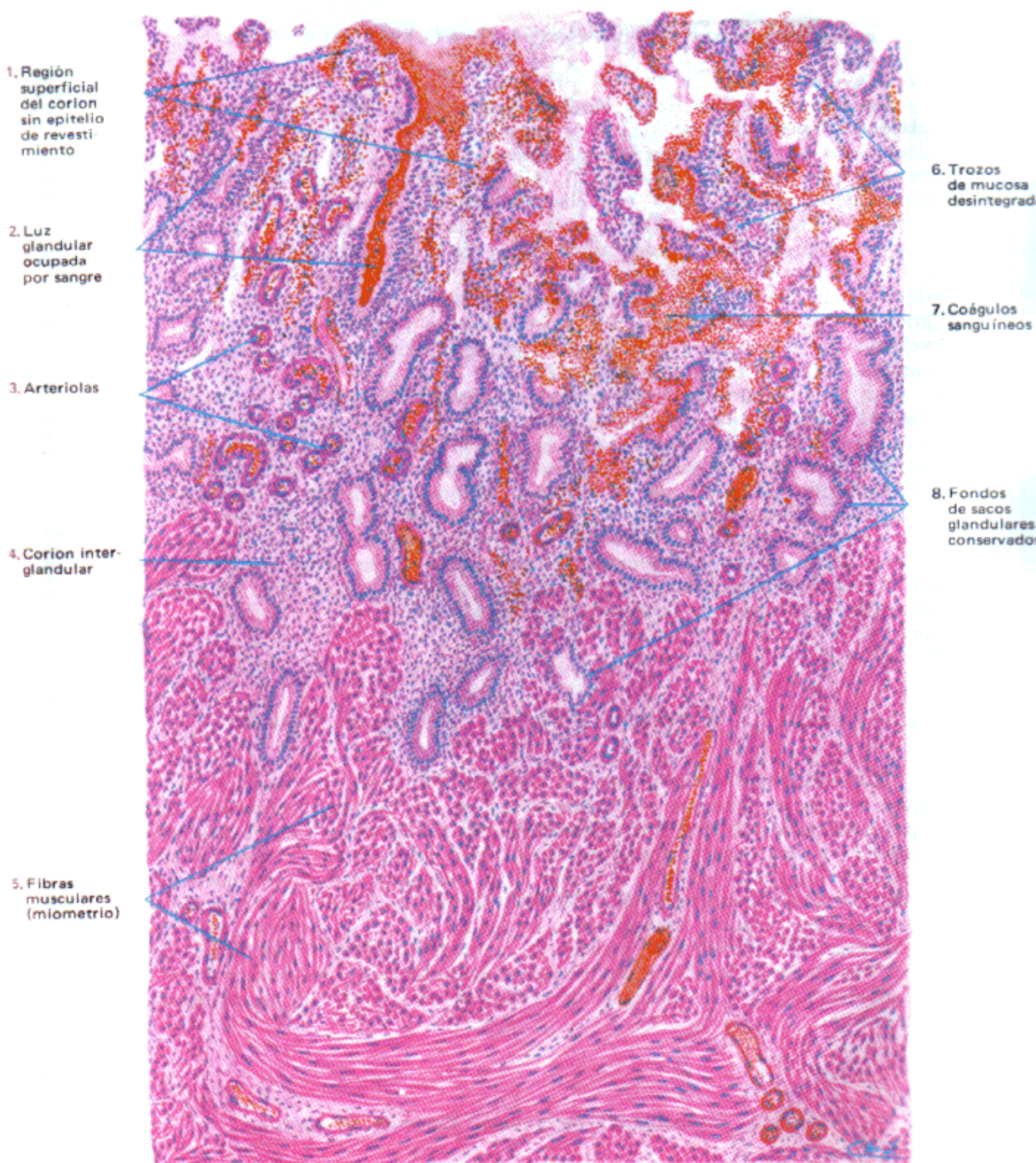
Coloración: hematoxilina-eosina. 45 X.

Fase secretora
(progestacional)



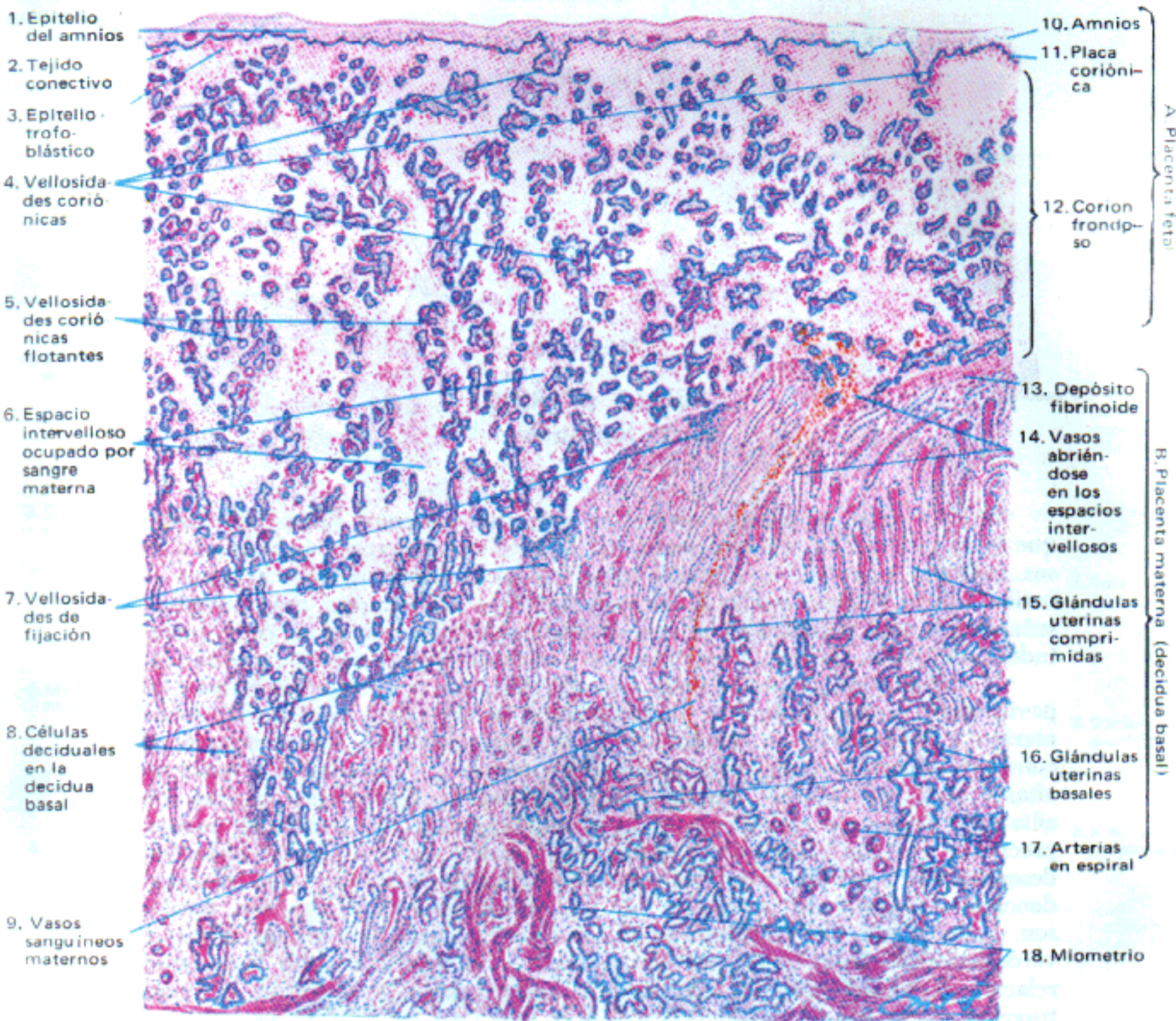
Coloración: hematoxilina-eosina. 45 X.

Período menstrual



Coloración: hematoxilina-eosina. 45 X.

Embarazo de cinco meses (Vista panorámica)

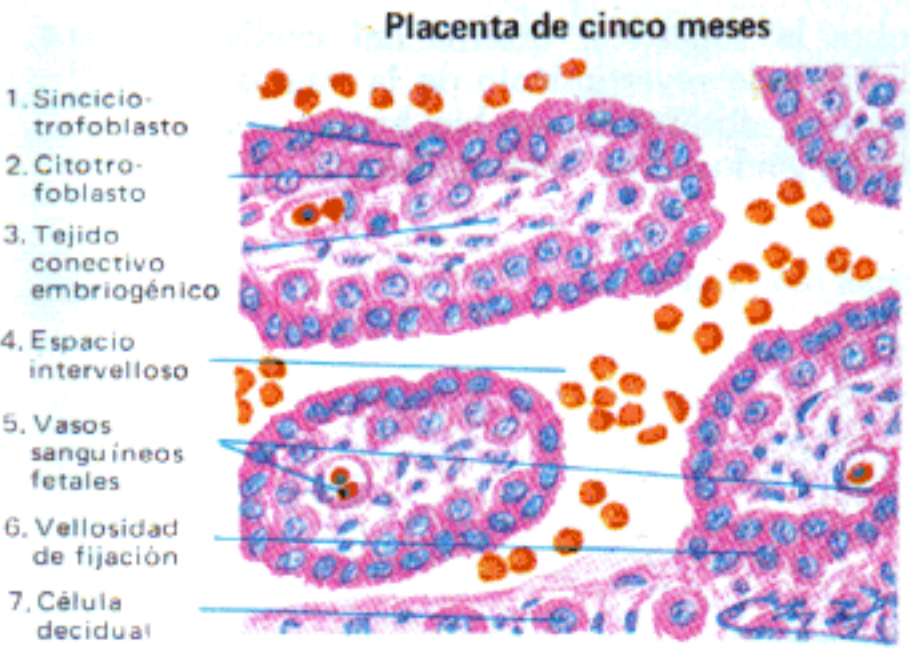


- 1. Epitelio del amnios
- 2. Tejido conectivo
- 3. Epitelio trofoblástico
- 4. Vellosidades coriónicas
- 5. Vellosidades coriónicas flotantes
- 6. Espacio intervilloso ocupado por sangre materna
- 7. Vellosidades de fijación
- 8. Células deciduales en la decidua basal
- 9. Vasos sanguíneos maternos

- 10. Amnios
- 11. Placa coriónica
- 12. Corion frondoso
- 13. Depósito fibrinoide
- 14. Vasos abriéndose en los espacios intervillosos
- 15. Glándulas uterinas comprimidas
- 16. Glándulas uterinas basales
- 17. Arterias en espiral
- 18. Miometrio

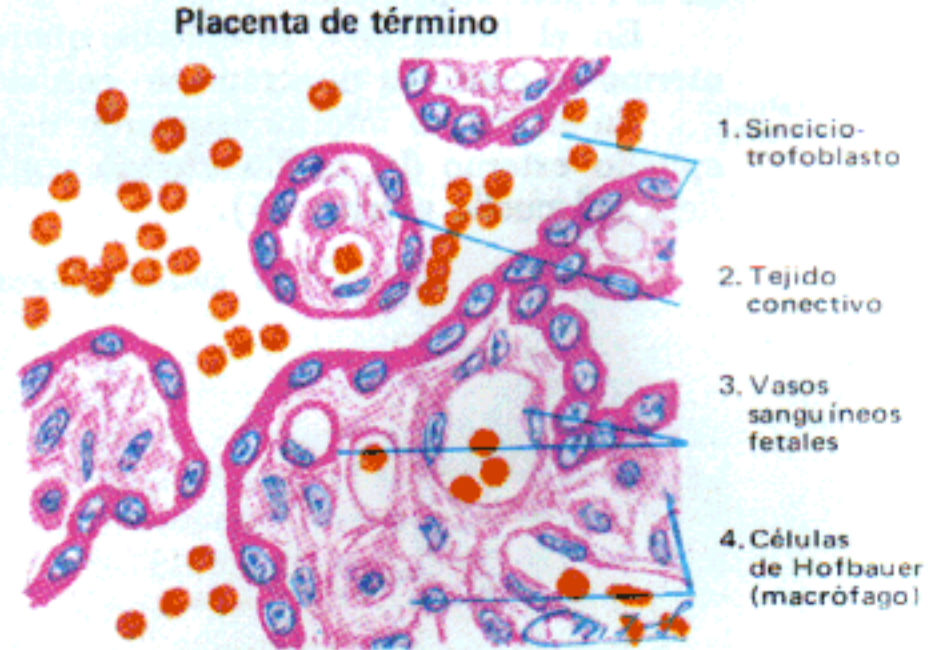
Fig. 1.— Coloración: hematoxilina-eosina. 10 X.

VELLOSIDADES CORIONICAS



- 1. Sincitiotrofoblasto
- 2. Citotrofoblasto
- 3. Tejido conectivo embriogénico
- 4. Espacio intervilloso
- 5. Vasos sanguíneos fetales
- 6. Vellosidad de fijación
- 7. Célula decidual

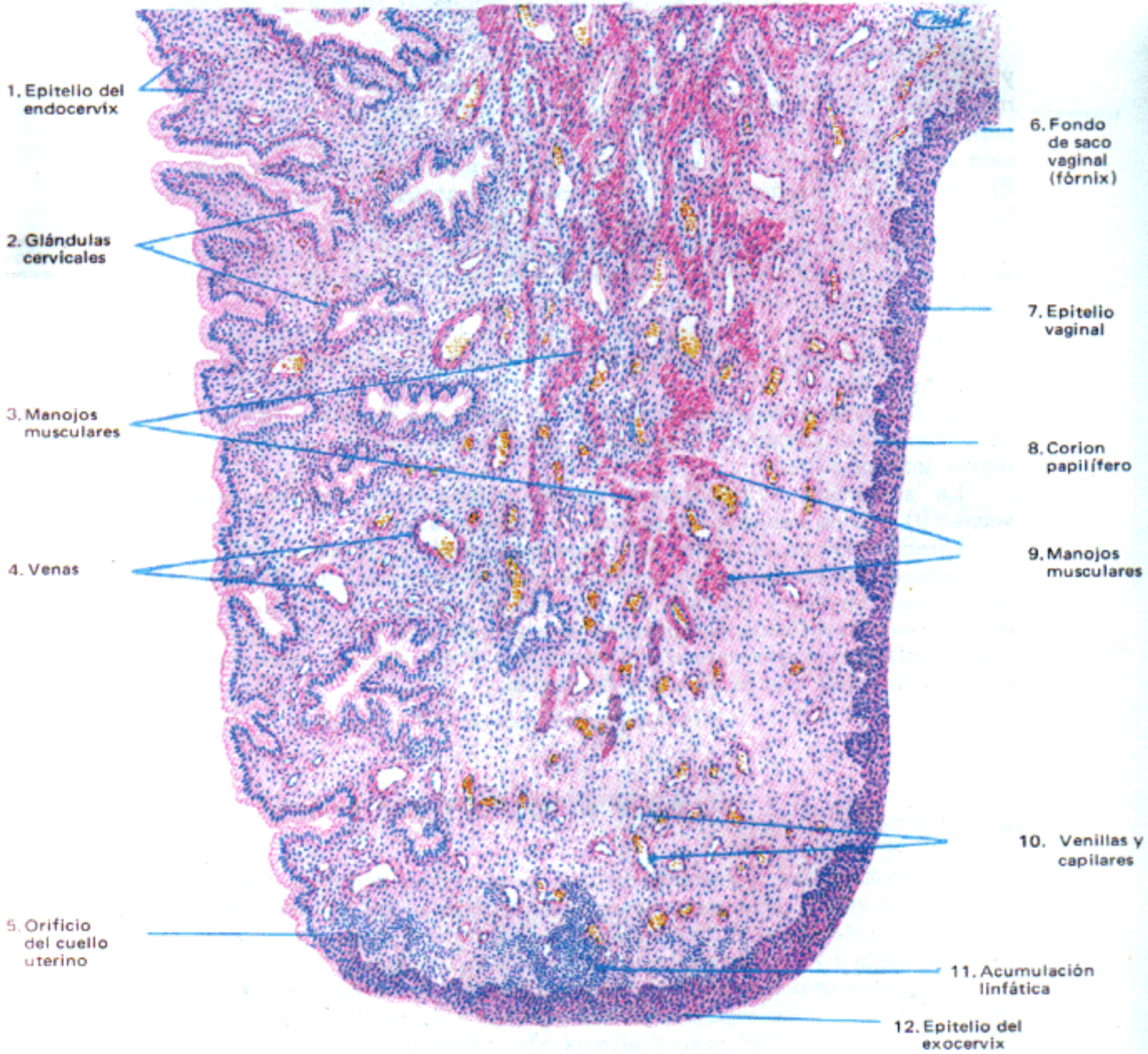
Fig. 2.



- 1. Sincitiotrofoblasto
- 2. Tejido conectivo
- 3. Vasos sanguíneos fetales
- 4. Células de Hofbauer (macrófago)

Fig. 3.

(Coloración: hematoxilina-eosina. 350 X.)



Coloración: hematoxilina-eosina. 20 X.

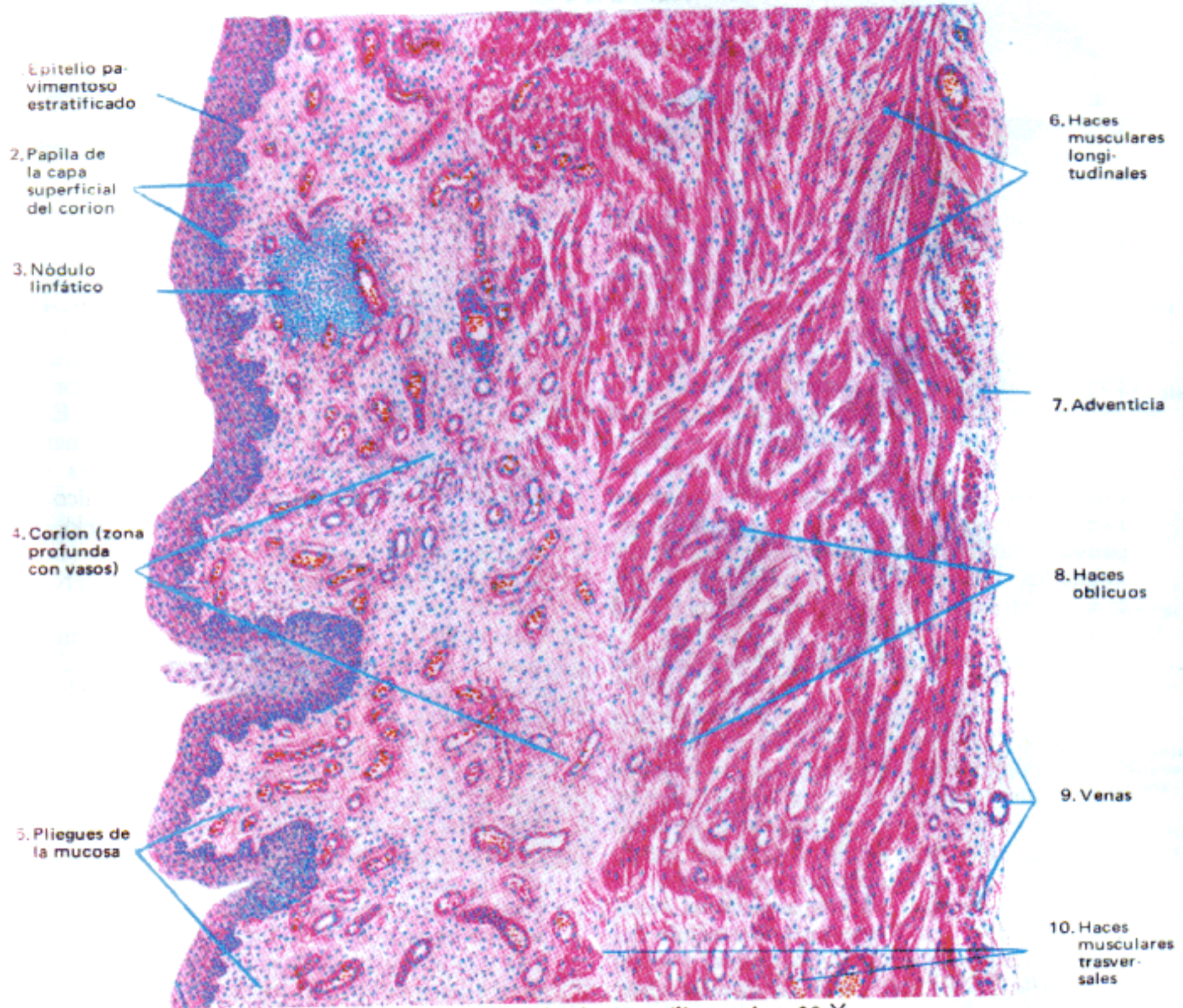


Fig. 1.— Coloración: hematoxilina-eosina. 30 X.

Glucógeno en epitelio vaginal humano

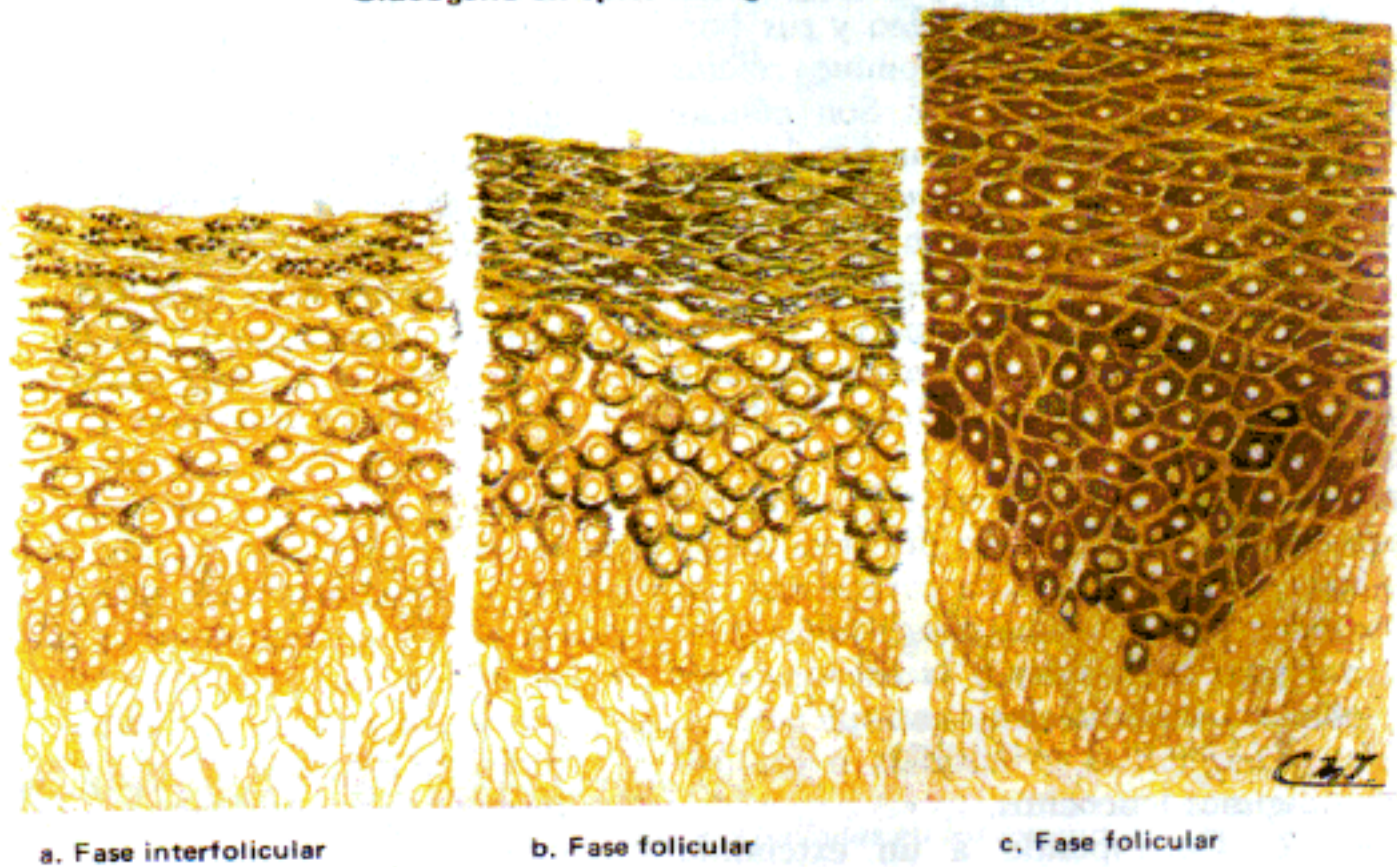


Fig. 2.— Coloración: vaselina yodada; técnica de Mancini.

Citología exfoliativa (extendido vaginal)

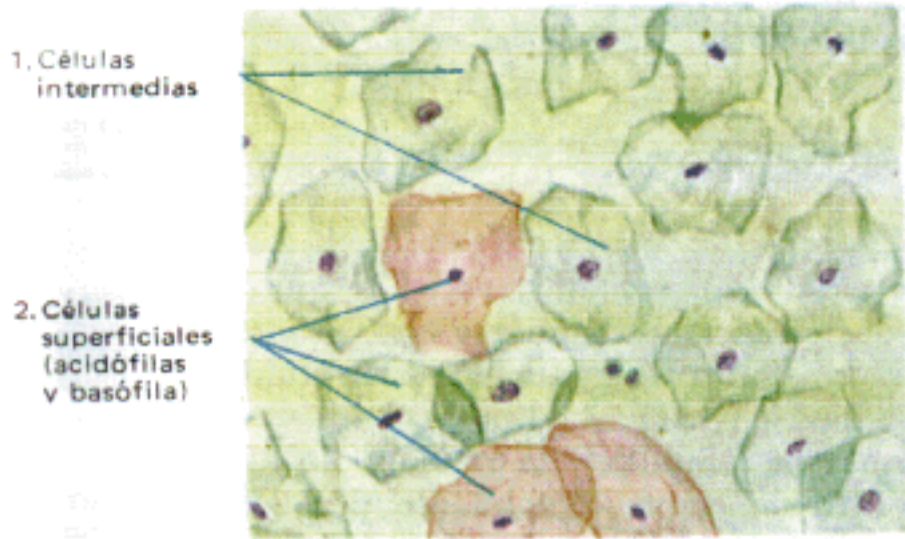


Fig. 1.- Fase posmenstrual (5° día del ciclo)

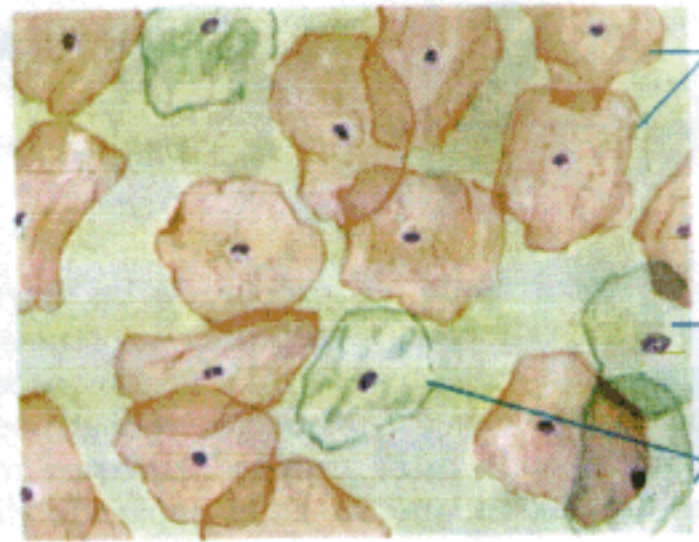


Fig. 2.- Fase ovulatoria (14° día del ciclo)

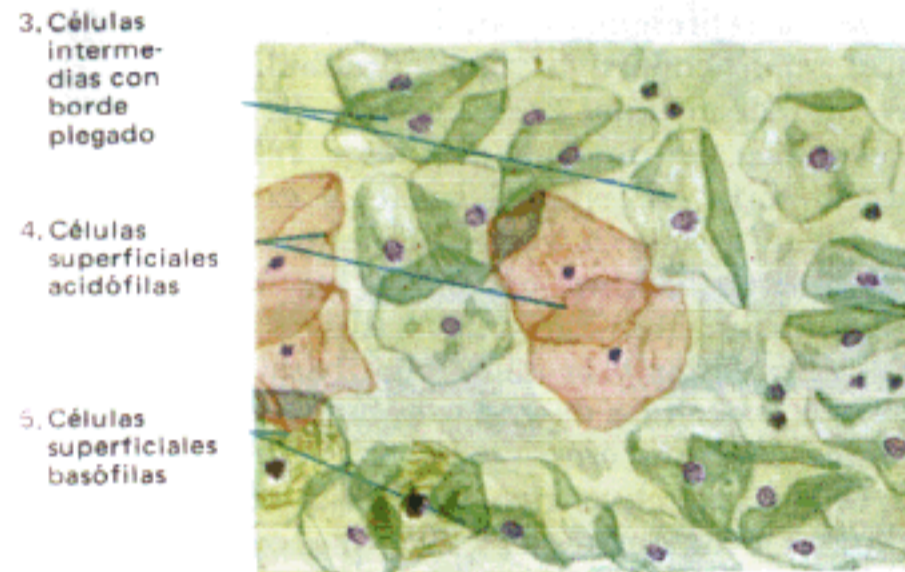


Fig. 3.- Fase luteínica (21° día del ciclo)

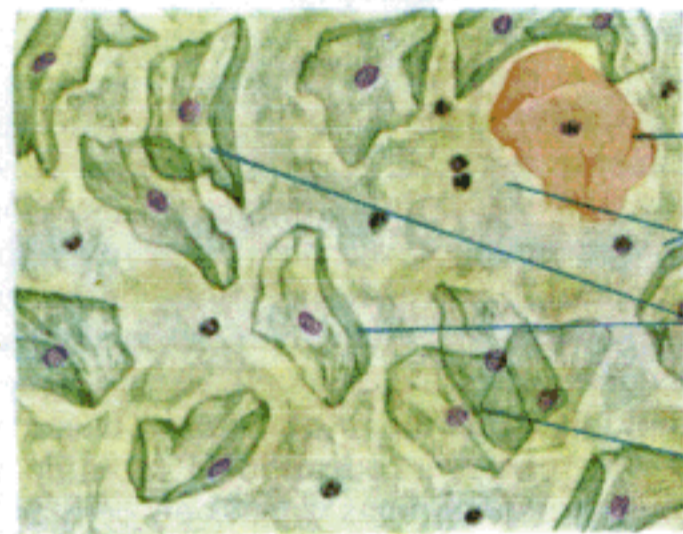


Fig. 4.- Fase premenstrual (28° día del ciclo)

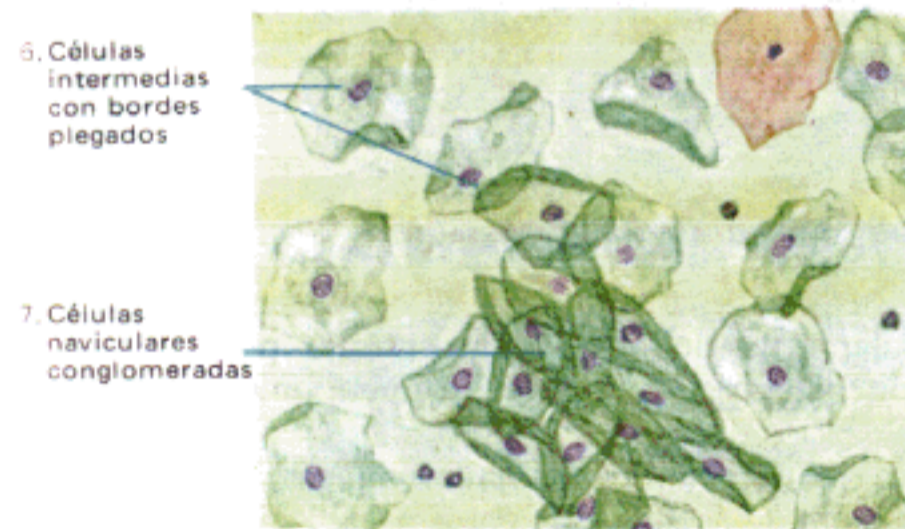


Fig. 5.- Embarazo de tres meses

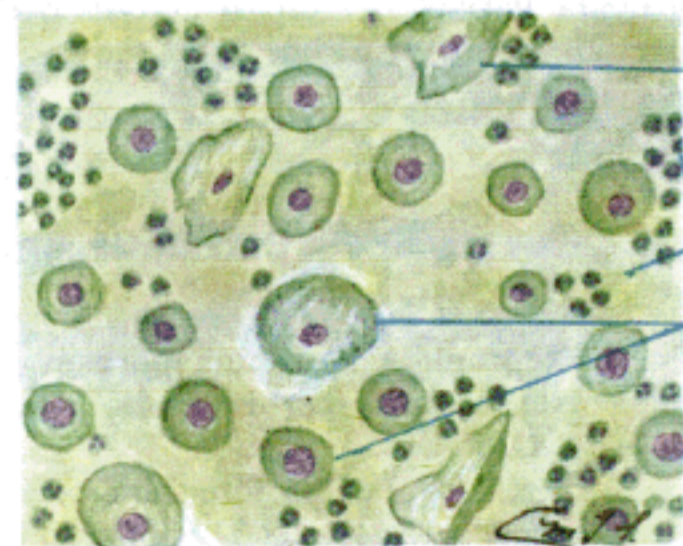
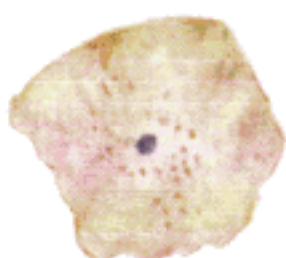
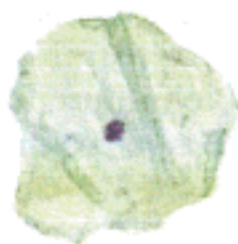


Fig. 6.- Menopausia (tipo atrófico)



a. Célula superficial acidófila



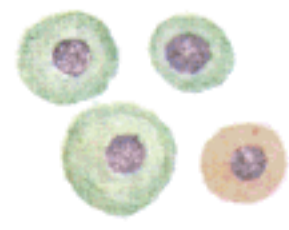
b. Célula superficial basófila



c. Célula intermedia



d. Células naviculares



e. Células basales basófilas y acidófilas

Fig. 7.- Tipos de células vaginales halladas en los extendidos vaginales normales

(Coloración: método tricrómico de Shorr, 250 y 450 X.)

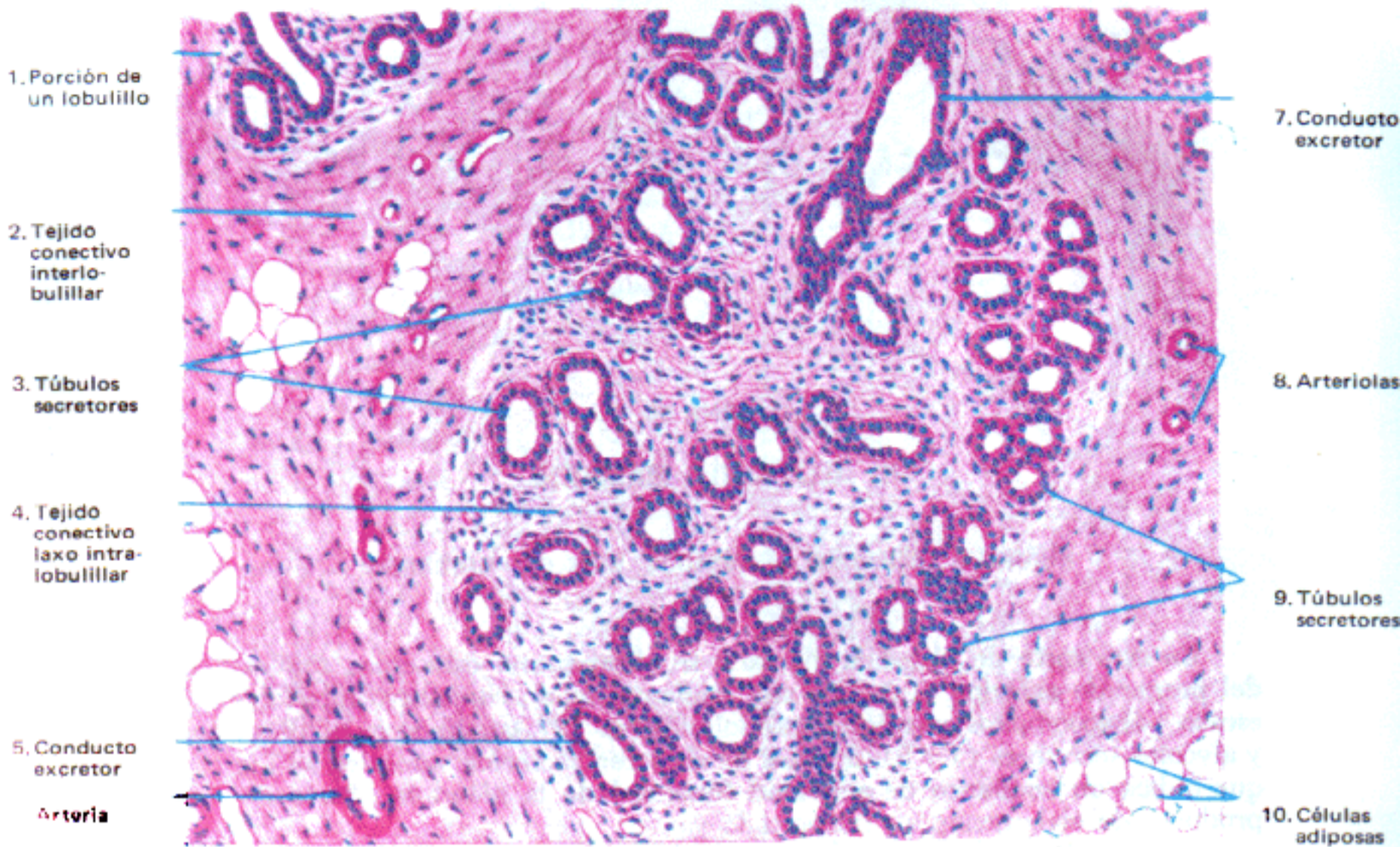


Fig. 1.— Glándula mamaria en reposo
(Coloración: hematoxilina-eosina. 90 X.)

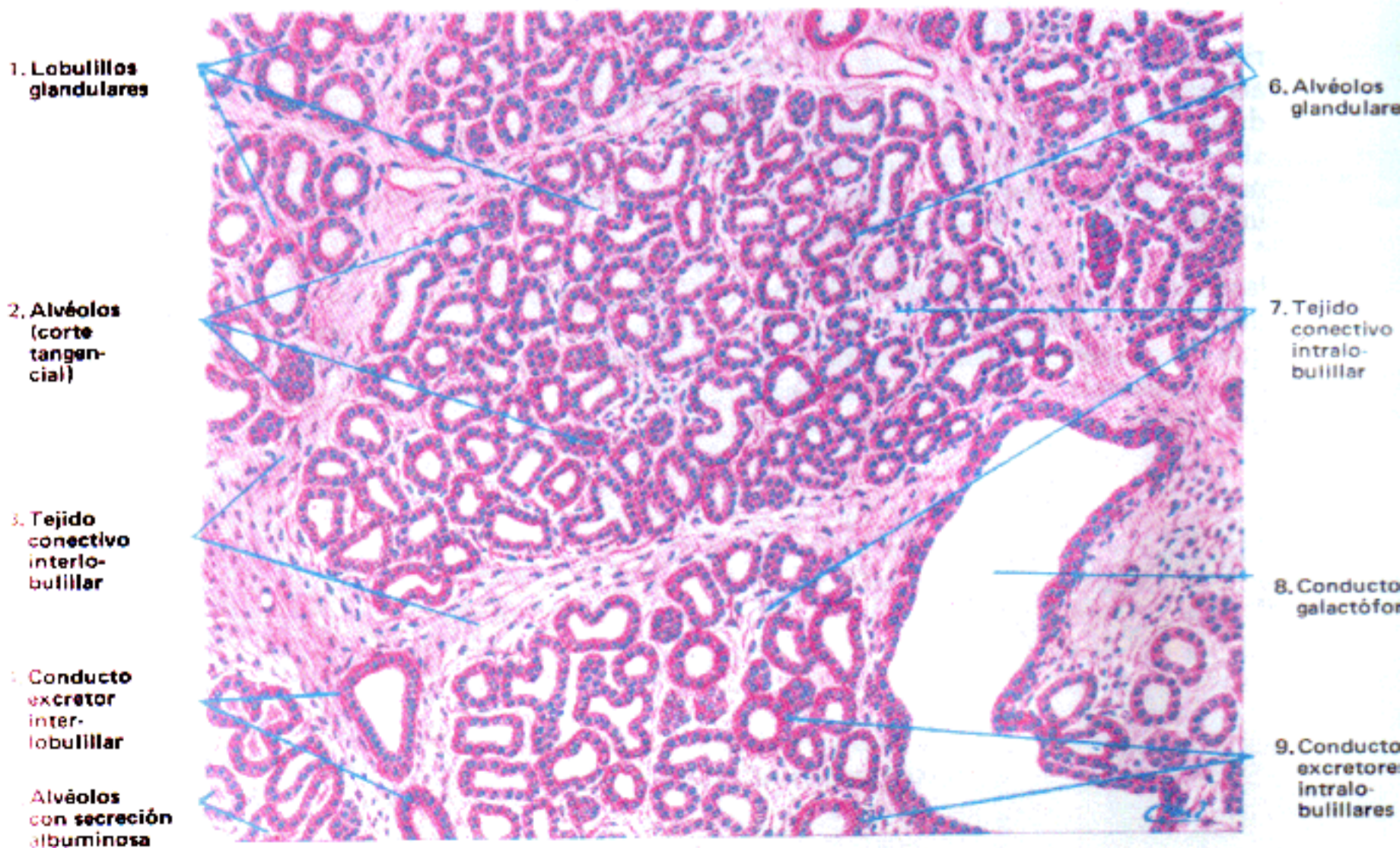


Fig. 2.— Glándula mamaria durante la primera mitad de la gestación
(Coloración: hematoxilina-eosina. 90 X.)

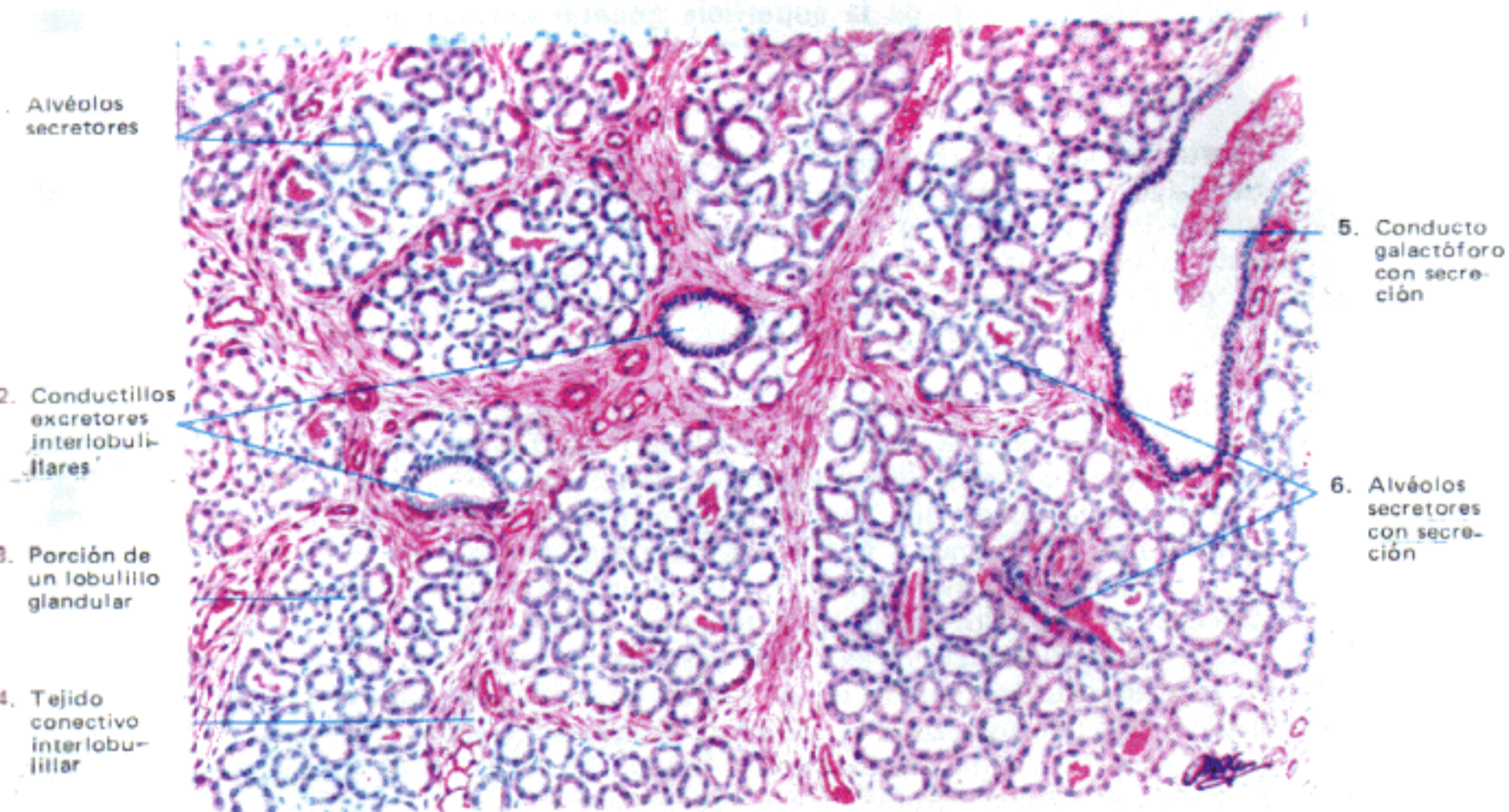


Fig. 1.— *Glándula mamaria durante el séptimo mes del embarazo.*
(Coloración: hematoxilina-eosina. 90X.)

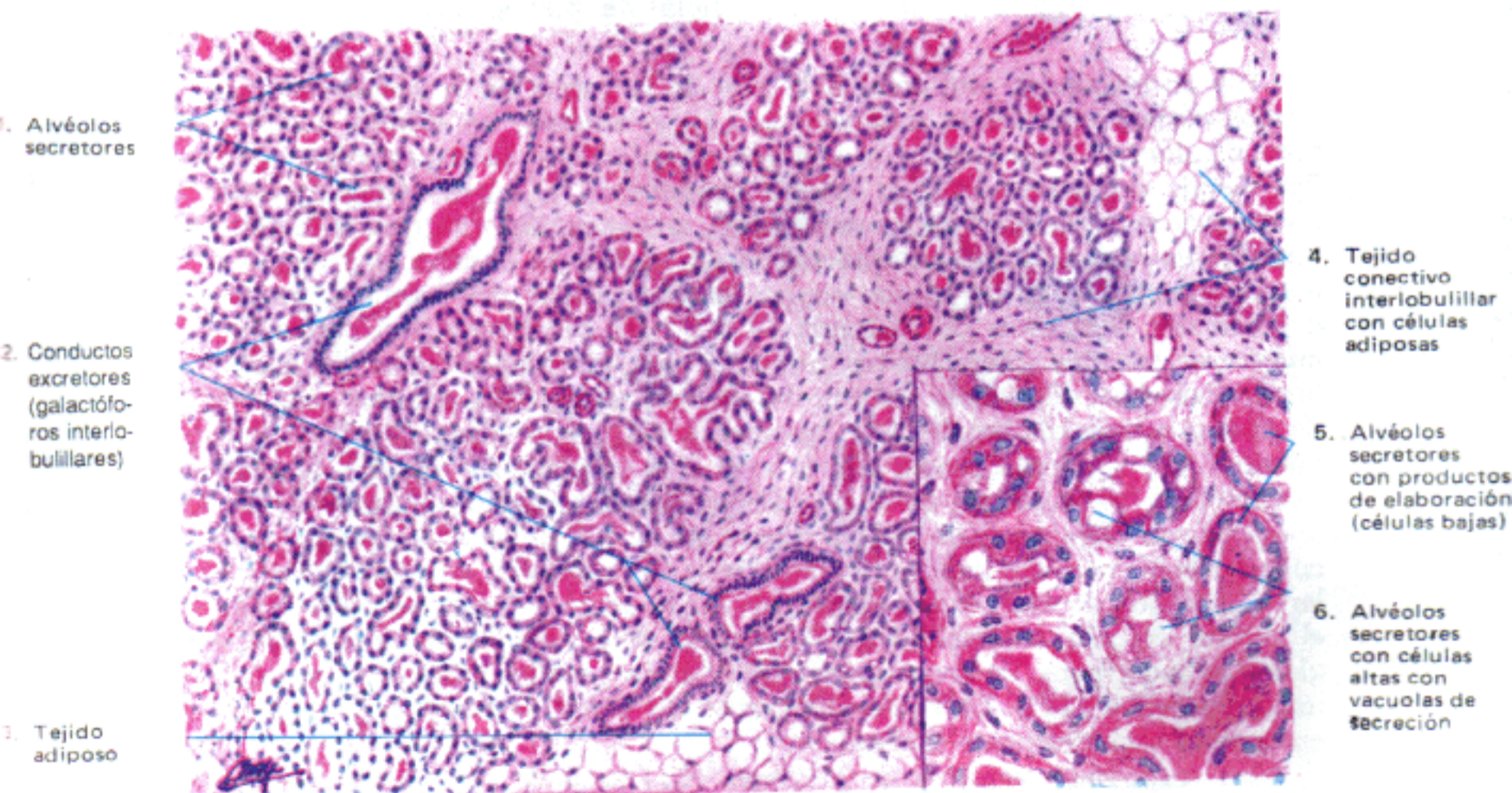


Fig. 2.— *Glándula mamaria durante la lactancia.*
(Coloración: hematoxilina-eosina. 90X.)

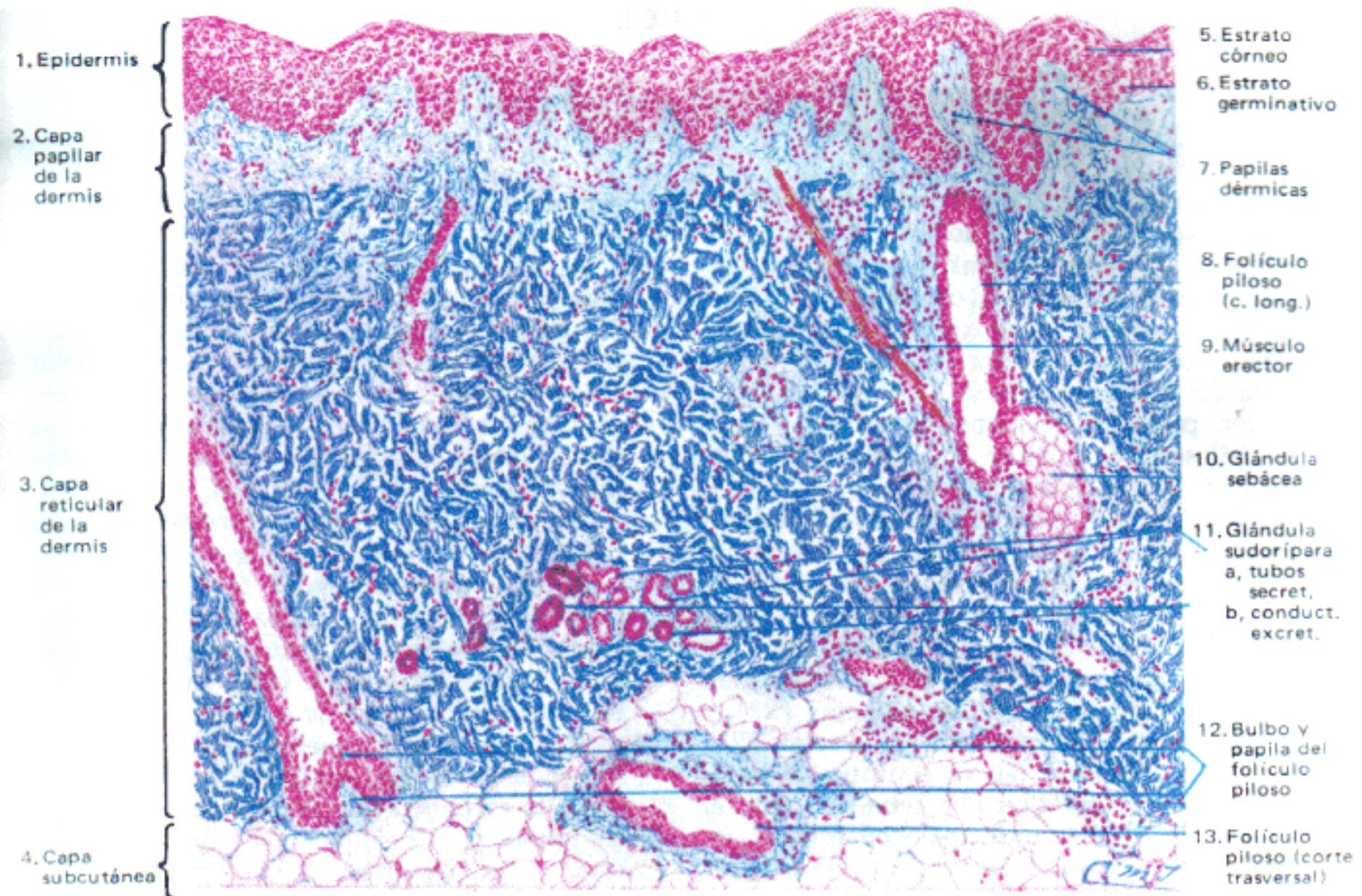


Fig. 1.—Piel de la superficie general del cuerpo. (Coloración: tricrómico de Cajal. Citoplasma, anaranjado; núcleo, rojo intenso; fibras colágenas, azul intenso (50 X.)



Fig. 2.—Región superficial. (Coloración: hematoxilina-eosina. 200 X.)

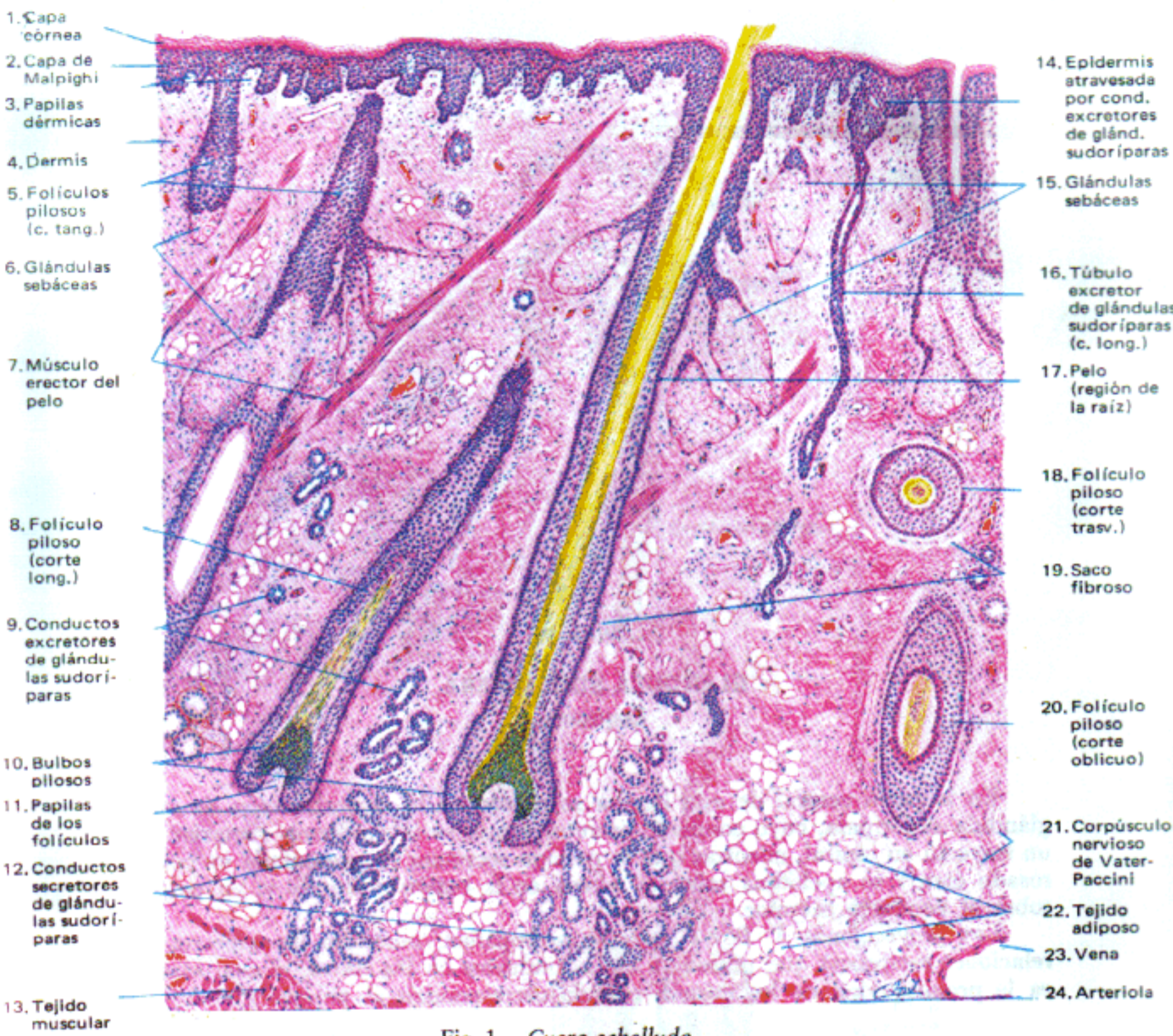


Fig. 1. - Cuero cabelludo.
(Coloración: hematoxilina-eosina, 50 X.)

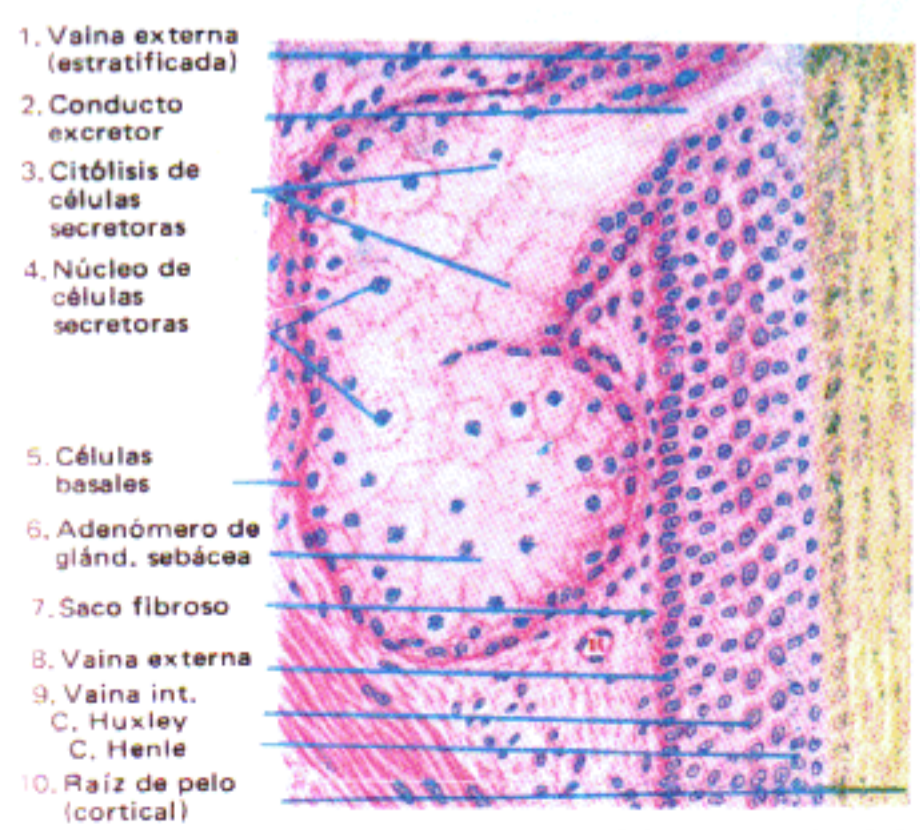


Fig. 2. - Glándula sebácea y región del cuello de un folículo piloso.
(Coloración: hematoxilina-eosina, 200 X.)

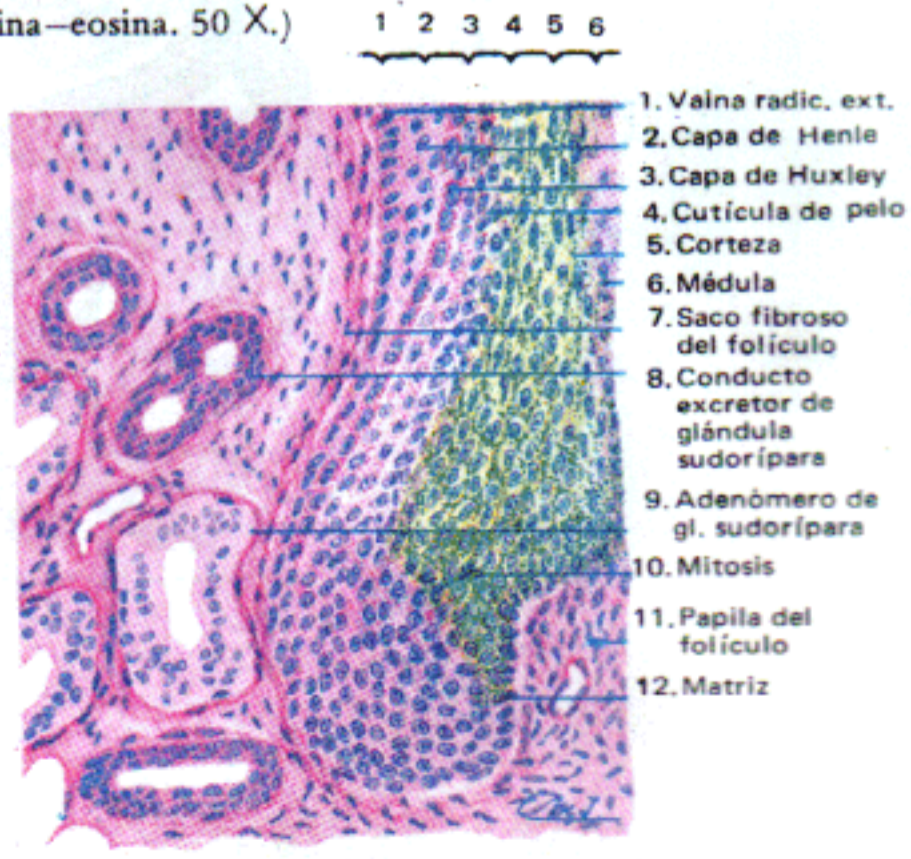
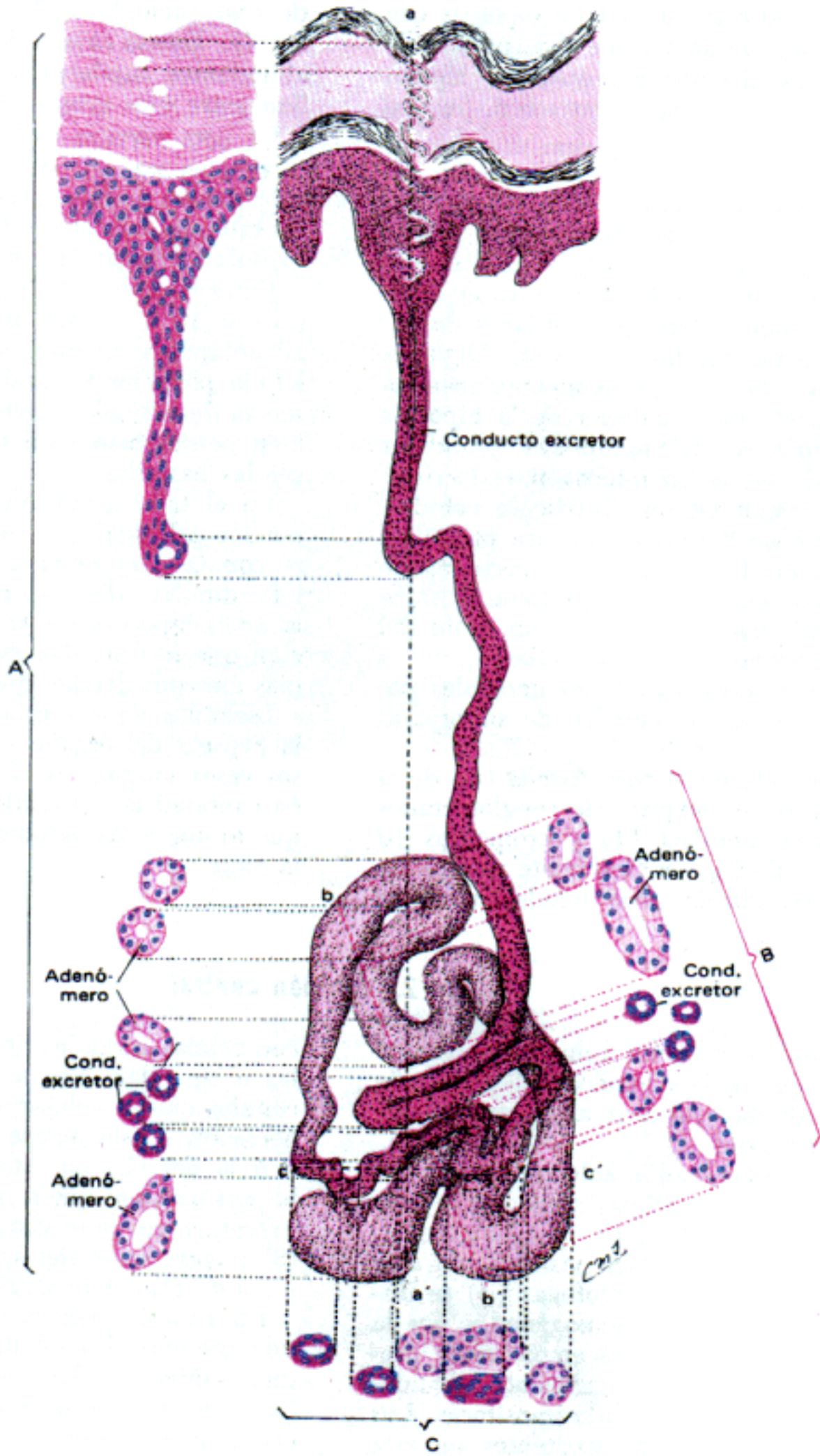


Fig. 3. - Folículo piloso (región inferior) y glándula sudorípara.
(Coloración: hematoxilina-eosina, 200 X.)

GLANDULA SUDORIPARA (Esquema)



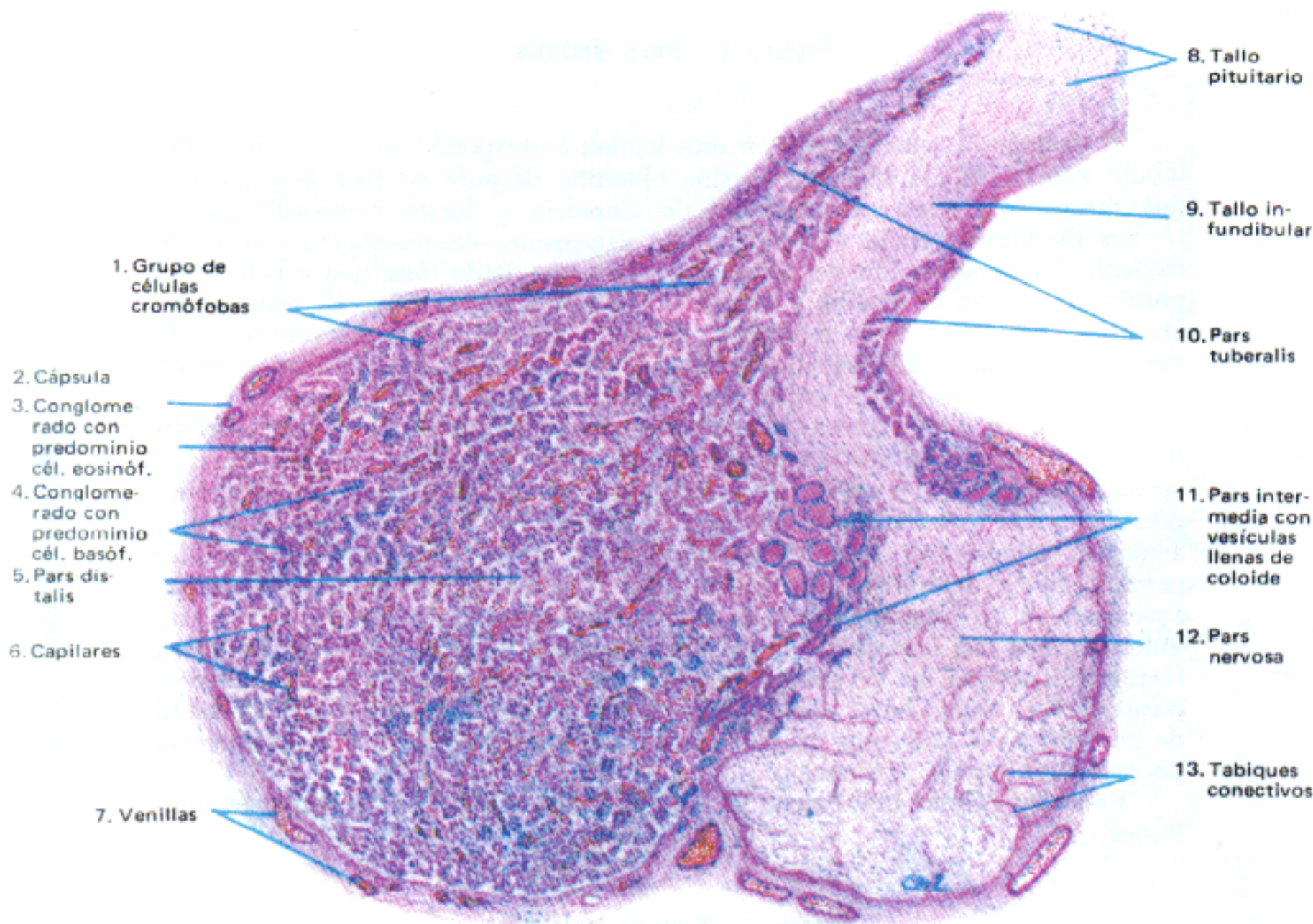


Fig. 1. - Vista de conjunto (corte sagital).
(Coloración: hematoxilina-eosina. 22 X.)

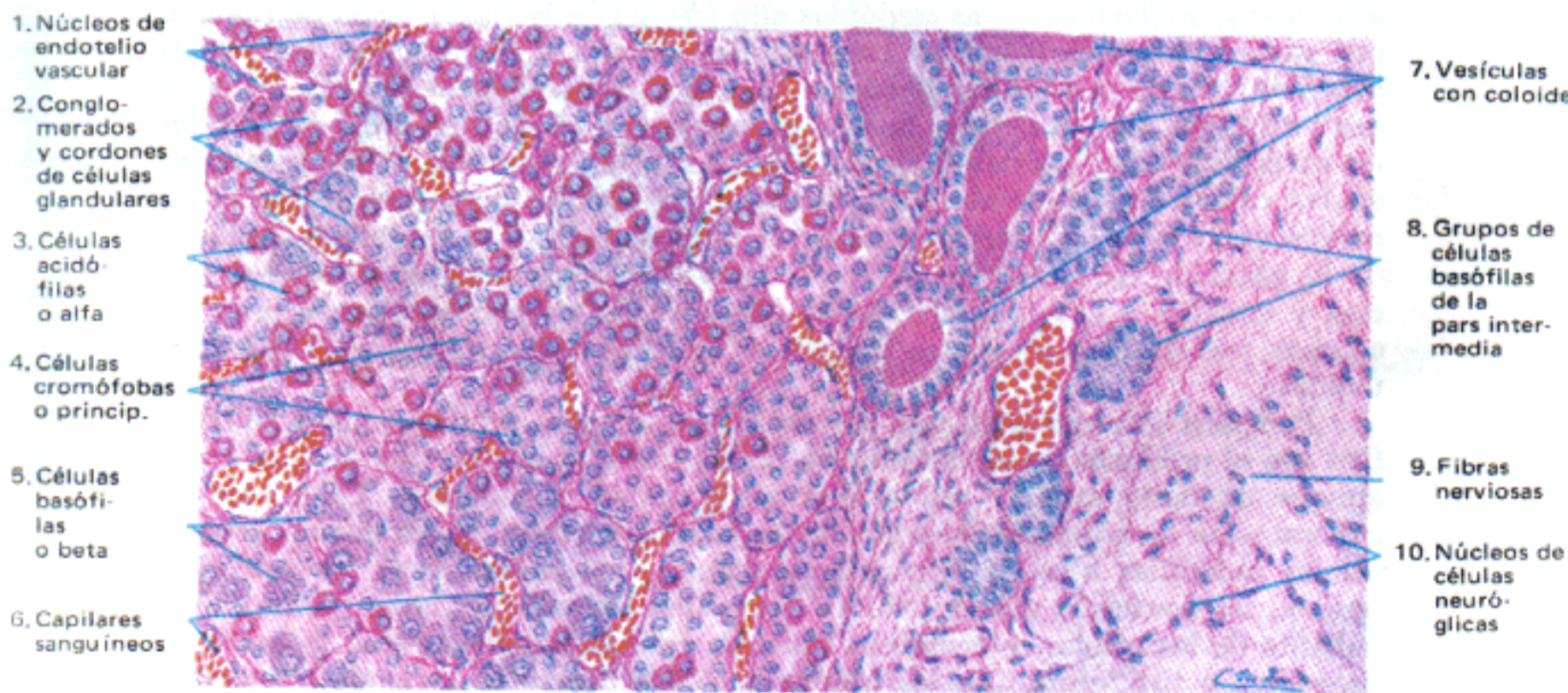


Fig. 2. - Detalles de la porción central
(Coloración: hematoxilina-eosina. 200 X.)

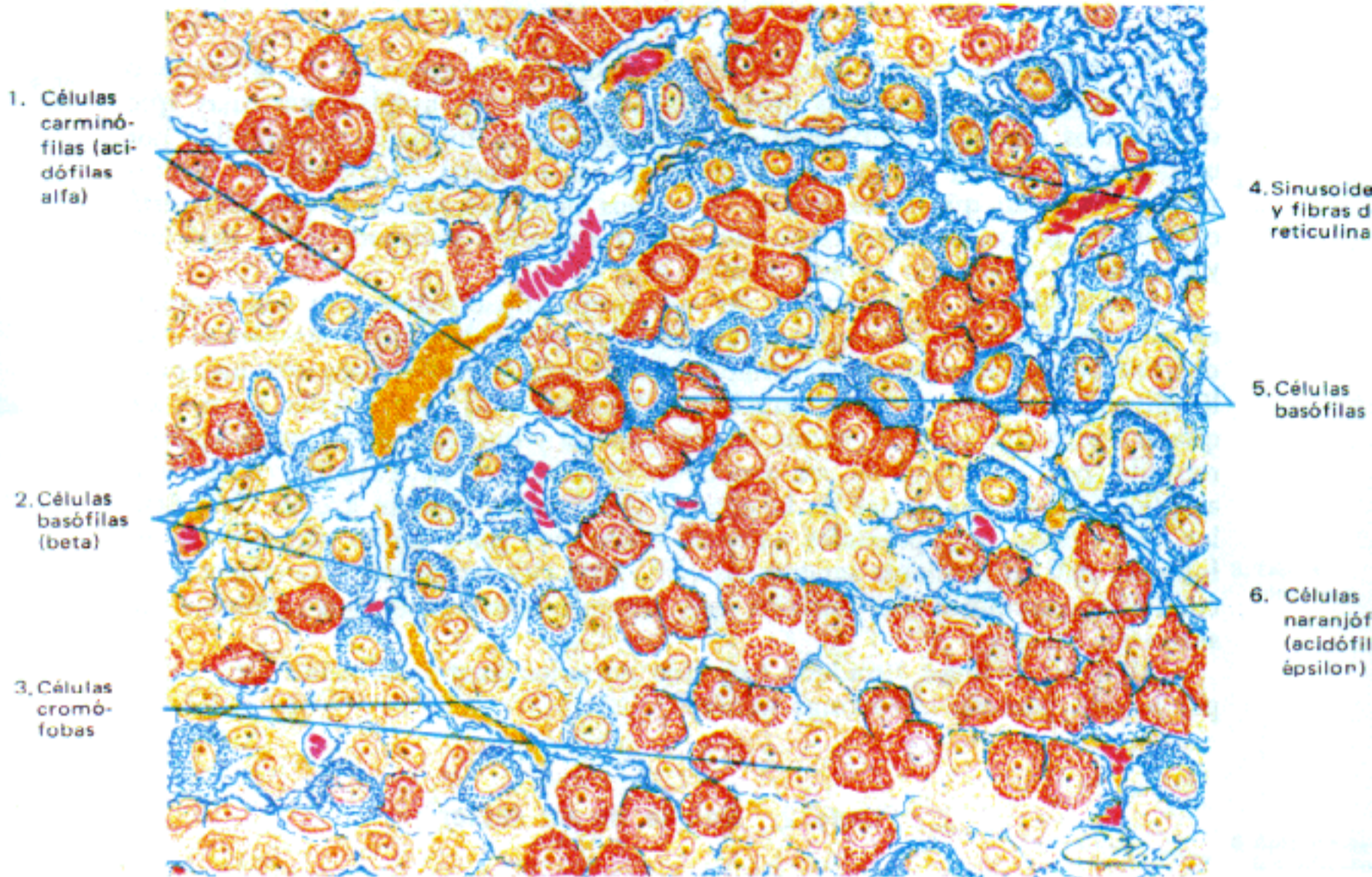


Fig. 1.— *Pars distalis*

Núcleos, anaranjado; gránulos citoplasmáticos de células alfa, rojo o anaranjado; gránulos citoplasmáticos de células beta, azul intenso; fibras colágenas y de reticulina, azul; eritrocitos, rojo vivo; sangre hemolizada, amarillo intenso. (Coloración: Mallory-Azán: 500 X.)

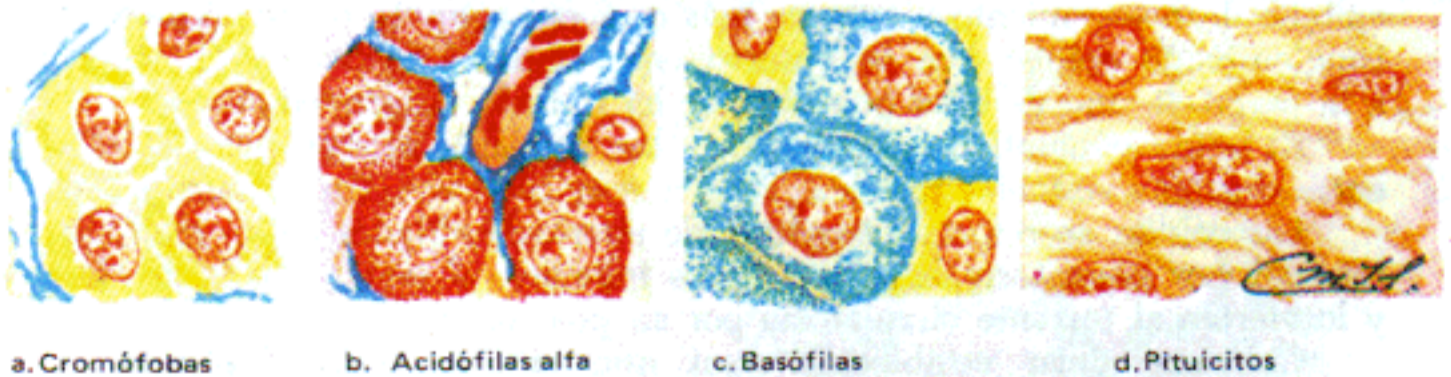


Fig. 2.— *Grupos celulares*
(Coloración: Mallory-Azán. 800 X.)

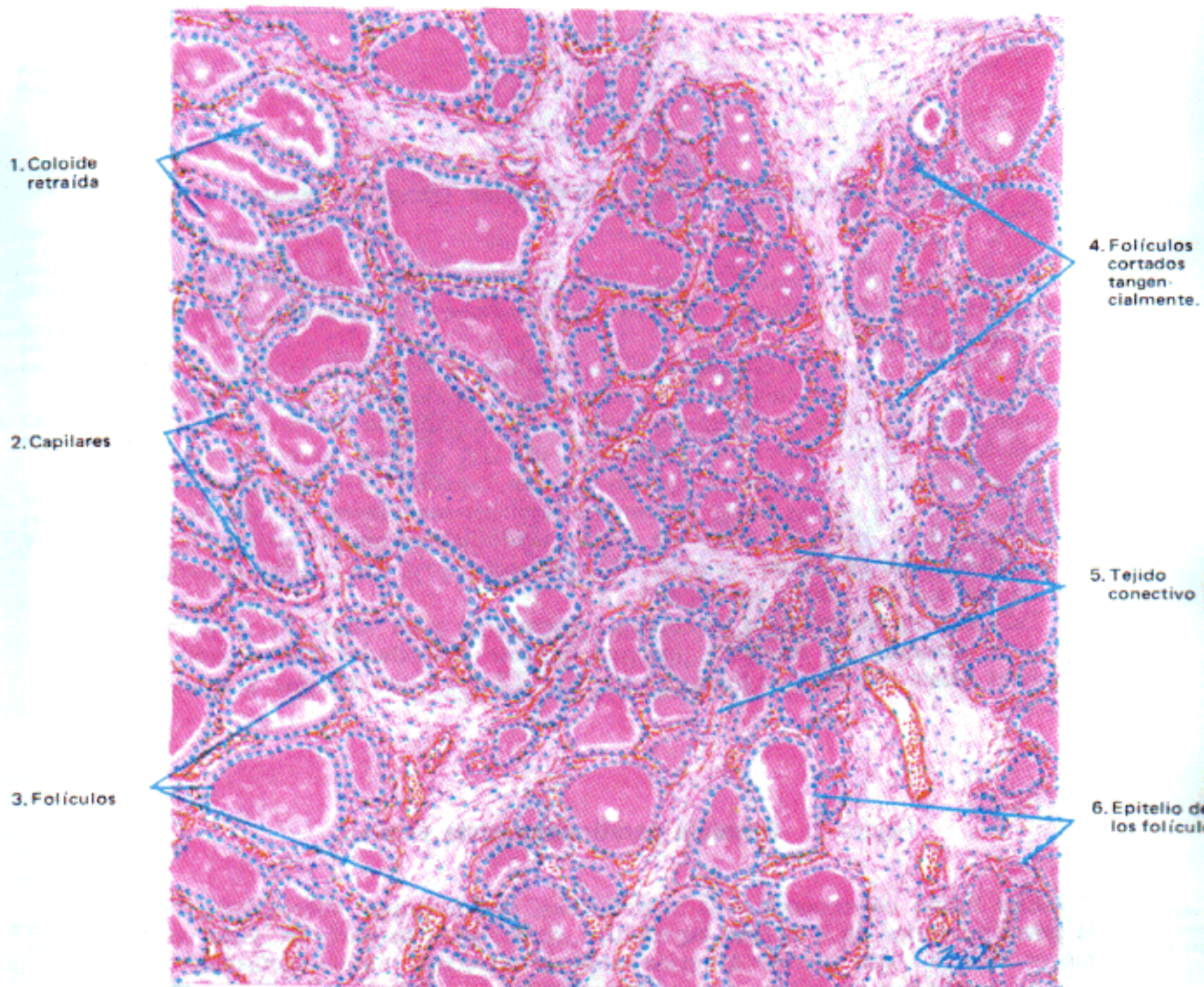


Fig. 1.— *Vista de conjunto.*
(Coloración: hematoxilina-eosina. 90X.)

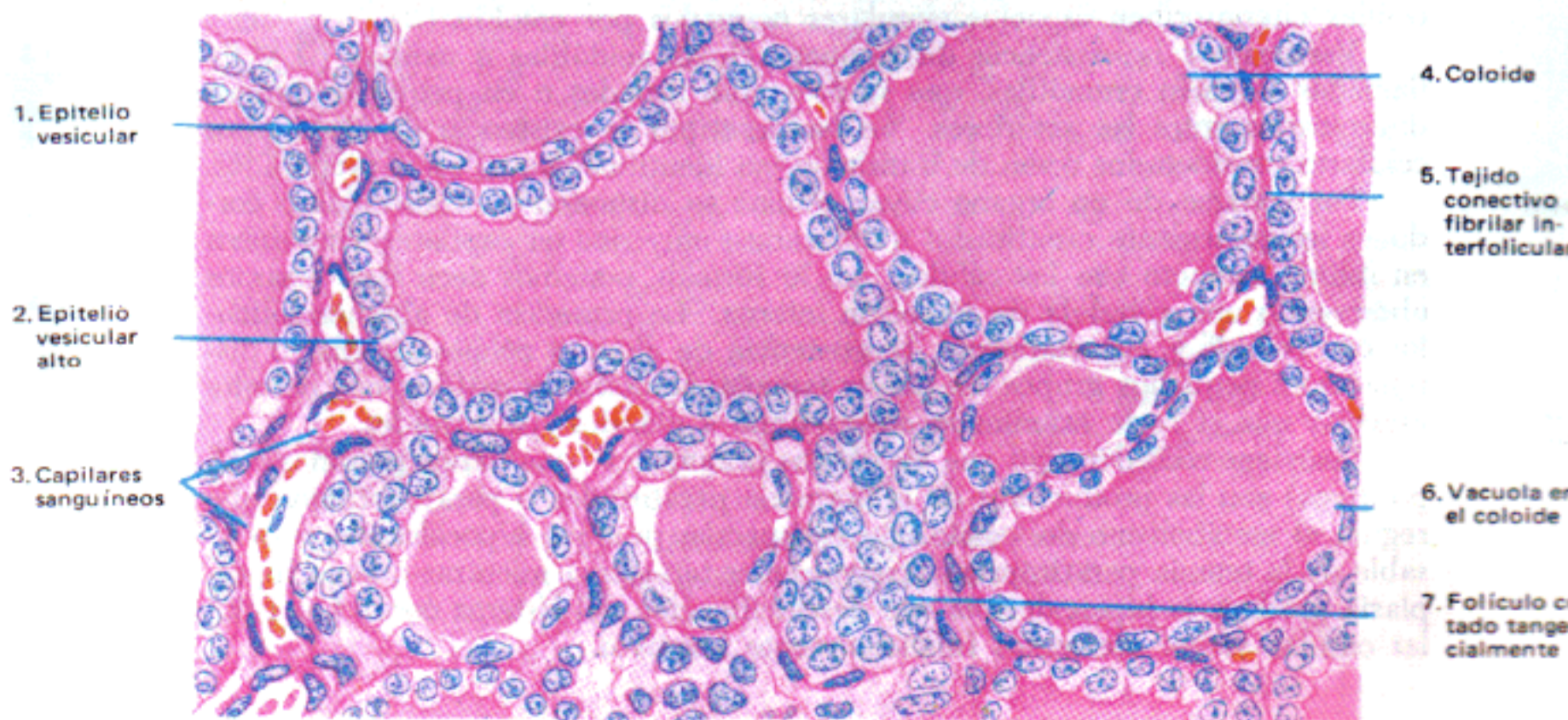


Fig. 2.— *Detalle de un sector.*
(Coloración: hematoxilina-eosina. 550X.)

(Zona colindante)

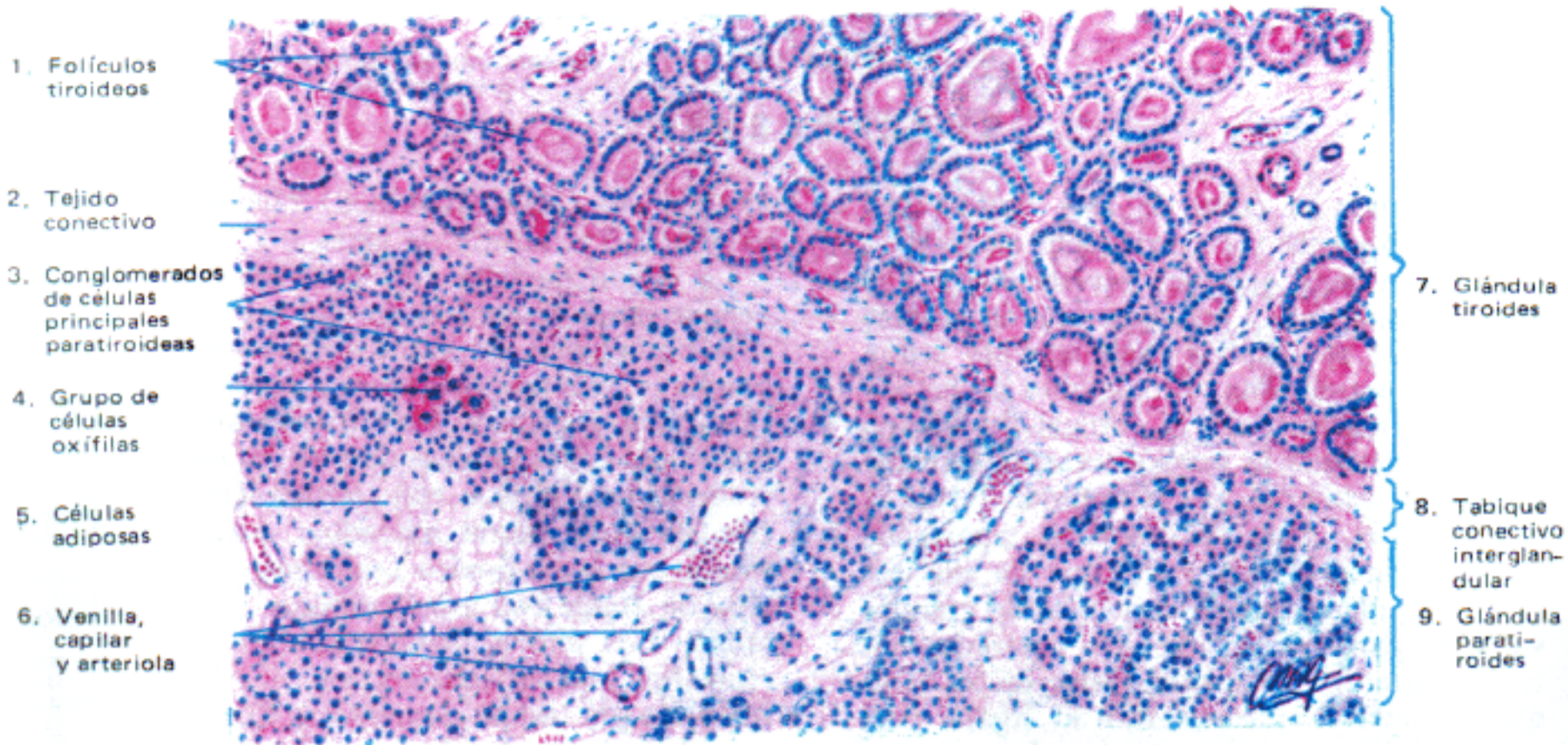


Fig. 1.— *Glándulas tiroides y paratiroides (vista de conjunto).*
(Coloración: hematoxilina-eosina. 90X.)

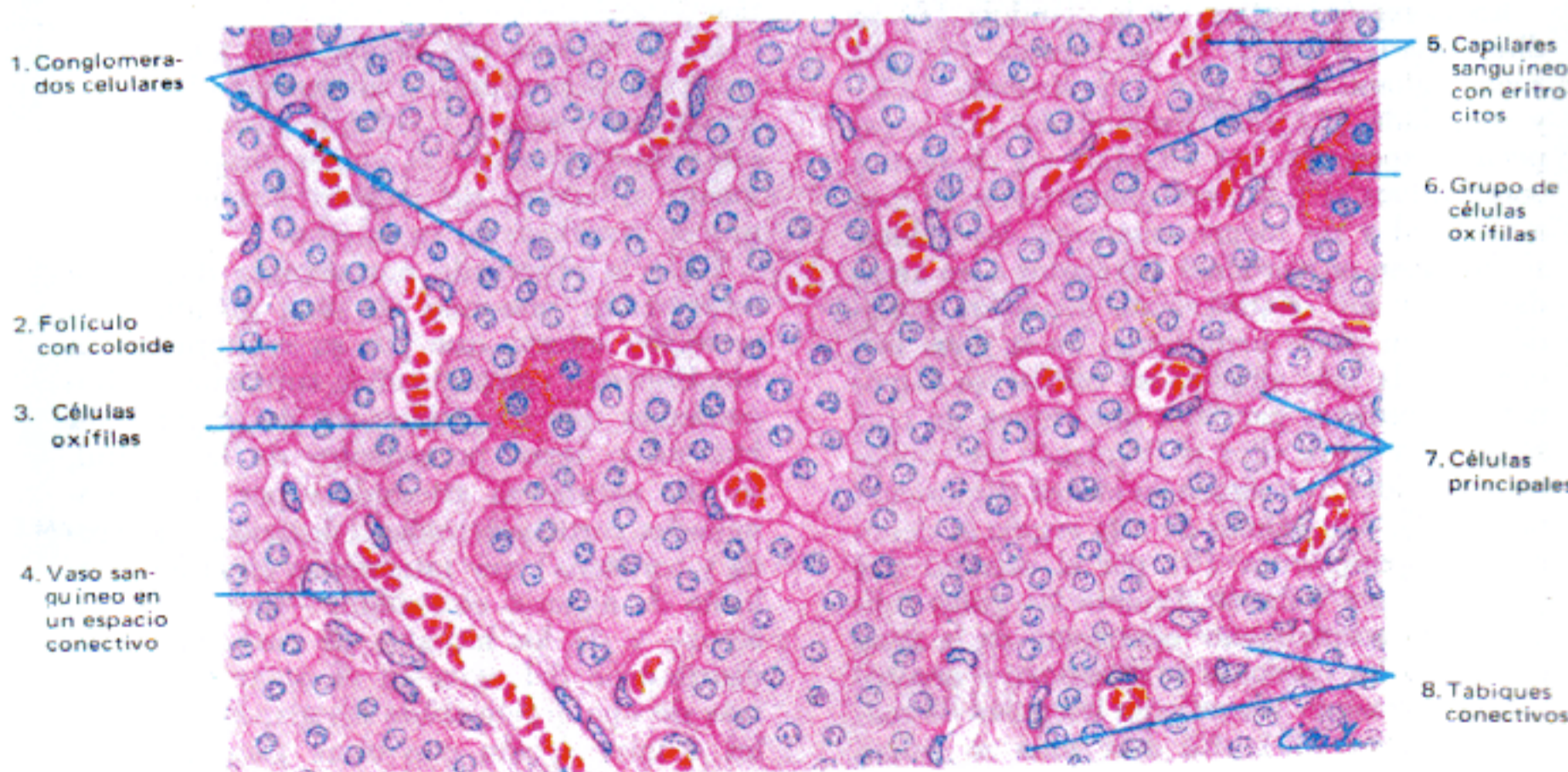
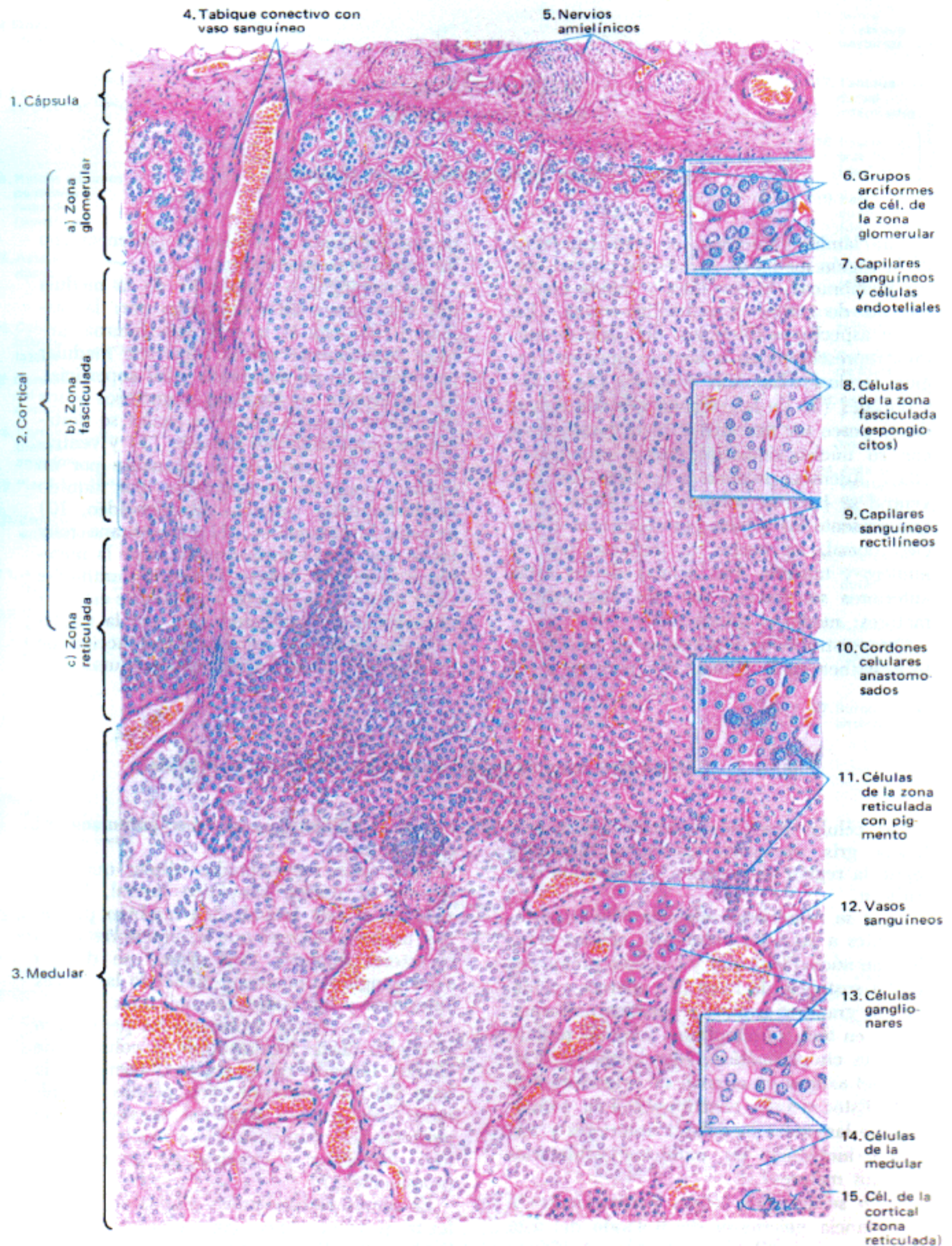


Fig. 2.— *Glándula paratiroides (vista parcial).*
(Coloración: hematoxilina-eosina. 550X.)



Coloración: hematoxilina-eosina. 200 X y 600 X.

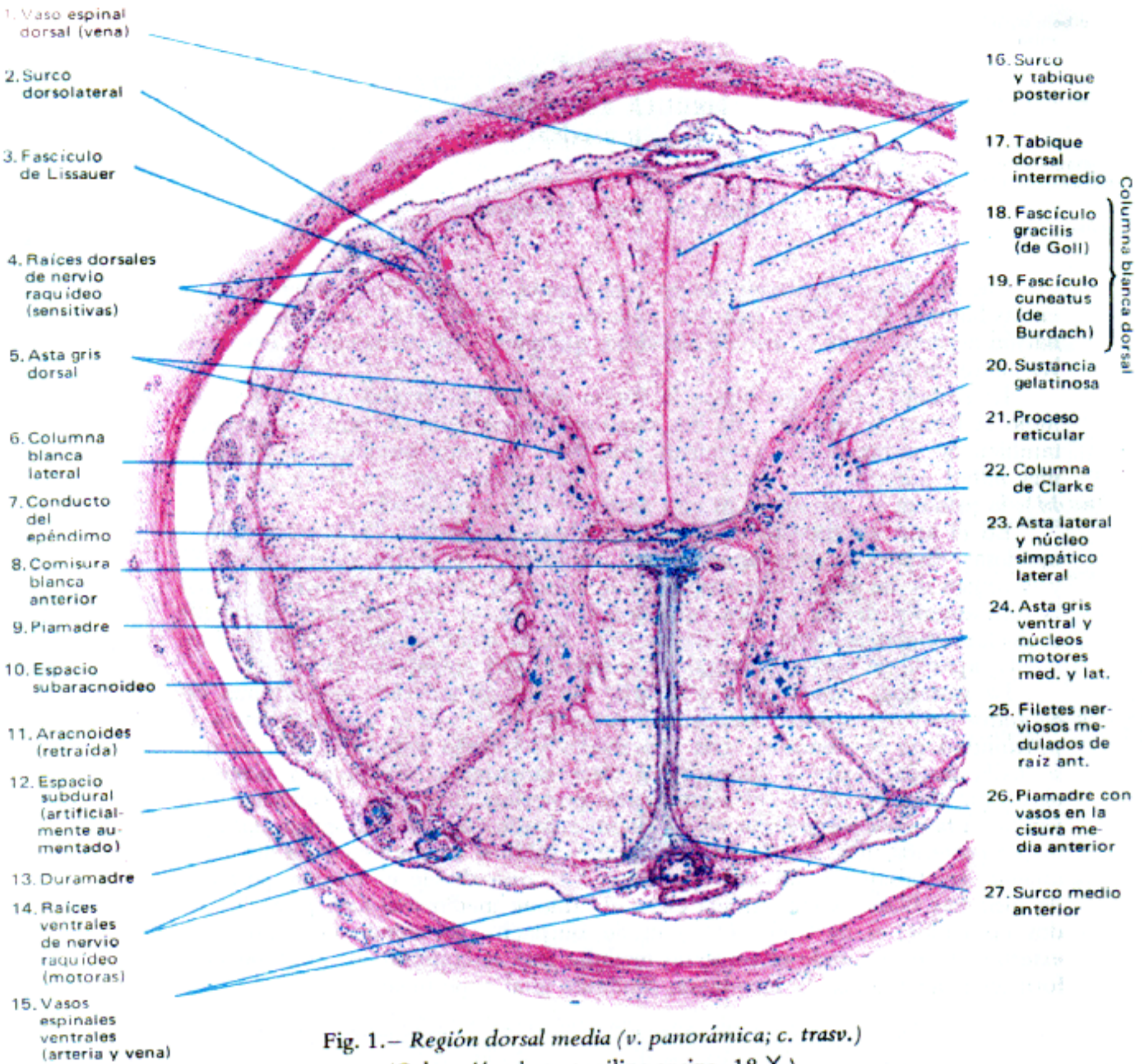


Fig. 1. - Regi3n dorsal media (v. panor3mica; c. trasv.)
(Coloraci3n: hematoxilina-eosina. 18 X.)

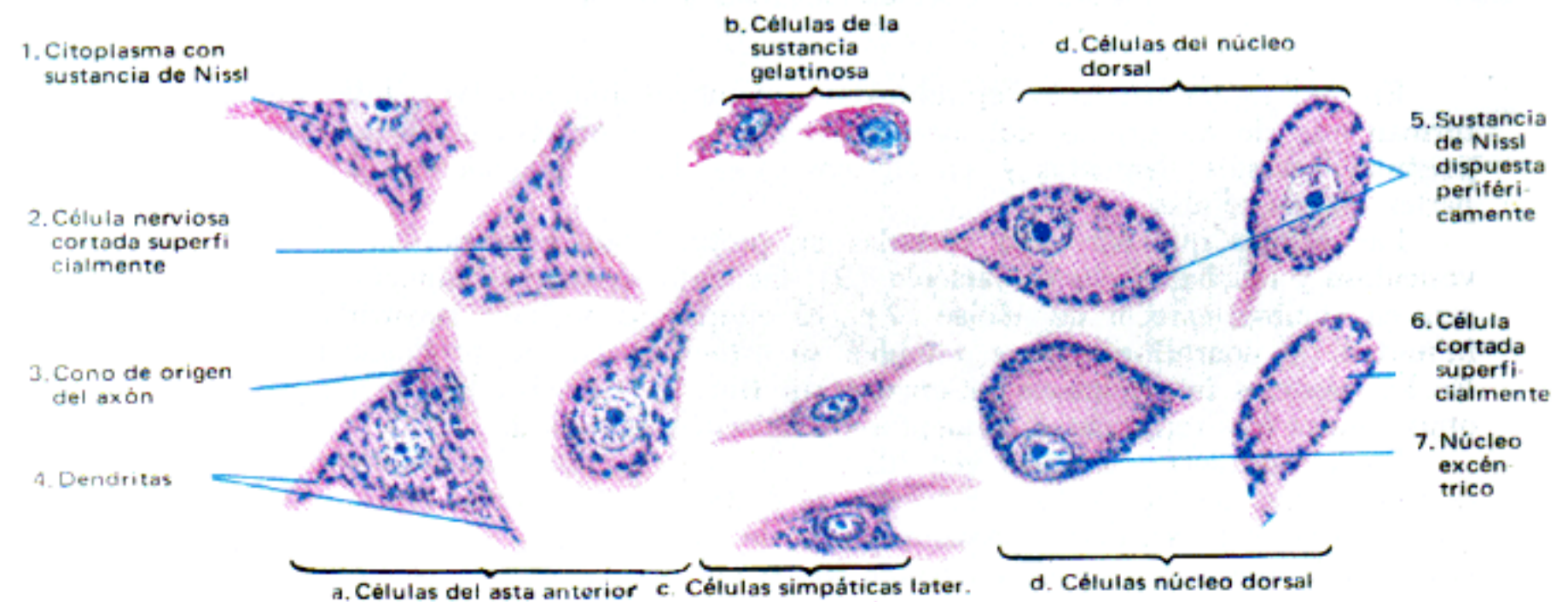


Fig. 2. - C3lulas nerviosas de algunas regiones t3picas de la m3dula
(Coloraci3n: hematoxilina-eosina. 380 X.)

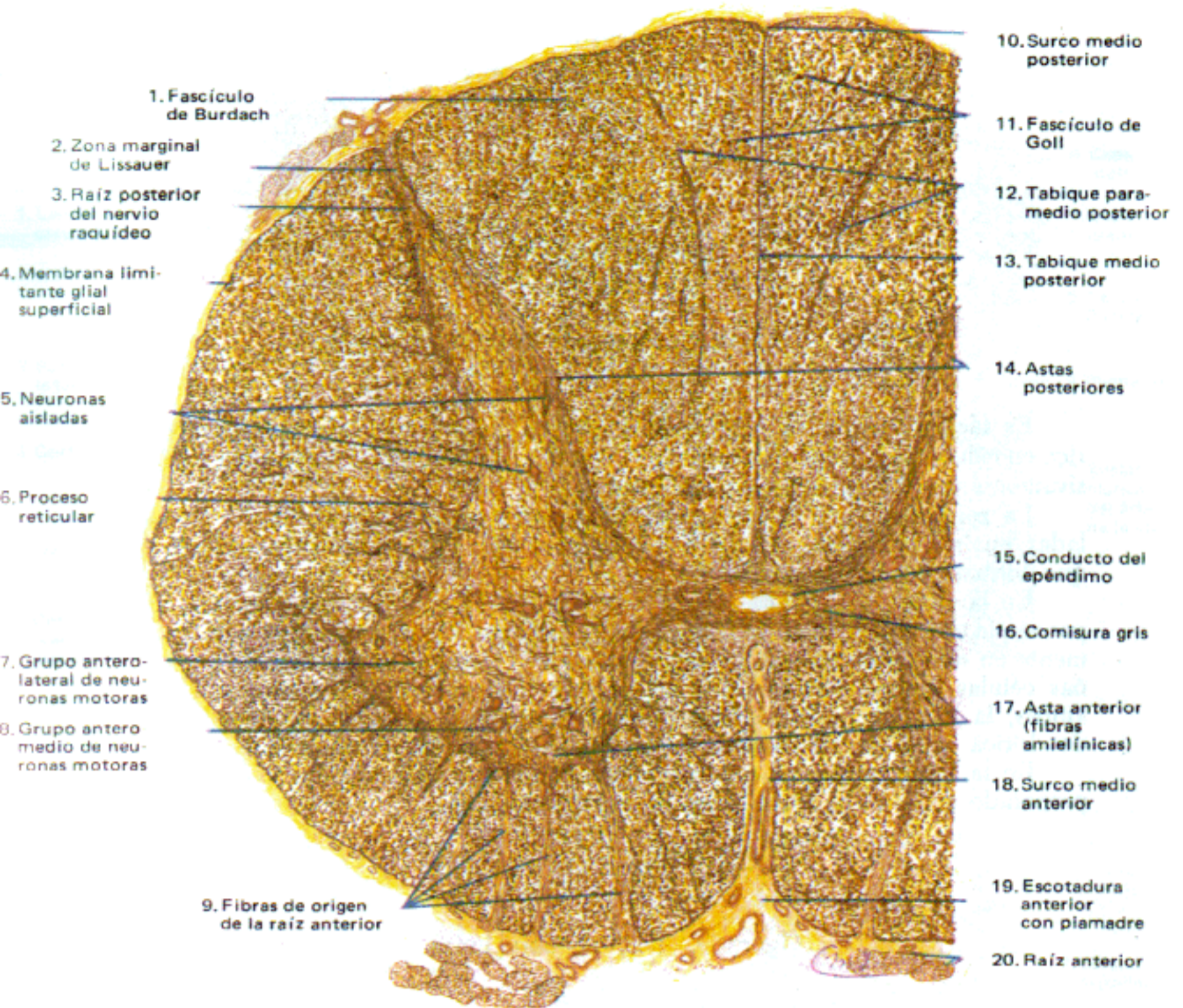


Fig. 1. - Vista panorámica (Impregnación argéntica: método de Cajal. 18 X.)

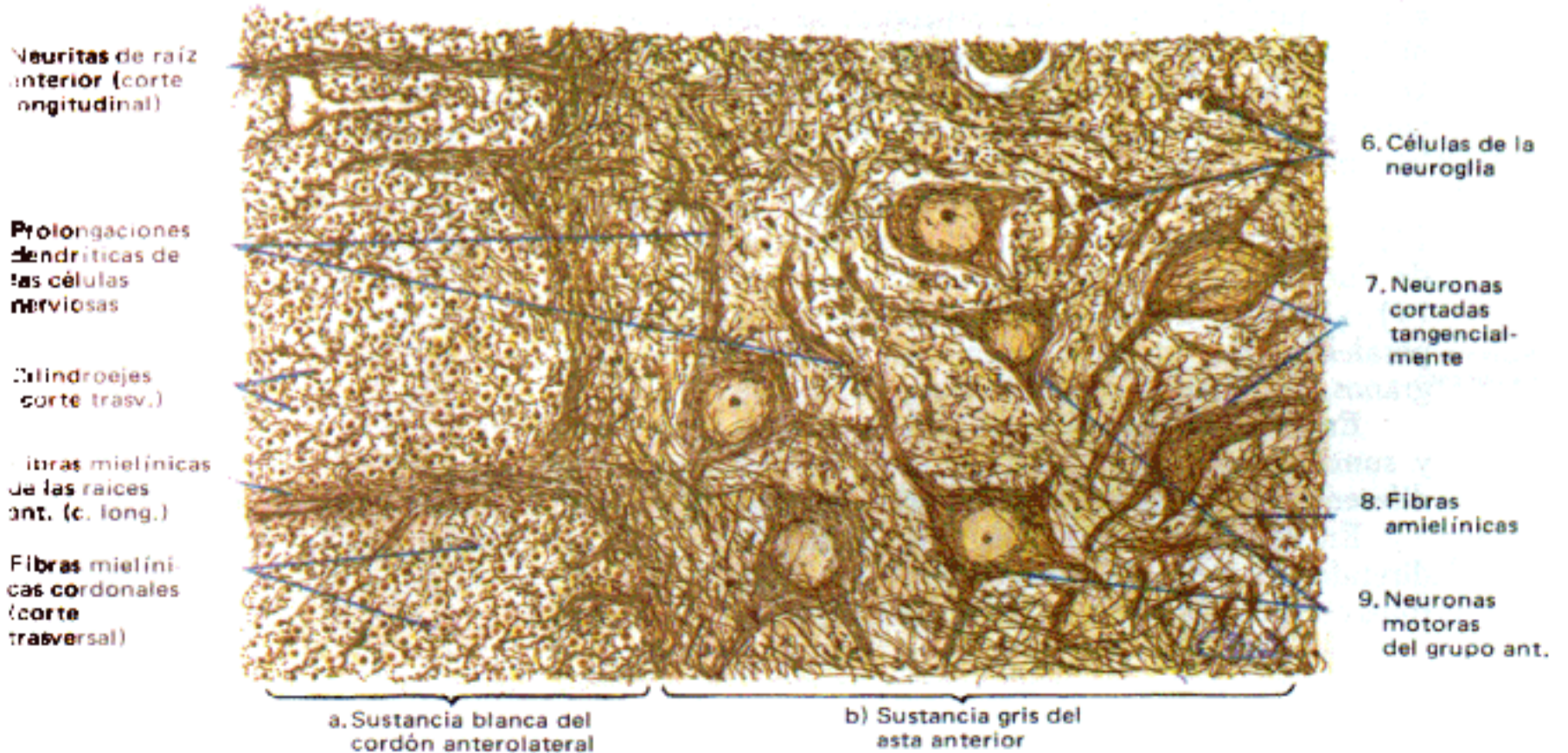


Fig. 2. - Porción del asta anterior y del cordón anterolateral adyacente. (Impregnación argéntica: método de Cajal. 160 X.)



Fig. 1.— Lámina cerebelosa cortada de través
(Impregnación argéntica: método de Cajal. 45 X.)

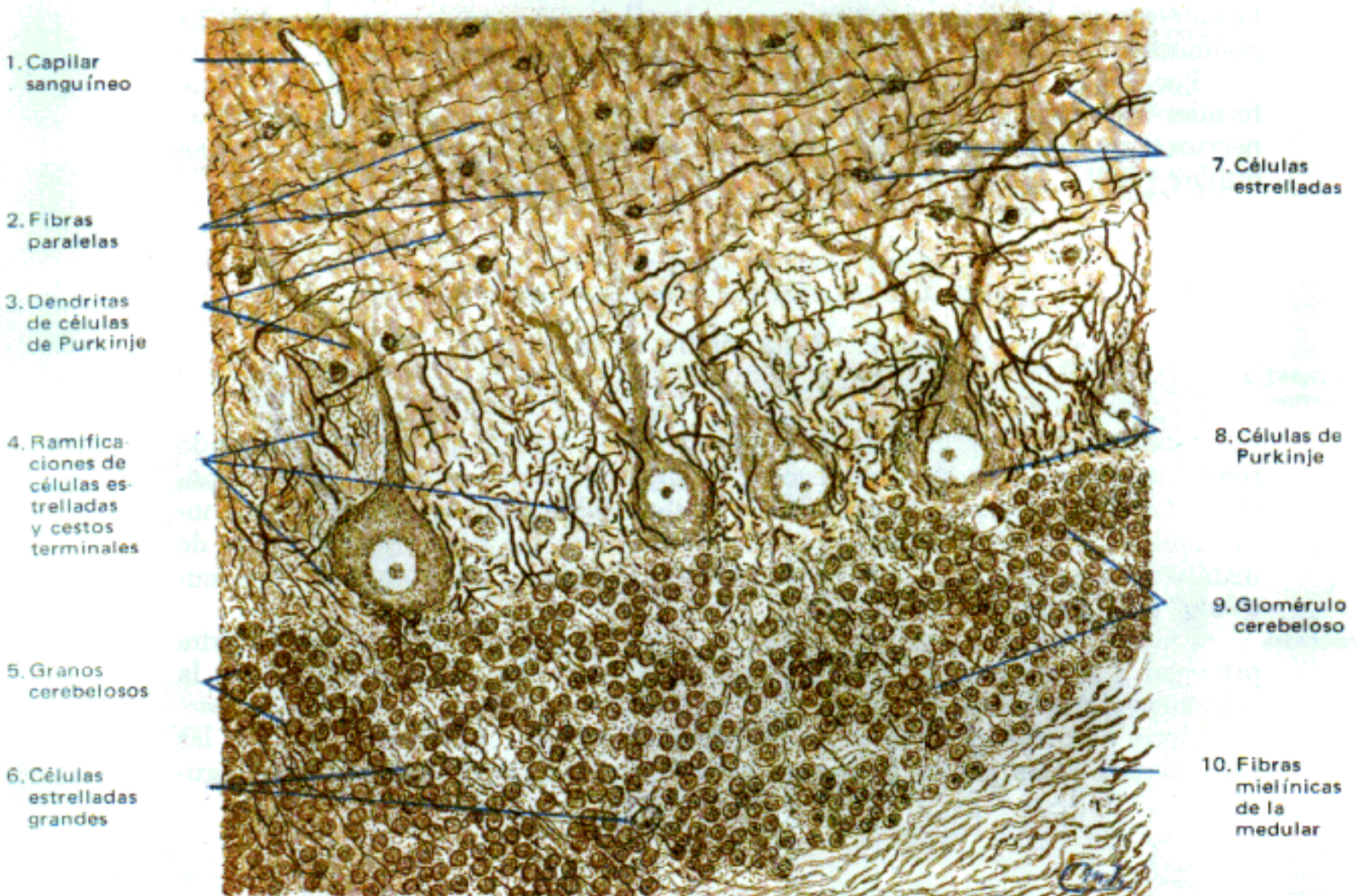


Fig. 2.— Corte algo oblicuo de corteza
(Impregnación argéntica: método de Cajal. 300 X.)

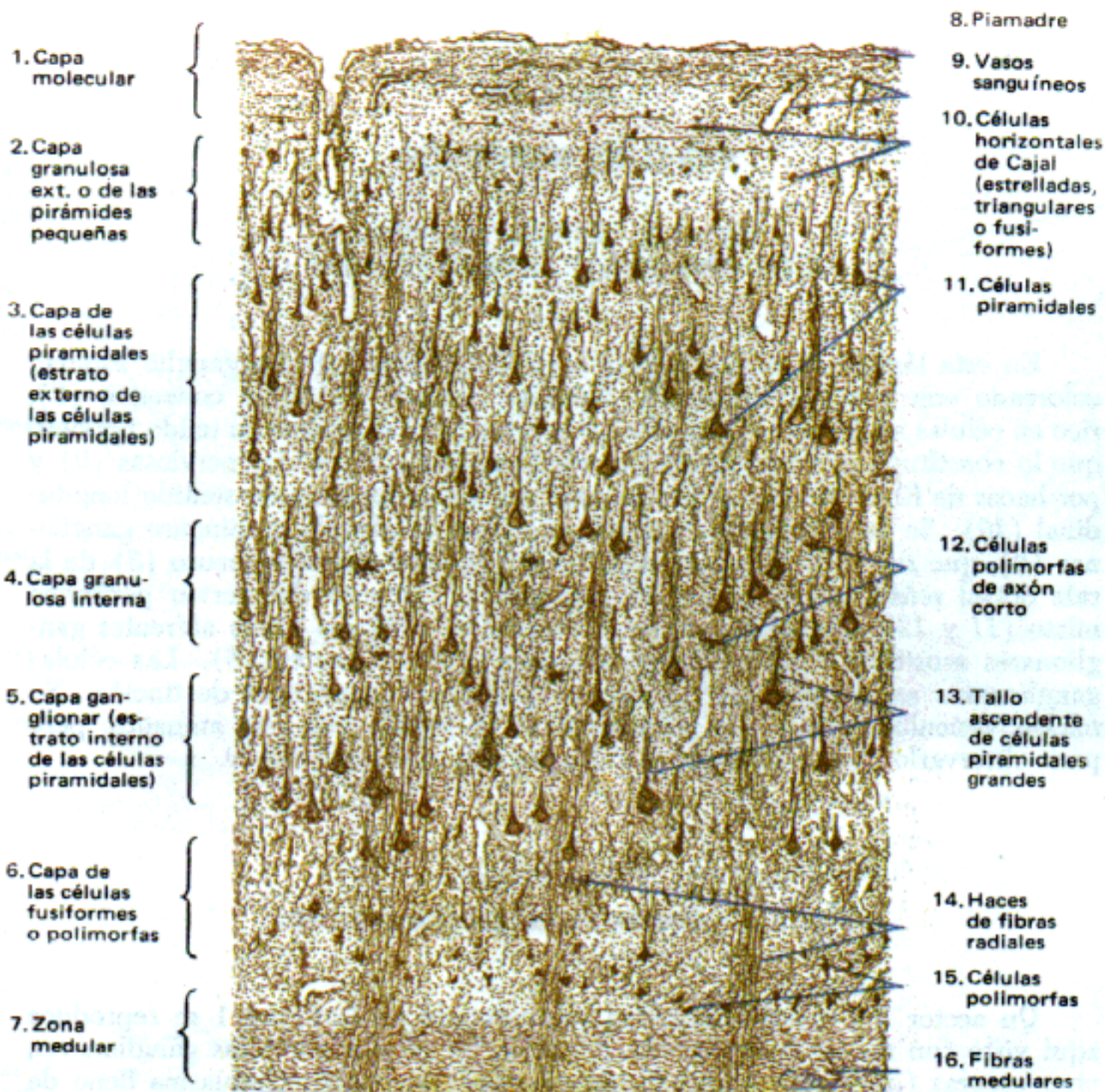


Fig. 1.— Corte perpendicular de la corteza
(Método del nitrato de plata reducido de Cajal. 80 X.)

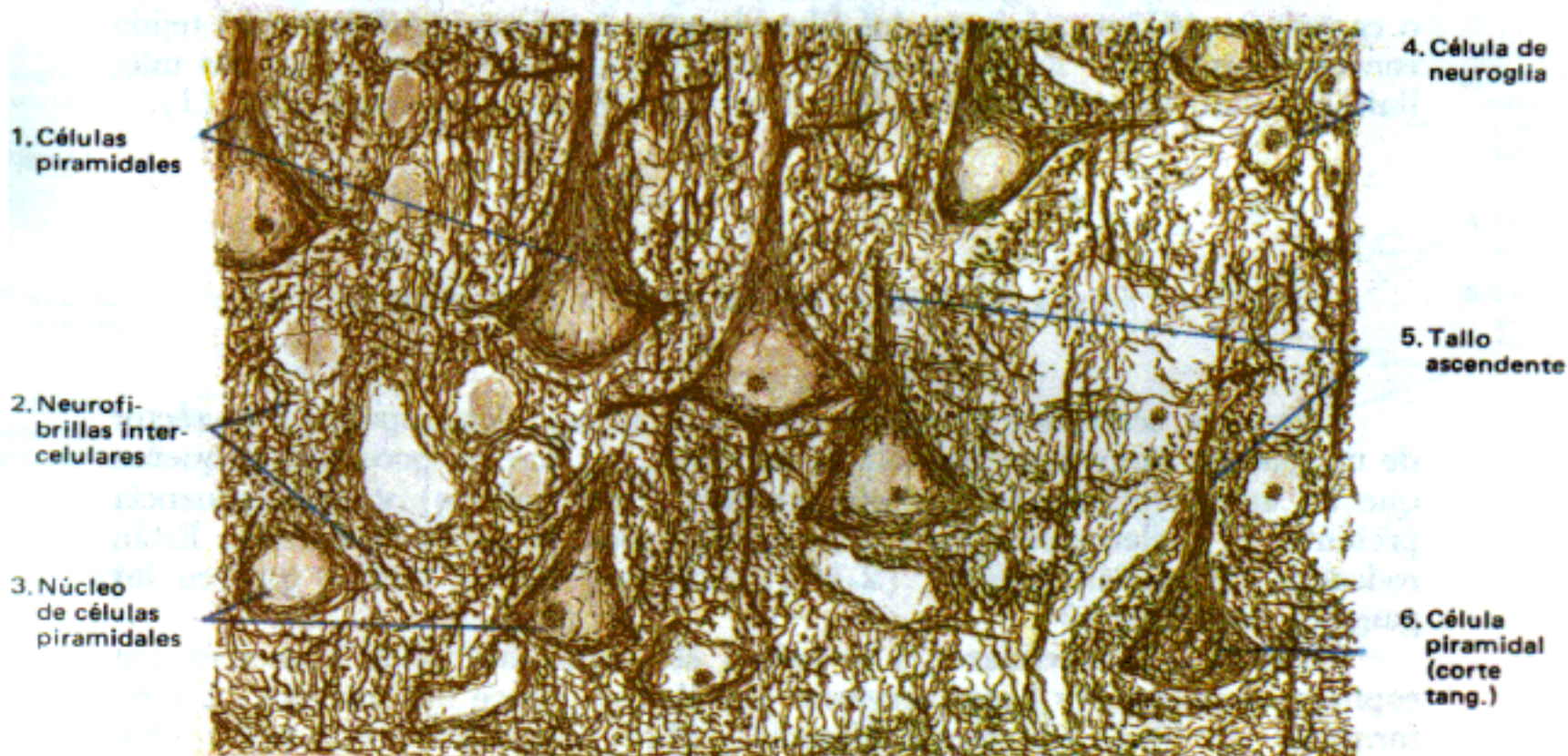


Fig. 2.— Capa de las células piramidales
(Método del nitrato de plata reducido de Cajal. 300 X.)

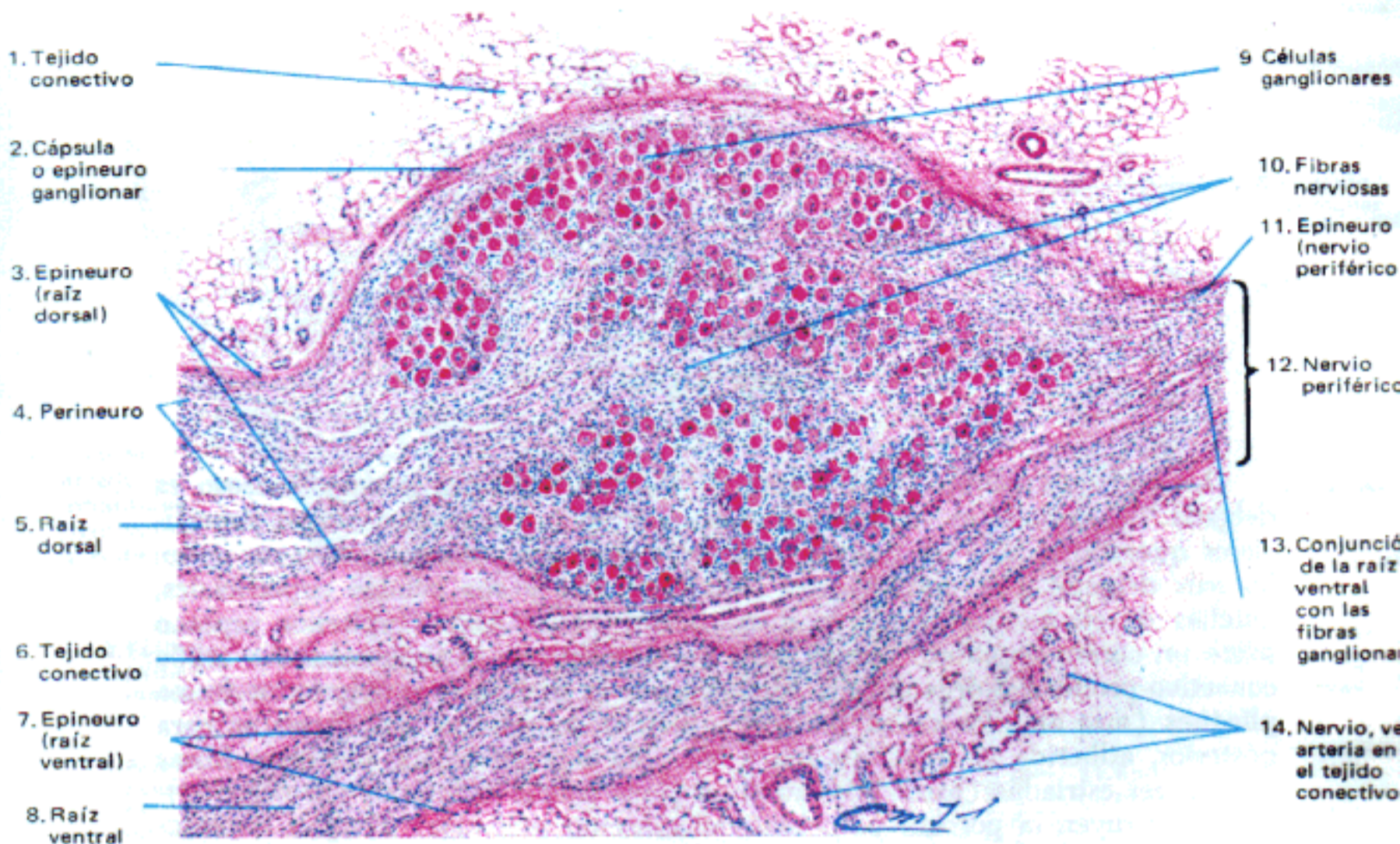


Fig. 1.— Ganglio raquídeo, corte longitudinal
(Coloración: hematoxilina-eosina. 25 X.)

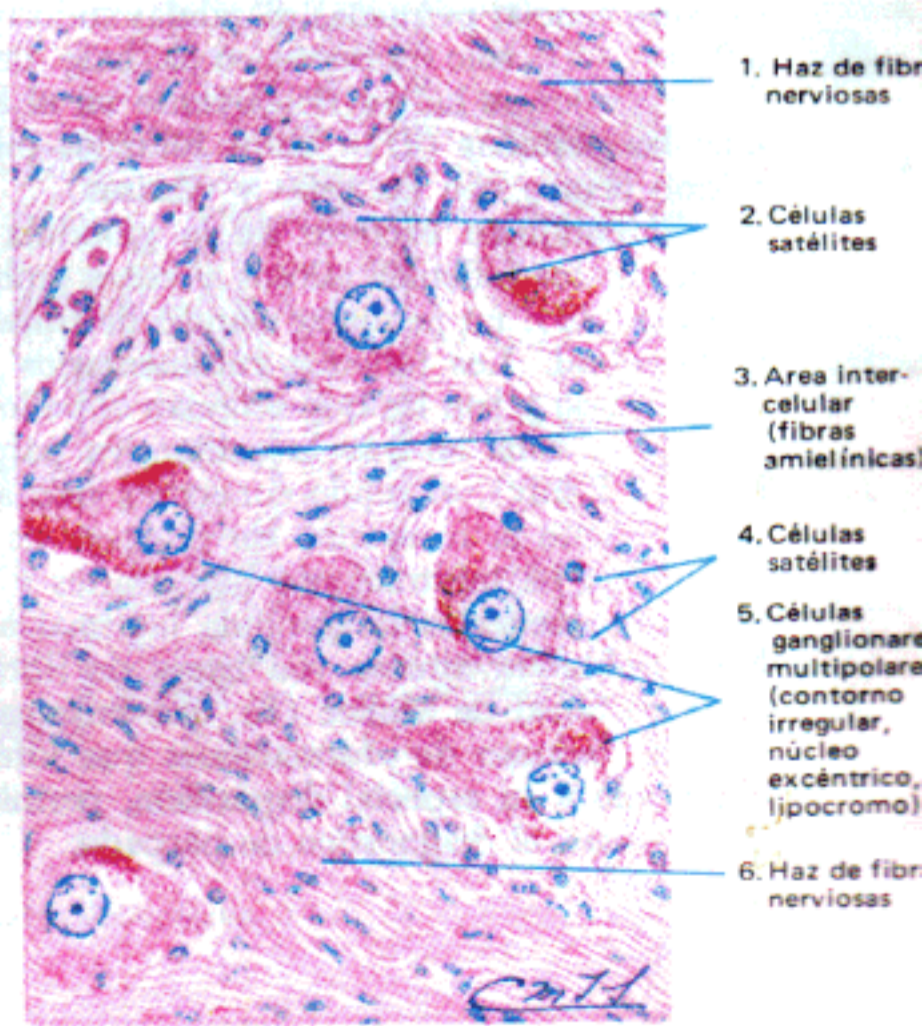
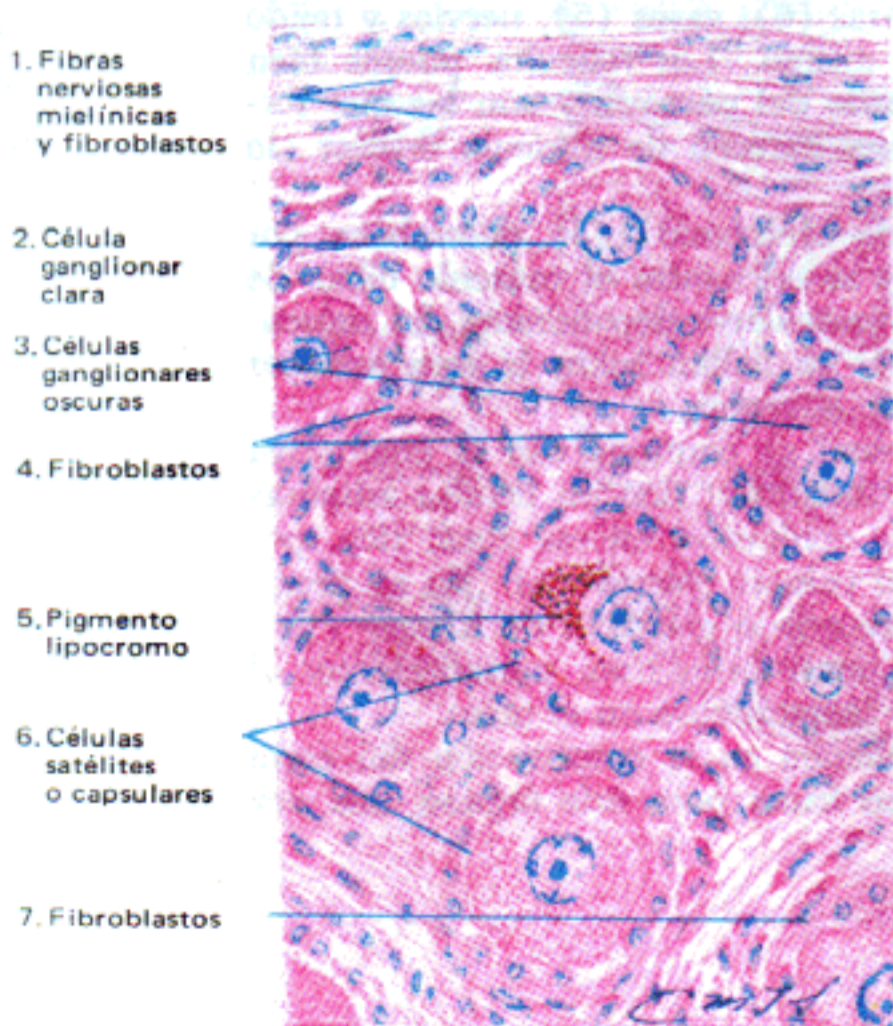
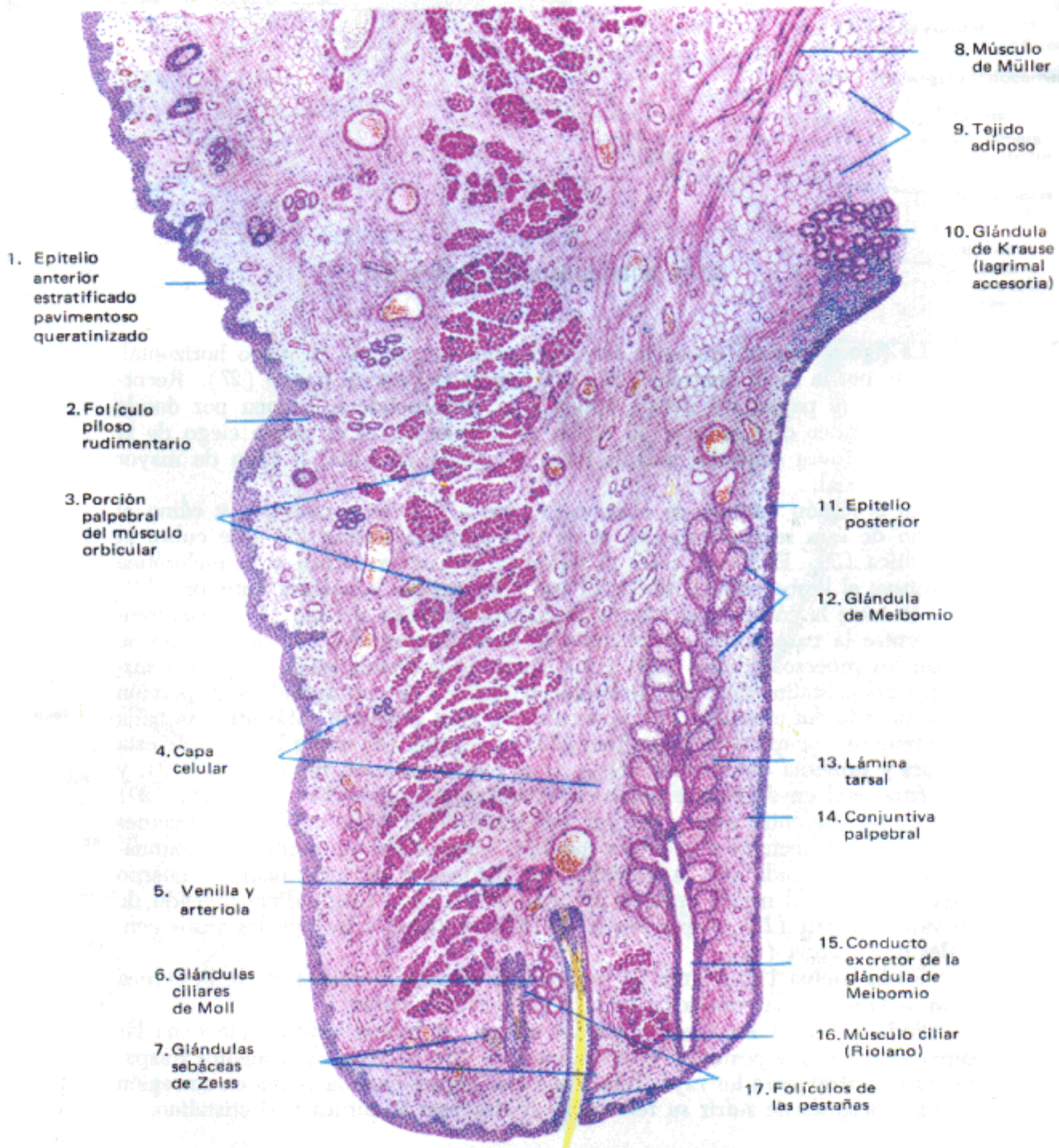
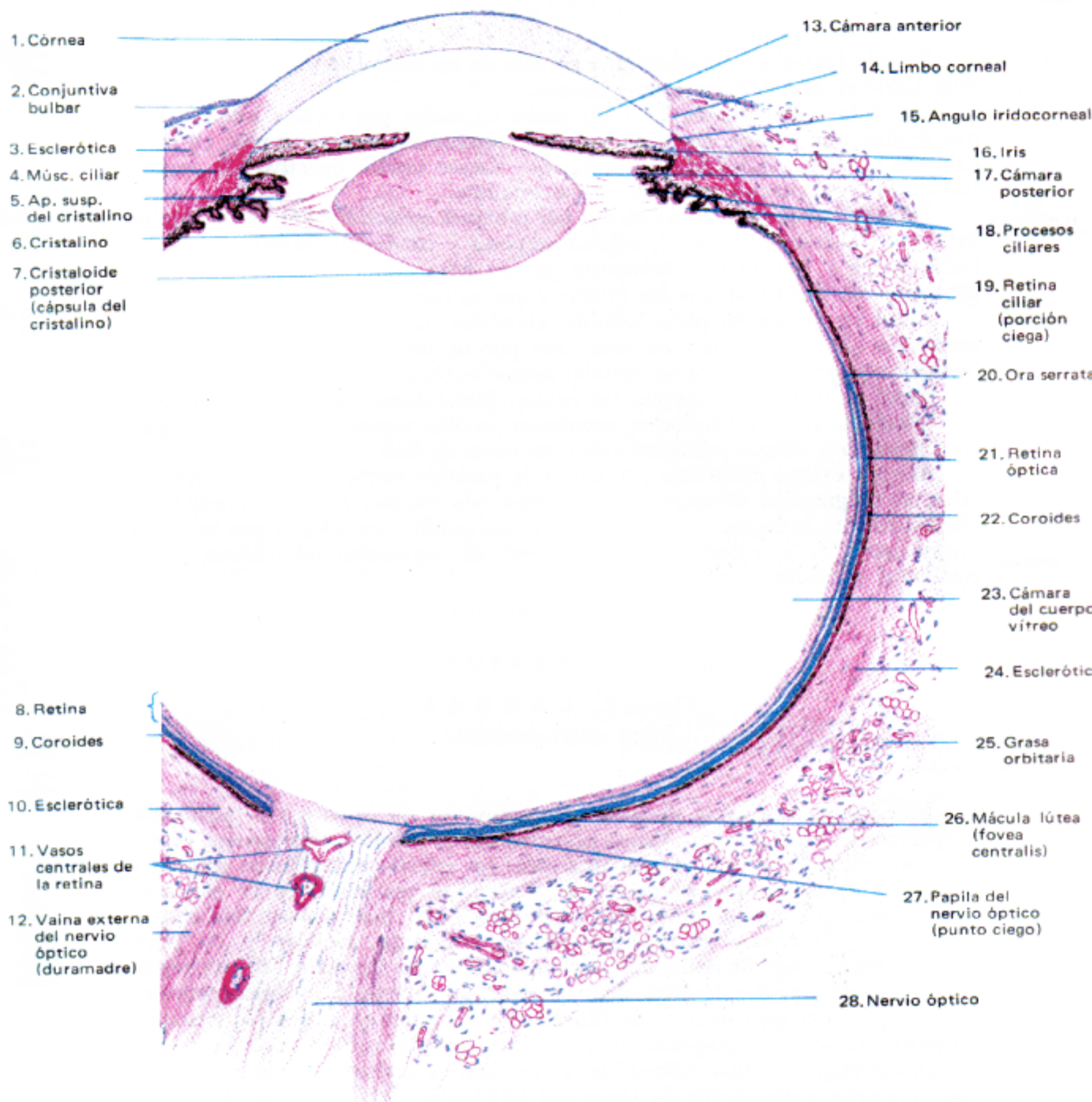


Fig. 2.— Sector de un ganglio raquídeo Fig. 3.— Sector de un ganglio simpático
(Coloración: hematoxilina-eosina. 400 X.)

(Corte sagital)



Coloración: hematoxilina-eosina. 20 X.



Coloración: hematoxilina-eosina. 15 X.

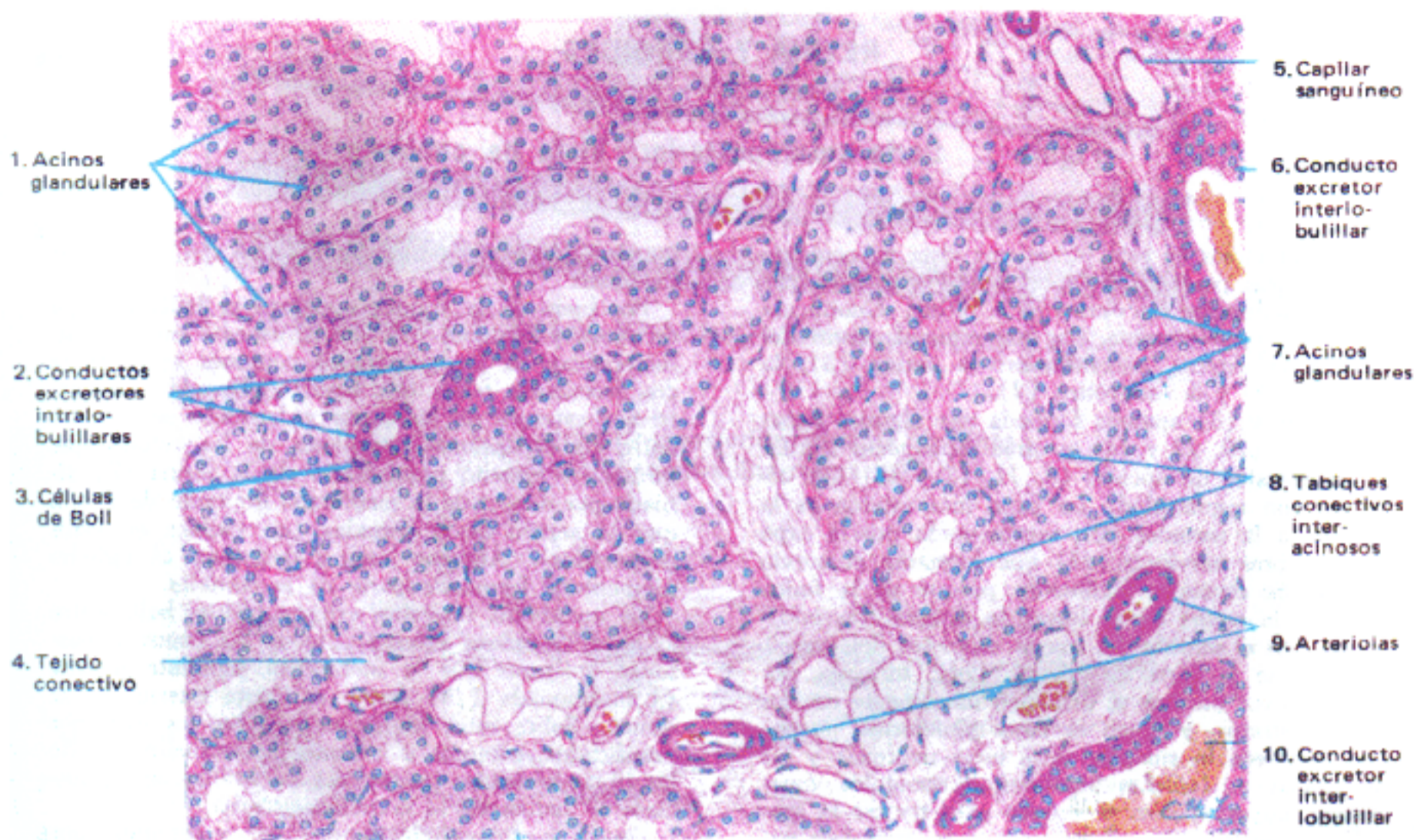


Fig. 1.— Coloración: hematoxilina-eosina. 20 X.)

CORNEA



Fig. 2.— Corte anteroposterior
(Coloración: hematoxilina-eosina. 180 X.)

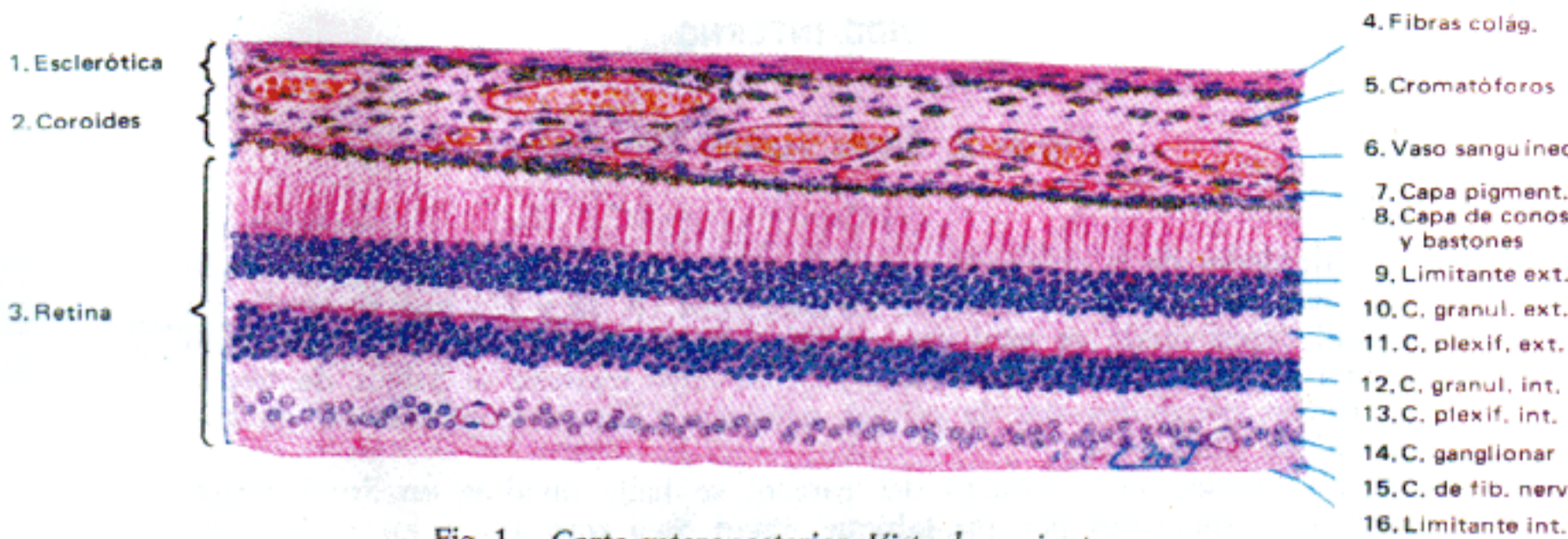


Fig. 1. - Corte anteroposterior. Vista de conjunto (Coloración: hematoxilina-eosina. 130 X.)

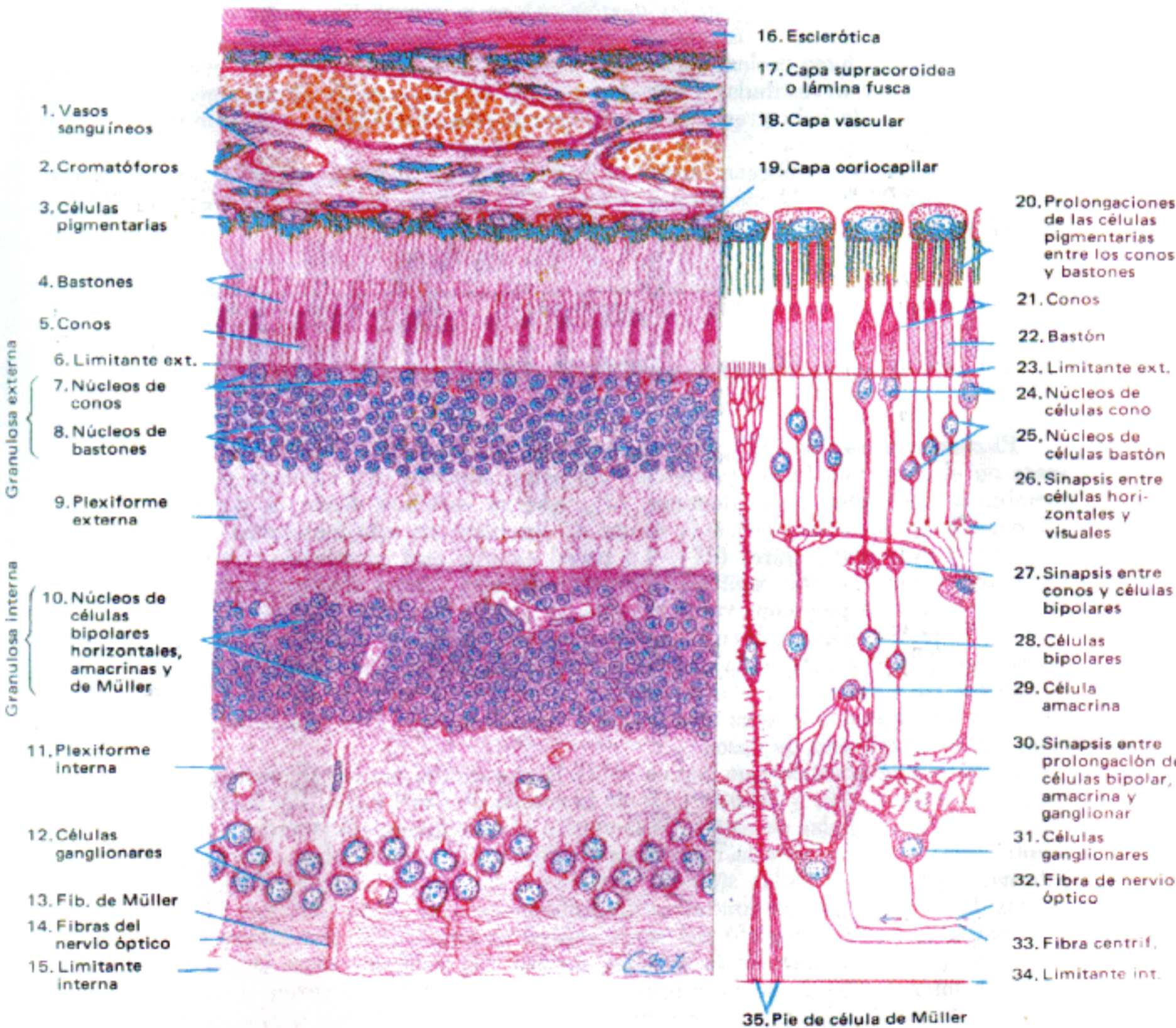


Fig. 2. - Detalle de un sector del corte anterior y diagrama de la estructura de la retina (Coloración: hematoxilina-eosina. 400 X.)

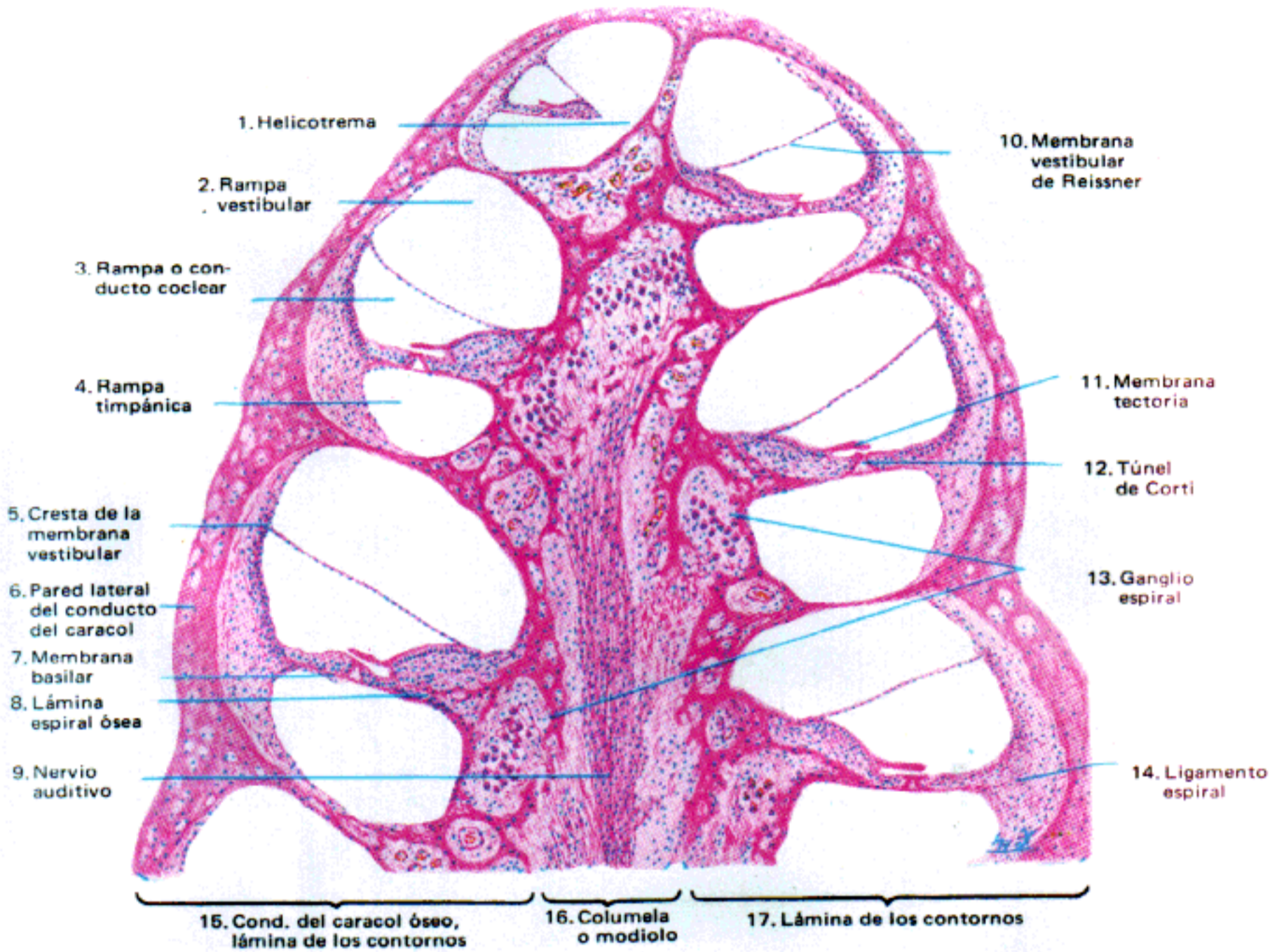


Fig. 1.— Corte vertical del caracol. (Coloración: hematoxilina-eosina. 55 X.)

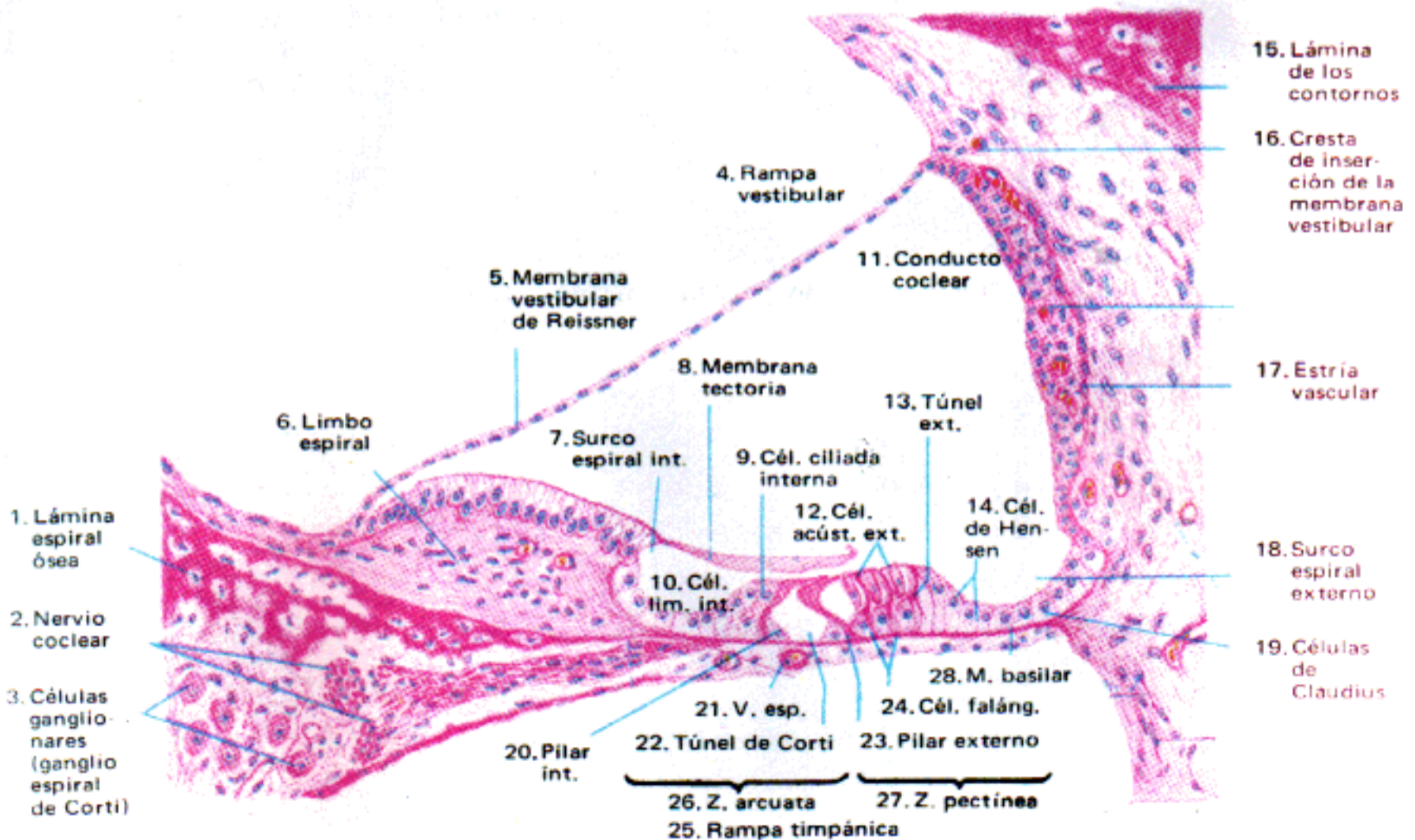


Fig. 2.— Conducto coclear (corte trasversal). (Coloración: hematoxilina-eosina. 200 X.)